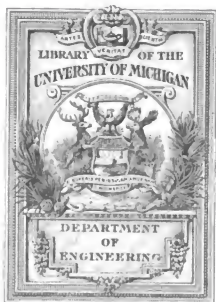




*Bestimmung der Schwerkraft auf
dem Indischen und Groszen ...*



Transferred to the
Library of the

9B
335
H45

17
ZENTRALBUREAU DER INTERNATIONALEN ERDMESSUNG

NEUE FOLGE DER VERÖFFENTLICHUNGEN, No. 18

BESTIMMUNG DER SCHWERKRAFT
AUF DEM
INDISCHEN UND GROSZEN OZEAN
UND
AN DEREN KÜSTEN
SOWIE ERDMAGNETISCHE MESSUNGEN
MIT ZWÖLF TAFELN

VON
PROF. DR. O. HECKER, 1864

BERLIN 1908
VERLAG VON GEORG REIMER
DRUCK VON P. STANKIEWICZ' BUCHDRUCKEREI

11-4-08 352

Vorwort.

Auf einer im Jahre 1901 im Auftrage der Internationalen Erdmessung ausgeführten Reise nach Südamerika gelang es mir, Schwerkräftsmessungen auf dem offenen Meere auszuführen. Hiermit war die Möglichkeit gegeben, den Verlauf des Geoids auch auf dem Meere zu verfolgen.

Diese Messungen ergaben als wichtigstes Resultat, daß die Schwerkraft auf dem Atlantischen Ozean zwischen Lissabon und Bahia annähernd normal ist und der von HELMERT im Jahre 1901 aufgestellten Schwereformel entspricht. Es bestätigte sich somit die zuerst von PRATT aufgestellte und später von HELMERT eingehender begründete Hypothese von der isostatischen Lagerung der Massen der Erdkruste für diesen Teil des Atlantischen Ozeans.

Es war nun von Wichtigkeit festzustellen, ob diese Hypothese auch für die anderen großen Ozeane Gültigkeit habe. Traf dieses zu, so war ihr, da sie sich auf dem Festlande bereits als Regel erwiesen hat, damit der Charakter einer Hypothese genommen; sie konnte dann als ein Gesetz betrachtet werden, das abgesehen von lokalen und regionalen Störungen für die ganze Erdoberfläche Gültigkeit hat.

Ich erbot mich daher, auch Schwerkräftsbestimmungen auf dem Indischen und Großen Ozean sowie an deren Küsten auszuführen. Mein Vorschlag fand die Billigung des Direktors des Königl. Preußischen Geodätischen Instituts und Zentralbureaus der Internationalen Erdmessung, Herrn Geh. Regierungsrat Prof. Dr. HELMERT, der ihn der Allgemeinen Konferenz der Internationalen Erdmessung in Kopenhagen im Jahre 1903 befürwortend vorlegte. Diese nahm ihn an und stellte die erforderlichen Mittel zur Verfügung.

Die vorliegende Veröffentlichung enthält die auf dieser Reise ausgeführten Schwerkräftsmessungen.

Den ersten Teil bilden die Ergebnisse der Schwerkräftsmessungen durch relative Pendelbeobachtungen, die ich im Anschluß an Potsdam an 9 verschiedenen Orten ausgeführt habe.

Diese Messungen geben eine sehr wesentliche Versteifung des Netzes der Schwerstationen auf der Erde. Einige Stationen lieferten zugleich Anschlußwerte für die Messungen auf dem Meere.

Die Schwerkräftsmessungen auf dem Indischen und Großen Ozean bilden den zweiten Teil der Veröffentlichung. Das wichtigste Ergebnis dieser Messungen läßt sich in folgende Worte zusammenfassen.

Die Schwerkräft ist sowohl auf dem Indischen, wie auch auf dem Großen Ozean annähernd normal und entspricht der HELMERT'schen Schwereformel von 1901.

Es hat sich also für diese beiden Weltmeere ebenso, wie früher für den Atlantischen Ozean die PRATT'sche Hypothese von der isostatischen Lagerung der Massen der Erdkruste als zutreffend erwiesen, sodaß man sie jetzt als ein abgesehen von lokalen Anomalien allgemein gültiges Gesetz ansehen kann. Es kann somit als erwiesen gelten, daß die geringere Dichtigkeit des Wassers der Ozeane durch die größere Dichtigkeit des Meeresbodens kompensiert wird. Umgekehrt sind die über den Meerespiegel hervorragenden Kontinentalmassen keine wirklichen Massenanhäufungen in der Erdkruste, sondern der scheinbare Massenüberschuß wird durch Massendefekte unterhalb der Kontinente kompensiert.

Im Anhang ist noch ein Teil der erdmagnetischen Messungen wiedergegeben, die ich an einer Reihe von Orten ausgeführt habe. Die Königl. Akademie der Wissenschaften in Berlin gewährte einen Kostenbeitrag zu diesen Messungen.

Mit ganz besonderem Danke habe ich des freundlichen und weitgehenden Entgegenkommens zu gedenken, das ich bei dieser Reise überall gefunden habe.

Von den hohen Regierungen der Länder, die ich besucht habe, wurden nicht nur alle Schwierigkeiten bei Überschreitung der Zollgrenzen beseitigt, sondern ich fand auch sonst noch mancherlei Förderung; ebenso nahmen die Vertreter des Deutschen Reiches im Auslande sich meiner freundlichst an und unterstützten mich mit Rat und Tat.

Sehr zu Danke verpflichtet bin ich dem Norddeutschen Lloyd, seinen Kapitänen und Agenten, sowie auch dem Besitzer der Oceanic Steamship-Company, Mr. SPRECKELS in San Francisco, die meine Arbeiten in jeder Weise erleichterten und förderten. Auch bei der Pacific Mail fand ich freundliches Entgegenkommen.

Bei den Beobachtungen an Land wurden mir nicht nur von den Observatorien und Universitäten, sondern auch, wo diese fehlten, von Privaten in liebenswürdigster Weise geeignete Beobachtungsräume zur Verfügung gestellt. Ich muß hier namentlich die Herren Konsul ROSENKRANZ in Rangun, Oberst BURRARD und Major LENOX CONYNGHAM in Dehra Dun, sowie das Observatorium in Zi-ka-wei erwähnen, die mir auch persönlich freundliche Aufnahme gewährten. An dem zuletzt genannten Observatorium konnten außerdem noch einige kleinere Reparaturen an den Instrumenten zur Ausführung kommen.

Ebenso bin ich Sir GEORGE HOWARD DARWIN, Professor in Cambridge sehr zu Danke verpflichtet; seiner Vermittelung verdanke ich besonders eine sehr sorgfältige Behandlung meiner Instrumentenkisten auf den Dampfern der British India S. S. Co. und auch sonst noch mancherlei Annehmlichkeiten bei meinen Reisen in Indien.

Eine weitere besondere Förderung meiner Arbeiten erfuhr ich schließlich noch durch Herrn Konsul FREUDENBERG in Colombo.

Potsdam, Königl. Geodätisches Institut, im Juni 1908.

O. HECKER.

Inhaltsverzeichnis.

Seite

Die Reise und die Beobachtungen	1
Bestimmung der Intensität der Schwerkraft durch relative Pendelmessungen in Melbourne, Sydney, San Francisco, Tokyo, Zi-ka-wei, Hongkong, Bangkok, Rangun und Jalpahguri.	
Die instrumentelle Ausrüstung	7
Bestimmung der Konstanten der Pendel	9
Bestimmung der Luftdichtekonstanten	9
Bestimmung der Temperaturkonstanten	10
Das Mitschwingen	15
Die Beobachtungsstationen	16
Melbourne	16
Sydney	20
Berkeley (San Francisco)	23
Tokyo	25
Zi-ka-wei	27
Hongkong	29
Bangkok	31
Rangun	33
Jalpahguri	35
Die Pendelbeobachtungen	39
Genauigkeit der Pendelbeobachtungen	63
Ableitung der Schwerkraft	74
Ergebnisse der Schwerkraftbestimmungen	75
Vergleich mit früheren Schwerkraftbestimmungen	76
Bestimmung der Intensität der Schwerkraft durch Vergleichung von Quecksilberbarometern und Siedethermometern auf dem Indischen und Großen Ozean.	
Bestimmung der Dampfspannung	81
Die Siedethermometer	83
Die Siedeparate und die Fehlerquellen beim Sieden	84
Bestimmung der Barometerhöhe	86
Die Seebarometer	86
Einfluß der Vertikalbewegung auf die Barometer	87

	Seite
Der Barometerapparat	88
Fehlerquellen bei der Bestimmung der Barometerhöhe	89
Die Ausmessung der Registriren	92
Die Trägheit der Seebarometer	95
Die Schiffsbewegung	100
Die Beobachtungsmethode	106
Die Beobachtungen und ihre Reduktion	108
Reise Bremerhaven — Melbourne an Bord der „Weimar“	110
Reise Sydney — San Francisco an Bord der „Sonoma“	118
Reise San Francisco — Yokohama an Bord der „Manchuria“	159
Genauigkeit der Messungen an den Siedethermometern und Barometern	130
Ableitung der Endwerte der Schwerkraft	193
Die Ausgleichungen	193
Ergebnisse der Ausgleichungen	199
Die Einzelwerte der Schwereanomalien	213
Die Genauigkeit der Schwerkraftbestimmungen auf dem Meere	224
Tafel: Schwerekorrektur des Quecksilberbarometers	226

Anhang.

Erdmagnetische Messungen	327
------------------------------------	-----

Tafeln.

Tafel I: Der Barometerapparat.
Tafel II: Fig. 1: Siedeapparat; Fig. 2: Ausmeßapparat; Fig. 3: Die Registriereinrichtung des Barometerapparates.
Tafel III: Schwingungsmesser, Bewegung des Barometerapparates.
Tafel IV und V: Schlinger- und Stampfbewegungen.
Tafel VI: Schlingerbewegungen der „Manchuria“.
Tafel VII: Registrierungen der Quecksilberbarometer.
Tafel VIII: Trägheit der Barometer.
Tafel IX: Theoretische Schwerekorrektur der Barometer und übrigbleibende Fehler.
Tafel X: Übersichtskarte über die Reise und die ausgeführten Schwerkraftbestimmungen.
Tafel XI: Die Tonga-Tiefe und ihre Umgebung.
Tafel XII: Meerestiefen in einem Teile des Großen Ozeans.

Die Reise und die Beobachtungen.

Meine Reise begann ich an Bord eines Dampfers des Norddeutschen Lloyd, der „Weimar“, (Kapitän v. LETTEN-PETERSEN), die am 23. März 1904 von Bremerhaven nach Australien in See ging.

Die „Weimar“ ist ein Schiff von 5000 Reg.-Tons, mit einer normalen Fahrgeschwindigkeit von etwas mehr als 12 Seemeilen in der Stunde. Die Vibrationen, die durch das Arbeiten der Maschine in dem Schiffskörper entstanden, waren sehr gering, was bei dem starken Bau des Schiffes zu erwarten war. Schlingerkiele besitzt die „Weimar“ nicht.

Für die Beobachtungen stand mir bis Neapel eine Kabine zur Verfügung. Infolge des lebenswürdigen Entgegenkommens des Kapitäns konnte ich von Neapel ab zwei Kabinen benutzen. In einer derselben führte ich die Beobachtungen an den Siedethermometern aus, während in der anderen der Barometerapparat aufgestellt war. Es hatte sich eine solche Trennung der Instrumente als sehr wünschenswert herausgestellt, da durch das Brennen der 6 Spirituslampen des Siedeparasites die Lufttemperatur in der Kabine erhöht wurde und eine Beeinflussung des Barometers zu befürchten war.

Die Reise war im allgemeinen nicht besonders vom Wetter begünstigt. Sturm und schwere See gestatteten die Ausführung von Beobachtungen erst von Gibraltar ab. Ebenso wurden die Beobachtungen gegen Schluß der Fahrt in der Nähe des australischen Kontinentes durch schwere See beeinflußt.

In Melbourne verließ ich am 13. Mai das Schiff, und führte hier, und ebenso später in Sydney, auf den astronomischen Observatorien Pendelbeobachtungen aus. An beiden Orten standen mir dank dem freundlichen Entgegenkommen der Direktoren, der Herren BARACCHI in Melbourne und LENEHAN in Sydney, ausgezeichnete Räume für die Ausführung der Beobachtungen zur Verfügung, nämlich in den Felsen eingesprengte Kellerräume, die eine große Konstanz der Temperatur zeigten.

Außerdem konnte ich in Melbourne noch die sehr umfangreichen und exakten Zeitbestimmungen benutzen, die Herr BARACCHI besonders für meinen Zweck an dem großen REPSOLD'schen Meridiankreis des Observatoriums ausführen ließ, da die Beobachtungen an dem kleinen Passageninstrumente, das ich mit mir führte, wegen der dicken Luft, die während meiner Anwesenheit in Melbourne herrschte, sehr erschwert wurden.

Von Sydney aus erfolgte am 26. Juni die Weiterfahrt nach San Francisco auf der „Sonoma“, (Kapitän HARRIMAN), einem Dampfer der Oceanic Steamship-Company, der eine Größe von 6000 Reg.-Tons und eine stündliche Fahrgeschwindigkeit von etwa 15 Meilen hat. Dank den Anordnungen

des Besitzers dieser Dampferlinie, Herrn JOHN D. SPRECKELS in San Francisco, fand ich sowohl auf der Fahrt, wie auch bei dem Transport und der Aufbewahrung der Instrumente an Land jede wünschenswerte Erleichterung.

An Bord der „Sonoma“, deren Reiseweg über Neu-Seeland, Tutuila und die Sandwich-inseln nach San Francisco führte, konnte ich in einer Kabine, die nahe dem Schiffszentrum lag und die sich auch durch ihre gute Ventilation als sehr branchbar erwies, meine Beobachtungen ausführen.

Die ersten Tage der Reise waren sehr stürmisch; da außerdem noch eine starke Dünung herrschte, so sind die Beobachtungen an diesen Tagen von geringerem Werte, als die späteren. Die „Sonoma“ langte am 18. Juli in San Francisco an.

In San Francisco selbst habe ich keine Beobachtungen ausgeführt, sondern in dem etwa 15 km entfernten Berkeley in der University of California. Durch Vermittelung der Herren Prof. DAVISON und Prof. LEUSCHNER fand ich an der Universität freundliche Aufnahme. Meine Pendelbeobachtungen stellte ich hier in der South Hall des Physikalischen Institutes an.

Infolge des russisch-japanischen Krieges verzögerte sich meine Abreise von San Francisco etwas; ich konnte dann aber schließlich am 30. August meine Reise nach Japan auf einem Dampfer der Pacific Mail der „Manchuria“, (Kapitän SAUSOERS), antreten, die am 18. September Yokohama erreichte. Das Schiff hat einen Rauminhalt von 13 700 Reg.-Tons und eine mittlere Fahrgeschwindigkeit von 14 Seemeilen.

Die Schwerkraftsmessungen an Bord wurden durch gutes Wetter begünstigt bis auf die letzten Tage der Reise, wo Sturm eintrat.

In Tokyo führte ich meine Pendelbeobachtungen in dem Komparatorsaal der Universität aus, der eine große Konstanz der Temperatur aufweist. Da die Witterungsverhältnisse sehr ungünstig waren, konnte ich keine Zeitbestimmungen ausführen. Ich verglich daher meine Pendel direkt mit denen der Japanischen Geodätischen Kommission. Die Herren Prof. NAGAOKA und Dr. OTANI übernahmen in liebenswürdigster Weise die Beobachtung der japanischen Pendel.

Von Japan fuhr ich an Bord des Dampfers „Ziethen“ nach Shanghai, um auf dem in der Nähe gelegenen Observatorium Zi-ka-wei Pendelbeobachtungen auszuführen. Hier wie auch bereits in Tokyo war die Bodenunruhe den Beobachtungen sehr hinderlich. Es gelang aber doch, die Beobachtungen durchzuführen. Dem Observatorium Zi-ka-wei bin ich besonders noch dadurch zu Danke verpflichtet, daß mir gestattet wurde, in der mechanischen Werkstatte einige Reparaturen an Instrumenten ausführen zu lassen, die sich als erforderlich erwiesen.

Die Weiterfahrt nach Hongkong erfolgte mit der „Prinzess Alice“ des Norddeutschen Lloyd im Anfang November. In Hongkong führte ich Pendelmessungen auf dem Observatorium aus, allerdings unter erschwerten Umständen (Erkrankung).

Der Dampfer „Anglin“ des Norddeutschen Lloyd brachte mich dann nach Bangkok, von wo ich nach Ausführung meiner Pendelbeobachtungen mit der „Tanglin“ derselben Gesellschaft nach Singapore und von dort mit der „Tara“ der Br. Ind. S. S. C. nach Rangun weiterfuhr.

In Rangun war es sehr schwierig, einen geeigneten Ort für die Ausführung von Pendelbeobachtungen zu finden. Durch die große Liebenswürdigkeit des stellvertretenden deutschen Konsuls, Herrn ROSENKRANZ, der mir ein Zimmer mit Betonfußboden in seinem Bungalow zur Verfügung stellte, wurde diese Schwierigkeit gehoben. Ich konnte unter relativ günstigen Umständen meine Messungen ausführen.

Von Rangun aus fuhr ich mit dem Dampfer „*Palameotta*“ nach Calcutta. Die außerordentliche Unruhe des Bodens machte hier aber die Ausführung von Pendelbeobachtungen unmöglich. Um eine Verbindung des Netzes der englischen Pendelstation mit den europäischen herbeizuführen, fuhr ich daher nach Jalpaiguri, das etwa 500 km nördlich von Calcutta liegt. Hier traf ich mit Herrn Major LENOX CONYNGHAM zusammen, der im Auftrage der Survey of India Schwerkräftsmessungen an einer Reihe von Orten in Indien ausführte. Die Bodenunruhe war hier wesentlich geringer, und wir konnten eine eingehende Vergleichung der beiderseitigen Pendel vornehmen.

Ich hatte die Absicht, auch in Ceylon, wo ich Ende Februar mit dem Dampfer „*Mombassa*“ der Br. Ind. S. S. C. anlangte, Pendelbeobachtungen auszuführen. Ich mußte dies aber leider aufgeben, denn nach Erledigung der Vorarbeiten und Aufstellung der Instrumente in einem mir vom deutschen Konsul Herrn FREUDENBERG freundlichst zur Verfügung gestellten Raum, stellte sich bei Ausführung der ersten Zeitbestimmung heraus, daß das Achsenniveau des Passageninstrumentes durch starke Anscheidungen unbrauchbar geworden war.

Ich trat dann an Bord des Norddeutschen Lloyd-Dampfers „*Friedrich der Große*“ die Rückfahrt nach Europa an und traf am 8. April 1905 wieder in Bremerhaven ein.

Anßer den vorstehend angegebenen Beobachtungen habe ich noch nebenbei, soweit es die Zeit zuließ, erdmagnetische Beobachtungen und ferner an Bord Messungen der Kimmtiefe ausgeführt. Für die erstgenannten Beobachtungen wurden mir die Instrumente vom Reichsamt des Innern aus den Beständen der Südpolarexpedition überlassen. Die Unkosten wurden durch eine Beihilfe der Kgl. Akademie der Wissenschaften in Berlin gedeckt. Für die Kimmiefenbeobachtungen stellte mir die Firma CARL ZEISS in Jena ein Instrument freundlichst zur Verfügung.

BESTIMMUNG
DER
INTENSITÄT DER SCHWERKRAFT

DURCH RELATIVE PENDELMESSUNGEN

IN

**MELBOURNE, SYDNEY, SAN FRANCISCO, TOKYO, ZI-KA-WEI,
HONGKONG, BANGKOK, RANGUN UND JALPAIGURI.**

Die instrumentelle Ausrüstung.

Der von mir für die Schwerkraftsbestimmungen benutzte Pendelapparat ist von **STRÜCKRATH** in Friedenau gebaut worden. Eine eingehende Beschreibung desselben findet sich in der „*Bestimmung der Schwerkraft auf dem Atlantischen Ozean*“.

Es sei hier kurz erwähnt, daß das Stativ mit vier vorspringenden Konsolen versehen ist, die jetzt sämtlich Achatlager für Pendel besitzen. Jedoch werden von diesen nur drei Konsolen bei der Bestimmung der Schwingungsdauer der Pendel benutzt, während das vierte Lager für ein Hilfspendel bestimmt ist, das für die Bestimmung des Mitschwingens des gegenüberliegenden Lagers benutzt wird.

Als Pfeiler für die Aufstellung des Pendelapparates wurde derselbe Kegel aus starkem Kupferblech verwandt, der auch früher zur Anwendung kam. Jedoch wurde der obere Rand desselben noch besonders versteift. Die Stabilität des Pfeilers ist dadurch wesentlich erhöht. Sein Mitschwingen ist etwa dasselbe wie das eines Steinpfeilers ähnlicher Dimensionen. Der Kegel wurde stets auf dem Boden festgekipst.

Für die Schwerkraftsbestimmungen wurden sechs Pendel gebraucht, die die Nummern 5, 6, 7, 8, 16 und 21 tragen. Pendel Nr. 5 und Nr. 6 sind mit Stangen aus Phosphorbronze, die übrigen mit Messingstangen versehen. Die zuerst genannten vier Pendel sind zum ersten Male in Benutzung genommen; sie wurden von dem Institutsmechaniker Herrn **FIECHER** neu angefertigt. Pendel Nr. 16 und Pendel Nr. 21 sind bereits früher in Verwendung gekommen, und zwar ist Pendel Nr. 16 von Herrn Dr. **KONLSCHÜTTER** auf seiner afrikanischen Reise benutzt, während Nr. 21 bei Gelegenheit meiner Reise nach Brasilien von mir gebraucht wurde. Beide Pendel, die von **STRÜCKRATH** in Friedenau angefertigt sind, haben sich auf diesen Reisen als hinreichend unveränderlich erwiesen.

Zur Bestimmung der Temperatur der Pendel diente dasselbe Pendelthermometer, wie früher. Es ist ein in $\frac{1}{4}$ -Grade geteiltes Thermometer, das die Bezeichnung **FUSS** Nr. 801 trägt.

Nach den Ermittlungen der Physikalisch-Technischen Reichsanstalt in Charlottenburg sind die folgenden Korrekturen an die Ablesungen anzubringen:

Korrektion bei	0°:	— 0.02
-	- 10°:	— 0.06
-	- 20°:	— 0.02
-	- 30°:	— 0.02
-	- 40°:	— 0.06

Die Bestimmung des Luftdruckes erfolgte im allgemeinen durch das Aneroid **BOHSE** Nr. 937, das sich auf der Reise gut gehalten hat. An einigen Observatorien konnte dasselbe mit Normalbarometern verglichen werden.

Die Feuchtigkeit der Luft wurde mit einem **KOPPE'schen** Haarhygrometer von **USTERI-REINACHER** in Zürich gemessen. Vor Beginn der Beobachtungen wurde es stets berichtigt.

Als Koinzidenzuhr diente die Sekundenpendeluhr **STRASSER & ROWE** Nr. 101, die mit einem elektrischen Hebelkontakt versehen ist, der alle zwei Sekunden einen Stromschluß bewirkt. Die Uhr hat ein Gehäuse aus Holz, das außen mit Kupferblech bekleidet ist. Sie wurde an einem schweren, aus Eisenschienen zusammengeschraubten Stativ aufgehängt, das stets in demselben Raume stand, in dem der Pendelapparat aufgestellt war.

Auf zwei Stationen wurde diese Uhr nicht benutzt, nämlich in Tokyo, wo der Erdbeben wegen ein Chronometer zur Anwendung kam, und in Jalpaiguri, wo eine Halbsekundenpendeluhr der India Survey für die Koinzidenzbeobachtungen verwendet wurde.

Die Zeitbestimmungen habe ich an den meisten Stationen selbst ausgeführt und zwar an einem kleinen gebrochenen Passageninstrumente von Bamberg mit einer Öffnung von zwei Zoll, das ich mit mir führte. Zur Aufstellung des Instrumentes diente ein zerlegbarer Kegel aus Eisenblech von großer Stabilität.

Die Sterndurchgänge wurden gewöhnlich mittelst eines Chronographen von **FUESS** registriert.

Bestimmung der Konstanten der Pendel.

Bestimmung der Luftdichtekonstanten.

Der Kaiserl. japan. Vermessungsrat, Herr SUGIYAMA, der längere Zeit zu seiner Information am Geodätischen Institute weilte, hatte die Freundlichkeit, die Bestimmung der Abhängigkeit der Schwingungsdauer der Pendel Nr. 5, 6, 7, 8 und 21 von der Dichte der Luft auszuführen.

Zu diesem Zwecke wurden die Pendel zunächst einmal unter herrschendem Luftdruck beobachtet, darauf wurde die Luft im Innern der Pendelhaube durch Auspumpen verdünnt und zwei Sätze von Beobachtungen angestellt, worauf schließlich unter dem herrschenden Luftdruck noch einmal beobachtet wurde.

Als Temperaturkonstante wurden für Pendel Nr. 5, 6, 7 und 8: $+48^{\circ} \times 10^{-7}$ und für Pendel 21: $+49^{\circ} \times 10^{-7}$ angenommen.

Diese Näherungswerte genügen für die Reduktion völlig, da die Temperaturschwankungen während der Ausführung der Beobachtungen gering waren.

Die folgende Tabelle gibt die Beobachtungen und ihre Reduktion.

Bestimmung der Luftdichtekonstanten.

Datum	Pendel-Nr.	Mittlere Uhrzeit	Redu- zierter Luft- druck	Dunst- druck	Luft- dichte	Pendel- tempe- ratur	Aus- schlag	Tagl. Gang der Koinzi- denzrohr	Beob- achtete Schwin- gungs- dauer	Reduktion wegen			Reduzierte Schwin- gungs- dauer
1903										Aus- schlag	Tempe- ratur	Uhr- gang	
Potsdam, Ostkeller des Geodätischen Institutes.													
Sept. 7	5	9 ^h 44 ^m	753.8	12.6	0.9288	16.76	11.2	+ 0.10	0.5084786	- 3	- 804	+ 6	0.5083985
		21 10 46	753.3	12.6	0.9283	16.77	7.9	+ 0.10	0.5098912	- 2	- 823	+ 6	0.5098094
" 8	21	8 0	301.4	4.8	0.3715	16.57	8.6	+ 0.17	0.5098338	- 2	- 812	+ 10	0.5097734
		5 10 15	301.5	4.8	0.3717	16.62	11.1	+ 0.17	0.5084417	- 3	- 798	+ 10	0.5083626
	21	11 20	301.6	4.8	0.3717	16.69	9.8	+ 0.17	0.5098539	- 3	- 818	+ 10	0.5097728
		5 13 27	301.6	4.8	0.3716	16.74	12.1	+ 0.17	0.5084434	- 4	- 804	+ 10	0.5083636
" 9	5	10 43	748.4	11.9	0.9228	16.55	6.5	+ 0.04	0.5084781	- 1	- 794	+ 2	0.5083988
		21 11 47	747.5	12.0	0.9213	16.60	8.5	+ 0.04	0.5098900	- 2	- 813	+ 2	0.5098087

Datum 1903	Pendel Nr.	Mittlere Uhrzeit	Redu- zierter Luft- druck	Dunst- druck	Luft- dichte	Pendel- tempe- ratur	Aus- schlag	Tzgl. Gang der Koinzi- denzrühr	Beob- achtete Schwin- gungs- dauer	Reduktion wegen			Reduzierte Schwin- gungs- dauer
										Aus- schlag	Tempe- ratur	Uhr- gang	
Sept. 10	6	8 ^h 38 ^m	747.4	11.2	0.9217	16.32	9.4	+ 0.05	0.5084689	-2	-783	+3	0.5084107
	7	10 18	747.8	11.0	0.9221	16.35	11.1	+ 0.05	0.5084665	-3	-785	+3	0.5083781
	8	11 20	748.0	10.9	0.9224	16.38	9.3	+ 0.05	0.5084561	-3	-786	+3	0.5083776
- 11	6	11 38	746.5	4.1	0.3434	16.34	10.3	+ 0.05	0.5084507	-3	-784	+3	0.5083723
	7	8 44	747.6	4.1	0.3433	15.96	10.6	- 0.14	0.5084189	-3	-766	-8	0.5083414
	8	9 48	747.9	4.1	0.3436	15.96	10.9	- 0.14	0.5084184	-3	-766	-8	0.5083407
- 12	6	10 51	747.7	4.1	0.3432	15.97	10.8	- 0.14	0.5084514	-3	-767	-8	0.5083736
	7	11 56	747.8	4.1	0.3433	16.00	10.6	- 0.14	0.5084190	-3	-768	-8	0.5083411
	8	13 2	747.9	4.1	0.3434	16.06	10.6	- 0.14	0.5084190	-3	-771	-8	0.5083408
- 12	6	9 36	744.4	11.0	0.9194	15.85	10.4	0.00	0.5084877	-3	-761	0	0.5084113
	7	10 39	744.5	11.0	0.9194	15.90	10.1	0.00	0.5084548	-3	-763	0	0.5083782
	8	11 45	744.6	10.9	0.9194	15.93	10.0	0.00	0.5084543	-3	-765	0	0.5083775

Aus diesen Beobachtungen sind die folgenden Werte der Luftdichtekonstante nach der M. d. kl. Q. berechnet.

Pendel Nr.	5:	$641^{\circ} \pm 11.0 \times 10^{-7}$
-	6:	$658 \pm 12.1 \times 10^{-7}$
-	7:	$640 \pm 3.3 \times 10^{-7}$
-	8:	$637 \pm 1.3 \times 10^{-7}$
-	21:	$650 \pm 6.0 \times 10^{-7}$

Für Pendel Nr. 16 ist das Mittel dieser Luftdichtekonstanten $645^{\circ} \times 10^{-7}$ angenommen.

Bestimmung der Temperaturkonstanten.

Herr Vermessungsrat SUGIYAMA hat auch die Bestimmung der Temperaturkonstanten für die Pendel Nr. 5, 6, 7, 8 und 21 ausgeführt.

Das Gendätsche Institut hat für solche Untersuchungen besondere Einrichtungen, durch die die Beobachtungen sehr erleichtert werden.

Der Pendelapparat wird nämlich in einen ihn allseitig umschließenden, doppelwandigen Kasten gestellt, der mit den erforderlichen Glaselementen für die Beobachtungen und mit Durchbrüchen für die Amplitudenhebel versehen ist. Die Temperatur im Innern dieses Kastens läßt sich in sehr bequemer Weise verändern.

Eine Erniedrigung der Temperatur wird durch Anwendung von Eis, eine Erhöhung durch Heißwasser konstanter Temperatur erzielt, das stetig den Kasten durchfließt. Wie die Beobachtungen ergeben, läßt sich sowohl bei niedriger, als auch bei hoher Temperatur eine völlig hinreichende Temperaturkonstanz erreichen.

Jedes der 5 Pendel wurde 12-mal beobachtet, und zwar schwang es zuerst 4-mal in niedriger, dann 6-mal in hoher und schließlich wieder 2-mal in niedriger Temperatur.

Eine Korrektur wegen Mitschwingens wurde nicht angebracht, da sich bereits früher ergeben hatte, daß eine Differenz des Mitschwingens in niedriger und hoher Temperatur nicht vorhanden war.

Der Gang der bei diesen Beobachtungen benutzten Normaluhren des Geodätischen Institutes wurde von dem Observator, Herrn Professor WAXMANN, unter Berücksichtigung der Luftdruckänderungen während der Beobachtungszeit abgeleitet.

Nachstehend sind die Beobachtungen und ihre Reduktion aufgeführt.

Bestimmung der Temperaturkonstanten.

Datum 1903	Pendel-Nr.	Uhr- zeit	Redu- zierter Luft- druck	Rela- tive Feuch- tigkeit	Redu- zierter Dampf- druck	Pendel- tempe- ratur	Aus- schlag des Pen- dels	Tägl. Gang der Koinzi- denzuhr	Periode der Koinzi- denzen	Beob- achtete Schwin- gungs- dauer	Reduktion wegen			Reduzierte Schwin- gungs- dauer
											Luft- druck	Aus- schlag	Uhr- gang	
Potsdam.														
Ostkeiler des Geodätischen Institutes.														
Sept. 23	6	9 ^h 33 ^m	764.2	73.8	4.9	5.14	9.5	+0.18	30.11155	0.5084427	-648	-2	+11	0.5083788
	7	10 43	764.1	74.0	4.9	5.10	11.2	+0.18	30.24405	0.5084051	-630	-3	+11	0.5083429
	8	11 58	764.3	74.0	4.8	5.02	11.2	+0.18	30.23825	0.5084667	-628	-3	+11	0.5083447
	6	12 58	764.1	74.0	4.8	4.97	10.0	+0.18	30.11150	0.5084427	-648	-3	+11	0.5083787
	7	14 13	764.0	74.0	4.8	4.95	12.2	+0.18	30.24180	0.5084049	-630	-4	+11	0.5083426
	8	15 35	763.8	74.0	4.8	4.92	11.2	+0.18	30.24033	0.5084061	-627	-3	+11	0.5083442
	6	10 3	764.9	74.5	4.8	4.87	10.8	+0.18	30.11170	0.5084426	-649	-3	+11	0.5083785
	7	11 16	761.9	74.8	4.8	4.82	10.9	+0.18	30.24175	0.5084051	-631	-3	+11	0.5083428
	8	12 25	764.7	75.0	4.8	4.77	10.0	+0.18	30.24056	0.5084060	-628	-3	+11	0.5083440
	6	13 40	764.4	74.8	4.8	4.76	9.4	+0.18	30.11130	0.5084421	-649	-2	+11	0.5083781
	7	14 50	764.0	74.8	4.8	4.76	8.5	+0.18	30.24725	0.5084042	-631	-2	+11	0.5083430
	8	15 58	763.8	75.3	4.8	4.76	10.9	+0.18	30.24265	0.5084055	-628	-3	+11	0.5083435
- 29	6	10 16	755.2	43.3	33.7	40.04	8.5	+0.08	29.59465	0.5085927	-563	-3	+5	0.5085367
	7	11 25	755.2	43.5	34.3	40.12	8.0	+0.08	29.66730	0.5085712	-548	-2	+5	0.5085167
	8	12 38	755.0	43.0	33.6	39.97	9.9	+0.08	29.67765	0.5085682	-545	-3	+5	0.5085139
	6	13 43	754.7	43.0	33.5	39.94	7.4	+0.08	29.59390	0.5085929	-563	-1	+5	0.5085370
	7	14 48	754.6	42.8	33.4	39.89	9.6	+0.08	29.67280	0.5085696	-548	-2	+5	0.5085151
	8	15 44	754.5	42.5	33.5	39.94	7.5	+0.08	29.67780	0.5085681	-545	-2	+5	0.5085139
	6	9 38	756.6	42.5	34.2	40.49	6.7	+0.09	29.58985	0.5085920	-564	-1	+5	0.5085380
	7	10 42	756.6	41.8	33.6	40.41	8.8	+0.09	29.66795	0.5085710	-548	-2	+5	0.5085165
	8	11 45	756.6	41.5	33.4	40.32	7.4	+0.09	29.67015	0.5085704	-546	-1	+5	0.5085162
	6	12 47	756.5	41.5	33.4	40.24	5.5	+0.09	29.59217	0.5085934	-564	-1	+5	0.5085374
	7	13 49	756.4	41.5	33.3	40.17	7.1	+0.09	29.67565	0.5085688	-549	-1	+5	0.5085143
	8	14 56	756.2	41.5	33.2	40.12	8.8	+0.09	29.67210	0.5085698	-546	-2	+5	0.5085155
Okt. 1	6	10 12	755.5	40.5	33.1	40.47	5.9	+0.05	29.59055	0.5085938	-563	-1	+3	0.5085377
	7	11 17	755.4	40.5	33.0	40.45	7.3	+0.05	29.66730	0.5085712	-548	-1	+3	0.5085166
	8	12 22	755.0	40.5	33.0	40.42	16.0	+0.05	29.66806	0.5085710	-545	-7	+3	0.5085161
	6	13 27	754.7	40.5	33.0	40.42	7.3	+0.05	29.58950	0.5085948	-563	-1	+3	0.5085380
	7	14 32	754.4	40.5	33.0	40.45	9.0	+0.05	29.66790	0.5085710	-547	-2	+3	0.5085164
	8	15 40	754.0	40.5	33.1	40.49	10.9	+0.05	29.66745	0.5085712	-544	-3	+3	0.5085163

Datum 1903	Pendel-Nr.	Uhr- zeit	Redu- zierter Luft- druck	Rela- tiver Feuch- tigkeit	Redu- zierter Baro- meter- druck	Pendel- temper- atur	Aus- schlag des Pen- dels	Tägl. Gang der Koinzi- denz	Periode der Koinzi- denzen	Beob- achtete Schwin- gungs- dauer	Reduktion wegen			Reduzierte Schwin- gungs- dauer
											Luft- druck	Aus- schlag	Uhr- gang	
Okt. 5	6	10 ^h 55 ^m	751.1	84.0	5.9	6.14	5.9	-0.01	30.09615	0.5084470	-614	-1	-1	0.5083814
	7	12 5	750.5	84.0	5.9	6.02	9.1	-0.01	30.21610	0.5084101	-617	-2	-1	0.5083481
	8	13 3	749.7	84.0	5.8	5.79	9.5	-0.01	30.22090	0.5084115	-613	-2	-1	0.5083499
- 6	6	11 40	747.1	88.5	5.8	5.41	8.0	-0.06	30.11050	0.5084330	-613	-2	-4	0.5083791
	7	12 54	747.2	88.5	5.8	5.04	11.7	-0.06	30.24185	0.5084151	-616	-4	-4	0.5083427
	8	14 3	747.3	88.5	5.8	4.96	13.1	-0.06	30.23860	0.5084066	-613	-5	-4	0.5083444
- 8	21	5 53	751.5	96	6.2	5.00	10.9	0.00	30.15098	0.5098382	-619	-3	0	0.5097750
	5	7 54	750.2	96	6.2	4.99	12.5	0.00	30.15295	0.5084309	-620	-4	0	0.5083685
	21	9 1	749.4	96	6.2	4.96	12.9	0.00	30.12455	0.5098377	-628	-4	0	0.5097745
- 9	5	11 2	748.4	96	6.2	4.95	12.9	0.00	30.15360	0.5084307	-618	-4	0	0.5083685
	21	5 59	743.6	95	6.2	5.05	8.9	-0.10	30.12700	0.5098376	-612	-2	-6	0.5097746
	5	8 15	743.4	95	6.3	5.20	7.7	-0.10	30.15210	0.5084311	-613	-2	-6	0.5083690
- 12	21	9 16	743.5	95	6.3	5.29	12.1	-0.10	30.14775	0.5098393	-612	-4	-6	0.5097761
	5	10 15	743.6	95	6.4	5.35	12.2	-0.10	30.14775	0.5084323	-613	-4	-6	0.5083700
	21	6 27	747.9	80	33.9	35.28	8.1	-0.04	25.55514	0.5099780	-557	-2	-2	0.5099219
- 13	5	8 1	747.0	79	33.6	35.32	9.2	-0.04	29.70236	0.5085609	-548	-2	-2	0.5085057
	21	8 47	746.8	78	33.2	35.35	6.4	-0.04	25.55347	0.5099787	-556	-1	-2	0.5099218
	5	10 20	745.8	76	32.7	35.51	5.7	-0.04	29.69880	0.5085620	-547	-1	-2	0.5085070
- 14	21	6 23	739.0	52	27.4	39.26	6.3	-0.13	25.50543	0.5099978	-545	-1	-8	0.5099424
	5	7 56	739.4	50	26.5	39.36	6.2	-0.13	29.64079	0.5085791	-538	-1	-8	0.5085244
	21	8 10	739.8	49	26.0	39.38	7.2	-0.13	25.50424	0.5099983	-546	-1	-8	0.5099428
- 15	5	10 23	740.2	48	25.4	39.34	14.9	-0.13	29.61000	0.5085793	-539	-6	-8	0.5085240
	21	6 20	751.9	43	22.0	38.69	7.0	+0.05	25.51230	0.5099951	-557	-1	+3	0.5099396
	5	7 57	752.4	42	21.5	38.68	14.7	+0.05	29.64979	0.5085764	-550	-6	+3	0.5085211
- 16	21	8 41	752.6	42	21.5	38.69	5.8	+0.05	25.51397	0.5099944	-557	-1	+3	0.5099389
	5	10 11	752.9	42	21.1	38.77	8.5	+0.05	29.64857	0.5085767	-550	-2	+3	0.5085218
- 19	21	6 43	757.1	89	5.6	4.49	7.2	+0.09	25.91564	0.5098363	-615	-1	+5	0.5097734
	5	7 29	757.6	89	5.6	4.45	13.5	+0.09	30.15850	0.5084295	-617	-5	+5	0.5083666
	21	9 3	757.9	89	5.6	4.44	5.1	+0.09	25.91700	0.5098359	-616	-1	+5	0.5097727
	5	10 54	757.8	89	5.6	4.45	9.6	+0.09	30.16092	0.5084286	-617	-2	+5	0.5083661

Um aus diesen Beobachtungen die Temperaturkonstanten abzuleiten, sind für jedes Pendel Fehlergleichungen von der Form

$$v = x + y t + n$$

aufgestellt, in denen x eine Konstante und y die Temperaturkonstante bezeichnet.

Diese Gleichungen sind nach Einführung der Näherungswerte x und y' die folgenden.

Pendel Nr. 5.

$$y' = +0.0000045.4$$

$$x' = +0.5083458.6.$$

$$\begin{aligned} r &= .\mathcal{A}x + 4.99 .\mathcal{A}y + 0.1 = + 0.5 \\ r &= .\mathcal{A}x + 4.95 .\mathcal{A}y - 1.7 = - 1.3 \\ r &= .\mathcal{A}x + 5.20 .\mathcal{A}y + 4.7 = + 5.1 \\ r &= .\mathcal{A}x + 5.35 .\mathcal{A}y + 1.5 = + 1.9 \\ r &= .\mathcal{A}x + 35.32 .\mathcal{A}y + 5.1 = + 2.5 \\ r &= .\mathcal{A}x + 15.51 .\mathcal{A}y + 0.8 = - 1.9 \\ r &= .\mathcal{A}x + 39.36 .\mathcal{A}y + 1.5 = - 1.5 \\ r &= .\mathcal{A}x + 39.34 .\mathcal{A}y + 4.6 = + 1.6 \\ r &= .\mathcal{A}x + 38.68 .\mathcal{A}y + 3.7 = + 0.7 \\ r &= .\mathcal{A}x + 38.77 .\mathcal{A}y + 0.8 = - 2.2 \\ r &= .\mathcal{A}x + 4.45 .\mathcal{A}y - 5.4 = - 4.9 \\ r &= .\mathcal{A}x + 4.45 .\mathcal{A}y - 1.4 = - 0.9 \end{aligned}$$

Pendel Nr. 7.

$$y' = +0.0000049.1$$

$$x' = +0.5083183.2.$$

$$\begin{aligned} r &= .\mathcal{A}x + 5.10 .\mathcal{A}y + 4.6 = + 5.5 \\ r &= .\mathcal{A}x + 4.95 .\mathcal{A}y + 0.2 = + 1.1 \\ r &= .\mathcal{A}x + 4.81 .\mathcal{A}y - 8.1 = - 7.3 \\ r &= .\mathcal{A}x + 4.76 .\mathcal{A}y - 3.1 = - 2.1 \\ r &= .\mathcal{A}x + 40.12 .\mathcal{A}y - 13.9 = - 14.0 \\ r &= .\mathcal{A}x + 39.89 .\mathcal{A}y - 9.2 = - 9.2 \\ r &= .\mathcal{A}x + 40.41 .\mathcal{A}y + 2.3 = + 2.3 \\ r &= .\mathcal{A}x + 40.17 .\mathcal{A}y + 12.5 = + 12.5 \\ r &= .\mathcal{A}x + 40.45 .\mathcal{A}y + 3.3 = + 3.2 \\ r &= .\mathcal{A}x + 40.45 .\mathcal{A}y + 5.3 = + 5.2 \\ r &= .\mathcal{A}x + 6.02 .\mathcal{A}y - 2.2 = - 1.4 \\ r &= .\mathcal{A}x + 5.04 .\mathcal{A}y + 3.7 = + 4.5 \end{aligned}$$

Pendel Nr. 6.

$$y' = +0.0000045.1$$

$$x' = +0.5083561.7.$$

$$\begin{aligned} r &= .\mathcal{A}x + 5.14 .\mathcal{A}y + 5.5 = + 5.0 \\ r &= .\mathcal{A}x + 4.97 .\mathcal{A}y - 1.2 = - 1.6 \\ r &= .\mathcal{A}x + 4.87 .\mathcal{A}y - 3.7 = - 4.1 \\ r &= .\mathcal{A}x + 4.76 .\mathcal{A}y - 4.6 = - 5.1 \\ r &= .\mathcal{A}x + 40.04 .\mathcal{A}y + 0.5 = - 2.6 \\ r &= .\mathcal{A}x + 39.94 .\mathcal{A}y - 7.0 = - 10.1 \\ r &= .\mathcal{A}x + 40.49 .\mathcal{A}y + 7.8 = + 4.6 \\ r &= .\mathcal{A}x + 40.24 .\mathcal{A}y + 2.5 = - 0.6 \\ r &= .\mathcal{A}x + 40.47 .\mathcal{A}y + 9.9 = + 6.7 \\ r &= .\mathcal{A}x + 40.41 .\mathcal{A}y + 4.6 = + 1.5 \\ r &= .\mathcal{A}x + 6.14 .\mathcal{A}y + 4.6 = + 4.0 \\ r &= .\mathcal{A}x + 5.14 .\mathcal{A}y + 2.5 = + 2.0 \end{aligned}$$

Pendel Nr. 8.

$$y' = +0.0000048.4$$

$$x' = +0.5083207.6.$$

$$\begin{aligned} r &= .\mathcal{A}x + 5.02 .\mathcal{A}y + 3.6 = + 3.3 \\ r &= .\mathcal{A}x + 4.91 .\mathcal{A}y + 3.7 = + 3.5 \\ r &= .\mathcal{A}x + 4.77 .\mathcal{A}y - 1.5 = - 1.8 \\ r &= .\mathcal{A}x + 4.76 .\mathcal{A}y + 5.0 = + 2.8 \\ r &= .\mathcal{A}x + 39.97 .\mathcal{A}y + 3.1 = + 3.5 \\ r &= .\mathcal{A}x + 39.94 .\mathcal{A}y + 1.7 = + 2.0 \\ r &= .\mathcal{A}x + 40.32 .\mathcal{A}y - 2.9 = - 2.6 \\ r &= .\mathcal{A}x + 40.12 .\mathcal{A}y - 5.6 = - 5.3 \\ r &= .\mathcal{A}x + 40.42 .\mathcal{A}y + 2.9 = + 3.3 \\ r &= .\mathcal{A}x + 40.49 .\mathcal{A}y - 0.7 = - 0.3 \\ r &= .\mathcal{A}x + 5.79 .\mathcal{A}y - 11.2 = - 11.4 \\ r &= .\mathcal{A}x + 4.96 .\mathcal{A}y + 3.7 = + 3.4 \end{aligned}$$

Pendel Nr. 11.

$$y' = +0.0000048.7$$

$$x' = +0.5097506.6.$$

$$\begin{aligned} r &= .\mathcal{A}x + 5.00 .\mathcal{A}y + 0.1 = 0.0 \\ r &= .\mathcal{A}x + 4.96 .\mathcal{A}y + 3.2 = + 3.0 \\ r &= .\mathcal{A}x + 5.05 .\mathcal{A}y + 6.5 = + 6.4 \\ r &= .\mathcal{A}x + 5.19 .\mathcal{A}y + 3.2 = + 3.1 \\ r &= .\mathcal{A}x + 35.28 .\mathcal{A}y + 5.7 = + 6.8 \\ r &= .\mathcal{A}x + 35.35 .\mathcal{A}y + 0.1 = + 1.3 \\ r &= .\mathcal{A}x + 39.26 .\mathcal{A}y - 5.4 = - 4.2 \\ r &= .\mathcal{A}x + 39.38 .\mathcal{A}y - 3.6 = - 2.3 \\ r &= .\mathcal{A}x + 38.69 .\mathcal{A}y - 5.2 = - 3.9 \\ r &= .\mathcal{A}x + 38.69 .\mathcal{A}y + 1.8 = + 3.1 \\ r &= .\mathcal{A}x + 4.49 .\mathcal{A}y - 8.7 = - 8.9 \\ r &= .\mathcal{A}x + 4.44 .\mathcal{A}y - 4.2 = - 4.3 \end{aligned}$$

Wir erhalten hieraus die folgenden Werte für die Temperaturkonstante

Pendel Nr. 5:	$+45.30 \pm 0.03 \times 10^{-7}$
- „ 6:	$+45.02 \pm 0.09 \times 10^{-7}$
- „ 7:	$+49.07 \pm 0.13 \times 10^{-7}$
- „ 8:	$+48.42 \pm 0.08 \times 10^{-7}$
- „ 21:	$+48.74 \pm 0.05 \times 10^{-7}$

Diese Werte sind für die Reduktion benutzt.

Für Pendel Nr. 16 ist im Jahre 1897 von Herrn Professor KÜNKER die Temperaturkonstante bestimmt. Es ergab sich

$$+49.88 \pm 0.24 \times 10^{-7}.$$

Hiermit wurde die Temperaturkorrektur für dieses Pendel berechnet.

Das Mitschwingen.

Die Korrektur wegen des Mitschwingens des Pendellagers wurde nach einer von Herrn Professor BOHRSS ausgearbeiteten Methode bestimmt. Vergl. die Veröffentlichung des Kgl. Geodätischen Institutes: „Bestimmung der Polhöhe und der Intensität der Schwerkraft von Arkona bis Elsterwerda“ usw. Berlin 1902, Seite 90.

Das Beobachtungsverfahren ist das folgende. Man hängt auf den beiden gegenüberliegenden Lagern des Pendelapparates 2 Pendel mit gleichen Dämpfungskonstanten und geringer Differenz der Schwingungsdauern auf. Eines dieser Pendel beruhigt man und gibt dann dem anderen plötzlich eine gewisse Amplitude. Bestimmt man nun in konstanten Zeitabständen die Größe der Amplitude beider Pendel, so ergibt sich die Korrektur σ wegen Mitschwingens aus der Formel

$$\sigma = \frac{\alpha' s' - s}{\alpha} \cdot \frac{\pi (s' - s)}{2 s' s} t,$$

in der α' bzw. α die Amplituden des getriebenen und des treibenden Pendels zur Zeit t , s' bzw. s ihre Schwingungsdauer bezeichnen. Der Ausschlag des treibenden Pendels wurde hierbei an der Skala des Koinzidenzapparates durch Schätzung ermittelt, der Ausschlag des getriebenen Pendels dagegen durch Messung mit der Mikrometerschraube des Fernrohrs des Koinzidenzapparates bestimmt, indem der bewegliche Faden auf die beiden Umkehrpunkte der Pendelschwingung eingestellt wurde.

Stimmen die beiden Pendel in ihrer Schwingungsdauer annähernd überein, wie es bei meinen Pendeln der Fall war, so kann man σ berechnen nach der Formel

$$\sigma = \frac{\alpha' s s'}{\alpha \pi t}.$$

Bei der Bestimmung des Mitschwingens in Tokyo ist außer der beschriebenen Methode noch die statische Methode vermittelst des Spiegelapparates nach NAGAOKA angewandt. Die Bodenunruhe war in Tokyo nämlich so groß, daß eine vollständige Beruhigung des getriebenen Pendels fast unmöglich war. Der benutzte Spiegelapparat gehört der Kaiserl. Universität in Tokyo und die Messungen wurden von Herrn Professor NAGAOKA selbst und von mir ausgeführt.

Die Beobachtungsstationen.

Melbourne.

Die Bestimmung der Schwerkraft in Melbourne wurde von mir auf dem astronomischen Observatorium ausgeführt. Der Direktor des Observatoriums, Herr BARACCHI, stellte mir freundlichst einen Kellerraum mit Betonboden zur Verfügung, der sich vorzüglich für die Ausführung von Pendelbeobachtungen eignete.

Die Temperatur in diesem Raume, in dem auch die Pendeluhr aufgestellt wurde, war sehr konstant.

Die geographische Breite und Länge des Beobachtungspfeilers war

$$\begin{aligned}\varphi &= -37^{\circ} 49' 53'' \\ \lambda &= 144^{\circ} 58' 5 E.\end{aligned}$$

Die Dichtigkeit des Bodens in der Umgebung der Sternwarte kann man etwa zu 2.4 annehmen.

Der Boden des Kellers liegt 26.4 m über dem Meeresspiegel. Da die Entfernung, Mitte der Pendellinse—Fußboden, 0.53 m betrug, so war somit die

$$\text{Höhe der Pendellinse über dem Meeresspiegel} \quad 26.9 \text{ m.}$$

Die Schwingungsrichtungen der Pendel waren Nord-Süd und Ost-West.

Für die Luftdruckbestimmung diente das Aneroid Bause Nr. 937, das mit dem Normalbarometer des Observatoriums verglichen wurde.

Die Zeitbestimmungen wurden auf Veranlassung des Herrn BARACCHI von Seiten der Sternwarte an dem großen REPSOLD'schen Meridiankreis (8 Zoll Öffnung) ausgeführt.

Da der Himmel stets etwas verschleiert war und dadurch die von mir angestellten Beobachtungen wegen der geringen Objektöffnung des von mir benutzten Instrumentes beeinträchtigt wurden, so habe ich nur die Beobachtungen am Meridiankreis zur Bestimmung des täglichen Ganges der Koinzidenzuhr verwendet.

Im folgenden sind die Reduktionen der Zeitbestimmungen und die Uhrvergleichen wiedergegeben, die mir von Herrn BARACCHI mitgeteilt sind.

Name des Sterns	U	α	δ	n	$n \tan \delta$	$U + n \tan \delta$ — α	m	$\mathcal{A}U$ + persönl. (il. + m)
1904 Mai 14.								
η Cancri.....	$8^h 27^m 44.7369$	$8^h 27^m 10.0221$	— $2^{\circ} 361$	+ $0^{\circ} 894$	+ $35^{\circ} 241$	— $0^{\circ} 763$		
γ Cancri.....	$8^h 38^m 18.724$	$8^h 37^m 44.458$		+ 0.944	+ 35.210			+ $35^{\circ} 222$
ϵ Hydrae.....	$8^h 42^m 17.079$	$8^h 41^m 42.170$		+ 0.281	+ 35.190			— 0.075
α Cancri.....	$8^h 53^m 49.679$	$8^h 53^m 14.928$		+ 0.512	+ 35.263			— 0.763
α Cancri.....	$9^h 3^m 8.329$	$8^h 33^m 630$		+ 0.460	+ 35.159			+ 34.384
ϵ Leonis.....	$10^h 13^m 31.350$	$10^h 3^m 16.640$		+ 0.532	+ 35.132			
ϵ Leonis.....	$10^h 28^m 21.394$	$10^h 27^m 46.591$		+ 0.408	+ 35.211			
ν Hydrae.....	$10^h 45^m 30.636$	$10^h 44^m 54.704$		+ 0.665	+ 35.269			
Mai 15.								
ϵ Hydrae.....	$8^h 42^m 17.253$	$8^h 41^m 42.157$	— $2^{\circ} 360$	+ $0^{\circ} 281$	+ $35^{\circ} 377$	— $0^{\circ} 783$		
γ Argus.....	$9^h 5^m 6.274$	$9^h 4^m 28.661$		— 1.204	+ 35.408			+ $35^{\circ} 376$
δ Cancri.....	$9^h 14^m 12.776$	$9^h 13^m 38.197$		+ 0.772	+ 35.351			— 0.075
α Hydrae.....	$9^h 23^m 18.816$	$9^h 23^m 53.074$		— 0.342	+ 35.400			— 0.783
ϵ Leonis.....	$9^h 27^m 12.067$	$9^h 26^m 47.144$		+ 0.491	+ 35.444			+ 34.518
α Leonis.....	$10^h 3^m 51.450$	$10^h 3^m 16.626$		+ 0.522	+ 35.346			
δ Sextant.....	$10^h 13^m 28.460$	$10^h 12^m 52.769$		+ 0.314	+ 35.377			
γ Leonis.....	$10^h 15^m 16.377$	$10^h 14^m 41.914$		+ 0.876	+ 35.339			
Mai 16.								
ζ Argus.....	$8^h 0^m 50.421$	$8^h 0^m 12.724$	— $2^{\circ} 394$	— $1^{\circ} 986$	+ $35^{\circ} 711$	— $0^{\circ} 740$		
γ Argus.....	$8^h 4^m 4.369$	$8^h 3^m 27.635$		— 1.066	+ 35.668			+ $35^{\circ} 680$
α Puppi.....	$8^h 9^m 31.861$	$8^h 8^m 55.599$		— 0.662	+ 35.600			— 0.740
β Cancri.....	$8^h 11^m 54.329$	$8^h 11^m 18.993$		+ 0.399	+ 35.735			+ 34.865
η Cancri.....	$8^h 27^m 44.747$	$8^h 27^m 9.996$		+ 0.907	+ 35.638			
ϵ Hydrae.....	$8^h 42^m 17.487$	$8^h 41^m 42.144$		+ 0.285	+ 35.628			
α Leonis.....	$9^h 55^m 44.810$	$9^h 55^m 9.429$		+ 0.358	+ 35.739			
α Leonis.....	$10^h 3^m 51.786$	$10^h 3^m 16.612$		+ 0.537	+ 35.701			
Mai 17.								
γ Cancri.....	$8^h 38^m 19.7329$	$8^h 37^m 44.416$	— $2^{\circ} 382$	+ $0^{\circ} 982$	+ $35^{\circ} 865$	— $0^{\circ} 731$		
ϵ Hydrae.....	$8^h 42^m 17.860$	$8^h 41^m 42.131$		+ 0.283	+ 36.012			+ $35^{\circ} 791$
ζ Hydrae.....	$8^h 50^m 55.570$	$8^h 50^m 19.832$		+ 0.264	+ 36.002			— 0.075
α Cancri.....	$8^h 53^m 50.329$	$8^h 53^m 14.889$		+ 0.516	+ 35.956			— 0.731
α Cancri.....	$9^h 3^m 9.046$	$8^h 33^m 591$		+ 0.464	+ 35.919			+ 35.165
λ Argus.....	$9^h 5^m 6.819$	$9^h 4^m 28.615$		— 1.223	+ 35.931			
μ Leonis.....	$9^h 47^m 53.929$	$9^h 47^m 19.141$		+ 1.185	+ 35.973			
α Leonis.....	$10^h 3^m 51.956$	$10^h 3^m 16.598$		+ 0.526	+ 35.884			
μ Hydrae.....	$10^h 12^m 44.779$	$10^h 12^m 38.080$		— 0.697	+ 36.026			
ϵ Leonis.....	$10^h 28^m 22.166$	$10^h 27^m 46.552$		+ 0.412	+ 36.026			
δ Sextant.....	$10^h 38^m 17.109$	$10^h 37^m 11.263$		+ 0.271	+ 36.017			
ν Leonis.....	$10^h 44^m 49.477$	$10^h 44^m 13.927$		+ 0.464	+ 36.014			
Mai 18.								
β Geminorum.....	$7^h 41^m 1^{\circ} 681$	$7^h 39^m 26^{\circ} 883$	— $2^{\circ} 353$	+ $1^{\circ} 266$	+ $36^{\circ} 164$	— $0^{\circ} 739$		
ζ Argus.....	$8^h 0^m 50.940$	$8^h 0^m 12.685$		— 1.955	+ 36.300			+ $36^{\circ} 283$
λ Argus.....	$8^h 4^m 4.946$	$8^h 3^m 27.606$		— 1.029	+ 36.291			— 0.075
α Puppi.....	$8^h 9^m 32.504$	$8^h 8^m 55.572$		— 0.642	+ 36.280			— 0.739
α Mali.....	$8^h 40^m 22.386$	$8^h 39^m 44.561$		— 1.518	+ 36.307			+ 35.469
γ Leonis.....	$10^h 15^m 17.276$	$10^h 14^m 41.868$		+ 0.873	+ 36.281			
ϵ Leonis.....	$10^h 28^m 22.426$	$10^h 27^m 46.539$		+ 0.407	+ 36.294			
ν Hydrae.....	$10^h 45^m 31.593$	$10^h 44^m 54.632$		— 0.661	+ 36.280			
ϵ Corvi.....	$12^h 5^m 50.474$	$12^h 5^m 13.156$		— 0.955	+ 36.361			
ν Virginis.....	$12^h 35^m 37.731$	$12^h 35^m 1.388$		— 0.005	+ 36.341			
γ Virginis.....	$12^h 37^m 25.763$	$12^h 36^m 49.509$		— 0.038	+ 36.216			

Für die Ermittlung der n und m dienten die nachstehenden Polsternbeobachtungen.

Name des Sterns	l'	α	sec δ	tang δ	n
1904 Mai 14.					
Oct. L 3759	8 ^h 39 ^m 45 ^s .024	8 ^h 38 ^m 34 ^s .054	+ 15.273	+ 15.240	- 2.369
Oct. S 11139 SP ..	8 58 28.949	20 58 28.174	- 14.429	- 14.395	
ξ Octantis	9 11 47.626	9 10 43.550	+ 12.17	+ 12.132	- 2.342
B Octantis SP	9 39 9.337	21 41 42.925	- 80.511	- 80.805	
λ_1 Octantis SP	9 36 29.580	21 36 14.013	- 8.387	- 8.327	- 2.374
ζ Cham.	9 37 35.514	9 36 46.000	+ 6.071	+ 5.988	
Mai 15.					
ξ Octantis	9 ^h 11 ^m 47 ^s .951	9 ^h 10 ^m 43 ^s .294	+ 12.17	+ 12.132	- 2.359
B Octantis SP	9 39 10.007	21 41 44.614	- 80.805	- 80.798	
λ_1 Octantis SP	9 36 29.880	21 36 14.212	- 8.387	- 8.327	- 2.362
ζ Cham.	9 37 35.357	9 36 45.870	+ 6.071	+ 5.988	
Mai 16.					
Oct. L 3759	8 ^h 39 ^m 45 ^s .391	8 ^h 38 ^m 33 ^s .393	+ 15.273	+ 15.240	- 2.388
Oct. S 11139 SP ..	8 58 30.067	20 58 28.838	- 14.429	- 14.395	
λ_1 Octantis SP	9 36 29.811	21 36 14.411	- 8.387	- 8.327	- 2.401
ζ Cham.	9 37 35.577	9 36 45.740	+ 6.071	+ 5.988	
B Octantis SP	9 39 13.081	21 41 46.360	- 80.800	- 80.800	(- 2.34)
Mai 17.					
Oct. L 3759	8 ^h 39 ^m 45 ^s .423	8 ^h 38 ^m 33 ^s .043	+ 15.273	+ 15.240	- 2.399
Oct. S 11139 SP ..	8 58 30.476	20 58 29.189	- 14.429	- 14.395	
ξ Octantis	9 11 47.961	9 10 42.752	+ 12.17	+ 12.132	- 2.365
B Octantis SP	9 39 13.622	21 41 48.190	- 80.799	- 80.792	
Mai 18.					
γ_2 Octantis SP	11 ^h 52 ^m 26 ^s .520	23 ^h 52 ^m 8 ^s .809	- 7.867	- 7.803	- 2.351
Oct. BAC 4058 ..	11 58 50.827	11 57 47.337	+ 11.716	+ 11.673	
Oct. 40 SP	12 9 30.567	0 9 24.621	- 12.809	- 12.770	- 2.355
ϵ Octantis	12 46 9.667	12 45 8.672	+ 10.641	+ 10.594	

In welcher Weise die Kollimation bestimmt wurde, ist mir nicht bekannt; daß sie angebracht ist, ergibt die gute Übereinstimmung der Beobachtungen der verschiedenen Sterne.

Bei diesen Beobachtungen wurde die Uhr FRODSHAM Z benutzt, die mit der Uhr FRODSHAM T und S verglichen wurde. Die Vergleichen ergaben die folgenden Beziehungen.

FRODSHAM T , S und Z										
Datum 1904	Sternzeit der Ver- gleichung	$T-S$	$T-Z$	Korr. T	Gang T	Korr. S	Gang S	Korr. Z	Gang Z	Mittl. Luft- druck
Mai 13 720	10 ^h 25 ^m	-52.74	-38.04	+4.27		-48.47		-34.37		
- 14 0	3 38	-53.18	-38.59	+4.12	-0.07		-0.66	-0.01		771.6
- 14 6.3	9 48	-53.51	-38.58	+4.20	-0.17	-49.11	-0.82	-34.38	-0.14	768.1
- 15 6.0	9 29	-53.95	-38.55	+4.03		-49.92		-34.52		
- 16 0	3 21	-54.46	-38.65	+3.85	-0.24		-0.95	-0.36		762.5
- 16 5.5	9 3	-54.64	-38.66	+3.79		-50.85		-34.87		
- 17 0	3 54	-55.16	-38.76	+3.69	-0.14		-0.90	-0.19		763.5
- 17 6.2	9 51	-55.44	-38.82	+3.65		-51.78		-35.17		
- 18 0	3 33	-56.08	-38.95	+3.59	-0.09		-0.92	-0.19		765.3
- 18 6.9	10 39	-56.29	-39.03	+3.56		-52.73		-35.47		

Die Vergleichen von STRASSER & RONDE Nr. 101 mit FRODSHAM T , sowie die für die Koinzidenzzuhr abgeleiteten täglichen Gänge gibt die folgende Tabelle.

Datum 1904	Sternzeit der Ver- gleichung	$T-S_{\text{Str.}}$	ΔU $S_{\text{Str.}}$	Täglicher Gang
Mai 14	4 ^h 26 ^m	-1.92	+2.30	
- 14	9 53	-3.60	+0.60	
- 15	8 51	-10.24	+6.11	-7.14
- 15	10 7	-3.93	+0.11	
- 16	4 3	-8.11	-4.17	-5.75
- 16	9 14	-9.20	-5.41	
- 17	4 25	-13.69	-10.00	-5.75
- 17	9 55	-14.94	-11.29	
- 18	3 47	-19.10	-15.51	-5.67
- 18	10 48	-20.71	-17.15	
- 19	5 53	-24.73	-21.22	

Der Unterschied in den täglichen Gängen des ersten und der übrigen Tage rührt daher, daß nach den Beobachtungen des ersten Tages und nach Vergleichung mit den übrigen Uhren die Koinzidenzzuhr abgehalten und bald darauf wieder in Gang gesetzt wurde.

Der mittlere Fehler des täglichen Ganges der Koinzidenzzuhr, soweit er sich aus den Zeitbestimmungen herschreibt, ist, wenn nur die erste und letzte Zeitbestimmung berücksichtigt wird:

$$\frac{1.38(11^2 + 0.025^2)}{4} = \pm 0.007.$$

Zur Bestimmung des Mitschwingens wurden 8 Sätze von Beobachtungen gemacht und zwar 4 für jede der beiden Richtungen. Die einzelnen Sätze ergaben folgende Werte für das Mitschwingen

$$\begin{array}{r}
 \text{in der Richtung } N-S: \quad \begin{array}{r} 38 \\ 40 \\ 40 \\ 40 \end{array} \\
 \hline
 \text{Mittel: } (40^{\circ} \pm 0^{\circ}.8) \times 10^{-7} \\
 \\
 \text{in der Richtung } E-W: \quad \begin{array}{r} 35 \\ 38 \\ 36 \\ 35 \end{array} \\
 \hline
 \text{Mittel: } (36^{\circ} \pm 0^{\circ}.7) \times 10^{-7}.
 \end{array}$$

Bei der Berechnung der mittleren Fehler ist der Abrundungsfehler berücksichtigt.

Wie sich später zeigen wird, ist ein Pendel, nämlich Pendel Nr. 6, wegen seiner Veränderlichkeit bei der Ableitung des Wertes für die Schwerkraft ausgeschlossen worden.

Da somit, wie die Haupttabellen ergeben, 2 Pendel in der Richtung $N-S$ und 3 Pendel in der Richtung $E-W$ beobachtet sind, so wird der mittlere Fehler der Schwerkraftbestimmung, der durch die Unsicherheit der Bestimmung des Mitschwingens hervorgerufen wird,

$$\sqrt{\frac{4 \times 0.8^2 + 9 \times 0.7^2}{25}} = \pm 0^{\circ}.5 \times 10^{-7}.$$

Es wurden in Melbourne 5 Pendel je 6-mal beobachtet; die Beobachtungen verteilen sich auf 4 Tage.

Sydney.

Von dem interimistischen Direktor des Observatoriums Herrn LENEHAN wurde mir für die Pendelbeobachtungen ein Kellerraum zur Verfügung gestellt, in dem auch die Pendeluhr aufgestellt werden konnte. Der Fußboden des Raumes, auf dem das Stativ des Pendelapparates festgegißt wurde, besteht aus Beton.

Der Aufstellungsort hatte die Position

$$\begin{array}{r}
 \varphi = -33^{\circ} 51' 41'' \\
 \lambda = 151^{\circ} 12' 4 E.
 \end{array}$$

Mit Berücksichtigung der Höhe des Pendelapparates war die

$$\text{Höhe der Pendellinse über dem Meeresspiegel} \quad 43 \text{ m.}$$

Die Azimute der Schwingungsebenen der Pendel waren $N-S$ bzw. $E-W$. Für die Dichtigkeit des Bodens kann der Wert 2.3 angenommen werden.

Für die Ausführung der Zeitbestimmungen konnte ich das von mir mitgeführte Passagen-Instrument auf einen nicht benutzten Pfeiler im Meridianzimmer stellen, für den eine Spalteinrichtung im Dache und in den Seitenwänden vorhanden war. Ich habe im ganzen 5 Zeitbestimmungen ausgeführt, deren Resultate nachstehend folgen.

Inmitten des Durchganges eines jeden Sterns wurde das Instrument umgelegt.

Kreis- lage	Name des Sterns	δ	U	Korrektion wegen			Meridian- durchgang	α	ΔU
				Uhrang	Neigung	Azimet			
1904 Juni 5.									
WE	ϵ Octantis...	$-84^{\circ} 37'$	$12^h 45^m 7^s.70$	$-0^{\circ}.14$	$+0^{\circ}.50$	$-1^{\circ}.23$	$45^m 6^s.33$	$45^m 5^s.43$	$(-0^{\circ}.91)$
EW	ϵ Virginis...	$+11^{\circ} 28'$	$57^m 26.51$	$-0^{\circ}.10$	$+0^{\circ}.07$	$+0^{\circ}.15$	$57^m 26.63$	$57^m 25.56$	$+1.07$
WE	θ Virginis...	$5^{\circ} 2$	$13^h 5^m 1.60$	$-0^{\circ}.08$	$+0^{\circ}.08$	$+0^{\circ}.10$	$5^m 1^s.70$	$5^m 0^s.61$	$+1.09$
EW	γ Hydrae...	$-22^{\circ} 40'$	$13^h 45^m 34$	$-0^{\circ}.05$	$+0^{\circ}.11$	$+0^{\circ}.04$	$13^h 45^m 45$	$13^h 44^m 31$	$+1.14$
WE	α Octantis...	$-85^{\circ} 18$	$25^m 40.62$	$-0^{\circ}.02$	$+0^{\circ}.45$	$-2^{\circ}.00$	$25^m 39.05$	$25^m 37^s.85$	$(+1.20)$
EW	m Virginis...	$-8^{\circ} 13$	$36^m 37.39$	$+0^{\circ}.02$	$+0^{\circ}.07$	$+0^{\circ}.09$	$36^m 37.57$	$36^m 36.44$	$+1.13$
WE	μ Centauri...	$-42^{\circ} 0$	$43^m 53.80$	$+0^{\circ}.04$	$+0^{\circ}.11$	$-0^{\circ}.04$	$43^m 53.91$	$43^m 52^s.82$	$+1.09$
EW	π Hydrae...	$-26^{\circ} 13$	$14^h 0^m 57.67$	$+0^{\circ}.09$	$+0^{\circ}.08$	$+0^{\circ}.05$	$0^m 57.87$	$0^m 56^s.76$	$+1.11$
Juni 6.									
EW	ϵ Virginis...	$+11^{\circ} 28'$	$12^h 57^m 21^s.77$	$-0^{\circ}.10$	$+0^{\circ}.06$	$+0^{\circ}.18$	$57^m 21^s.79$	$57^m 25^s.54$	$+3^s.75$
WE	θ Virginis...	$5^{\circ} 2$	$13^h 4^m 56.96$	$-0^{\circ}.08$	$-0^{\circ}.06$	$+0^{\circ}.12$	$4^m 56^s.94$	$5^m 0^s.60$	$+3^s.66$
EW	γ Hydrae...	$-22^{\circ} 40'$	$13^h 45^m 36$	$-0^{\circ}.05$	$-0^{\circ}.11$	$+0^{\circ}.05$	$13^h 45^m 65$	$13^h 44^m 30$	$+3^s.65$
WE	α Octantis...	$-85^{\circ} 18$	$25^m 37.20$	$-0^{\circ}.02$	$-0^{\circ}.80$	$-2^{\circ}.33$	$25^m 34.05$	$25^m 37^s.67$	$(+3^s.62)$
EW	m Virginis...	$-8^{\circ} 13$	$36^m 32.83$	$+0^{\circ}.02$	$-0^{\circ}.10$	$+0^{\circ}.11$	$36^m 32.86$	$36^m 36.43$	$+3^s.57$
WE	μ Centauri...	$-42^{\circ} 0$	$43^m 49.26$	$+0^{\circ}.04$	$-0^{\circ}.13$	$-0^{\circ}.05$	$43^m 49.22$	$43^m 52^s.81$	$+3^s.69$
EW	τ Virginis...	$+2^{\circ} 0$	$56^m 43.97$	$+0^{\circ}.08$	$-0^{\circ}.09$	$+0^{\circ}.14$	$56^m 44.10$	$56^m 47^s.66$	$+3^s.56$
WE	π Hydrae...	$-26^{\circ} 13$	$14^h 0^m 52.96$	$+0^{\circ}.09$	$-0^{\circ}.11$	$+0^{\circ}.04$	$0^m 52.98$	$0^m 56^s.75$	$+3^s.77$
Juni 7.									
EW	ϵ Virginis...	$+11^{\circ} 28'$	$12^h 57^m 17^s.27$	$-0^{\circ}.10$	$+0^{\circ}.06$	$+0^{\circ}.09$	$57^m 17^s.20$	$57^m 25^s.53$	$+8^s.33$
WE	θ Virginis...	$5^{\circ} 2$	$13^h 4^m 52.36$	$-0^{\circ}.08$	$-0^{\circ}.09$	$+0^{\circ}.06$	$4^m 52^s.25$	$5^m 0^s.59$	$+8^s.34$
EW	γ Hydrae...	$-22^{\circ} 40'$	$13^h 45^m 36.08$	$-0^{\circ}.05$	$-0^{\circ}.10$	$+0^{\circ}.03$	$13^h 45^m 96$	$13^h 44^m 29$	$+8^s.33$
WE	α Octantis...	$-85^{\circ} 18$	$25^m 31.08$	$-0^{\circ}.02$	$-0^{\circ}.67$	$-1^{\circ}.21$	$25^m 29.18$	$25^m 37^s.48$	$(+8^s.30)$
EW	m Virginis...	$-8^{\circ} 13$	$36^m 28.19$	$+0^{\circ}.02$	$-0^{\circ}.09$	$+0^{\circ}.06$	$36^m 28.18$	$36^m 36^s.42$	$+8^s.24$
WE	μ Centauri...	$-42^{\circ} 0$	$43^m 44.62$	$+0^{\circ}.04$	$-0^{\circ}.13$	$-0^{\circ}.03$	$43^m 44.51$	$43^m 52^s.80$	$+8^s.29$
EW	τ Virginis...	$+2^{\circ} 0$	$56^m 39.38$	$+0^{\circ}.08$	$-0^{\circ}.07$	$+0^{\circ}.07$	$56^m 39.46$	$56^m 47^s.65$	$+8^s.19$
Juni 8.									
EW	ϵ Virginis...	$+11^{\circ} 28'$	$12^h 57^m 12^s.83$	$-0^{\circ}.10$	$+0^{\circ}.04$	$+0^{\circ}.05$	$57^m 12^s.82$	$57^m 25^s.52$	$+12^s.70$
WE	θ Virginis...	$5^{\circ} 2$	$13^h 4^m 47.90$	$-0^{\circ}.08$	$+0^{\circ}.03$	$+0^{\circ}.04$	$4^m 47^s.89$	$5^m 0^s.57$	$+12^s.68$
EW	γ Hydrae...	$-22^{\circ} 40'$	$13^h 45^m 36.66$	$-0^{\circ}.05$	$-0^{\circ}.01$	$+0^{\circ}.02$	$13^h 45^m 62$	$13^h 44^m 27$	$+12^s.65$
WE	α Octantis...	$-85^{\circ} 18$	$25^m 25.44$	$-0^{\circ}.02$	$-0^{\circ}.03$	$-0^{\circ}.72$	$25^m 24.65$	$25^m 37^s.30$	$(+12^s.65)$
EW	m Virginis...	$-8^{\circ} 13$	$36^m 23^s.70$	$+0^{\circ}.02$	$-0^{\circ}.00$	$+0^{\circ}.03$	$36^m 23^s.75$	$36^m 36^s.41$	$+12^s.66$
WE	ϵ Centauri...	$-46^{\circ} 49$	$49^m 23^s.36$	$+0^{\circ}.06$	$-0^{\circ}.03$	$-0^{\circ}.02$	$49^m 23^s.37$	$49^m 36^s.10$	$+12^s.73$
EW	τ Virginis...	$+2^{\circ} 0$	$56^m 34^s.76$	$+0^{\circ}.08$	$-0^{\circ}.03$	$+0^{\circ}.04$	$56^m 34^s.85$	$56^m 47^s.64$	$+12^s.79$
WE	π Hydrae...	$-26^{\circ} 13$	$14^h 0^m 43.88$	$+0^{\circ}.09$	$-0^{\circ}.04$	$+0^{\circ}.01$	$0^m 43^s.94$	$0^m 56^s.73$	$+12^s.79$
Juni 9.									
EW	γ Hydrae...	$-22^{\circ} 40'$	$13^h 45^m 27^s.01$	$-0^{\circ}.05$	$-0^{\circ}.05$	$+0^{\circ}.04$	$13^h 46^m 95$	$13^h 44^m 27$	$+17^s.32$
WE	ϵ Centauri...	$-52^{\circ} 59$	$33^m 34^s.48$	$+0^{\circ}.01$	$-0^{\circ}.08$	$-0^{\circ}.10$	$33^m 34^s.31$	$33^m 51^s.55$	$+17^s.24$
EW	μ Centauri...	$-42^{\circ} 0$	$43^m 35.62$	$+0^{\circ}.04$	$-0^{\circ}.06$	$-0^{\circ}.05$	$43^m 35^s.37$	$43^m 52^s.78$	$+17^s.21$
WE	τ Virginis...	$+2^{\circ} 0$	$56^m 30^s.31$	$+0^{\circ}.08$	$-0^{\circ}.08$	$+0^{\circ}.10$	$56^m 30^s.41$	$56^m 47^s.63$	$+17^s.22$

Für die Reduktion der Pendelbeobachtungen wurden hieraus die folgenden Uhrkorrekturen ermittelt:

Juni 5:	$\Delta U = - 1^s.10 \pm 0^s.011$	Epoche	13.50
- 6:	$\Delta U = + 3.66 \pm 0.031$	-	13.50
- 7:	$\Delta U = + 8.29 \pm 0.025$	-	13.50
- 8:	$\Delta U = + 12.71 \pm 0.022$	-	13.50
- 9:	$\Delta U = + 17.15 \pm 0.025$	-	13.50.

Wegen der systematischen Fehler der ΔU innerhalb der einzelnen Zeitbestimmungen sind die mittleren Fehler unsicher, aber eher zu groß als zu klein.

Aus den ΔU ergeben sich die täglichen Gänge für

Juni 5 6:	$+ 4^s.76 \pm 0^s.03$
- 6 7:	$+ 4.63 \pm 0.04$
- 7 8:	$+ 4.42 \pm 0.03$
- 8 9:	$+ 4.54 \pm 0.03.$

Der mittlere Fehler des täglichen Ganges, nur aus der ersten und letzten Zeitbestimmung hergeleitet, beträgt

$$\sqrt{\frac{0.011^2 + 0.025^2}{4}} = \pm 0^s.007.$$

Die Bestimmung des Mitschwingers wurde 10-mal ausgeführt und zwar 5-mal in jeder Richtung. Die einzelnen Sätze ergeben für die

Richtung N—S:	$37^s \times 10^{-7}$
	37
	35
	33
	34
Mittel:	$(35^s \pm 0^s.8) \times 10^{-7},$
Richtung E—W:	$41^s \times 10^{-7}$
	40
	39
	39
	41
Mittel:	$(40^s \pm 0^s.4) \times 10^{-7}.$

Da 2 Pendel in der Richtung E—W und 3 Pendel in der Richtung N—S schwingen (Pendel Nr. 6 wurde, wie bereits erwähnt, ausgeschlossen), so erhalten wir als mittleren Fehler

$$\sqrt{\frac{4 \times 0.4^2 + 9 \times 0.8^2}{25}} = \pm 0^s.5 \times 10^{-7}.$$

Die 5 Pendel wurden je 6-mal beobachtet; die Beobachtungen verteilen sich auf 4 Tage.

Berkeley.

Für die Ausführung der Pendelbeobachtungen in Berkeley fand ich einen sehr geeigneten Raum in dem Parterre der South Hall des Physikalischen Institutes der Universität von Californien. In diesem Räume, der gute Temperaturkonstanz aufwies und der einen Betonfußboden hatte, konnte auch die Koinzidenzuhr aufgestellt werden.

Die Zeitbestimmungen führte ich an dem mitgeführten Passageninstrument aus, das auf einem Steinpfeiler der etwa 350 m entfernten Sternwarte aufgestellt wurde. Der Direktor der Sternwarte, Herr Professor LEACHNER, trug freundlichst Sorge für die Herstellung einer elektrischen Doppelleitung nach dem Physikalischen Institute.

Die geographische Position des Pendelpfeilers war

$$\varphi = + 37^{\circ} 52' 2''$$

$$\lambda = 122^{\circ} 15' 4'' \text{ W.}$$

Die Dichtigkeit des Bodens ist etwa 2.4.

Mit Berücksichtigung der Höhe des Pendelstativs war die

Höhe der Pendellinse über dem Meere etwa 93 m.

Das Azimut der Schwingungsrichtung der Pendel war NE-SW bez. NW-SE.

Die Zeitbestimmungen wurden direkt auf die Koinzidenzuhr STRASSER & RORDE Nr. 101 bezogen. Es wurden an 5 Tagen Zeitbestimmungen ausgeführt, in denen zusammen 40 Sterne beobachtet wurden. Die Beobachtungen und ihre Reduktion sind im folgenden gegeben.

Kreis- lage	Name des Sterns	δ	U	Korrektion wegen			Meridian- durchgang	α	ΔU
				Uhr- gang	Neigung	Azimut			
1904 Juli 27.									
WE	ζ Herculis ..	+ 31° 47'	16 ^h 37 ^m 10.76	+ 0.07	- 0.15	+ 0.14	37 ^m 10.82	37 ^m 42.04	+ 31.22
EW	Gr 2377....	+ 56 58	43 0.14	+ 0.06	- 0.49	- 0.65	42 59.06	43 30.31	+ 31.25
WE	α Herculis ..	+ 14 30	9 47.04	+ 0.01	- 0.17	+ 0.45	9 47.33	10 18.58	+ 31.25
EW	σ Ophiuchi ..	+ 4 14	21 45.95	- 0.01	- 0.16	+ 0.61	21 46.38	21 47.65	+ 31.27
WE	β Draconis ..	+ 52 23	27 47.59	- 0.03	- 0.33	- 0.45	27 46.78	28 18.06	+ 31.28
EW	μ Herculis ..	+ 27 47	42 13.27	- 0.06	- 0.23	+ 0.22	42 13.20	42 44.49	+ 31.29
WE	δ Ursae min.	+ 86 37	18 3 8.82	- 0.10	- 2.55	- 13.94	2 52.23	3 23.55	(+ 31.32)
Juli 28.									
EW	π Herculis ..	+ 36° 55'	17 ^h 11 ^m 15.94	+ 0.04	- 0.30	0.00	11 ^m 15.68	11 ^m 44.36	+ 28.68
WE	σ Ophiuchi ..	+ 4 14	21 18.54	+ 0.02	- 0.16	+ 0.74	21 19.04	21 47.64	+ 28.60
EW	β Draconis ..	+ 52 23	28 50.51	0.00	- 0.54	- 0.55	28 49.44	28 18.04	+ 28.60
WE	ϵ Herculis ..	+ 46 4	36 19.75	- 0.01	- 0.54	- 0.27	36 18.95	36 47.60	+ 28.67
EW	μ Herculis ..	+ 27 47	42 16.09	- 0.02	- 0.16	+ 0.16	42 15.37	42 44.49	+ 28.62
WE	δ Herculis ..	+ 26 4	31 6.84	- 0.04	- 0.45	+ 0.30	31 6.65	31 35.34	+ 28.69
EW	δ Ursae min.	+ 86 37	18 4 16.68	- 0.07	- 4.93	- 16.94	3 54.74	3 23.39	(+ 28.65)

Kreislage	Name des Sterns	δ	U	Korrektion wegen			Meridian- durchgang	α	AU
				Urgang	Neigung	Azmut			
1904 Juli 30.									
EW	β Cygni....	+ 27° 46'	19 ^h 26 ^m 31 ^s .11	+ 0.07	- 0.09	+ 0.62	26 ^m 31 ^s .36	26 ^m 53 ^s .88	+ 22.52
WE	γ Aquilae ...	+ 10 23	41 21.55	+ 0.04	- 0.08	+ 0.62	41 22.13	41 44.67	+ 22.54
EW	α Aquilae ...	+ 8 37	45 45.75	+ 0.03	- 0.09	+ 0.66	45 46.35	46 8.93	+ 22.58
WE	γ Cygni....	+ 39 57	20 18 27.90	- 0.04	- 0.18	- 0.06	18 27.62	18 50.16	+ 22.54
Juli 31.									
WE	δ Ophiuchi..	+ 3° 27'	16 ^h 9 ^m 0 ^s .01	+ 0.10	+ 0.11	+ 0.78	9 ^m 1 ^s .00	9 ^m 21 ^s .15	+ 20.15
EW	γ Herculis ..	+ 19 23	17 22.35	+ 0.08	+ 0.09	+ 0.46	17 22.98	17 43.11	+ 20.13
WE	η Draconis ..	+ 61 44	21 23.38	+ 0.07	+ 0.21	+ 1.17	22 22.49	22 42.74	+ 20.25
EW	ζ Herculis ..	+ 31 47	37 21.54	+ 0.04	+ 0.04	+ 0.17	37 21.79	37 41.98	+ 20.19
WE	Gr. 2377	+ 56 58	43 10.64	+ 0.03	+ 0.12	- 0.82	43 9.98	43 30.19	+ 20.21
EW	ϵ Ursae min.	+ 82 12	55 24.99	+ 0.01	+ 0.16	- 7.05	55 27.11	55 48.29	+ 20.18
WE	α' Herculis ..	+ 14 30	17 9 57.83	- 0.02	+ 0.02	+ 0.56	9 58.39	10 18.54	+ 20.15
EW	α Ophiuchi..	+ 12 38	32 10.45	- 0.06	- 0.02	+ 0.60	30 10.97	30 31.13	+ 20.16
WE	ϵ' Herculis ..	+ 46 4	36 27.69	- 0.07	- 0.00	- 0.28	36 27.34	36 47.52	+ 20.18
EW	μ Herculis ..	+ 27 47	42 24.15	- 0.08	- 0.03	+ 0.27	42 24.31	42 44.45	+ 20.14
WE	δ Herculis ..	+ 26 4	51 14.85	- 0.10	- 0.01	+ 0.31	51 15.07	51 35.31	+ 20.22
EW	δ Ursae min.	+ 86 37	18 3 19.34	- 0.12	+ 0.29	- 17.39	3 21.32	3 22.53	+ 20.21
August 1.									
WE	δ Herculis ..	+ 21° 42'	16 ^h 25 ^m 50 ^s .68	+ 0.07	- 0.13	- 0.36	25 ^m 40 ^s .26	26 ^m 2 ^s .51	+ 17.28
EW	ζ Herculis ..	+ 31 47	37 24.84	+ 0.04	- 0.08	- 0.15	37 24.68	37 44.96	+ 17.11
WE	Gr. 2377	+ 56 58	43 12.11	+ 0.03	- 0.10	+ 0.72	43 12.78	43 30.15	+ 17.37
EW	ϵ Ursae min.	+ 82 12	55 25.18	+ 0.01	- 0.32	+ 6.18	55 31.05	55 48.14	+ 17.09
WE	α' Herculis ..	+ 14 30	17 10 1.80	- 0.02	- 0.05	- 0.49	10 1.24	10 18.53	+ 17.29
EW	α Ophiuchi..	+ 4 14	21 31.16	- 0.04	- 0.11	- 0.66	21 30.35	21 47.61	+ 17.26
WE	β Draconis ..	+ 52 23	28 0.33	- 0.05	- 0.16	+ 0.49	28 0.61	28 17.95	+ 17.34
EW	ϵ' Herculis ..	+ 46 4	36 30.23	- 0.07	- 0.20	+ 0.25	36 30.21	36 47.50	+ 17.29
WE	μ Herculis ..	+ 27 47	42 17.59	- 0.08	- 0.13	- 0.24	42 17.14	42 44.44	+ 17.30
EW	δ Ursae min.	+ 86 37	2 51.35	- 0.12	- 1.97	+ 15.29	3 44.55	3 22.28	+ 17.73

Es ergeben sich hier die Uhrkorrekturen

Juli 27:	$AU = + 31.26 \pm 0.010$	Epöche	17 ^h 25
- 28:	$AU = + 28.64 \pm 0.017$	-	17.50
- 30:	$AU = + 22.55 \pm 0.013$	-	20.00
- 31:	$AU = + 20.18 \pm 0.013$	-	17.00
August 1:	$AU = + 17.31 \pm 0.013$	-	17.00.

Mit Berücksichtigung der mittl. Epochen der Beobachtungen erhält man hieraus die täglichen Gänge für

Juli 27-28:	$- 2.59 \pm 0.02$
- 28 30:	$- 2.89 \pm 0.02$
- 30 31:	$- 2.71 \pm 0.02$
Juli 31—August 1:	$- 2.87 \pm 0.02.$

Berechnet man den mittleren Fehler des täglichen Ganges aus der ersten und letzten Zeitbestimmung, so wird derselbe

$$\frac{\sqrt{0,010^2 + 0,013^2}}{5} = \pm 0,003.$$

Das Mitschwingen wurde in jeder Richtung 5-mal bestimmt. Als Resultat ergab sich für die

$$\begin{array}{rcl} \text{Richtung NE—SW:} & 31^{\circ} \times 10^{-7} \\ & 30 \\ & 33 \\ & 30 \\ & 30 \\ \hline \text{Mittel:} & (31^{\circ} \pm 0,6) \times 10^{-7}, \end{array}$$

$$\begin{array}{rcl} \text{Richtung NW—SE:} & 35^{\circ} \times 10^{-7} \\ & 34 \\ & 34 \\ & 35 \\ & 34 \\ \hline \text{Mittel:} & (34^{\circ} \pm 0,5) \times 10^{-7}. \end{array}$$

Der mittlere Fehler der Bestimmung des Mitschwingens für die Station ist somit

$$\sqrt{\frac{1 \times 0,5^2 + 9 \times 0,6^2}{15}} = \pm 0,4 \times 10^{-7}.$$

Während der 5 Beobachtungstage wurden die Pendel je 8-mal beobachtet.

Tokyo.

In Tokyo wurde mir für die Ausführung der Pendelbeobachtungen das neue Komparatorgebäude der Kaiserlichen Universität überlassen. Dieser Raum zeichnet sich durch hohe Temperaturkonstanz aus und ist mit einem großen isolierten Pfeiler versehen, auf dem der Pendelapparat aufgestellt wurde.

Die geographische Position ist

$$\begin{array}{l} \varphi = +35^{\circ} 42' 33'' \\ \lambda = 139^{\circ} 46' 0 E. \end{array}$$

Unter Berücksichtigung der Höhe des Pendelapparates war die

$$\text{Meereshöhe der Pendellinse} \quad 18,4 \text{ m.}$$

Die Dichte des Bodens kann zu 2.4 angenommen werden.

Da das Wetter die Ausführung von Zeitbestimmungen nicht gestattete, wurden die Pendel der japanischen geodätischen Kommission mit den von mir benutzten direkt verglichen und zwar unter Anwendung desselben Chronometers.

Die Korrektur wegen Uhranges wurde aus den Beobachtungen der japanischen Pendel, die mehrere Jahre alt sind und sich gut gehalten haben, ermittelt. Die Herren Professor NAGAOKA und Dr. OTANI übernahmen freundlichst die Beobachtung der japanischen Pendel, die im Ostkeller des Physikalischen Institutes aufgestellt waren. Sie beobachteten die 4 Pendel je 6-mal; jedes schwang etwa $1\frac{1}{2}$ Stunde. In den Pausen zwischen den Koinzidenzbeobachtungen beobachtete ich meine Pendel insgesamt je 8-mal.

Die japanischen Beobachtungen sind mir von Herrn Professor NAGAOKA übermittelt. Die Resultate folgen nachstehend. Die in Spalte 14 angegebene Schwingungszeit ist durch die früheren Beobachtungen ermittelt.

Datum 1904	Beobachter, Pendel- Nr. und Lage	Uhr- zeit	Koinzi- denzen- intervall	Aus- schlag	Temp. des Pen- dels	Luft- druck	Schwin- gungs- zeit in Uhrzeit- sek.	Korrekturen wegen				Reduz. Schwin- gungs- zeit in Uhrzeit- sek.	Schwin- gungs- zeit in Stern- zeit- sek.	Korr. weg. Uhr- gang	Täg- licher Uhr- gang
								Aus- schlag	Tempe- ratur	Luft- dichte	Mit- schwin- gen				
Okt. 7	O 22 l	11 ^h 3 ^m	24.450.8	21.2	18.76	756.2	0.510	— 13	— 900	— 612	— 16	0.510	0.510	0	0.00
	O 22 l	12 31	24.450.1	21.2	18.76	755.7	438.4	— 12	— 900	— 611	— 16	2840	2840	— 5	— 0.08
	O 22 l	14 1	24.451.1	21.2	18.76	755.1	437.9	— 12	— 900	— 611	— 16	2840	2840	0	0.00
	O 24 r	15 32	24.739.3	21.2	18.76	754.8	313.8	— 12	— 900	— 611	— 16	1599	1598	— 1	— 0.02
	O 24 r	17 5	24.740.0	21.2	18.76	754.9	313.5	— 12	— 900	— 611	— 16	1596	1598	+ 2	+ 0.03
	O 24 r	18 36	24.739.3	21.2	18.77	755.4	313.8	— 12	— 901	— 611	— 16	1598	1598	0	0.00
	N 22 l	9 58	24.447.9	21.2	18.77	758.3	439.1	— 12	— 901	— 614	— 16	2850	2840	— 10	— 0.17
	N 22 l	11 26	24.448.5	21.2	18.79	757.9	439.1	— 12	— 902	— 614	— 16	2847	2840	— 7	— 0.11
	N 22 l	12 53	24.449.2	21.3	18.80	757.1	438.8	— 12	— 903	— 612	— 16	2846	2840	— 6	— 0.10
	N 24 r	14 23	24.739.8	21.3	18.81	757.1	313.6	— 12	— 903	— 612	— 16	1593	1598	+ 5	+ 0.08
	N 24 r	15 52	24.739.3	21.2	18.84	756.6	313.8	— 12	— 904	— 612	— 16	1594	1598	+ 4	+ 0.07
	N 24 r	17 22	24.740.5	21.2	18.85	757.8	313.3	— 12	— 905	— 613	— 16	1587	1598	+ 11	+ 0.19
- 8	O 23 l	19 39	24.298.2	21.2	18.98	758.0	505.0	— 12	— 911	— 613	— 16	3498	3515	+ 17	+ 0.29
	O 23 l	21 9	24.298.6	21.2	18.99	758.6	504.8	— 12	— 912	— 613	— 16	3495	3515	+ 20	+ 0.34
	N 23 l	9 36	24.298.2	21.1	18.76	761.1	505.0	— 12	— 900	— 617	— 16	3505	3515	+ 10	+ 0.17
	N 25 r	11 5	24.652.6	21.1	18.75	761.0	350.9	— 12	— 900	— 616	— 16	1965	1996	+ 31	+ 0.52
	N 25 r	12 34	24.651.6	21.1	18.73	761.4	351.3	— 12	— 899	— 617	— 16	1969	1996	+ 27	+ 0.46
	N 25 r	14 33	24.651.4	21.2	18.70	761.2	351.4	— 12	— 898	— 617	— 16	1974	1996	+ 25	+ 0.42
	O 23 l	15 33	24.302.1	21.2	18.68	761.1	503.1	— 12	— 897	— 617	— 16	3491	3515	+ 24	+ 0.41
	O 23 l	17 4	24.302.1	21.3	18.66	762.5	503.1	— 12	— 896	— 617	— 16	3490	3515	+ 25	+ 0.42
	O 23 l	18 34	24.303.6	21.2	18.63	761.7	502.6	— 12	— 894	— 617	— 16	3487	3515	+ 28	+ 0.47
	O 25 r	20 5	24.653.1	21.2	18.58	763.0	349.8	— 12	— 892	— 618	— 16	1960	1996	+ 36	+ 0.61
	N 25 r	10 57	24.656.5	21.1	17.94	756.7	349.2	— 12	— 861	— 614	— 16	1989	1996	+ 7	+ 0.13
	O 25 r	12 37	24.657.3	19.1	17.93	754.9	348.9	— 10	— 861	— 612	— 16	1990	1996	+ 6	+ 0.10

Da, wie schon früher bemerkt*), die Unruhe des Bodens bei der Bestimmung des Mitschwings sehr störend war, so erfolgte diese in doppelter Weise. Zunächst wurde eine dynamische

*) vergl. Seite 15.

Bestimmung nach der Zweipendel-Methode vorgenommen und darauf eine statische vermittelst des NAGAOKA'schen Spiegelapparates, die Herr Professor NAGAOKA und ich ausführten.

Es ergab sich für das Mitschwingen in der

Richtung $N-S$:	2-Pend.-Meth.	$25' \times 10^{-7}$,	Spiegel	$24' \times 10^{-7}$
		25		
		25		
		25		
		<hr/>		
		$(25' \pm 0.0) \times 10^{-7}$		

angenommenes Mittel: $25' \times 10^{-7}$,

Richtung $E-W$:	2-Pend.-Meth.	$29' \times 10^{-7}$,	Spiegel	$32' \times 10^{-7}$
		32		
		<hr/>		
		$(31' \pm 1.6) \times 10^{-7}$		

angenommenes Mittel: $31' \times 10^{-7}$.

Trotz der Bodenunruhe zeigen die Bestimmungen in der $N-S$ -Richtung eine sehr gute Übereinstimmung. Auch die Übereinstimmung der beiden aus der dynamischen und der statischen Messung sich ergebenden Werte für die $E-W$ -Richtung ist sehr gut, sodaß der aus der Unsicherheit der Bestimmung des Mitschwingens hervorgehende Einfluß auf das Resultat der Schwerkraftsmessung als gering veranschlagt werden kann.

Der mittlere Fehler der nach der Spiegelmethode erhaltenen Werte des Mitschwingens ist mir nicht bekannt. Leitet man den mittleren Fehler nur aus den Messungen nach der 2-Pendel-Methode ab, so erhält man

$$V_{25}^{1 \times 1.6'} = 0.6 \times 10^{-7},$$

da 3 Pendel in der $N-S$ -Richtung und 2 Pendel in der $E-W$ -Richtung beobachtet wurden (vergl. S. 20).

Zi-ka-wei.

Auf dem Observatorium in Zi-ka-wei wurde mir ein thermisch gut geschützter Raum unter dem Meridianzimmer zur Verfügung gestellt, in dem sich ein für ein Seismometer bestimmter isolierter Pfeiler befand. Auf diesem wurde der Untersatzkomplex des Pendelapparates festgegißt.

Die Pendeluhr konnte in denselben Räume aufgestellt werden.

Die geographische Position des Pendelpfeilers ist:

$$\begin{aligned} \varphi &= + 31^{\circ} 11.6 \\ \lambda &= 121^{\circ} 25.8 E. \end{aligned}$$

Für die Dichtigkeit des Bodens kann man 2.2 annehmen. Die Höhe über dem Meerespiegel ist nicht genau bestimmt. Nach Mitteilung des Direktors des Observatoriums, Herrn P. Faoe

wird sie wenig von 7 m abweichen. Unter Berücksichtigung der Höhe des Pendelstativs soll daher angenommen werden:

Höhe der Pendellinse über dem Meeresspiegel 7.5 m.

Das Azimut der Schwingungsrichtungen war NE—SW und SE—NW.

Die Zeitbestimmungen führte ich an dem mitgeführten Passageninstrumente aus, das auf einem aus Ziegelsteinen gemauerten Pfeiler im Park der Sternwarte aufgestellt wurde. Mit Hilfe einer elektrischen Leitung und des Chronographen konnten die Beobachtungen direkt auf die Koinzidenzuhr Strasser bezogen werden.

Es wurden in drei aufeinander folgenden Nächten Zeitbestimmungen angestellt, die im ganzen 24 Sterne umfassen; sie sind nachstehend mitgeteilt.

Kreislage	Name des Sterns	δ	U	Korrektion wegen			Meridian-durchgang	α	ΔU	
				Urgang	Neigung	Azimut				
1904 Oktober 31.										
EW	16 Pegasi.....	+ 25° 29'	21 ^h 48 ^m 7 ^s .26	+ 0 ^s .31	— 0 ^s .08	+	0 ^s .13	48 ^m 7 ^s .72	48 ^m 44 ^s .24	+ 36 ^s .52
WE	π Pegasi.....	+ 32 43	22 5 9.75	+ 0.18	— 0.06	—	0.07	5 9.80	5 46.16	+ 36.36
EW	3 Lacertae.....	+ 51 45	19 15.03	+ 0.08	— 0.12	—	1.21	19 13.78	19 50.22	+ 36.44
WE	η Pegasi.....	+ 29 44	37 56.75	— 0.05	— 0.19	+	0.06	37 56.57	38 53.11	+ 36.54
EW	μ Pegasi.....	+ 24 6	44 48.70	— 0.10	— 0.15	+	0.29	44 48.74	45 25.21	+ 36.47
WE	β Pegasi.....	+ 27 34	58 31.01	— 0.20	— 0.17	+	0.15	58 33.79	59 10.33	+ 36.54
EW	τ Pegasi.....	+ 23 13	23 15 19.98	— 0.33	— 0.16	—	0.32	15 19.81	15 56.30	+ 36.49
WE	BAC 8213.....	+ 86 47	27 9.50	— 0.41	— 1.42	—	31.31	27 36.36	28 12.86	+ 36.50
November 1.										
WE	16 Pegasi.....	+ 25° 29'	21 ^h 48 ^m 17 ^s .64	+ 0 ^s .31	— 0 ^s .13	+	0 ^s .26	48 ^m 18 ^s .08	48 ^m 44 ^s .22	+ 26 ^s .14
EW	π Pegasi.....	+ 32 53	22 3 8.69	+ 0.21	— 0.08	—	0.29	2 9.11	3 35.22	+ 26.11
WE	3 Lacertae.....	+ 57 44	7 10.34	+ 0.17	— 0.16	—	1.98	7 8.37	7 34.54	+ 26.17
EW	η Pegasi.....	+ 51 45	19 25.48	+ 0.08	— 0.13	—	1.34	19 24.09	19 50.20	+ 26.11
WE	7 Lacertae.....	+ 49 48	26 58.47	+ 0.02	— 0.16	—	1.17	26 57.16	27 23.38	+ 26.32
EW	μ Pegasi.....	+ 24 6	44 59.06	— 0.10	— 0.16	+	0.32	44 59.12	45 35.19	+ 26.07
WE	β Pegasi.....	+ 27 34	58 44.46	— 0.20	— 0.22	+	0.17	58 44.21	59 10.31	+ 26.10
EW	τ Pegasi.....	+ 23 13	23 15 30.36	— 0.33	— 0.20	+	0.36	15 30.19	15 56.29	+ 26.10
WE	BAC 8213.....	+ 86 47	28 23.38	— 0.41	— 1.82	—	32.69	27 46.46	28 12.54	+ 26.08
November 2.										
WE	16 Pegasi.....	+ 25° 29'	21 ^h 48 ^m 28 ^s .22	+ 0 ^s .31	— 0 ^s .11	+	0 ^s .25	48 ^m 28 ^s .67	48 ^m 44 ^s .19	+ 15 ^s .52
EW	π Pegasi.....	+ 32 43	22 5 30.64	+ 0.18	— 0.18	—	0.07	5 30.57	5 46.13	+ 15.56
WE	γ Aquarii.....	+ 1 51	16 27.87	+ 0.10	— 0.14	+	1.24	16 29.07	16 44.56	+ 15.49
EW	7 Lacertae.....	+ 49 48	27 9.10	+ 0.02	— 0.22	—	1.12	27 7.78	27 23.34	+ 15.56
WE	μ Pegasi.....	+ 24 6	45 9.66	— 0.10	— 0.28	+	0.31	45 9.59	45 25.17	+ 15.38
EW	β Pegasi.....	+ 27 34	58 55.07	— 0.20	— 0.29	+	0.16	58 54.73	59 10.30	+ 15.56
WE	BAC 8213.....	+ 86 47	23 28 33.01	— 0.41	— 2.55	—	33.37	27 56.68	28 12.23	+ 15.55

Als Uhrkorrekturen ergeben sich aus diesen:

1904 Oktober 31:	+ 36 ^s .48 \pm 0 ^s .024	Epoche	22 ^h .00
November 1:	+ 26.13 \pm 0.017	-	22.00
- 2:	+ 15.54 \pm 0.014	-	22.00.

Mit Berücksichtigung der Epochen ergeben sich hieraus die täglichen Gänge

$$\begin{array}{ll} \text{Okt. 31/Nov. 1:} & -10^{\circ}35' \pm 0^{\circ}03' \\ \text{Nov. 1/2:} & -10^{\circ}59' \pm 0^{\circ}02'. \end{array}$$

Der mittlere Fehler des täglichen Ganges, nur aus der ersten und letzten Zeitbestimmung hergeleitet, beträgt

$$\sqrt{\frac{0.024^2 + 0.014^2}{2}} = \pm 0^{\circ}014'.$$

Die Bestimmung des Mitschwingens erfolgte 4-mal in jeder Schwingungsrichtung der Pendel. Die einzelnen Sätze ergaben folgende Resultate:

$$\begin{array}{ll} \text{Richtung } SE-NW: & 29^{\circ} \times 10^{-7} \\ & 29 \\ & 30 \\ & 29 \\ \hline \text{Mittel:} & (29^{\circ} \pm 0^{\circ}3') \times 10^{-7}, \\ \\ \text{Richtung } NE-SW: & 31^{\circ} \times 10^{-7} \\ & 31 \\ & 33 \\ & 32 \\ \hline \text{Mittel:} & (32^{\circ} \pm 0^{\circ}5') \times 10^{-7}. \end{array}$$

Der Einfluß der Unsicherheit der Bestimmung des Mitschwingens auf die Schwerkraftbestimmung ist somit $\pm 0^{\circ}4 \times 10^{-7}$. Während der 2 Beobachtungstage wurde jedes der Pendel 5-mal beobachtet.

Hongkong.

Die Pendelbeobachtungen in Hongkong wurden in einem für magnetische Messungen bestimmten Holzhäuschen des Observatoriums ausgeführt, das mit einem Fußboden aus Beton versehen ist. Auf diesem wurde der Untersatzkonus des Pendelapparates aufgestellt. In demselben Raume wurde auch die Pendeluhr aufgestellt.

Die Temperaturkonstanz im Beobachtungsraume konnte als hinreichend betrachtet werden. Die geographische Breite bezw. Länge des Pendelapparates war

$$\begin{array}{l} \varphi = + 22^{\circ} 18' 13'' \\ \lambda = 114^{\circ} 10' 5'' E. \end{array}$$

Die Dichtigkeit des Bodens in der Umgebung der Sternwarte kann man zu 2.7 annehmen. Das Azimut der Schwingungsrichtungen war $NW-SE$ bezw. $NE-SW$. Ferner war die

$$\text{Höhe der Pendellinse über dem Meeresspiegel} \quad 33 \text{ m.}$$

Das Passageninstrument wurde neben dem Häuschen aufgestellt. Es wurden an demselben 4 Zeitbestimmungen ausgeführt mit im ganzen 32 Sternen, die die folgenden Resultate ergeben haben.

Kreislage	Name des Sterns	δ	t'	Korrektion wegen		Meridian- durchgang	α	$\Delta t'$
				Neigung	Aximum			
1904 November 13.								
WE	μ Pegasi.....	+ 24° 6'	22 ^h 45 ^m 48 ^s .59	+ 0.05	- 0.03	45 ^m 48 ^s .64	45 ^m 25 ^s .03	- 23 ^s .59
EW	α Pegasi.....	+ 14 42	23 0 25.03	+ 0.02	+ 0.11	0 25.15	0 15.58	- 23.57
WE	τ Pegasi.....	+ 23 13	16 19.74	0.00	- 0.01	16 19.73	15 56.14	- 23.59
EW	BAC 8213.....	+ 86 47	28 45.23	+ 0.19	- 12.78	28 32.64	28 9.06	(- 23.58)
November 15.								
WE	ζ Cephei.....	+ 57° 44'	22 ^h 7 ^m 58 ^s .63	- 0.04	- 0.70	7 ^m 57 ^s .89	7 ^m 34 ^s .07	- 23 ^s .82
EW	γ Aquarii.....	- 1 53	17 8.05	- 0.03	+ 0.26	17 8.28	16 44.43	- 23.85
WE	σ Aquarii.....	- 11 10	26 0.22	- 0.04	+ 0.36	26 0.54	25 36.84	- 23.90
EW	η Aquarii.....	- 0 36	30 51.73	- 0.04	+ 0.25	30 51.94	30 28.03	- 23.91
EW	ζ Pegasi.....	+ 10 20	37 6.86	- 0.03	+ 0.14	37 6.97	36 43.13	- 23.84
WE	μ Pegasi.....	+ 24 6	45 48.81	- 0.03	- 0.02	45 48.76	45 24.99	- 23.77
EW	α Pisc. austr.	- 30 8	52 46.80	- 0.03	+ 0.59	52 47.45	52 23.57	- 23.94
WE	β Pegasi.....	+ 27 34	59 34.07	- 0.04	- 0.07	59 33.96	59 10.12	- 23.84
EW	τ Pegasi.....	+ 23 13	23 16 19.99	- 0.01	- 0.01	16 19.97	15 56.12	- 23.85
November 16.								
WE	ζ Cephei.....	+ 57° 44'	22 ^h 7 ^m 57 ^s .82	- 0.02	+ 0.78	7 ^m 58 ^s .08	7 ^m 34 ^s .04	- 23 ^s .04
EW	γ Aquarii.....	- 1 53	17 8.62	- 0.02	- 0.11	17 8.49	16 44.41	- 24.08
WE	σ Aquarii.....	- 11 10	26 0.83	- 0.04	- 0.14	26 0.65	25 36.62	- 24.03
EW	ζ Pegasi.....	+ 10 20	37 7.20	- 0.03	- 0.05	37 7.12	36 43.11	- 24.01
WE	μ Pegasi.....	+ 24 6	45 48.91	- 0.03	+ 0.01	45 48.89	45 24.97	- 23.92
EW	α Pisc. austr.	- 30 8	52 47.77	- 0.03	- 0.24	52 47.50	52 23.49	- 24.01
WE	τ Pegasi.....	+ 23 13	23 16 20.12	- 0.04	0.00	16 20.08	15 56.10	- 23.98
EW	BAC 8213.....	+ 86 47	28 48.10	0.00	+ 4.15	28 32.25	28 8.04	(- 24.24)
November 17.								
WE	β Cephei.....	+ 70° 9'	21 ^h 27 ^m 52 ^s .84	+ 0.05	- 1.60	27 ^m 51 ^s .57	27 ^m 27 ^s .16	- 24 ^s .11
EW	ζ Aquarii.....	- 8 17	33 4.50	+ 0.01	+ 0.38	33 4.89	32 40.81	- 24.08
WE	τ Pegasi.....	+ 25 29	49 7.99	+ 0.03	- 0.05	49 7.97	48 43.94	- 24.03
EW	ϵ Pegasi.....	+ 34 53	2 59.01	+ 0.01	- 0.04	2 58.98	2 34.96	- 24.02
WE	ζ Cephei.....	+ 57 44	7 58.88	+ 0.03	- 0.80	7 58.11	7 34.01	- 24.10
EW	γ Aquarii.....	- 1 53	17 8.10	0.00	+ 0.30	17 8.40	16 44.40	- 24.00
WE	σ Aquarii.....	- 11 10	26 0.24	+ 0.03	+ 0.41	26 0.68	25 36.81	- 24.07
EW	η Aquarii.....	- 0 36	30 51.76	- 0.01	+ 0.29	30 52.04	30 28.00	- 24.04
WE	ζ Pegasi.....	+ 10 20	37 6.97	- 0.02	+ 0.16	37 7.11	36 43.10	- 24.04
EW	μ Pegasi.....	+ 24 6	45 49.06	- 0.01	- 0.02	45 49.03	45 24.96	- 24.07
WE	α Pisc. austr.	- 30 8	52 46.86	0.00	+ 0.67	52 47.53	52 23.48	- 24.05

Diese Zeitbestimmungen ergeben die folgenden Uhrkorrekturen

Nov. 13:	- 23 ^s .58 \pm 0.004	Epoche	23 ^h .10
- 15:	- 23.86 \pm 0.017	-	22.67
- 16:	- 24.01 \pm 0.019	-	22.36
- 17:	- 24.04 \pm 0.011	-	22.22

Die Uhrkorrekturen und Azimute für Nov. 15 und Nov. 17 wurden nach der Methode der kl. Quadrate abgeleitet.

Es ergeben sich hieraus die täglichen Gänge

Nov. 13/15:	— 0'.14 ± 0'.01
- 15/16:	— 0.15 ± 0.03
- 16/17:	— 0.03 ± 0.02.

Berücksichtigt man nur den mittleren Fehler der ersten und letzten Zeitbestimmung, so erhält man als mittleren Fehler des mittleren täglichen Ganges

$$\sqrt{\frac{0.004^2 + 0.011^2}{4}} = \pm 0'.003.$$

Das Mitschwingen der Pendelkonsole wurde durch 8 volle Sätze bestimmt und zwar wurden 4 Sätze in jeder der beiden Schwingungsebenen beobachtet.

Es ergaben sich für die Schwingungsebene

Richtung NE—SW:	29" × 10 ⁻⁷
	28
	28
	27
Mittel:	$\frac{28'' \pm 0'.4}{4} \times 10^{-7}$
Richtung NW—SE:	43" × 10 ⁻⁷
	45
	41
	44
Mittel:	$\frac{43'' \pm 0'.9}{4} \times 10^{-7}$.

Da in der NE—SW-Richtung 3 und in der NW—SE-Richtung 2 Pendel schwingen (vergl. S. 20), so ist der mittlere Fehler der Bestimmung des Mitschwingens

$$\sqrt{\frac{9 \times 0.4^2 + 4 \times 0.9^2}{25}} = \pm 0'.4 \times 10^{-7}$$

An vier Tagen wurde ein jedes Pendel 5-mal beobachtet.

Bangkok.

Die Pendelbeobachtungen wurden in einem thermisch hinreichend geschützten Raume im Seitenflügel des Oriental-Hotels angestellt. Der Untersatzkonus wurde auf dem Betonfußboden festgekipst.

Die Uhr wurde in demselben Raume aufgestellt.

Die geographische Position des Pendelapparates war

$$\varphi = + 13^{\circ} 43' 9''$$

$$\lambda = 100^{\circ} 29' 4'' E.$$

Für die Dichtigkeit des Bodens in der Umgebung kann man 2.2 annehmen.
Mit Berücksichtigung der Höhe des Pendelstativs ist angenommen als

Höhe der Pendellinse über dem Meeresspiegel 7 m.

Das Azimut der Schwingungsrichtungen war N—S bzw. E—W.

In drei aufeinander folgenden Nächten wurden Zeitbestimmungen an dem BAMBERG'SCHEN Passageninstrument ausgeführt, die im ganzen 23 Sterne umfassen. Im folgenden sind ihre Resultate gegeben.

Kreis- lage	Name des Sterns	δ	U	Korrektion wegen			Meridian- durchgang	α	ΔU
				Uhrgang	Neigung	Azimut			
1905 Dezember 12.									
WE	α Piscium	$+ 8^{\circ} 41'$	$1^h 40^m 18.86$	$+ 0.02$	$+ 0.25$	$+ 0.01$	$40^m 19.12$	$40^m 22.89$	$+ 3.75$
EW	ζ Ceti	$- 10 48$	$46 42.48$	$+ 0.02$	$+ 0.13$	$+ 0.05$	$46 42.68$	$46 46.48$	$+ 3.80$
WE	ν Ceti	$- 21 32$	$55 27.85$	$+ 0.01$	$+ 0.11$	$+ 0.07$	$55 28.04$	$55 31.93$	$+ 3.89$
EW	α Arietis	$+ 23 1$	$2 45.66$	0.00	$+ 0.13$	$- 0.02$	$1 45.77$	$1 49.55$	$+ 3.78$
WE	σ Ceti	$- 6 52$	$12 11.04$	$- 0.01$	$+ 0.15$	$+ 0.04$	$12 11.22$	$12 15.02$	$+ 3.80$
EW	β Ceti	$+ 8 2$	$23 2.96$	$- 0.03$	$+ 0.06$	$+ 0.01$	$23 3.00$	$23 6.91$	$+ 3.91$
WE	τ Ceti	$+ 5 11$	$30 49.72$	$- 0.03$	$+ 0.18$	$+ 0.02$	$30 49.89$	$30 53.76$	$+ 3.87$
Dezember 13.									
EW	γ Cephei	$+ 77^{\circ} 6'$	$23^h 35^m 22.65$	$+ 0.03$	$- 0.22$	$+ 4.60$	$35^m 27.06$	$35^m 19.20$	$+ 2.14$
WE	ϕ Pegasi	$+ 18 36$	$47 36.70$	$+ 0.03$	$- 0.03$	$+ 0.10$	$47 36.79$	$47 39.06$	$+ 2.27$
EW	α Piscium	$- 4 5$	$53 46.44$	$+ 0.01$	$- 0.14$	$- 0.35$	$53 45.96$	$53 48.20$	$+ 2.24$
WE	β Cassiopeiae	$+ 58 38$	$0 4 3.21$	0.00	$- 0.16$	$+ 1.56$	$4 4.81$	$4 7.19$	$+ 2.38$
EW	γ Pegasi	$+ 14 39$	$8 18.20$	$- 0.01$	$- 0.09$	$+ 0.02$	$8 18.32$	$8 20.48$	$+ 2.16$
WE	ϵ Ceti	$- 9 21$	$14 33.23$	$- 0.02$	$- 0.06$	$- 0.46$	$14 32.69$	$14 34.97$	$+ 2.26$
EW	δ Piscium	$+ 1 25$	$20 59.98$	$- 0.02$	$- 0.14$	$- 0.24$	$20 59.38$	$20 31.79$	$+ 2.11$
WE	η Ceti	$- 4 29$	$25 9.44$	$- 0.03$	$- 0.10$	$- 0.26$	$25 9.05$	$25 11.26$	$+ 2.11$
Dezember 14.									
WE	δ Sculptoris	$- 28^{\circ} 40'$	$23^h 43^m 58.66$	$+ 0.03$	$+ 0.06$	$- 1.19$	$43^m 57.56$	$43^m 57.95$	$+ 0.19$
EW	ϕ Pegasi	$+ 18 36$	$47 38.48$	$+ 0.01$	$- 0.04$	$+ 0.14$	$47 38.59$	$47 39.05$	$+ 0.46$
WE	α Piscium	$- 4 5$	$54 35.36$	$+ 0.01$	$- 0.03$	$- 0.20$	$54 35.14$	$54 35.68$	$+ 0.54$
EW	β Cassiopeiae	$+ 58 38$	$0 4 4.69$	0.00	$- 0.14$	$+ 1.10$	$4 6.65$	$4 7.15$	$+ 0.50$
WE	γ Pegasi	$+ 14 39$	$8 20.01$	$- 0.01$	$- 0.02$	$+ 0.03$	$8 20.01$	$8 20.47$	$+ 0.46$
EW	ϵ Ceti	$- 9 21$	$14 35.28$	$- 0.02$	$- 0.14$	$- 0.63$	$14 34.50$	$14 34.96$	$+ 0.46$
WE	α Cassiopeiae	$+ 56 1$	$35 5.56$	$- 0.04$	$- 0.03$	$+ 1.86$	$35 7.35$	$35 7.73$	$+ 0.38$
EW	δ Piscium	$+ 7 4$	$43 45.22$	$- 0.03$	$- 0.17$	$- 0.19$	$43 44.81$	$43 45.17$	$+ 0.36$

Es ergeben sich hieraus die Uhrkorrekturen

Dez. 12:	$+ 3.83 \pm 0.023$	Epoche	$2^h 0^m$
- 13:	$+ 2.27 \pm 0.030$	-	$0 0$
- 14:	$- 0.44 \pm 0.022$	-	$0 0$

und die täglichen Gänge

$$\begin{array}{ll} \text{Dez. 12/13:} & - 1^{\circ}71 \pm 0^{\circ}04 \\ \text{„ 13/14:} & - 1^{\circ}83 \pm 0^{\circ}04. \end{array}$$

Berücksichtigt man nur die erste und letzte Zeitbestimmung, so erhält man als mittleren Fehler des so bestimmten täglichen Ganges

$$\sqrt{\frac{0.023^2 + 0.022^2}{2}} = \pm 0^{\circ}016.$$

Die Bestimmung des Mitschwingens erfolgte durch 8 Sätze von Beobachtungen, die die folgenden Werte ergaben:

$$\begin{array}{ll} \text{Richtung } E-W: & 73^{\circ} \times 10^{-7} \\ & 71 \\ & 71 \\ & 70 \\ \hline \text{Mittel:} & (71^{\circ} \pm 0^{\circ}7) \times 10^{-7} \\ \\ \text{Richtung } N-S: & 78^{\circ} \times 10^{-7} \\ & 76 \\ & 80 \\ & 75 \\ \hline \text{Mittel:} & (77^{\circ} \pm 1^{\circ}1) \times 10^{-7}. \end{array}$$

Als mittleren Fehler der Bestimmung des Mitschwingens auf dieser Station kann man annehmen

$$\sqrt{\frac{9 \times 0.7^2 + 4 \times 1.1^2}{13}} = 0^{\circ}6 \times 10^{-7},$$

da von den fünf bei der Ableitung der Schwerkraft berücksichtigten Pendeln drei in der $E-W$ -Richtung und drei in der $N-S$ -Richtung schlangen (vergl. Seite 20).

An den 2 Beobachtungstagen wurden die Pendel im ganzen je 6-mal beobachtet.

Rangun.

Von dem interinistischen deutschen Konsul Herrn ROSENKRANZ wurde mir zur Ausführung der Pendelbeobachtungen in entgegenkommendster Weise ein mit Betonfußboden versehener Raum seines Bungalow Duneslin House zur Verfügung gestellt.

Das Gebäude liegt auf einem Hügel außerhalb der Stadt. Die Bodenunruhe war hier geringer, als in der Stadt Rangun selbst.

Die Position des Pendelpeilers war

$$\begin{array}{l} \varphi = + 16^{\circ} 48'3 \\ \lambda = 96^{\circ} 10'1 E. \end{array}$$

Die Bestimmung der Höhe des Fußbodens des Beobachtungsraumes verdanke ich der Survey of India, die dieselbe durch zwei unabhängige Nivellements ermitteln ließ. Es ergibt sich aus diesen die

Höhe der Pendellinse über dem Meeresspiegel 34.4 m.

Die Dichtigkeit des Bodens habe ich zu 2.4 angenommen.

Die Schwingungsebenen der Pendel waren E—W und N—S.

In dem Beobachtungsraume wurde auch die Koinzidenzuhr STRASSER Nr. 101 aufgestellt.

Der Eisenpfeiler für das Passageninstrument konnte im Garten neben dem Beobachtungsraume aufgestellt werden.

Es wurden 3 Zeitbestimmungen ausgeführt, die im ganzen 28 Sterne enthalten und mit Hilfe des Chronographen direkt auf die Koinzidenzuhr bezogen wurden. Die Resultate enthält die folgende Tabelle.

Kreis- lage	Name des Sterns	δ		Korrektion wegen			Meridian- durchgang	α	$\pm U$
				Uhrgang	Neigung	Azmut			
1905 Januar 3.									
WE	α Eridani.....	$-5^{\circ} 44'$	$1^h 34^m 17.86$	$+0.01$	-0.13	-0.017	$34^m 17.57$	$34^m 10.03$	-7.54
EW	α Piscium.....	$+8 41$	$40 30.39$	$+0.01$	-0.22	-0.01	$41 30.17$	$40 12.67$	-7.50
WE	γ^1 Andromedae.....	$+44 53$	$57 12.28$	$+0.01$	-0.19	-0.06	$57 12.06$	$57 4.55$	-7.51
EW	β Trianguli.....	$+34 32$	$4 1.70$	0.00	-0.29	$+0.04$	$4 1.45$	$3 53.82$	-7.01
WE	δ^7 Ceti.....	$-6 52$	$12 22.62$	-0.01	-0.19	-0.04	$12 22.38$	$12 14.82$	-7.56
EW	α Fornacis.....	$-24 15$	$18 19.67$	-0.01	-0.27	-0.07	$18 19.32$	$18 11.82$	-7.50
WE	δ^3 Ceti.....	$+8 2$	$23 14.56$	-0.01	-0.27	-0.02	$23 14.26$	$23 6.74$	-7.52
EW	ν Ceti.....	$+5 11$	$30 1.61$	-0.01	-0.39	-0.02	$31 1.19$	$30 53.60$	-7.59
WE	δ Ceti.....	$-0 5$	$34 44.94$	-0.01	-0.26	-0.03	$34 44.64$	$34 37.08$	-7.56
EW	β Fornacis.....	$-32 49$	$44 13.02$	-0.02	-0.18	-0.09	$44 14.63$	$44 7.14$	-7.49
Januar 4.									
EW	ν Piscium.....	$+5^{\circ} 0'$	$1^h 36^m 37.18$	$+0.01$	$+0.14$	0.00	$36^m 37.33$	$36^m 29.24$	-8.09
WE	α Piscium.....	$+8 41$	$40 30.56$	$+0.01$	$+0.19$	0.00	$40 30.76$	$40 22.66$	-8.10
EW	ϵ Cassiopeiae.....	$+63 12$	$47 42.51$	$+0.01$	$+0.23$	0.00	$47 43.75$	$47 34.61$	-8.14
WE	ν Ceti.....	$-23 33$	$55 39.68$	0.00	$+0.17$	0.00	$55 39.85$	$55 31.66$	-8.19
EW	α Arietis.....	$+23 1$	$1 57.34$	0.00	$+0.14$	0.00	$1 57.48$	$1 49.32$	-8.16
WE	δ^7 Ceti.....	$+8 24$	$8 5.96$	0.00	$+0.20$	0.00	$8 6.16$	$7 58.06$	-8.10
EW	δ^3 Ceti.....	$-6 52$	$12 22.81$	-0.01	$+0.13$	0.00	$12 22.93$	$12 14.81$	-8.12
WE	δ^1 Ceti.....	$+8 2$	$22 14.63$	-0.01	$+0.24$	0.00	$22 14.86$	$22 6.73$	-8.13
EW	ν Ceti.....	$+5 11$	$31 1.62$	-0.01	$+0.14$	0.00	$31 1.75$	$30 53.59$	-8.16
WE	δ Ceti.....	$-0 5$	$34 44.98$	-0.01	$+0.20$	0.00	$34 45.17$	$34 37.07$	-8.10
Januar 5.									
EW	ν Piscium.....	$+5^{\circ} 0'$	$1^h 36^m 37.96$	$+0.01$	$+0.04$	$+0.06$	$36^m 37.95$	$36^m 29.23$	-8.12
WE	α Piscium.....	$+8 41$	$40 31.47$	$+0.01$	$+0.07$	-0.04	$40 31.51$	$40 22.65$	-8.16
EW	ν Ceti.....	$-23 33$	$55 40.42$	0.00	$+0.14$	-0.19	$55 40.37$	$55 31.65$	-8.74
WE	α Arietis.....	$+23 1$	$1 58.06$	0.00	$+0.13$	$+0.03$	$1 57.96$	$1 49.31$	-8.63
EW	δ^1 Ceti.....	$+8 24$	$8 6.85$	0.00	-0.05	-0.04	$8 6.76$	$7 58.04$	-8.72
WE	δ^3 Ceti.....	$+8 2$	$22 15.61$	-0.01	-0.13	-0.04	$22 15.45$	$22 6.72$	-8.71
EW	ν Ceti.....	$+5 11$	$31 2.39$	-0.01	-0.08	-0.06	$31 2.24$	$30 53.58$	-8.66
WE	δ Ceti.....	$-0 5$	$34 45.96$	-0.01	-0.18	-0.08	$34 45.69$	$34 37.66$	-8.63

Die Azimute und $\pm U$ sind bei allen Zeitbestimmungen in Rang nach der Meth. d. Kl. rang. abgeleitet.

Es ergeben sich hieraus die folgenden Uhrkorrekturen

1905	Januar 3:	-7.54 ± 0.013	Epoche	$2^h 0^m$
-	4:	-8.13 ± 0.012	-	2 0
-	5:	-8.71 ± 0.028	-	2 0.

Hieraus ergeben sich die täglichen Gänge für

Januar 3 4:	-0.59 ± 0.02
- 4 5:	$-0.58 \pm 0.03,$

die zur Reduktion der Pendelbeobachtungen benutzt werden.

Der mittlere Fehler des täglichen Ganges, aus der ersten und letzten Zeitbestimmung berechnet, ist

$$\sqrt{\frac{0.013^2 + 0.028^2}{2}} = \pm 0.015.$$

Die Bestimmung des Mitschwingers erfolgte in jeder der beiden Schwingungsrichtungen durch je vier Sätze von Beobachtungen, die die folgenden Werte ergaben.

Richtung $E-W$:	$65^\circ \times 10^{-7}$
	66
	62
	64
	<hr/>
	$(64^\circ \pm 0.9) \times 10^{-7},$
Richtung $N-S$:	$83^\circ \times 10^{-7}$
	84
	89
	89
	<hr/>
	$(86^\circ \pm 1.6) \times 10^{-7}.$

Hieraus ergibt sich als mittlerer Fehler der Bestimmung des Mitschwingers für die Station

$$\sqrt{\frac{9 \times 0.9^2 + 4 \times 1.6^2}{25}} = 0.8 \times 10^{-7},$$

da die Schwingungsebenen von drei Pendeln in der $E-W$ - und von zwei Pendeln in der $N-S$ -Richtung lagen.

In Rangun wurden die 5 Pendel insgesamt 6-mal während der beiden Beobachtungstage beobachtet.

Jalpaiguri.

In Indien ließ sich eine direkte Vergleichung der von mir benutzten Pendel mit denen der Survey of India herbeiführen.

Da sich Calcutta wegen der dort stets vorhandenen außerordentlich starken mikroseismischen Bodenbewegungen nicht für die Ausführung von Pendelbeobachtungen eignet, so fanden diese in dem etwa 500 km nördlich gelegenen Jalpaiguri statt.

Herr Major LENOX CONYNGHAM, der die indischen Pendel beobachtete, und ich stellten unsere Pendelapparate in einem thermisch gut geschützten Raume der Treasury Office in Jalpaiguri auf. Die geographische Position war

$$\varphi = +26^{\circ} 31' 16''$$

$$\lambda = 88^{\circ} 44' 2'' E.$$

Ferner war die

Höhe der Pendellinse über dem Meeresspiegel 81.7 m.

Für die Dichte kann man etwa 2.0 annehmen.

Wir beobachteten abwechselnd unsere Pendel unter Benutzung derselben Uhr, einer Halbskunden-Pendeluhr von STRASSER und RÖHDE.

Von Herrn LENOX CONYNGHAM wurden mir die folgenden Resultate der Zeitbestimmungen mitgeteilt, die von einem Assistenten an einem etwa 3-zölligen Passageninstrument mit geradem Fernrohr angestellt wurden. Die Nummern beziehen sich auf den British-Association-Catalogue.

Zeitbestimmungen								Uhrgänge			
Stern	Kreis- lage	1905 Januar 31	Kreis- lage	1905 Febr. 1	Kreis- lage	1905 Febr. 2	Kreis- lage	1905 Febr. 3	Januar 31 bis Februar 1	Februar 1 bis Februar 2	Februar 2 bis Februar 3
1192....	WE	3 ^h 43 ^m 3 ^s .34	WE	22 ^h 9 ^m 4 ^s .66	WE	45 ^h 0 ^m 9 ^s .09	WE	3 ^h 34 ^m 3 ^s .74	+ 19 ^m .62	+ 20 ^m .13	+ 20 ^m .25
1221....	WE	46 36.59	WE	56.36	WE	16.38	WE	36 ^m .78	+ 19 ^m .77	+ 20 ^m .02	+ 20 ^m .40
1221....	WE	49 22.39	WE	2.05	WE	22.17	—	—	+ 19 ^m .66	+ 20 ^m .12	—
1228....	WE	51 15.23	WE	34.99	WE	54.94	—	—	+ 19 ^m .76	+ 19 ^m .95	—
1253....	WE	57 8.12	WE	27.70	WE	47.83	—	—	+ 19 ^m .58	+ 20 ^m .13	—
1262....	WE	59 14.05	WE	33.68	WE	53.82	—	—	+ 19 ^m .63	+ 20 ^m .14	—
1311....	EW	4 10 9.15	EW	28.73	EW	48.97	EW	9.20	+ 19 ^m .58	+ 20 ^m .24	+ 20 ^m .23
1322....	EW	12 42.07	EW	1.71	EW	21.71	—	—	+ 19 ^m .64	+ 20 ^m .00	—
1341....	EW	15 15.67	EW	35.27	EW	55.46	—	—	+ 19 ^m .60	+ 20 ^m .19	—
1349....	EW	16 46.85	EW	6.57	EW	26.68	—	—	+ 19 ^m .72	+ 20 ^m .11	—
1364....	EW	18 31.01	EW	50.69	EW	10.73	—	—	+ 19 ^m .68	+ 20 ^m .04	—
1376....	EW	21 31.79	EW	51.53	EW	11.51	EW	32.04	+ 19 ^m .74	+ 19 ^m .98	+ 20 ^m .53
1391....	EW	23 35.10	EW	54.78	EW	14.85	—	—	+ 19 ^m .68	+ 20 ^m .07	—
1414....	EW	28 34.43	EW	54.24	EW	14.17	EW	34.55	+ 19 ^m .81	+ 19 ^m .93	+ 20 ^m .38
1468....	EW	39 11.99	EW	31.61	EW	51.79	EW	13.08	+ 19 ^m .63	+ 20 ^m .18	+ 20 ^m .29
1475....	WE	41 38.38	WE	38.12	WE	18.22	WE	38.50	+ 19 ^m .74	+ 20 ^m .10	+ 20 ^m .18
1490....	WE	44 26.72	WE	46.64	WE	6.65	WE	26.90	+ 19 ^m .92	+ 20 ^m .01	+ 20 ^m .55
1518....	WE	48 56.62	WE	16.25	WE	36.43	WE	36.89	+ 19 ^m .63	+ 20 ^m .18	+ 20 ^m .46
Mittel									+ 19 ^m .69	+ 20 ^m .08	+ 20 ^m .34

Hieraus ergeben sich als tägliche Gänge für

$$\begin{aligned}\text{Januar 31:} & + 19^{\text{m}}.69 \pm 0^{\text{m}}.021 \\ \text{Februar 1:} & + 20.08 \pm 0.021 \\ \text{— 2:} & + 20.34 \pm 0.035.\end{aligned}$$

Der mittlere Fehler des täglichen Ganges, nur aus der ersten und letzten Zeitbestimmung hergeleitet, beträgt

$$\sqrt{0.021^2 + 0.035^2} = \pm 0^{\text{m}}.020.$$

Bei der Reduktion der Pendelbeobachtungen ist als Ullrang für Februar 1 versehentlich + 20.35 statt + 20.34 angewandt, was belanglos ist.

Da der für die Aufstellung des Pendelapparates errichtete Pfeiler aus Ziegelsteinen und Zement frisch aufgemauert war, so mußte mit einer Änderung des Betrages des Mitschwingens gerechnet werden. Das Mitschwingen wurde daher häufiger bestimmt.

Es ergaben sich die folgenden Resultate für die einzelnen Beobachtungssätze

Richtung N—S:	Januar 31	abends 4 ^h 50 ^m	41° × 10 ⁻⁷
- 31	-	6 40	40
Februar 1	nachm. 0 40		37.5
- 1	-	1 30	35.5
- 2	-	1 30	34
- 2	-	2 10	34
- 3	-	1 40	33
- 3	-	2 30	33

Richtung E—W:	Januar 31	abends 3 ^h 20 ^m	41° × 10 ⁻⁷
- 31	-	4 10	41
Februar 3	nachm. 3 10		34.5
- 3	-	4 0	36

Aus diesen Werten wurde der Betrag des Mitschwingens für die den Beobachtungen entsprechenden Zeiten interpoliert. Der mittlere Fehler der Bestimmung des Mitschwingens mag schätzungsweise mit 1.0×10^{-7} angenommen werden, wird aber diesen Betrag kaum erreichen.

Es seien hier noch die Resultate der Pendelbeobachtungen des Herrn Major LENOX CORNWALLIS aufgeführt, der seine Messungen an die Hauptstation in Dehra Dun angeschlossen hat.

Datum	Pen- del- Nr.	Uhr- zeit	Luft- dichte	Pen- del- tempe- ratur	Aus- schlag des Pen- dels	Ullrang	Periode der Koinzi- denzen	Beob- achtete Schwin- gungs- dauer	unend- lich kleinen Aus- schlag	Reduktion auf leeren Raum	o° Tempe- ratur	Stern- zeit- sek.	stabil. Lager	Red- uzierte Schwin- gungs- dauer
1905								0.507						0.507
Jan. 31	137	7 ^h 5 ^m	0.934	15.06	17	+ 19.69	33.629	5463	- 8	- 555	- 738	- 1156	- 50	2956
	139	8 18	0.934	15.15	17	+ 19.69	34.054	4507	- 8	- 566	- 742	- 1156	- 50	1985
	138	9 28	0.935	15.18	18	+ 19.69	32.603	7876	- 9	- 535	- 744	- 1156	- 50	5382
	140	10 29	0.934	15.21	17	+ 19.69	34.397	3752	- 8	- 566	- 745	- 1156	- 50	1227
Febr. 1	137	19 8	0.943	14.47	18	+ 19.69	33.637	5445	- 9	- 560	- 709	- 1156	- 46	2965
	139	20 7	0.939	14.65	16	+ 19.69	34.070	4472	- 7	- 569	- 718	- 1156	- 46	1976
	138	21 15	0.939	14.77	16	+ 19.69	32.613	7850	- 7	- 537	- 724	- 1156	- 46	5380
	140	22 14	0.938	14.87	15	+ 19.69	34.405	3741	- 6	- 568	- 729	- 1156	- 46	1236
	140	6 32	0.940	14.77	18	+ 20.09	34.402	3741	- 9	- 570	- 724	- 1179	- 44	1215
	138	7 35	0.939	14.83	20	+ 20.09	32.605	7870	- 11	- 537	- 727	- 1179	- 44	5372
	139	8 38	0.941	14.83	16	+ 20.09	34.062	4490	- 7	- 570	- 727	- 1179	- 44	1963
	137	9 48	0.940	14.81	15	+ 20.09	35.626	5469	- 6	- 558	- 726	- 1179	- 44	2956

Datum 1905	Pen- del- Nr.	Uhr- zeit	Luft- dichte	Pen- del- temper- atur	Aus- schlag des Pen- dels	Uhr- gang	Periode der Koinzi- denzen	Beob- achtete Schwin- gungs- dauer	unend- lich kleinen Aus- schlag	leeren Raum	o° Tempe- ratur	Stern- zeit- sek.	stabil. Lager	Redu- zierte Schwin- gungs- dauer
Febr. 2	140	19 ^h 10 ^m	0.932	14.40	17	+ 20.09	34.407	0.507	— 8	— 571	— 706	— 1179	— 44	0.507
	138	20 15	0.941	14.52	17	+ 20.09	32.613	3732	— 8	— 538	— 711	— 1179	— 44	1224
	159	21 18	0.940	14.60	18	+ 20.09	34.062	4488	— 9	— 570	— 715	— 1179	— 44	5371
	137	22 21	0.939	14.75	15	+ 20.09	33.630	5461	— 6	— 558	— 722	— 1179	— 44	1971
	139	6 27	0.943	14.34	16	+ 20.35	34.064	4485	— 7	— 571	— 703	— 1195	— 43	1966
	137	7 41	0.943	14.37	12	+ 20.35	33.613	5455	— 4	— 560	— 704	— 1195	— 43	2949
	140	8 44	0.941	14.38	13	+ 20.35	34.407	3731	— 5	— 570	— 705	— 1195	— 43	1213
	138	9 47	0.941	14.42	17	+ 20.35	32.610	7858	— 8	— 538	— 707	— 1195	— 43	5367
" 3	139	19 4	0.944	14.13	17	+ 20.35	34.066	4480	— 8	— 572	— 692	— 1195	— 42	1971
	137	20 9	0.944	14.28	14	+ 20.35	33.645	5426	— 5	— 561	— 700	— 1195	— 42	2923
	140	21 11	0.943	14.37	10	+ 20.35	34.409	1727	— 7	— 571	— 704	— 1195	— 42	1208
	138	22 18	0.940	14.43	16	+ 20.35	32.611	7855	— 7	— 538	— 707	— 1195	— 42	5366

Potsdam.

Die Anschlußbeobachtungen wurden im Ostkeller des Geodätischen Institutes vorgenommen. Als Koinzidenzuhr diente ebenfalls STRASSER Nr. 101; vor und nach den Beobachtungen wurde sie mit den Normaluhren des Institutes verglichen, deren Gang vorzüglich war.

Herr Professor WASACH leitete unter Berücksichtigung des Luftdrucks die in den Haupttabellen angegebenen täglichen Gänge ab und führte auch die erforderlichen Zeitbestimmungen aus. Als obere Grenze des mittleren Fehlers einer Zeitbestimmung kann man etwa ± 0.02 annehmen.

Der Einfluß der Unsicherheit der Zeitbestimmungen, die durchschnittlich alle 5 Tage angestellt werden, kann als sehr gering vernachlässigt werden. Für die Größe des Mitschwingens ergab sich

	Potsdam I	Potsdam II
in der Richtung $E - W$:	32	26
	35	28
	31	25
	33	26
	$(33^{\circ} \pm 0.9) \times 10^{-7}$	$(26^{\circ} \pm 0.7) \times 10^{-7}$
in der Richtung $N - S$:	32	27
	32	25
	33	26
	32	24
	$(32^{\circ} \pm 0.3) \times 10^{-7}$	$(26^{\circ} \pm 0.8) \times 10^{-7}$

Somit ist der mittlere Fehler der Bestimmung des Mitschwingens:

$$\pm 0.5 \times 10^{-7} \quad \pm 0.5 \times 10^{-7}.$$

Die Pendelbeobachtungen.

Die Ausführung der Pendelbeobachtungen erfolgte in der im Geodätischen Institut gebräuchlichen Weise (vergl. das Schema in „Bestimmung der Schwerkraft auf dem Atlantischen Ozean“ auf Seite 115).

Jedes Pendel schwang durchschnittlich etwa 35 Minuten auf seiner Konsole. Am Anfang und am Schluß wurden je 10 Koinzidenzen beobachtet; vor und nachher wurden die erforderlichen Ablesungen von Ausschlag, Temperatur, Luftdruck und Feuchtigkeit gemacht.

Aus der Periode der Koinzidenzen c ist die Schwingungsdauer des Pendels s mittelst der Beziehung

$$s = \frac{c}{2c-1} = \frac{1}{2} + \frac{1}{4c-2}$$

abgeleitet.

Der weiteren Reduktion wurde die Formel zu Grunde gelegt:

$$\text{Rednz. Schwingungsdauer } S = s - s \frac{A^2}{16} - \lambda D \cdot 10^{-7} - \tau T \cdot 10^{-7} + a s U \cdot 10^{-7} - \sigma.$$

Hierin bezeichnen A den arcus des Pendelausschlages, λ die Luftdichtekonstante, D die Luftdichte, τ die Temperaturkonstante, T die Pendeltemperatur, $a = \frac{10^7}{86400}$ die Reduktionskonstante auf Sternzeitsekunden, U den täglichen Gang der Koinzidenzzuhr STRASSER Nr. 101 und σ die Korrektur wegen Mitschwingens. Die Luftdichtekonstanten, sowie die Temperaturkonstanten der einzelnen Pendel sind auf Seite 10 bzw. Seite 14 angegeben.

Für die Berechnung der Luftdichte wurde die Formel angewendet:

$$D = \frac{B - \frac{2}{3}e}{760(1 + 0.00367 T)},$$

in der B den reduzierten Luftdruck, e die Dampfspannung und T die Lufttemperatur im Pendelapparat bezeichnen.

Datum 1904	Pendel Nr.	Uhrzeit	Redu- zierter Luftdruck	Rela- tive Feuch- tigkeit	Redu- zierter Dampf- druck	Pendel- temperatur	Aus- schlag des Pendels	Schwingungs- ebene des Pendels	Tägl. Gang der Koinzidenz- uhr
Potsdam I.									
Geodätisches Institut.									
Febr. 9	6	1 ^h 18 ^m	^{mm} 738.5	^{g%} 80	^{mm} 7.4	+ 10.48	13.8	E—W	— 0.26
	7	3 6	738.5	80	7.4	+ 10.56	13.5	N—S	— 0.26
	8	3 55	738.4	80	7.4	+ 10.66	13.8	E—W	— 0.26
- 10	6	18 29	729.6	80	7.4	+ 10.75	13.1	E—W	— 0.35
	7	19 14	729.7	80	7.4	+ 10.75	13.4	N—S	— 0.35
	8	19 58	730.1	80	7.4	+ 10.73	13.7	E—W	— 0.35
	6	2 52	731.6	80	7.5	+ 10.89	14.5	E—W	— 0.31
	7	3 16	731.6	80	7.4	+ 10.87	14.0	N—S	— 0.31
	8	4 3	731.7	80	7.4	+ 10.84	13.9	E—W	— 0.31
- 11	6	18 37	728.5	80	7.6	+ 11.09	13.2	E—W	— 0.33
	7	19 22	728.5	80	7.6	+ 11.09	14.1	N—S	— 0.33
	8	20 9	728.4	80	7.6	+ 11.09	13.9	E—W	— 0.33
	6	2 13	729.8	71	6.8	+ 11.35	13.2	E—W	— 0.30
	7	3 8	730.9	71	6.8	+ 11.41	13.7	N—S	— 0.30
	8	3 52	731.7	71	6.8	+ 11.43	14.4	E—W	— 0.30
- 12	5	18 21	748.4	71	7.0	+ 11.39	14.4	E—W	— 0.07
	16	19 8	749.5	71	7.0	+ 11.40	14.6	N—S	— 0.07
	21	19 54	750.2	71	7.0	+ 11.43	13.7	E—W	— 0.07
	5	2 20	756.0	71	7.0	+ 11.39	13.0	E—W	0.00
	16	3 20	756.4	71	7.1	+ 11.43	13.8	N—S	0.00
- 13	5	18 55	743.1	71	7.1	+ 11.74	14.1	E—W	— 0.14
	16	19 39	743.0	71	7.1	+ 11.76	14.1	N—S	— 0.14
	21	20 23	742.8	71	7.1	+ 11.79	14.9	E—W	— 0.14
	5	2 30	742.1	71	7.2	+ 11.95	14.1	E—W	— 0.14
	16	3 8	742.2	71	7.2	+ 11.93	13.8	N—S	— 0.14
	21	3 47	742.3	71	7.2	+ 11.95	13.7	E—W	— 0.14
- 14	21	19 26	740.1	71	7.3	+ 12.19	13.5	E—W	— 0.18
	5	20 17	739.2	71	7.3	+ 12.21	14.3	E—W	— 0.18
	16	21 8	738.7	71	7.3	+ 12.25	13.6	N—S	— 0.18
	21	21 53	738.1	71	7.4	+ 12.30	13.8	E—W	— 0.18
Melbourne.									
Observatorium.									
Mai 15	6	1 ^h 12 ^m	^{mm} 768.7	^{g%} 78	^{mm} 10.7	+ 16.20	12.7	E—W	— 7.14
	7	2 12	768.5	76	10.4	+ 16.24	12.8	N—S	— 7.14
	8	3 4	768.1	76	10.4	+ 16.18	13.2	E—W	— 7.14
	6	6 4	766.4	71	9.7	+ 16.00	13.1	E—W	— 7.14
	7	6 54	766.2	72	9.9	+ 16.31	13.3	N—S	— 7.14
	8	" 45	766.2	72	9.9	+ 16.34	13.0	E—W	— 7.14

Pendel Nr.	Periode der Koin- zidenzen	Beobachtete Schwingungs- dauer	unendlich kleinen Ausschlag	leeren Raum	Reduktion auf 0° Temp.	Sternzeit- Sekunden	stabiles Lager	Reduzierte Schwingungs- dauer
Potsdam I.								
Geodätisches Institut.								
6	30.0263	0.5084670	— 5	— 614	— 472	— 15	— 33	0.5083531
7	30.1506	0.5084315	— 5	— 597	— 518	— 15	— 32	0.5083148
8	30.1470	0.5084325	— 5	— 593	— 516	— 15	— 33	0.5083165
6	30.0236	0.5084678	— 5	— 605	— 482	— 21	— 33	0.5083530
7	30.1496	0.5084318	— 5	— 589	— 528	— 21	— 32	0.5083145
8	30.1484	0.5084321	— 5	— 586	— 520	— 21	— 33	0.5083156
6	30.0234	0.5084678	— 6	— 607	— 490	— 18	— 33	0.5083524
7	30.1459	0.5084328	— 5	— 590	— 513	— 18	— 32	0.5083150
8	30.1458	0.5084329	— 5	— 587	— 515	— 18	— 33	0.5083161
6	30.0229	0.5084680	— 5	— 602	— 499	— 19	— 33	0.5083520
7	30.1420	0.5084319	— 5	— 587	— 544	— 19	— 32	0.5083152
8	30.1389	0.5084328	— 5	— 584	— 537	— 19	— 33	0.5083170
6	30.0190	0.5084691	— 4	— 605	— 511	— 18	— 33	0.5083520
7	30.1404	0.5084344	— 5	— 589	— 560	— 18	— 32	0.5083140
8	30.1344	0.5084361	— 6	— 587	— 553	— 18	— 33	0.5083164
5	30.0621	0.5084568	— 6	— 602	— 516	— 4	— 33	0.5083405
16	32.5704	0.5077953	— 6	— 609	— 569	— 4	— 32	0.5076731
21	25.8330	0.5098685	— 5	— 614	— 557	— 4	— 33	0.5097472
5	30.0620	0.5084568	— 5	— 610	— 516	0	— 33	0.5083404
16	32.5707	0.5077952	— 5	— 614	— 570	0	— 32	0.5076731
5	30.0569	0.5084583	— 5	— 599	— 532	— 8	— 33	0.5083406
16	32.5673	0.5077900	— 5	— 603	— 587	— 8	— 32	0.5076735
21	25.8283	0.5098704	— 6	— 607	— 575	— 8	— 33	0.5097475
5	30.0513	0.5084598	— 5	— 598	— 540	— 8	— 33	0.5083414
16	32.5579	0.5077984	— 5	— 602	— 595	— 8	— 32	0.5076742
21	25.8295	0.5098699	— 5	— 606	— 582	— 8	— 33	0.5097465
5	25.8241	0.5098720	— 5	— 604	— 594	— 11	— 33	0.5097473
21	30.0483	0.5084607	— 6	— 595	— 553	— 11	— 33	0.5083409
16	32.5539	0.5077994	— 4	— 598	— 611	— 11	— 32	0.5076738
21	25.8256	0.5098714	— 5	— 602	— 600	— 11	— 33	0.5097463
Meibourne.								
Observatorium.								
6	28.6901	0.5088684	— 4	— 625	— 729	— 421	— 36	0.5086869
7	28.7928	0.5088561	— 4	— 608	— 797	— 421	— 40	0.5086491
8	28.7954	0.5088553	— 5	— 604	— 788	— 421	— 36	0.5086499
6	28.6926	0.5088676	— 5	— 624	— 720	— 421	— 36	0.5086870
7	28.7931	0.5088560	— 5	— 606	— 800	— 421	— 40	0.5086488
8	28.7976	0.5088546	— 5	— 603	— 791	— 421	— 36	0.5086490

Datum 1904	Pendel Nr.	Uhrzeit	Redu- zierter Luftdruck	Rela- tive Feuch- tigkeit	Redu- zierter Dunst- druck	Pendel- temperatur	An- schlag des Pendels	Schwingungs- ebene des Pendels	Tägl. Gang der Koizidenz- uhr
Mai 16	6	0 ^h 11 ^m	762.6	65	9.0	+ 16.32	13.7	E-W	-5.75
	7	0 53	762.6	63	8.7	+ 16.27	13.3	N-S	-5.75
	8	1 41	762.7	63	8.6	+ 16.22	13.0	E-W	-5.75
	5	2 36	762.7	63	8.7	+ 16.32	12.9	E-W	-5.75
	16	3 21	762.7	65	9.0	+ 16.36	13.3	N-S	-5.75
	21	4 3	762.2	65	9.0	+ 16.37	12.1	E-W	-5.75
	5	0 7	763.7	68	9.2	+ 16.08	14.0	E-W	-5.75
	16	0 51	763.9	68	9.2	+ 16.06	13.3	N-S	-5.75
	21	1 51	763.8	68	9.2	+ 16.04	11.3	E-W	-5.75
	5	2 39	763.8	68	9.2	+ 16.03	12.7	E-W	-5.75
	16	3 25	763.8	68	9.2	+ 16.02	12.7	N-S	-5.75
	21	4 12	763.6	68	9.2	+ 16.02	11.9	E-W	-5.75
- 17	5	7 3	763.9	68	9.2	+ 16.08	13.4	E-W	-5.75
	16	7 47	764.0	68	9.2	+ 16.09	13.0	N-S	-5.75
	21	8 29	764.3	68	9.2	+ 16.10	12.0	E-W	-5.75
	5	9 10	764.6	68	9.3	+ 16.11	12.6	E-W	-5.75
	16	11 33	765.2	68	9.3	+ 16.16	13.7	N-S	-5.75
	21	12 22	765.4	68	9.3	+ 16.16	12.3	E-W	-5.75
	5	0 33	765.9	68	9.2	+ 15.96	12.5	E-W	-5.67
	16	1 10	766.0	68	9.2	+ 15.96	12.5	N-S	-5.67
	21	1 58	766.0	68	9.2	+ 15.96	12.4	E-W	-5.67
	6	2 51	766.0	68	9.2	+ 15.98	13.7	E-W	-5.67
	7	3 34	765.8	68	9.2	+ 16.02	12.5	N-S	-5.67
	8	4 19	765.4	68	9.2	+ 16.04	12.6	E-W	-5.67
- 18	6	7 8	764.9	68	9.2	+ 16.04	12.9	E-W	-5.67
	7	7 50	764.9	68	9.2	+ 16.04	12.3	N-S	-5.67
	8	8 33	765.0	68	9.2	+ 16.03	12.5	E-W	-5.67
	6	9 15	765.2	68	9.2	+ 16.06	13.6	E-W	-5.67
	7	11 18	765.7	68	9.3	+ 16.13	12.3	N-S	-5.67
	8	12 12	765.8	68	9.3	+ 16.14	11.9	E-W	-5.67
Sydney.									
Observatorium.									
Juni 5	6	15 ^h 3 ^m	767.0	73	9.6	+ 15.54	12.2	N-S	+ 4.76
	7	15 49	766.8	73	9.6	+ 15.50	12.4	E-W	+ 4.76
	8	16 30	766.7	73	9.6	+ 15.48	14.0	N-S	+ 4.76
- 6	6	2 26	766.1	73	9.1	+ 14.76	12.3	N-S	+ 4.76
	7	3 9	765.6	73	9.1	+ 14.74	12.4	E-W	+ 4.76
	8	3 54	765.4	73	9.1	+ 14.73	12.3	N-S	+ 4.76
	6	4 37	765.1	73	9.1	+ 14.76	12.4	N-S	+ 4.76
	7	5 18	764.6	73	9.1	+ 14.78	12.1	E-W	+ 4.76
	8	6 0	764.1	73	9.1	+ 14.82	12.3	N-S	+ 4.76

Pendel Nr.	Periode der Koin- zidenzen	Beobachtete Schwingungs- dauer	unendlich kleinen Aus Schlag	Reduktion auf				Reduzierte Schwingungs- dauer
				leeren Raum	0° Temp.	Sternzeit- Sekunden	stabiles Lager	
6	28.7186	0.5088595	— 5	— 620	— 735	— 339	— 36	0.5088600
7	28.8221	0.5088501	— 5	— 603	— 798	— 339	— 40	0.5088516
8	28.8239	0.5088265	— 5	— 601	— 785	— 339	— 36	0.5088499
5	28.7567	0.5088475	— 4	— 604	— 739	— 339	— 36	0.5088753
16	31.0306	0.5081885	— 5	— 608	— 816	— 338	— 40	0.5080078
21	24.8662	0.5102601	— 4	— 612	— 798	— 339	— 36	0.5100812
5	28.7569	0.5088475	— 5	— 605	— 728	— 339	— 36	0.5088762
16	31.0347	0.5081874	— 5	— 609	— 801	— 338	— 40	0.5080081
21	24.8667	0.5102599	— 3	— 614	— 782	— 339	— 36	0.5100825
5	28.7617	0.5088459	— 4	— 606	— 726	— 339	— 36	0.5088748
16	31.0370	0.5081868	— 4	— 610	— 799	— 338	— 40	0.5080077
21	24.8689	0.5102590	— 4	— 614	— 781	— 339	— 36	0.5100816
5	28.7620	0.5088458	— 5	— 606	— 728	— 339	— 36	0.5088744
16	31.0360	0.5081871	— 5	— 610	— 803	— 338	— 40	0.5080075
21	24.8687	0.5102591	— 4	— 614	— 785	— 339	— 36	0.5100813
5	28.7631	0.5088454	— 4	— 606	— 730	— 339	— 36	0.5088739
16	31.0351	0.5081873	— 5	— 610	— 806	— 338	— 40	0.5080074
21	24.8660	0.5102602	— 4	— 615	— 788	— 339	— 36	0.5100820
5	28.7594	0.5088467	— 4	— 608	— 723	— 334	— 36	0.5088761
16	31.0393	0.5081862	— 4	— 611	— 796	— 333	— 40	0.5080078
21	24.8669	0.5102598	— 4	— 616	— 778	— 335	— 36	0.5100829
6	28.7204	0.5088589	— 5	— 623	— 719	— 334	— 36	0.5088672
7	28.8241	0.5088259	— 4	— 606	— 786	— 334	— 40	0.5088489
8	28.8269	0.5088256	— 4	— 603	— 777	— 334	— 36	0.5088502
6	28.7181	0.5088596	— 4	— 623	— 721	— 334	— 36	0.5088687
7	28.8244	0.5088257	— 4	— 606	— 787	— 334	— 40	0.5088486
8	28.8286	0.5088250	— 4	— 603	— 776	— 334	— 36	0.5088497
6	28.7229	0.5088581	— 5	— 623	— 723	— 334	— 36	0.5088660
7	28.8243	0.5088257	— 4	— 606	— 791	— 334	— 40	0.5088482
8	28.8257	0.5088259	— 4	— 603	— 791	— 334	— 36	0.5088501

Sydney.								
Observatorium.								
6	28.76833	0.5088704	— 4	— 623	— 700	+ 280	— 35	0.50887620
7	28.7800	0.5088402	— 4	— 608	— 761	+ 280	— 40	0.50887269
8	28.7829	0.5088393	— 5	— 605	— 750	+ 280	— 35	0.50887278
6	28.6838	0.5088703	— 4	— 626	— 664	+ 280	— 35	0.50887654
7	28.7841	0.5088389	— 4	— 609	— 723	+ 280	— 40	0.50887293
8	28.7889	0.5088355	— 4	— 606	— 713	+ 280	— 35	0.50887297
6	28.6834	0.5088704	— 4	— 626	— 664	+ 280	— 35	0.50887655
7	28.7861	0.5088383	— 4	— 608	— 725	+ 280	— 40	0.50887280
8	28.7897	0.5088371	— 4	— 605	— 718	+ 280	— 35	0.50887289

Datum 1904	Pendel Nr.	Uhrzeit	Redu- zierter Luftdruck	Rela- tive Feuch- tigkeit	Redu- zierter Dunst- druck	Pendel- temperatur	Aus- schlag des Pendels	Schwingungs- ebene des Pendels	Tagl. Gang der Koinzidenz- uhr
Juni 6	6	8 ^h 55 ^m	763.7	73	9.3	+ 14.796	12.3	N—S	+ 4.76
	7	9 37	763.7	73	9.3	+ 14.98	12.1	E—W	+ 4.76
	8	10 20	763.9	73	9.3	+ 15.02	12.2	N—S	+ 4.76
	5	14 38	764.7	73	9.3	+ 15.26	13.5	N—S	+ 4.63
	16	15 20	764.8	73	9.3	+ 15.28	13.5	E—W	+ 4.63
	21	16 2	764.9	73	9.3	+ 15.29	14.3	N—S	+ 4.63
	5	2 35	766.8	73	9.0	+ 14.60	13.5	N—S	+ 4.63
	16	3 17	766.8	73	9.3	+ 14.62	13.3	E—W	+ 4.63
	21	4 2	766.6	73	9.3	+ 14.69	12.6	N—S	+ 4.63
	5	4 44	766.3	73	9.1	+ 14.77	13.7	N—S	+ 4.63
	16	5 25	766.0	73	9.1	+ 14.84	13.2	E—W	+ 4.63
	21	6 7	765.8	73	9.2	+ 14.91	12.7	N—S	+ 4.63
	5	8 50	765.7	73	9.3	+ 15.02	12.7	N—S	+ 4.63
	16	9 33	765.8	73	9.3	+ 15.01	13.2	E—W	+ 4.63
	21	10 16	765.9	73	9.3	+ 15.03	12.6	N—S	+ 4.63
	5	2 53	766.2	73	8.9	+ 14.47	12.4	N—S	+ 4.62
	16	3 36	766.9	73	9.0	+ 14.48	13.5	E—W	+ 4.62
	21	4 23	765.4	73	9.0	+ 14.53	13.3	N—S	+ 4.62
- 7	5	9 59	763.1	73	9.0	+ 14.69	13.3	N—S	+ 4.42
	16	10 48	763.1	73	9.1	+ 14.73	13.3	E—W	+ 4.42
	21	11 47	763.2	73	9.1	+ 14.80	13.1	N—S	+ 4.42
	6	14 33	763.5	70	9.3	+ 15.06	13.3	N—S	+ 4.54
	7	15 15	763.5	70	9.3	+ 15.09	13.0	E—W	+ 4.54
	8	15 57	763.5	70	9.3	+ 15.11	13.4	N—S	+ 4.54
	6	9 54	761.4	70	9.4	+ 15.28	13.9	N—S	+ 4.54
	7	10 34	761.5	70	9.5	+ 15.34	13.3	E—W	+ 4.54
	8	11 20	761.9	70	9.5	+ 15.36	13.3	N—S	+ 4.54
- 8	5	18 ^h 55 ^m	756.0	70	10.3	+ 17.39	13.5	NE—SW	— 2.59
	16	19 44	756.0	70	10.3	+ 17.36	13.3	NW—SE	— 2.59
	21	20 28	756.0	70	10.3	+ 17.33	13.9	NE—SW	— 2.59
	5	5 35	756.3	70	9.9	+ 16.72	13.9	NE—SW	— 2.59
	16	6 18	756.3	70	9.9	+ 16.75	13.7	NW—SE	— 2.59
	21	7 0	756.3	70	10.0	+ 16.80	13.6	NE—SW	— 2.59
	5	7 49	756.1	70	10.0	+ 16.90	14.4	NE—SW	— 2.59
	16	8 27	755.9	70	10.0	+ 16.95	13.1	NW—SE	— 2.59
	21	10 16	755.4	70	10.2	+ 17.18	13.7	NE—SW	— 2.59
	6	13 46	754.3	70	10.5	+ 17.61	13.0	NE—SW	— 2.59
	7	14 29	754.1	70	10.5	+ 17.64	13.9	NW—SE	— 2.59
	8	15 41	754.0	70	10.6	+ 17.77	13.9	NE—SW	— 2.59

Berkeley.
University of California.

Pendel Nr.	Periode der Koin- zidenzen	Beobachtete Schwingungs- dauer	unendlich kleinen Ausschlag	Reduktion auf				Reduzierte Schwingungs- dauer
				leeren Raum	0° Temp.	Sternzeit- Sekunden	stabiles Lager	
6	28.76866	0.5088713	— 4	— 624	— 673	+ 280	— 35	0.5087657
7	28.7840	0.5088189	— 4	— 607	— 735	+ 280	— 40	0.5087283
8	28.7863	0.5088382	— 4	— 604	— 717	+ 280	— 35	0.5087292
5	28.7200	0.5088590	— 5	— 608	— 691	+ 273	— 35	0.5087524
16	30.9847	0.5082008	— 5	— 612	— 762	+ 272	— 40	0.5080861
21	24.8326	0.5102743	— 6	— 617	— 745	+ 273	— 35	0.5101613
5	28.7254	0.5088373	— 5	— 611	— 661	+ 273	— 35	0.5087534
16	30.9927	0.5081987	— 5	— 615	— 719	+ 272	— 40	0.5080870
21	24.8364	0.5102727	— 4	— 619	— 716	+ 273	— 35	0.5101626
5	28.7281	0.5088364	— 5	— 611	— 669	+ 273	— 35	0.5087517
16	30.9880	0.5081999	— 5	— 614	— 740	+ 272	— 40	0.5080872
21	24.8375	0.5102722	— 4	— 618	— 727	+ 273	— 35	0.5101611
5	28.7241	0.5088377	— 4	— 609	— 680	+ 273	— 35	0.5087522
16	30.9864	0.5082004	— 5	— 613	— 749	+ 272	— 40	0.5080869
21	24.8345	0.5102733	— 4	— 618	— 733	+ 273	— 35	0.5101618
5	28.7263	0.5088370	— 4	— 611	— 655	+ 260	— 35	0.5087525
16	30.9867	0.5082003	— 5	— 615	— 722	+ 260	— 40	0.5080881
21	24.8357	0.5102730	— 5	— 619	— 708	+ 261	— 35	0.5101624
5	28.7205	0.5088388	— 4	— 608	— 665	+ 260	— 35	0.5087536
16	30.9879	0.5082000	— 5	— 612	— 735	+ 260	— 40	0.5080868
21	24.8365	0.5102726	— 5	— 616	— 721	+ 261	— 35	0.5101610
6	28.6747	0.5088732	— 5	— 623	— 678	+ 267	— 35	0.5087658
7	28.7770	0.5088411	— 5	— 606	— 740	+ 267	— 40	0.5087287
8	28.7790	0.5088405	— 5	— 604	— 732	+ 267	— 35	0.5087296
6	28.6767	0.5088726	— 5	— 621	— 688	+ 267	— 35	0.5087644
7	28.7707	0.5088400	— 5	— 604	— 753	+ 267	— 40	0.5087265
8	28.7810	0.5088399	— 5	— 602	— 744	+ 267	— 35	0.5087280
Berkeley.								
University of California.								
5	28.7986	0.5088343	— 5	— 596	— 788	— 153	— 31	0.5086770
16	31.0823	0.5081747	— 5	— 600	— 866	— 152	— 34	0.5080090
21	24.8930	0.5102488	— 5	— 603	— 845	— 153	— 31	0.5100849
5	28.7966	0.5088346	— 5	— 598	— 757	— 153	— 31	0.5086802
16	31.0876	0.5081732	— 4	— 602	— 835	— 152	— 34	0.5080105
21	24.8971	0.5102471	— 5	— 606	— 819	— 153	— 31	0.5100857
5	28.8051	0.5088329	— 6	— 598	— 766	— 153	— 31	0.5086775
16	31.0865	0.5081735	— 5	— 601	— 845	— 152	— 34	0.5080098
21	24.8910	0.5102497	— 5	— 605	— 837	— 153	— 31	0.5100866
6	28.8026	0.5088331	— 5	— 610	— 793	— 153	— 31	0.5086739
7	28.8226	0.5088175	— 5	— 593	— 866	— 153	— 34	0.5086524
8	28.8227	0.5088175	— 5	— 590	— 860	— 153	— 31	0.5086536

Datum 1904	Pendel Nr.	Uhrzeit	Redu- zierter Luftdruck	Rela- tive Feuch- tigkeit	Redu- zierter Dunst- druck	Pendel- temperatur	Aus- schlag des Pendels	Schwingungs- ebene des Pendels	Tagl. Gang der Koinzidenz- uhr
Juli 28	6	19 ^h 3 ^m	754.0	70	10.5	+ 17.66	12.6	NE — SW	— 2.89
	7	19 45	754.0	70	10.5	+ 17.61	13.1	NW — SE	— 2.89
	8	20 27	754.0	70	10.4	+ 17.57	13.9	NE — SW	— 2.89
	6	4 40	753.4	70	10.0	+ 16.93	13.9	NE — SW	— 2.89
	7	5 22	753.5	70	10.0	+ 16.96	13.3	NW — SE	— 2.89
	8	6 6	753.4	70	10.1	+ 17.02	13.7	NE — SW	— 2.89
	6	6 47	753.4	70	10.1	+ 17.09	13.6	NE — SW	— 2.89
	7	7 27	753.4	70	10.2	+ 17.15	13.0	NW — SE	— 2.89
	8	8 8	753.2	70	10.2	+ 17.21	13.8	NE — SW	— 2.89
	6	11 40	752.6	70	10.4	+ 17.56	13.3	NE — SW	— 2.89
	7	12 24	752.6	70	10.5	+ 17.63	13.0	NW — SE	— 2.89
	8	13 8	752.6	70	10.5	+ 17.72	13.8	NE — SW	— 2.89
	6	13 54	752.5	70	10.6	+ 17.82	13.5	NE — SW	— 2.89
	7	14 41	752.5	70	10.7	+ 17.90	12.8	NW — SE	— 2.89
	8	15 35	752.4	70	10.7	+ 17.95	13.6	NE — SW	— 2.89
	6	5 20	754.7	72	10.3	+ 16.98	12.9	NE — SW	— 2.89
	16	6 2	754.8	72	10.4	+ 16.99	12.6	NW — SE	— 2.89
	21	6 39	754.9	72	10.4	+ 17.00	14.3	NE — SW	— 2.89
	5	13 55	755.0	72	10.4	+ 17.24	12.4	NE — SW	— 2.89
	16	14 38	755.0	72	10.5	+ 17.27	12.5	NW — SE	— 2.89
	21	15 25	755.2	72	10.6	+ 17.32	13.9	NE — SW	— 2.89
	5	6 6	757.8	72	10.3	+ 16.95	12.6	NE — SW	— 2.71
	16	6 47	757.8	72	10.3	+ 16.97	13.3	NW — SE	— 2.71
	21	7 28	757.8	72	10.4	+ 17.03	14.0	NE — SW	— 2.71
	5	8 10	757.8	72	10.4	+ 17.10	12.5	NE — SW	— 2.71
	16	9 2	757.8	72	10.5	+ 17.17	12.6	NW — SE	— 2.71
	21	9 45	757.8	72	10.5	+ 17.22	13.8	NE — SW	— 2.71
	5	12 39	757.6	72	10.6	+ 17.34	12.7	NE — SW	— 2.71
	16	13 19	757.5	72	10.6	+ 17.38	12.9	NW — SE	— 2.71
	21	14 2	757.5	72	10.6	+ 17.42	13.6	NE — SW	— 2.71
Aug. 1	6	19 24	757.9	70	10.4	+ 17.47	13.2	NE — SW	— 2.87
	7	20 2	757.9	70	10.3	+ 17.41	14.1	NW — SE	— 2.87
	8	2 45	758.7	70	9.9	+ 16.69	13.4	NE — SW	— 2.87
	6	8 29	758.6	70	9.9	+ 16.73	12.5	NE — SW	— 2.87
	7	13 44	757.2	70	10.1	+ 17.04	13.3	NW — SE	— 2.87
	8	14 25	757.1	70	10.1	+ 17.12	13.5	NE — SW	— 2.87
Tokyo. Universität.									
Okt. 7	6	10 ^h 34 ^m	762.3	84	14.2	+ 19.59	12.5	N — S	0.00
	7	11 21	762.1	84	14.2	+ 19.62	12.8	E — W	0.00
	6	12 4	761.9	84	14.3	+ 19.66	12.2	N — S	— 0.08
	7	12 45	761.6	84	14.3	+ 19.71	12.8	E — W	— 0.08
	8	13 53	761.4	84	14.4	+ 19.79	13.3	N — S	0.00
	6	12 4	761.9	84	14.3	+ 19.66	12.2	N — S	— 0.08
	7	12 45	761.6	84	14.3	+ 19.71	12.8	E — W	— 0.08
	8	13 53	761.4	84	14.4	+ 19.79	13.3	N — S	0.00

Pendel Nr.	Periode der Koin- zidenzen	Beobachtete Schwingungs- dauer	Reduktion auf					Reduzierte Schwingungs- dauer
			unendlich kleinen Ausschlag	leeren Raum	0° Temp.	Sternzeit- sekunden	stabiles Lager	
6	28.8033	0.5088129	— 5	— 610	— 795	— 170	— 31	0.5086718
7	28.8530	0.5088174	— 5	— 593	— 864	— 170	— 34	0.5086508
8	28.8537	0.5088172	— 5	— 591	— 851	— 170	— 31	0.5086524
6	28.8100	0.5088318	— 5	— 611	— 762	— 170	— 31	0.5086729
7	28.8610	0.5088149	— 5	— 594	— 832	— 170	— 34	0.5086514
8	28.8616	0.5088147	— 5	— 591	— 824	— 170	— 31	0.5086526
6	28.8110	0.5088315	— 5	— 611	— 769	— 170	— 31	0.5086719
7	28.8606	0.5088150	— 5	— 594	— 842	— 170	— 34	0.5086505
8	28.8617	0.5088147	— 5	— 591	— 833	— 170	— 31	0.5086517
6	28.8044	0.5088315	— 5	— 609	— 791	— 170	— 31	0.5086719
7	28.8531	0.5088173	— 5	— 592	— 865	— 170	— 34	0.5086507
8	28.8541	0.5088170	— 5	— 589	— 858	— 170	— 31	0.5086517
6	28.8014	0.5088335	— 5	— 608	— 802	— 170	— 31	0.5086719
7	28.8501	0.5088182	— 4	— 592	— 878	— 170	— 34	0.5086502
8	28.8504	0.5088182	— 5	— 589	— 869	— 170	— 31	0.5086518
5	28.7894	0.5088373	— 4	— 596	— 769	— 170	— 31	0.5086803
16	31.0734	0.5081771	— 4	— 600	— 847	— 170	— 34	0.5080116
21	24.8865	0.5102516	— 6	— 605	— 829	— 172	— 31	0.5100874
5	28.7879	0.5088377	— 4	— 596	— 781	— 170	— 31	0.5086795
16	31.0703	0.5081779	— 4	— 599	— 861	— 170	— 34	0.5080111
21	24.8834	0.5102519	— 5	— 604	— 844	— 171	— 31	0.5100874
5	28.7943	0.5088357	— 4	— 599	— 768	— 160	— 31	0.5086795
16	31.0780	0.5081758	— 5	— 602	— 846	— 160	— 34	0.5080111
21	24.8901	0.5102501	— 5	— 607	— 830	— 160	— 31	0.5100868
5	28.7948	0.5088355	— 4	— 598	— 775	— 160	— 31	0.5086784
16	31.0764	0.5081763	— 4	— 603	— 856	— 160	— 34	0.5080107
21	24.8907	0.5102499	— 5	— 606	— 839	— 160	— 31	0.5100858
5	28.7917	0.5088365	— 4	— 598	— 786	— 160	— 31	0.5086786
16	31.0736	0.5081770	— 4	— 601	— 867	— 160	— 34	0.5080104
21	24.8865	0.5102516	— 5	— 606	— 849	— 160	— 31	0.5100865
6	28.8018	0.5088333	— 5	— 613	— 786	— 169	— 31	0.5086729
7	28.8511	0.5088176	— 5	— 597	— 854	— 169	— 34	0.5086517
8	28.8628	0.5088143	— 5	— 596	— 808	— 169	— 31	0.5086534
6	28.8129	0.5088299	— 4	— 616	— 753	— 169	— 31	0.5086726
7	28.8579	0.5088159	— 5	— 597	— 836	— 169	— 34	0.5086518
8	28.8554	0.5088166	— 5	— 594	— 819	— 169	— 31	0.5086538
Tokyo. Universität.								
6	28.7683	0.5088695	— 4	— 611	— 882	0	— 15	0.5087173
7	28.7263	0.5088570	— 4	— 594	— 963	0	— 31	0.5086978
6	28.6906	0.5088682	— 4	— 611	— 885	— 5	— 15	0.5087152
7	28.7308	0.5088556	— 4	— 594	— 967	— 5	— 31	0.5086955
8	28.7388	0.5088538	— 5	— 591	— 958	0	— 25	0.5086952

Datum 1904	Pendel Nr.	Uhrzeit	Redu- zierter Luftdruck	Rela- tive Feuch- tigkeit	Redu- zierter Dunst- druck	Pendel- temperatur	Aus- schlag des Pendels	Schwingungs- ebene des Pendels	Tagl. Gang der Koinzidenz- uhr
Okt. 7	8	14 ^h 36 ^m	761.2	84	14.4	+ 19.783	12.8	N—S	0.00
	6	15 20	761.2	84	14.5	+ 19.89	12.7	N—S	— 0.02
	6	16 6	761.1	84	14.5	+ 19.98	12.7	N—S	— 0.02
	7	16 56	761.1	84	14.6	+ 20.08	13.9	E—W	+ 0.03
	7	17 38	761.2	84	14.7	+ 20.16	13.3	E—W	+ 0.03
	8	18 20	761.3	84	14.8	+ 20.22	13.4	N—S	0.00
	8	9 8	761.6	84	14.8	+ 20.30	12.9	N—S	
	5	9 27	763.7	88	15.1	+ 19.86	13.3	N—S	— 0.17
	5	10 8	763.7	88	15.2	+ 19.90	13.6	N—S	— 0.17
	16	10 56	763.6	88	15.2	+ 19.93	13.3	E—W	— 0.12
	16	11 41	763.4	88	15.2	+ 19.96	13.4	E—W	— 0.12
	21	12 48	765.2	88	15.3	+ 20.09	12.4	N—S	— 0.10
	21	13 33	762.9	88	15.4	+ 20.13	12.5	N—S	— 0.10
	5	11 16	762.6	88	15.5	+ 20.28	13.7	N—S	+ 0.08
	5	15 5	762.4	88	15.6	+ 20.36	13.4	N—S	+ 0.08
	16	15 46	762.3	88	15.7	+ 20.42	13.8	E—W	+ 0.07
	16	16 30	762.3	88	15.7	+ 20.51	13.9	E—W	+ 0.07
	21	17 14	763.4	88	15.8	+ 20.53	12.4	N—S	+ 0.19
	21	17 56	762.8	88	15.9	+ 20.64	13.7	N—S	+ 0.19
	5	18 47	763.3	88	16.0	+ 20.72	13.4	N—S	+ 0.20
	5	19 29	763.5	88	16.0	+ 20.78	13.9	N—S	+ 0.29
	16	20 13	763.7	88	16.0	+ 20.79	13.9	E—W	+ 0.34
	16	20 58	764.0	88	16.0	+ 20.81	14.0	E—W	+ 0.34
	21	9 18	766.2	88	15.2	+ 19.89	12.4	N—S	+ 0.17
	21	10 13	766.4	88	15.1	+ 19.83	13.3	N—S	+ 0.17
9									
	5	11 3	766.7	88	15.1	+ 19.81	13.2	N—S	+ 0.51
	5	11 52	766.8	88	15.1	+ 19.81	14.0	N—S	+ 0.51
	16	12 35	766.7	88	15.1	+ 19.81	14.0	E—W	+ 0.26
	16	13 20	766.6	88	15.1	+ 19.87	13.7	E—W	+ 0.46
	21	14 2	766.5	88	15.2	+ 19.91	12.5	N—S	+ 0.43
	21	14 43	766.5	80	13.8	+ 19.94	13.4	N—S	+ 0.43
	6	15 33	766.6	80	14.7	+ 19.96	13.0	N—S	+ 0.41
	6	16 18	766.7	80	14.1	+ 20.19	13.0	N—S	+ 0.41
	7	17 1	766.7	80	13.9	+ 20.00	13.3	E—W	+ 0.21
	7	17 45	766.7	80	13.9	+ 20.00	12.7	E—W	+ 0.42
	8	18 30	766.8	80	13.9	+ 19.99	12.4	N—S	+ 0.47
	8	19 16	766.8	80	13.8	+ 19.96	13.0	N—S	+ 0.47
	6	20 1	767.0	80	13.8	+ 19.93	12.8	N—S	+ 0.61
	6	21 42	767.1	80	13.8	+ 19.95	13.1	N—S	+ 0.61
	7	10 47	762.9	80	12.4	+ 18.34	13.8	E—W	+ 0.12
	7	11 35	762.3	80	12.5	+ 18.33	13.3	E—W	+ 0.11
	8	12 18	761.6	80	12.6	+ 18.41	12.6	N—S	+ 0.10
	8	13 2	760.9	80	12.7	+ 18.51	13.4	N—S	+ 0.10
Okt. 31									
	6	0 ^h 1 ^m	770.1	57	7.0	+ 14.46	14.3	NE—NW	— 10.35
	7	0 44	770.0	57	7.0	+ 14.60	12.8	NE—SW	— 10.35
	8	2 28	770.0	57	7.1	+ 14.64	12.5	SE—NW	— 10.35

Zi-ka-wel.
Observatorium.

Pendel Nr.	Periode der Koin- zidenzen	Beobachtete Schwingungs- dauer	unendlich kleinen Aus Schlag	leeren Raum	Reduktion auf			Reduzierte Schwingungs- dauer
					0° Temp.	Sternzeit- Sekunden	stabiles Lager	
8	18.7334	0.5088547	— 4	— 590	— 960	0	— 15	0.5086968
6	18.6896	0.5088685	— 4	— 610	— 895	— 1	— 15	0.5087150
16	18.6861	0.5088695	— 4	— 609	— 920	— 1	— 15	0.5087156
7	18.7397	0.5088559	— 5	— 593	— 985	+ 1	— 11	0.5086647
7	18.7335	0.5088547	— 5	— 592	— 989	+ 1	— 11	0.5086931
8	18.7303	0.5088557	— 5	— 590	— 979	0	— 15	0.5086958
8	18.7169	0.5088568	— 4	— 590	— 983	0	— 15	0.5086966
5	18.6649	0.5088763	— 5	— 596	— 900	— 10	— 15	0.5087217
5	18.6647	0.5088763	— 5	— 596	— 901	— 10	— 15	0.5087216
16	30.9198	0.5082184	— 5	— 599	— 994	— 7	— 11	0.5080548
16	30.9210	0.5082180	— 5	— 599	— 996	— 7	— 11	0.5080543
21	24.7930	0.5102910	— 4	— 603	— 979	— 6	— 15	0.5101293
21	24.7916	0.5102916	— 4	— 603	— 984	— 6	— 15	0.5101294
5	18.6670	0.5088756	— 5	— 594	— 919	+ 5	— 15	0.5087218
5	18.6634	0.5088771	— 5	— 594	— 922	+ 5	— 15	0.5087230
16	30.9176	0.5082189	— 5	— 597	— 1019	+ 4	— 11	0.5080541
16	30.9187	0.5082187	— 5	— 597	— 1023	+ 4	— 11	0.5080535
21	24.7892	0.5102926	— 4	— 601	— 1003	+ 11	— 15	0.5101304
21	24.7881	0.5102931	— 5	— 602	— 1006	+ 11	— 15	0.5101305
5	18.6627	0.5088770	— 5	— 593	— 939	+ 17	— 15	0.5087225
5	18.6579	0.5088785	— 5	— 593	— 941	+ 17	— 15	0.5087238
16	30.9154	0.5082195	— 5	— 597	— 1037	+ 10	— 11	0.5080545
16	30.9111	0.5082207	— 5	— 598	— 1038	+ 10	— 11	0.5080555
21	24.7909	0.5102919	— 4	— 606	— 969	+ 10	— 15	0.5101325
21	24.7971	0.5102893	— 5	— 606	— 967	+ 10	— 15	0.5101300
5	18.6674	0.5088755	— 5	— 598	— 897	+ 31	— 15	0.5087261
5	18.6657	0.5088760	— 5	— 599	— 897	+ 31	— 15	0.5087265
16	30.9254	0.5082168	— 5	— 602	— 989	+ 27	— 11	0.5080568
16	30.9299	0.5082156	— 5	— 602	— 991	+ 27	— 11	0.5080554
21	24.7908	0.5102920	— 4	— 606	— 970	+ 25	— 15	0.5101340
21	24.7936	0.5102908	— 5	— 607	— 972	+ 25	— 15	0.5101314
6	18.6830	0.5088705	— 5	— 612	— 899	+ 24	— 15	0.5087188
6	18.6831	0.5088705	— 5	— 613	— 909	+ 24	— 15	0.5087177
7	18.7287	0.5088563	— 5	— 597	— 981	+ 25	— 11	0.5086974
7	18.7286	0.5088563	— 4	— 597	— 981	+ 25	— 11	0.5086975
8	18.7334	0.5088547	— 4	— 595	— 968	+ 18	— 15	0.5086983
8	18.7361	0.5088538	— 5	— 595	— 967	+ 18	— 15	0.5086974
6	18.6817	0.5088710	— 4	— 614	— 897	+ 16	— 15	0.5087206
6	18.6820	0.5088709	— 5	— 615	— 894	+ 16	— 15	0.5087206
7	18.7484	0.5088501	— 5	— 598	— 895	+ 7	— 11	0.5086979
7	18.7484	0.5088501	— 5	— 598	— 899	+ 7	— 11	0.5086975
8	18.7552	0.5088479	— 4	— 594	— 891	+ 6	— 15	0.5086971
8	18.7537	0.5088484	— 5	— 593	— 896	+ 6	— 15	0.5086971
Zi-ka-wol.								
Observatorium.								
6	18.7169	0.5090029	— 6	— 631	— 651	— 610	— 19	0.5088101
7	18.7334	0.5089852	— 4	— 613	— 716	— 610	— 11	0.5087877
8	18.7397	0.5089964	— 4	— 610	— 709	— 610	— 19	0.5087902

Datum 1904	Pendel Nr.	Uhrzeit	Redu- zierter Luftdruck	Rela- tive Feuch- tigkeit	Redu- zierter Dunst- druck	Pendel- temperatur	Aus- schlag des Pendels	Schwingungs- ebene des Pendels	Tagl. Gang der Koinzidenz- uhr
Nov. 1	6	9 ^h 52 ^m	769.8	57	7.4	+ 15.38	13.9	SE - NW	- 10.35
	7	10 34	769.8	57	7.4	+ 15.40	13.4	NE - SW	- 10.35
	8	11 22	769.8	57	7.4	+ 15.44	12.9	SE - NW	- 10.35
	6	12 12	769.8	57	7.5	+ 15.50	13.5	SE - NW	- 10.35
	7	12 52	769.6	57	7.5	+ 15.56	13.1	NE - SW	- 10.35
	8	13 34	769.0	57	7.5	+ 15.63	12.5	SE - NW	- 10.35
	5	17 48	768.8	57	7.6	+ 15.89	12.8	SE - NW	- 10.35
	16	18 31	768.8	57	7.7	+ 15.91	13.8	NE - SW	- 10.35
	21	19 16	768.8	57	7.7	+ 15.94	14.0	SE - NW	- 10.35
	5	20 0	768.8	57	7.7	+ 15.95	13.0	SE - NW	- 10.35
	16	20 44	769.0	57	7.7	+ 15.94	13.5	NE - SW	- 10.35
	21	21 25	769.3	57	7.6	+ 15.88	13.7	SE - NW	- 10.35
	5	0 43	769.4	57	7.4	+ 15.46	13.6	SE - NW	- 10.59
	16	1 25	769.5	57	7.4	+ 15.38	13.6	NE - SW	- 10.59
	21	9 9	769.6	57	7.4	+ 15.37	13.3	SE - NW	- 10.59
" 2	5	9 54	769.8	58	7.4	+ 15.37	13.2	SE - NW	- 10.59
	16	10 34	769.9	58	7.4	+ 15.36	13.2	NE - SW	- 10.59
	21	11 30	770.0	58	7.4	+ 15.38	13.0	SE - NW	- 10.59
	5	12 14	770.0	58	7.4	+ 15.41	13.2	SE - NW	- 10.59
	16	13 0	770.0	58	7.5	+ 15.50	12.7	NE - SW	- 10.59
	21	23 42	770.0	58	7.5	+ 15.57	13.0	SE - NW	- 10.59
	6	17 18	769.2	66	7.7	+ 15.94	11.9	SE - NW	- 10.59
	7	18 4	769.1	66	7.7	+ 15.96	13.8	NE - SW	- 10.59
	8	18 54	769.1	66	7.7	+ 15.98	13.3	SE - NW	- 10.59
	6	19 34	769.1	66	7.7	+ 16.02	12.6	SE - NW	- 10.59
	7	20 24	769.2	66	7.7	+ 16.04	12.9	NE - SW	- 10.59
	8	21 16	769.3	66	7.7	+ 16.00	12.8	SE - NW	- 10.59
Hongkong. Observatorium.									
Nov. 14	6	12 ^h 23 ^m	762.0	83	19.6	+ 25.04	13.3	NE - SW	- 0.14
	7	13 5	762.0	83	19.6	+ 25.06	13.0	NW - SE	- 0.14
	8	13 46	761.8	83	19.7	+ 25.13	13.2	NE - SW	- 0.14
	6	14 35	761.5	83	19.8	+ 25.27	13.9	NE - SW	- 0.14
	7	15 5	761.2	83	20.1	+ 25.48	13.4	NW - SE	- 0.14
	8	15 45	760.9	83	20.4	+ 25.72	13.5	NE - SW	- 0.14
	6	19 0	760.5	83	21.7	+ 26.81	13.4	NE - SW	- 0.14
	7	19 42	760.5	83	21.8	+ 26.89	13.9	NW - SE	- 0.14
	8	20 22	760.7	83	21.8	+ 26.91	13.4	NE - SW	- 0.14
" 15	6	13 18	765.5	60	12.5	+ 23.03	14.2	NE - SW	- 0.14
	7	14 0	765.5	60	12.3	+ 22.69	13.0	NW - SE	- 0.14
	8	14 42	765.4	60	12.1	+ 22.40	13.6	NE - SW	- 0.14

Pendel Nr.	Periode der Koin- ridenzen	Beobachtete Schwingungs- dauer	unendlich kleinen Ausschlag	Reduktion auf				Reduzierte Schwingungs- dauer
				leeren Raum	0° Temp.	Sternzeit- Sekunden	stabiles Lager	
6	28.2561	0.5090070	— 5	— 618	— 692	— 610	— 29	0.5088106
7	28.3194	0.5089865	— 5	— 611	— 756	— 610	— 32	0.5087851
8	28.3109	0.5089893	— 4	— 608	— 748	— 610	— 29	0.5087894
6	28.2519	0.5090084	— 5	— 618	— 698	— 610	— 29	0.5088114
7	28.2986	0.5089932	— 5	— 611	— 764	— 610	— 32	0.5087910
8	28.3090	0.5089899	— 4	— 607	— 757	— 610	— 29	0.5087892
5	28.2326	0.5090147	— 4	— 611	— 720	— 610	— 29	0.5088173
16	30.4253	0.5083341	— 5	— 614	— 794	— 609	— 32	0.5081487
21	24.4705	0.5104295	— 5	— 619	— 777	— 611	— 29	0.5102154
3	28.2282	0.5090162	— 5	— 610	— 723	— 610	— 29	0.5088183
16	30.4234	0.5083346	— 5	— 614	— 795	— 609	— 32	0.5081491
21	24.4734	0.5104282	— 5	— 619	— 774	— 611	— 29	0.5102142
5	28.2326	0.5090147	— 5	— 612	— 700	— 624	— 29	0.5088177
16	30.4294	0.5083330	— 5	— 616	— 767	— 623	— 32	0.5081487
21	24.4765	0.5104269	— 5	— 621	— 749	— 626	— 29	0.5102139
3	28.2297	0.5090156	— 5	— 612	— 696	— 624	— 29	0.5088190
16	30.4339	0.5083317	— 5	— 616	— 766	— 623	— 32	0.5081475
21	24.4705	0.5104296	— 5	— 621	— 750	— 626	— 29	0.5102265
5	28.2391	0.5090125	— 5	— 612	— 699	— 624	— 29	0.5088156
16	30.4276	0.5083355	— 4	— 616	— 773	— 623	— 32	0.5081487
21	24.4782	0.5104261	— 5	— 621	— 759	— 626	— 29	0.5102121
6	28.2468	0.5090100	— 4	— 627	— 718	— 624	— 29	0.5088098
7	28.2961	0.5089940	— 5	— 610	— 783	— 624	— 32	0.5087886
8	28.3003	0.5089927	— 5	— 607	— 774	— 624	— 29	0.5087888
6	28.2465	0.5090101	— 4	— 627	— 721	— 624	— 29	0.5088096
7	28.2944	0.5089946	— 4	— 610	— 787	— 624	— 32	0.5087889
8	28.3010	0.5089925	— 4	— 607	— 775	— 624	— 29	0.5087886

Hongkong. Observatorium.								
6	27.8886	0.5091613	— 5	— 598	— 1127	— 8	— 28	0.5089847
7	27.8270	0.5091484	— 5	— 582	— 1230	— 8	— 43	0.5089616
8	27.8281	0.5091480	— 5	— 579	— 1217	— 8	— 28	0.5089643
6	27.7884	0.5091613	— 5	— 597	— 1138	— 8	— 28	0.5089837
7	27.8171	0.5091518	— 5	— 580	— 1250	— 8	— 43	0.5089632
8	27.8234	0.5091496	— 5	— 577	— 1245	— 8	— 28	0.5089633
6	27.7747	0.5091660	— 5	— 593	— 1207	— 8	— 28	0.5089819
7	27.8014	0.5091570	— 5	— 577	— 1319	— 8	— 43	0.5089618
8	27.8050	0.5091558	— 5	— 574	— 1303	— 8	— 28	0.5089640
6	27.8232	0.5091497	— 5	— 607	— 1037	— 8	— 28	0.5089812
7	27.8595	0.5091376	— 5	— 591	— 1113	— 8	— 43	0.5089616
8	27.8629	0.5091364	— 5	— 589	— 1085	— 8	— 28	0.5089649

Datum 1954	Pendel Nr.	Uhrzeit	Redu- zierter Luftdruck	Rela- tive Feuch- tigkeit	Redu- zierter Dunst- druck	Pendel- temperatur	Aus- schlag des Pendels	Schwingungs- ebene des Pendels	Tagl. Gang der Koinzidenz- uhr
Nov. 15	6	15 ^h 32 ^m	765.2	60	12.0	+ 22.19	14.1	NE — SW	— 0.14
	7	16 1	765.0	60	11.9	+ 22.21	13.1	NW — SE	— 0.14
	8	17 47	764.1	60	12.1	+ 22.35	13.4	NE — SW	— 0.14
	6	19 34	764.2	60	12.1	+ 22.37	13.1	NE — SW	— 0.14
	7	20 20	764.3	60	12.0	+ 22.33	13.8	NW — SE	— 0.14
	8	21 3	764.5	60	12.1	+ 22.35	14.0	NE — SW	— 0.14
	- 16	6	12 14	767.5	60	+ 20.02	13.2	NE — SW	— 0.15
		7	12 53	767.8	60	+ 19.93	12.6	NW — SE	— 0.15
		8	13 33	767.8	60	+ 19.94	13.6	NE — SW	— 0.15
	5	14 51	767.5	42	7.3	+ 20.10	13.4	NE — SW	— 0.15
	16	15 33	767.2	42	7.4	+ 20.16	12.3	NW — SE	— 0.15
	21	16 14	766.8	42	7.4	+ 20.21	13.0	NE — SW	— 0.15
	5	19 17	766.0	42	7.7	+ 20.80	14.3	NE — SW	— 0.15
	16	20 0	766.1	42	7.7	+ 20.84	12.3	NW — SE	— 0.15
	21	20 44	766.2	42	7.7	+ 20.82	13.4	NE — SW	— 0.15
	- 17	5	0 47	767.3	42	+ 20.60	14.1	NE — SW	— 0.03
		16	1 47	767.2	42	+ 20.55	11.3	NW — SE	— 0.03
		21	12 21	768.3	42	+ 18.74	13.8	NE — SW	— 0.03
	5	13 2	768.5	42	6.7	+ 18.74	14.4	NE — SW	— 0.03
	16	13 44	768.3	42	6.7	+ 18.76	13.2	NW — SE	— 0.03
	21	14 25	768.3	42	6.8	+ 18.79	13.0	NE — SW	— 0.03
	5	15 5	768.0	42	6.8	+ 18.91	13.0	NE — SW	— 0.03
	16	15 44	767.5	42	6.9	+ 19.06	13.5	NW — SE	— 0.03
	21	16 28	767.1	42	7.0	+ 19.22	13.7	NE — SW	— 0.03
	5	18 6	766.3	42	7.1	+ 19.56	13.2	NE — SW	— 0.03
	16	18 44	766.1	42	7.1	+ 19.58	14.0	NW — SE	— 0.03
	21	19 48	766.1	42	7.1	+ 19.60	12.6	NE — SW	— 0.03
Bangkok.									
Oriental Hotel.									
Dez. 12	6	3 ^h 32 ^m	761.7	79	20.2	+ 26.39	12.9	E — W	— 1.71
	7	4 12	761.8	79	20.2	+ 26.38	13.9	N — S	— 1.71
	8	4 51	761.8	79	20.2	+ 26.36	14.0	E — W	— 1.71
	6	5 33	761.8	79	20.1	+ 26.33	13.4	E — W	— 1.71
	7	12 59	762.1	79	19.2	+ 25.57	14.1	N — S	— 1.71
	8	13 38	762.4	79	19.2	+ 25.54	13.4	E — W	— 1.71
	6	14 47	762.5	79	19.2	+ 25.53	13.9	E — W	— 1.71
	7	14 57	762.5	79	19.2	+ 25.56	13.7	N — S	— 1.71
	8	15 40	762.5	79	19.3	+ 25.61	15.0	E — W	— 1.71
	6	16 22	762.4	79	19.3	+ 25.67	13.7	E — W	— 1.71
	7	17 1	762.1	79	19.4	+ 25.75	14.0	N — S	— 1.71
	8	17 42	763.0	79	19.5	+ 25.81	14.3	E — W	— 1.71

Pendel Nr.	Periode der Koin- zidenzen	Beobachtete Schwingungs- dauer	unendlich kleinen Aus Schlag	leeren Raum	Reduktion auf o° Temp.	Sternzeit- Sekunden	stabiles Lager	Reduzierte Schwingungs- dauer
6	27.8234	0.5091296	— 5	— 609	— 1003	— 8	— 18	0.5089843
7	27.8604	0.5091373	— 5	— 592	— 1090	— 8	— 43	0.5089635
8	27.8637	0.5091361	— 5	— 588	— 1082	— 8	— 18	0.5089650
6	27.8244	0.5091493	— 5	— 608	— 1007	— 8	— 18	0.5089837
7	27.8611	0.5091370	— 5	— 591	— 1096	— 8	— 43	0.5089627
8	27.8621	0.5091367	— 5	— 589	— 1082	— 8	— 18	0.5089655
6	27.8504	0.5091407	— 5	— 615	— 901	— 9	— 28	0.5089849
7	27.8666	0.5091252	— 4	— 600	— 978	— 9	— 43	0.5089618
8	27.8976	0.5091248	— 5	— 597	— 965	— 9	— 28	0.5089644
5	27.8561	0.5091454	— 5	— 601	— 911	— 9	— 18	0.5089900
16	29.9521	0.5084884	— 4	— 604	— 1006	— 9	— 43	0.5083218
21	24.1690	0.5105623	— 5	— 608	— 985	— 9	— 18	0.5103988
5	27.8246	0.5091492	— 6	— 598	— 942	— 9	— 18	0.5089909
16	29.9411	0.5084915	— 4	— 602	— 1039	— 9	— 43	0.5083218
21	24.1622	0.5105654	— 5	— 606	— 1015	— 9	— 18	0.5103991
5	27.8277	0.5091482	— 5	— 600	— 933	— 2	— 18	0.5089914
16	29.9444	0.5084906	— 4	— 603	— 1025	— 2	— 43	0.5083219
21	24.1802	0.5105573	— 5	— 613	— 913	— 2	— 18	0.5104912
5	27.8497	0.5091409	— 6	— 604	— 849	— 1	— 28	0.5089920
16	29.9700	0.5084832	— 5	— 608	— 936	— 1	— 43	0.5083238
21	24.1812	0.5105569	— 5	— 612	— 916	— 1	— 28	0.5104006
5	27.8527	0.5091402	— 5	— 604	— 857	— 1	— 28	0.5089906
16	29.9669	0.5084842	— 5	— 607	— 951	— 1	— 43	0.5083234
21	24.1776	0.5105585	— 5	— 612	— 937	— 1	— 28	0.5104002
5	27.8431	0.5091430	— 5	— 601	— 886	— 2	— 18	0.5089908
16	29.9669	0.5084842	— 5	— 604	— 977	— 2	— 43	0.5083211
21	24.1732	0.5105605	— 4	— 609	— 955	— 2	— 28	0.5104007
Bangkok.								
Oriental Hotel.								
6	27.3963	0.5092950	— 4	— 595	— 1188	— 101	— 71	0.5090991
7	27.4153	0.5092884	— 5	— 579	— 1294	— 101	— 77	0.5090825
8	27.4247	0.5092852	— 5	— 576	— 1276	— 101	— 71	0.5090823
6	27.3899	0.5092970	— 5	— 595	— 1184	— 101	— 71	0.5091013
7	27.4220	0.5092826	— 5	— 581	— 1253	— 101	— 77	0.5090807
8	27.4323	0.5092825	— 5	— 579	— 1237	— 101	— 71	0.5090832
6	27.4023	0.5092929	— 5	— 598	— 1149	— 101	— 71	0.5091005
7	27.4303	0.5092832	— 5	— 582	— 1254	— 101	— 77	0.5090814
8	27.4398	0.5092800	— 6	— 578	— 1240	— 101	— 71	0.5090804
6	27.4012	0.5092933	— 5	— 597	— 1156	— 101	— 71	0.5091003
7	27.4307	0.5092831	— 5	— 581	— 1264	— 101	— 77	0.5090821
8	27.4317	0.5092827	— 6	— 578	— 1250	— 101	— 71	0.5090821

Datum 1904	Pendel Nr.	Uhrzeit	Redu- zierter Luftdruck	Rela- tive Feuch- tigkeit	Redu- zierter Dunst- druck	Pendel- temperatur	Aus- schlag des Pendels	Schwingungs- ebene des Pendels	Tägl. Gang der Koinzidenz- uhr
Dez. 13	5	19 ^h 34 ^m	mm 760.8	% 74	mm 18.7	+ 26.25	14.2	E—W'	— 1.71
	16	20 15	760.7	74	18.9	+ 26.34	12.7	N—S	— 1.71
	21	20 55	760.7	74	18.9	+ 26.46	13.9	E—W'	— 1.71
	5	21 37	760.6	74	19.1	+ 26.58	13.9	E—W'	— 1.71
	16	22 19	760.8	74	19.2	+ 26.67	13.8	N—S	— 1.71
	21	22 59	760.9	74	19.3	+ 26.75	13.4	E—W'	— 1.71
	5	2 29	761.8	74	19.2	+ 26.67	13.0	E—W'	— 1.83
	16	3 10	762.0	74	19.2	+ 26.61	13.4	N—S	— 1.83
	21	3 51	762.0	74	19.1	+ 26.56	13.5	E—W'	— 1.83
	5	13 6	762.8	74	17.6	+ 25.17	12.7	E—W'	— 1.83
	16	13 46	763.0	74	17.5	+ 25.14	14.0	N—S	— 1.83
	21	14 35	763.2	74	17.5	+ 25.12	13.6	E—W'	— 1.83
	16	15 4	763.2	74	17.5	+ 25.15	13.0	E—W'	— 1.83
	5	15 45	763.1	74	17.6	+ 25.20	13.4	N—S	— 1.83
	21	16 27	762.8	74	17.7	+ 25.26	14.1	E—W'	— 1.83
	5	17 5	762.4	74	17.7	+ 25.36	13.0	E—W'	— 1.83
	16	17 34	761.9	74	17.9	+ 25.48	13.4	N—S	— 1.83
	21	18 35	761.3	74	18.0	+ 25.59	13.8	E—W'	— 1.83
14	6	20 22	760.9	72	18.0	+ 26.01	14.0	E—W'	— 1.83
	7	21 0	760.8	72	18.1	+ 26.11	13.3	N—S	— 1.83
	8	21 40	760.9	72	18.2	+ 26.21	13.8	E—W'	— 1.83
	6	22 22	761.0	72	18.3	+ 26.29	14.0	E—W'	— 1.83
	7	23 1	761.2	72	18.4	+ 26.36	13.3	N—S	— 1.83
	8	2 33	762.4	72	18.4	+ 26.42	13.9	E—W'	— 1.83
Rangun.									
Dunesslin House.									
1905	6	6 ^h 2 ^m	mm 763.0	% 77	mm 17.2	+ 24.12	15.6	E—W'	— 0.59
	7	6 42	763.0	77	17.0	+ 23.95	14.8	N—S	— 0.59
	8	7 23	762.9	77	16.8	+ 23.79	13.9	E—W'	— 0.59
	6	8 5	762.7	77	16.7	+ 23.65	14.3	E—W'	— 0.59
	7	13 30	761.1	77	15.4	+ 22.17	13.0	N—S	— 0.59
	8	14 15	761.5	77	15.1	+ 22.04	14.0	E—W'	— 0.59
	6	15 2	761.6	77	15.0	+ 21.84	14.5	E—W'	— 0.59
	7	15 43	761.8	77	14.9	+ 21.79	13.3	N—S	— 0.59
	8	16 27	762.0	77	15.0	+ 21.86	12.8	E—W'	— 0.59
	5	18 39	763.2	64	13.2	+ 22.81	13.3	E—W'	— 0.59
	16	19 21	766.8	64	13.5	+ 23.22	14.6	N—S	— 0.59
	21	20 11	762.1	64	14.0	+ 23.76	12.5	E—W'	— 0.59
	5	20 53	761.7	64	14.4	+ 24.28	13.6	E—W'	— 0.59
	16	21 54	761.5	64	14.9	+ 24.84	12.5	N—S	— 0.59
	21	22 52	761.3	64	15.3	+ 25.32	12.8	E—W'	— 0.59

Pendel Nr.	Periode der Koin- zidenzen	Beobachtete Schwingungs- dauer	unendlich kleinen Ausablag	leeren Raum	o° Temp.	Sternzeit- sekunden	stabiles Lager	Reduzierte Schwingungs- dauer
5	27.3720	0.5093034	— 5	— 580	— 1189	— 101	— 71	0.5091088
16	29.4049	0.5086490	— 4	— 583	— 1314	— 101	— 77	0.5084411
21	23.8146	0.5107219	— 5	— 587	— 1290	— 101	— 71	0.5105175
5	27.3668	0.5093052	— 5	— 579	— 1204	— 101	— 71	0.5091092
16	29.4080	0.5086481	— 5	— 583	— 1339	— 101	— 77	0.5084385
21	23.8095	0.5107252	— 5	— 587	— 1304	— 101	— 71	0.5105184
5	27.3664	0.5093053	— 6	— 580	— 1208	— 109	— 71	0.5091079
16	29.4095	0.5086476	— 5	— 584	— 1327	— 109	— 77	0.5084374
21	23.8181	0.5107213	— 5	— 588	— 1295	— 110	— 71	0.5105144
5	27.3887	0.5092975	— 4	— 584	— 1140	— 109	— 71	0.5091067
16	29.4255	0.5086428	— 5	— 588	— 1254	— 109	— 77	0.5084395
21	23.8315	0.5107151	— 5	— 592	— 1224	— 110	— 71	0.5105149
16	29.4194	0.5086417	— 5	— 588	— 1254	— 109	— 71	0.5084390
5	27.3878	0.5092979	— 5	— 584	— 1142	— 109	— 77	0.5091062
21	23.8266	0.5107174	— 5	— 592	— 1231	— 110	— 71	0.5105165
5	27.3813	0.5093001	— 5	— 583	— 1149	— 109	— 71	0.5091084
16	29.4103	0.5086444	— 5	— 586	— 1271	— 109	— 77	0.5084396
21	23.8233	0.5107189	— 5	— 590	— 1247	— 110	— 71	0.5105166
6	27.3883	0.5092978	— 5	— 596	— 1171	— 109	— 71	0.5091026
7	27.4204	0.5092867	— 5	— 579	— 1281	— 109	— 77	0.5090816
8	27.4255	0.5092849	— 5	— 576	— 1269	— 109	— 71	0.5090819
6	27.5966	0.5092949	— 5	— 597	— 1184	— 109	— 71	0.5090983
7	27.4283	0.5092840	— 5	— 581	— 1295	— 109	— 77	0.5090775
8	27.4222	0.5092861	— 5	— 579	— 1279	— 109	— 71	0.5090818

Rangun.

Dunessalin House.

6	27.5547	0.5092405	— 7	— 601	— 1086	— 35	— 64	0.5090612
7	27.5806	0.5092317	— 6	— 586	— 1175	— 35	— 86	0.5090429
8	27.5901	0.5092285	— 5	— 583	— 1152	— 35	— 64	0.5090446
6	27.5577	0.5092395	— 6	— 602	— 1065	— 35	— 64	0.5090623
7	27.6053	0.5092213	— 5	— 590	— 1093	— 35	— 86	0.5090424
8	27.6278	0.5092156	— 5	— 587	— 1067	— 35	— 64	0.5090398
6	27.5666	0.5092365	— 6	— 607	— 983	— 35	— 64	0.5090670
7	27.6089	0.5092221	— 5	— 591	— 1069	— 35	— 86	0.5090435
8	27.6260	0.5092163	— 4	— 587	— 1058	— 35	— 64	0.5090415
5	27.5563	0.5092400	— 5	— 590	— 1033	— 35	— 64	0.5090673
16	29.6121	0.5085875	— 6	— 596	— 1158	— 35	— 86	0.5083994
21	23.9477	0.5106621	— 4	— 595	— 1158	— 35	— 64	0.5104765
5	27.5343	0.5092475	— 5	— 586	— 1100	— 35	— 64	0.5090685
16	29.5911	0.5085937	— 4	— 588	— 1239	— 35	— 86	0.5083985
21	23.9348	0.5106679	— 4	— 591	— 1234	— 35	— 64	0.5104751

Datum 1905	Pendel Nr.	Uhrzeit	Redu- zierter Luftdruck	Rela- tive Feuch- tigkeit	Redu- zierter Dunst- druck	Pendel- temperatur	Aus- schlag des Pendels	Schwingungs- ebene des Pendels	Tägl. Gang der Koinzidenz- uhr
Jan. 4	5	23 ^m 33 ^{ss}	761.5	64	15.5	+25.55	13.6	E-W	-0.59
	16	0 16	761.7	64	15.7	+25.75	13.5	N-S	-0.59
	21	0 58	762.0	64	15.8	+25.86	13.6	E-W	-0.59
	5	5 32	763.3	64	15.0	+24.99	14.0	E-W	-0.58
	16	6 13	761.4	64	14.8	+24.75	13.4	N-S	-0.58
	21	6 54	763.4	64	14.6	+24.49	13.7	E-W	-0.58
	5	8 0	763.3	64	14.3	+24.15	11.9	E-W	-0.58
	16	13 36	763.5	64	12.9	+22.37	13.6	N-S	-0.58
	21	14 22	764.0	64	12.7	+22.16	13.5	E-W	-0.58
	5	15 0	764.3	64	12.5	+21.89	14.8	E-W	-0.58
	16	15 45	764.5	64	12.4	+21.88	14.0	N-S	-0.58
	21	16 29	764.5	64	12.4	+21.75	11.6	E-W	-0.58
5	6	18 28	763.8	64	13.0	+22.63	12.8	E-W	-0.58
	7	19 9	763.4	64	13.4	+23.05	14.6	N-S	-0.58
	8	19 49	763.0	64	13.7	+23.51	12.5	E-W	-0.58
	6	20 28	762.5	64	14.1	+23.97	13.8	E-W	-0.58
	7	21 0	762.1	64	14.5	+24.37	13.2	N-S	-0.58
	8	22 36	761.9	64	15.2	+25.18	14.8	E-W	-0.58
	6	23 17	761.8	64	15.5	+25.47	14.1	E-W	-0.58
	7	0 7	761.8	64	15.7	+25.73	13.1	N-S	-0.58
	8	0 57	762.0	64	15.9	+25.90	13.9	E-W	-0.58

Jalpaiguri.

Treasury Office.

Jan. 31	6	7 ^m 40 ^{ss}	755.2	87	11.2	+15.31	14.7	N-S	-19.69
	7	8 22	755.2	87	11.2	+15.26	13.8	E-W	-19.69
	8	9 4	755.2	87	11.2	+15.22	13.1	N-S	-19.69
	6	9 56	755.2	87	11.1	+15.16	14.2	N-S	-19.69
	7	10 38	755.2	87	11.1	+15.10	13.9	E-W	-19.69
	8	11 28	755.2	87	11.1	+15.06	14.8	N-S	-19.69
	6	19 0	758.5	87	10.7	+14.51	13.3	N-S	-19.69
	7	19 40	758.4	87	10.6	+14.43	13.0	E-W	-19.69
	8	20 35	758.2	87	10.6	+14.40	12.6	N-S	-19.69
Febr. 1	6	21 20	757.7	87	10.6	+14.42	13.1	N-S	-19.69
	7	22 5	756.9	87	10.6	+14.46	14.3	E-W	-19.69
	8	22 49	756.2	87	10.7	+14.52	14.1	N-S	-19.69
	6	6 19	758.2	90	11.2	+14.76	13.2	N-S	-20.09
	7	7 3	758.2	90	11.2	+14.76	14.0	E-W	-20.09
	8	7 44	758.2	90	11.2	+14.75	14.0	N-S	-20.09
	6	8 29	758.1	90	11.2	+14.74	13.5	N-S	-20.09
	7	9 13	758.0	90	11.2	+14.71	14.0	E-W	-20.09
	8	9 56	757.7	90	11.2	+14.67	14.8	N-S	-20.09

Fendel Nr.	Periode der Koin- zidenzen	Beobachtete Schwingungs- dauer	unendlich kleinen Ausschlag	Reduktion auf			stabiles Lager	Reduzierte Schwingungs- dauer
				leeren Raum	o° Temp.	Sternzeit- sekunden		
5	27.5139	0.5092538	— 5	— 583	— 1157	— 35	— 64	0.5090694
16	29.5249	0.5085985	— 5	— 586	— 1284	— 35	— 86	0.5083989
21	23.9278	0.5106711	— 5	— 590	— 1260	— 35	— 64	0.5104757
5	27.5166	0.5093501	— 5	— 585	— 1132	— 34	— 64	0.5090681
16	29.5841	0.5085957	— 5	— 588	— 1235	— 34	— 86	0.5084009
21	23.9425	0.5106644	— 5	— 595	— 1194	— 34	— 64	0.5104752
5	27.5173	0.5092465	— 4	— 585	— 1094	— 34	— 64	0.5090684
16	29.6152	0.5085807	— 5	— 595	— 1116	— 34	— 86	0.5083971
21	23.9669	0.5106533	— 5	— 600	— 1080	— 34	— 64	0.5104750
5	27.5621	0.5092177	— 6	— 593	— 992	— 34	— 64	0.5090688
16	29.6267	0.5085812	— 5	— 597	— 1091	— 34	— 86	0.5084019
21	23.9700	0.5106519	— 4	— 602	— 1060	— 34	— 64	0.5104755
6	27.5668	0.5092364	— 4	— 609	— 1019	— 34	— 64	0.5090634
7	27.6021	0.5092244	— 6	— 593	— 1131	— 34	— 86	0.5090394
8	27.6090	0.5092220	— 4	— 586	— 1118	— 34	— 64	0.5090394
6	27.5600	0.5092187	— 5	— 606	— 1079	— 34	— 64	0.5090599
7	27.5767	0.5092130	— 5	— 585	— 1196	— 34	— 86	0.5090244
8	27.5838	0.5092106	— 6	— 580	— 1219	— 34	— 64	0.5090403
6	27.5421	0.5092249	— 5	— 598	— 1147	— 34	— 64	0.5090601
7	27.5649	0.5092370	— 5	— 582	— 1263	— 34	— 86	0.5090400
8	27.5693	0.5092356	— 5	— 578	— 1254	— 34	— 64	0.5090421

Jalpalguri.
Treasury Office.

6	27.6913	0.5091932	— 6	— 616	— 689	— 1164	— 40	0.5089417
7	27.7114	0.5091807	— 5	— 599	— 749	— 1164	— 40	0.5089250
8	27.7271	0.5091820	— 5	— 596	— 737	— 1164	— 40	0.5089278
6	27.6990	0.5091915	— 5	— 616	— 683	— 1164	— 40	0.5089407
7	27.7161	0.5091790	— 5	— 599	— 741	— 1164	— 40	0.5089241
8	27.7334	0.5091799	— 6	— 596	— 729	— 1164	— 40	0.5089264
6	27.7111	0.5091874	— 5	— 620	— 653	— 1164	— 37	0.5089395
7	27.7444	0.5091763	— 5	— 603	— 708	— 1164	— 39	0.5089244
8	27.7498	0.5091744	— 4	— 600	— 697	— 1164	— 37	0.5089247
6	27.7097	0.5091879	— 5	— 620	— 649	— 1164	— 37	0.5089404
7	27.7449	0.5091760	— 6	— 602	— 710	— 1164	— 38	0.5089240
8	27.7467	0.5091754	— 5	— 599	— 703	— 1164	— 37	0.5089246
6	27.7023	0.5091904	— 5	— 619	— 664	— 1184	— 36	0.5089396
7	27.7386	0.5091782	— 5	— 602	— 724	— 1184	— 38	0.5089229
8	27.7397	0.5091778	— 5	— 600	— 714	— 1184	— 36	0.5089239
6	27.7050	0.5091895	— 5	— 619	— 662	— 1184	— 36	0.5089387
7	27.7380	0.5091783	— 5	— 602	— 722	— 1184	— 38	0.5089233
8	27.7398	0.5091778	— 6	— 599	— 710	— 1184	— 35	0.5089244

Datum 1905	Pendel Nr.	Uhrzeit	Redu- zierter Luftdruck	Rela- tive Feuch- tigkeit	Redu- zierter Dunst- druck	Pendel- temperatur	Aus- schlag des Pendels	Schwingungs- ebene des Pendels	Tägl. Gang der Koinzidenz- uhr
Fehr. 1									
	5	19 ^h 2 ^m	759.2	93	11.3	+ 14.43	13.9	N—S	— 20.09
	16	19 43	758.8	93	11.3	+ 14.41	14.0	E—W	— 20.09
	21	20 24	758.5	93	11.3	+ 14.38	14.1	N—S	— 20.09
	5	21 8	758.1	93	11.3	+ 14.38	13.8	N—S	— 20.09
	16	21 54	757.6	93	11.3	+ 14.40	13.7	E—W	— 20.09
	21	22 46	757.2	93	11.3	+ 14.42	14.0	N—S	— 20.09
	5	6 53	757.9	93	11.3	+ 14.43	14.3	N—S	— 20.35
	16	7 54	757.9	93	11.3	+ 14.38	14.0	E—W	— 20.35
	21	8 16	757.9	93	11.3	+ 14.36	13.1	N—S	— 20.35
	5	8 54	757.9	93	11.3	+ 14.34	14.2	N—S	— 20.35
	16	9 49	757.7	93	11.3	+ 14.33	12.4	E—W	— 20.35
	21	10 30	757.6	93	11.3	+ 14.33	14.2	N—S	— 20.35
	5	19 2	759.5	93	11.0	+ 14.00	13.0	N—S	— 20.35
	16	19 42	759.5	93	11.0	+ 13.98	13.9	E—W	— 20.35
	21	20 28	759.5	93	11.0	+ 14.00	13.6	N—S	— 20.35
	5	21 13	759.2	93	11.1	+ 14.02	13.3	N—S	— 20.35
	16	21 54	758.4	93	11.1	+ 14.07	12.7	E—W	— 20.35
	21	22 50	757.9	93	11.1	+ 14.14	14.1	N—S	— 20.35
Potsdam II.									
Geodätisches Institut.									
Mai 22									
	6	0 ^h 49 ^m	746.4	86	9.0	+ 12.05	12.4	E—W	— 0.13
	7	1 33	746.5	86	9.0	+ 12.08	13.3	N—S	— 0.13
	8	2 17	746.5	86	9.0	+ 12.10	13.7	E—W	— 0.13
	6	3 ^h 0	746.5	86	9.0	+ 12.13	13.4	E—W	— 0.13
	7	3 44	746.5	86	9.1	+ 12.15	13.8	N—S	— 0.13
	8	4 26	746.3	86	9.1	+ 12.17	13.8	E—W	— 0.13
	6	5 8	746.2	86	9.0	+ 12.20	13.8	E—W	— 0.13
	7	9 2	746.2	86	9.1	+ 12.27	13.0	N—S	— 0.13
	8	9 45	746.2	86	9.1	+ 12.29	12.9	E—W	— 0.13
	5	3 27	751.0	79	8.2	+ 12.02	14.2	E—W	— 0.24
	16	4 14	751.0	79	8.3	+ 12.08	13.3	N—S	— 0.24
	21	5 0	751.0	79	8.3	+ 12.12	13.6	E—W	— 0.24
	5	9 8	750.9	79	8.3	+ 12.16	13.5	E—W	— 0.24
	16	9 53	750.9	79	8.3	+ 12.18	14.2	N—S	— 0.24
	21	10 37	751.0	79	8.4	+ 12.21	13.8	E—W	— 0.24
	5	0 51	751.5	79	8.2	+ 11.94	13.6	E—W	— 0.24
	21	2 25	751.7	79	8.2	+ 11.98	14.1	E—W	— 0.24
	5	3 8	751.8	79	8.2	+ 12.01	13.2	E—W	— 0.24
	16	3 55	751.9	79	8.3	+ 12.05	12.5	N—S	— 0.24
	21	4 40	751.9	79	8.3	+ 12.09	13.9	E—W	— 0.24
	5	9 5	752.2	71	7.5	+ 12.19	14.1	E—W	— 0.24

Pendel Nr.	Periode der Koin- sidenzen	Beobachtete Schwingungs- dauer	unendlich kleinen Ausschlag	Reduktion auf				Reduzierte Schwingungs- dauer
				leeren Raum	0° Temp.	Sternzeit- Sekunden	stabiles Lager	
5	27.6797	0.5091980	— 5	— 605	— 654	— 1184	— 35	0.5089497
16	29.7814	0.5085379	— 5	— 608	— 719	— 1182	— 37	0.5082828
21	24.0540	0.5106139	— 5	— 613	— 701	— 1187	— 35	0.5103598
5	27.6747	0.5091997	— 5	— 604	— 641	— 1184	— 34	0.5089419
16	29.7817	0.5085378	— 4	— 607	— 718	— 1182	— 37	0.5082830
21	24.0504	0.5106155	— 5	— 613	— 703	— 1187	— 34	0.5103613
5	27.6766	0.5091991	— 6	— 604	— 654	— 1199	— 34	0.5089494
16	29.7796	0.5085384	— 5	— 608	— 717	— 1198	— 36	0.5082820
21	24.0536	0.5106141	— 5	— 612	— 700	— 1203	— 34	0.5103587
5	27.6758	0.5091993	— 5	— 604	— 650	— 1199	— 34	0.5089501
16	29.7803	0.5085382	— 4	— 608	— 715	— 1198	— 36	0.5082821
21	24.0533	0.5106142	— 5	— 612	— 698	— 1203	— 34	0.5103590
5	27.6771	0.5091989	— 5	— 606	— 634	— 1199	— 33	0.5089512
16	29.7837	0.5085372	— 5	— 610	— 697	— 1198	— 35	0.5082827
21	24.0554	0.5106133	— 5	— 614	— 682	— 1203	— 33	0.5103596
5	27.6790	0.5091982	— 5	— 606	— 635	— 1199	— 33	0.5089504
16	29.7831	0.5085374	— 4	— 609	— 702	— 1198	— 35	0.5082826
21	24.0551	0.5106134	— 5	— 613	— 689	— 1203	— 33	0.5103591

Potsdam II.								
Geodatisches Institut.								
6	30.0844	0.5084504	— 4	— 616	— 542	— 8	— 26	0.5083308
7	30.1336	0.5084504	— 5	— 599	— 593	— 8	— 26	0.5083133
8	30.1334	0.5084504	— 5	— 596	— 580	— 8	— 26	0.5083143
6	30.0803	0.5084516	— 5	— 616	— 546	— 8	— 26	0.5083315
7	30.1320	0.5084516	— 5	— 599	— 596	— 8	— 26	0.5083134
8	30.1353	0.5084539	— 5	— 596	— 589	— 8	— 26	0.5083135
6	30.0814	0.5084513	— 5	— 616	— 549	— 8	— 26	0.5083309
7	30.1300	0.5084574	— 5	— 599	— 602	— 8	— 26	0.5083134
8	30.1323	0.5084507	— 4	— 596	— 595	— 8	— 26	0.5083138
5	30.0400	0.5084602	— 5	— 604	— 535	— 14	— 26	0.5083420
16	32.5551	0.5077987	— 5	— 608	— 603	— 14	— 26	0.5076731
21	25.8236	0.5098722	— 5	— 613	— 594	— 14	— 26	0.5097473
5	30.0439	0.5084620	— 5	— 604	— 551	— 14	— 26	0.5083420
16	32.5505	0.5078002	— 5	— 608	— 608	— 14	— 26	0.5076741
21	25.8234	0.5098723	— 5	— 613	— 595	— 14	— 26	0.5097471
5	30.0430	0.5084591	— 5	— 605	— 541	— 14	— 26	0.5083403
16	32.5560	0.5078011	— 5	— 613	— 584	— 14	— 26	0.5076717
21	30.0537	0.5084592	— 5	— 605	— 544	— 14	— 26	0.5083398
16	32.5583	0.5077983	— 4	— 609	— 601	— 14	— 26	0.5076729
21	25.8279	0.5098705	— 5	— 613	— 589	— 14	— 26	0.5097458
5	30.0443	0.5084619	— 5	— 605	— 552	— 14	— 26	0.5083417

Datum 1905	Pendel Nr.	Uhrzeit	Redu- zierter Luftdruck	Rela- tive Feuch- tigkeit	Redu- zierter Dampf- druck	Pendel- temperatur	Aus- schlag des Pendels	Schwingungs- ebene des Pendels	Tagl. Gang der Koinzidenz- uhr
Mai 24	16	9 ^h 50 ^m	753.2	71	7.5	+ 12.11	12.7	N — S	— 0.24
	21	10 33	753.2	71	7.5	+ 12.12	13.4	E — W	— 0.24
	16	11 17	753.4	71	7.5	+ 12.12	13.9	N — S	— 0.24
" 25	6	1 19	755.1	71	7.5	+ 12.09	13.2	E — W	— 0.19
	7	3 5	755.3	71	7.5	+ 12.13	13.8	N — S	— 0.19
	8	3 0	755.4	71	7.5	+ 12.18	13.0	E — W	— 0.19
	6	3 43	755.5	71	7.5	+ 12.21	14.0	E — W	— 0.19
	7	4 29	755.5	71	7.5	+ 12.25	13.4	N — S	— 0.19
	8	5 18	755.5	71	7.5	+ 12.28	13.8	E — W	— 0.19
	6	9 2	755.5	71	7.6	+ 12.35	13.5	E — W	— 0.19
	7	9 46	755.6	71	7.6	+ 12.35	14.1	N — S	— 0.19
	8	10 31	755.7	71	7.6	+ 12.36	13.2	E — W	— 0.19
	5	3 5	760.1	71	7.6	+ 12.36	13.7	E — W	— 0.22
	16	4 59	760.1	71	7.6	+ 12.39	12.8	N — S	— 0.22
	21	2 48	762.7	71	7.6	+ 12.40	14.3	E — W	— 0.05

Nachstehend sind die reduzierten Schwingungsdauern der Pendel noch einmal übersichtlich zusammengestellt und zwar sind die Pendel nach der Größe der Differenzen, die die Anschlössmessungen in Potsdam vor und nach der Reise ergaben, geordnet.

	Pendel Nr. 16	Pendel Nr. 21	Pendel Nr. 5	Pendel Nr. 7	Pendel Nr. 8	Pendel Nr. 6
Potsdam I	0.5086733 0.5086731 0.5086735 0.5086742 0.5086738	0.5087472 0.5087475 0.5087465 0.5087473 0.5087463	0.5083405 0.5083414 0.5083416 0.5083414 0.5083409	0.5083148 0.5083143 0.5083150 0.5083153 0.5083140	0.5083163 0.5083166 0.5083161 0.5083170 0.5083162	0.5083531 0.5083530 0.5083524 0.5083520 0.5083520
Mittel ...	0.5086736	0.5087471	0.5083408	0.5083147	0.5083163	0.5083525
Melbourne	0.5086008 0.5086081 0.5086077 0.5086075 0.5086074 0.5086078	0.5100812 0.5100825 0.5100816 0.5100813 0.5100820 0.5100819	0.5086753 0.5086762 0.5086748 0.5086744 0.5086739 0.5086762	0.5086493 0.5086488 0.5086516 0.5086489 0.5086486 0.5086482	0.5086493 0.5086490 0.5086499 0.5086502 0.5086497 0.5086501	0.5086869 0.5086870 0.5086860 0.5086872 0.5086877 0.5086866
Mittel ...	0.5086077	0.5100819	0.5086751	0.5086492	0.5086493	0.5086868
Sydney	0.5086861 0.5086870 0.5086872 0.5086869 0.5086881 0.5086868	0.5101613 0.5101620 0.5101611 0.5101618 0.5101624 0.5101610	0.5087524 0.5087534 0.5087517 0.5087522 0.5087525 0.5087536	0.5087269 0.5087293 0.5087286 0.5087283 0.5087287 0.5087265	0.5087278 0.5087297 0.5087289 0.5087292 0.5087296 0.5087280	0.5087620 0.5087634 0.5087655 0.5087657 0.5087658 0.5087644
Mittel ...	0.5086870	0.5101617	0.5087526	0.5087281	0.5087289	0.5087648

Pendel Nr.	Periode der Koin- zidenzen	Beobachtete Schwingungs- dauer	unendlich kleinen Ausschlag	Reduktion auf				Reduzierte Schwingungs- dauer
				leeren Raum	0° Temp.	Sternzeit- Sekunden	stabiles Lager	
16	32.5523	0.5077997	— 4	— 609	— 609	— 14	— 26	0.5076733
21	32.8235	0.5098722	— 5	— 613	— 596	— 14	— 26	0.5097408
16	32.5501	0.5078003	— 5	— 609	— 610	— 12	— 26	0.5076739
6	30.0808	0.5084515	— 5	— 623	— 544	— 11	— 26	0.5083306
7	30.1300	0.5084374	— 5	— 606	— 595	— 11	— 26	0.5083131
8	30.1104	0.5084373	— 5	— 603	— 590	— 11	— 26	0.5083137
6	30.0814	0.5083513	— 5	— 623	— 550	— 11	— 26	0.5083298
7	30.1261	0.5084385	— 5	— 606	— 601	— 11	— 26	0.5083136
8	30.1269	0.5084383	— 5	— 603	— 595	— 11	— 26	0.5083143
6	30.0786	0.5084521	— 5	— 623	— 556	— 11	— 26	0.5083300
7	30.1221	0.5084396	— 5	— 606	— 606	— 11	— 26	0.5083142
8	30.1250	0.5084388	— 5	— 603	— 598	— 11	— 26	0.5083145
5	30.0420	0.5082625	— 5	— 611	— 560	7	— 26	0.5083116
16	32.5449	0.5078015	— 4	— 615	— 618	7	— 26	0.5076745
21	32.8208	0.5098733	— 6	— 622	— 604	— 1	— 26	0.5097174

	Pendel Nr. 16	Pendel Nr. 21	Pendel Nr. 5	Pendel Nr. 7	Pendel Nr. 8	Pendel Nr. 6
Berkeley	0.5080090 0.5080105 0.5080098 0.5080116 0.5080111 0.5080111 0.5080107 0.5080104	0.5100819 0.5100857 0.5100866 0.5100874 0.5100874 0.5100874 0.5100874 0.5100874	0.5086770 0.5086803 0.5086775 0.5086803 0.5086795 0.5086795 0.5086787 0.5086786	0.5086524 0.5086508 0.5086514 0.5086505 0.5086507 0.5086504 0.5086517 0.5086518	0.5086536 0.5086524 0.5086526 0.5086517 0.5086517 0.5086518 0.5086534 0.5086538	0.5086739 0.5086718 0.5086719 0.5086719 0.5086719 0.5086719 0.5086719 0.5086726
Mittel ...	0.5080105	0.5100864	0.5086789	0.5086512	0.5086526	0.5086725
Tokyo	0.5080548 0.5080542 0.5080541 0.5080535 0.5080545 0.5080535 0.5080568 0.5080564	0.5101293 0.5101294 0.5101304 0.5101305 0.5101325 0.5101300 0.5101340 0.5101324	0.5087227 0.5087226 0.5087218 0.5087230 0.5087225 0.5087238 0.5087261 0.5087265	0.5086978 0.5086955 0.5086927 0.5086932 0.5086974 0.5086975 0.5086979 0.5086975	0.5086951 0.5086968 0.5086958 0.5086966 0.5086983 0.5086974 0.5086971 0.5086971	0.5087173 0.5087152 0.5087150 0.5087156 0.5087188 0.5087177 0.5087266 0.5087266
Mittel ...	0.5080548	0.5101311	0.5087236	0.5086964	0.5086968	0.5087176
Zi-ka-wei	0.5081487 0.5081491 0.5081487 0.5081475 0.5081487	0.5102254 0.5102244 0.5102239 0.5102265 0.5102221	0.5088173 0.5088185 0.5088177 0.5088190 0.5088156	0.5087877 0.5087851 0.5087910 0.5087886 0.5087889	0.5087904 0.5087924 0.5087892 0.5087888 0.5087886	0.5088102 0.5088106 0.5088112 0.5088098 0.5088096
Mittel ...	0.5081485	0.5102245	0.5088176	0.5087883	0.5087892	0.5088103

	Pendel Nr. 16	Pendel Nr. 21	Pendel Nr. 5	Pendel Nr. 7	Pendel Nr. 8	Pendel Nr. 6
Hongkong	0.5083228 0.5083228 0.5083229 0.5083238 0.5083324 0.5083311	0.5103988 0.5103991 0.5104012 0.5104006 0.5104002 0.5104007	0.5089900 0.5089909 0.5089914 0.5089920 0.5089906 0.5089908	0.5089616 0.5089632 0.5089618 0.5089616 0.5089635 0.5089617	0.5089643 0.5089633 0.5089640 0.5089629 0.5089650 0.5089655	0.5089847 0.5089837 0.5089819 0.5089812 0.5089837 0.5089849
Mittel ...	0.5083225	0.5104001	0.5089910	0.5089623	0.5089645	0.5089835
Bangkok	0.5084411 0.5084385 0.5084374 0.5084395 0.5084390 0.5084396	0.5105175 0.5105184 0.5105144 0.5105149 0.5105165 0.5105166	0.5091088 0.5091092 0.5091079 0.5091067 0.5091062 0.5091084	0.5090818 0.5090807 0.5090814 0.5090803 0.5090816 0.5090775	0.5090823 0.5090832 0.5090804 0.5090821 0.5090819 0.5090818	0.5090991 0.5091013 0.5091005 0.5091003 0.5091026 0.5090983
Mittel ...	0.5084392	0.5105164	0.5091079	0.5090807	0.5090820	0.5091004
Rangun	0.5083994 0.5083985 0.5083989 0.5084009 0.5083971 0.5084119	0.5104765 0.5104751 0.5104757 0.5104752 0.5104750 0.5104755	0.5090673 0.5090685 0.5090694 0.5090681 0.5090684 0.5090688	0.5090229 0.5090224 0.5090235 0.5090234 0.5090224 0.5090200	0.5090446 0.5090398 0.5090415 0.5090394 0.5090403 0.5090421	0.5090612 0.5090623 0.5090670 0.5090634 0.5090599 0.5090601
Mittel ...	0.5083995	0.5104755	0.5090684	0.5090218	0.5090413	0.5090623
Jalpaiguri	0.5082828 0.5082830 0.5082820 0.5082821 0.5082827 0.5082826	0.5103598 0.5103613 0.5103587 0.5103590 0.5103596 0.5103591	0.5089497 0.5089519 0.5089494 0.5089501 0.5089512 0.5089504	0.5089250 0.5089244 0.5089244 0.5089246 0.5089229 0.5089233	0.5089278 0.5089264 0.5089248 0.5089246 0.5089239 0.5089244	0.5089417 0.5089407 0.5089395 0.5089404 0.5089396 0.5089387
Mittel ...	0.5082825	0.5103596	0.5089505	0.5089239	0.5089252	0.5089401
Potsdam II.	0.5076731 0.5076741 0.5076729 0.5076735 0.5076739 0.5076745	0.5097471 0.5097471 0.5097471 0.5097458 0.5097468 0.5097474	0.5083408 0.5083420 0.5083403 0.5083398 0.5083417 0.5083416	0.5083133 0.5083131 0.5083134 0.5083131 0.5083136 0.5083142	0.5083143 0.5083135 0.5083138 0.5083137 0.5083141 0.5083141	0.5083308 0.5083315 0.5083309 0.5083306 0.5083298 0.5083300
Mittel ...	0.5076737	0.5097469	0.5083410	0.5083135	0.5083140	0.5083306

Die Veränderungen, welche die Pendel auf der Reise erlitten haben, ergeben sich aus der Differenz Potsdam I—Potsdam II. Diese Differenz beträgt für

$$\begin{array}{ccccccc} \text{Pendel:} & \text{Nr. 16} & \text{Nr. 21} & \text{Nr. 5} & \text{Nr. 7} & \text{Nr. 8} & \text{Nr. 6} \\ \text{Differenz:} & -1'' & +1'' & -2'' & +12'' & +23'' & +219'' \times 10^{-7}. \end{array}$$

Pendel Nr. 6 hat sich hiernach stark geändert.

Auf welcher Station die Änderung der Schwingungsdauer der zuletzt genannten Pendel sich zuerst bemerkbar gemacht hat, läßt sich aus den früheren Zahlenwerten nicht ohne weiteres

erschen. Denn da die Schwingungsdauern der Pendel verschieden sind, so ändern sich diese bei Beobachtungen in anderer Breite nicht um gleiche Beträge; es sind daher noch Korrekturen anzubringen, um sie vergleichbar zu machen. Ist S_s bzw. S_p die Schwingungsdauer eines Pendels auf einer Station bzw. in Potsdam, M_s bzw. M_p das Mittel der Schwingungsdauern aller Pendel auf einer Station bzw. in Potsdam, so ist

$$\frac{S_s}{S_p} = \sqrt{\frac{g_p}{g_s}} = a,$$

und

$$\frac{M_s}{M_p} = \sqrt{\frac{g_p}{g_s}} = a,$$

woraus sich ergibt

$$S_s - S_p - (M_s - M_p) = (a - 1)(S_p - M_p).$$

Die Reduktionen der Differenzen ($S_s - S_p$) auf ($M_s - M_p$) sind dann:

$$x = (a - 1)(M_p - S_p).$$

Diese Korrekturen sind nachstehend in Einheiten der 7. Dezimale von S angegeben.

	Pendel Nr. 16	Pendel Nr. 21	Pendel Nr. 5	Pendel Nr. 7	Pendel Nr. 8	Pendel Nr. 6
Melbourne	+ 5	- 8	+ 1	+ 1	+ 1	+ 1
Sydney	+ 7	- 11	+ 1	+ 1	+ 1	+ 1
Berkeley	+ 5	- 9	+ 1	+ 1	+ 1	+ 1
Tokyo	+ 6	- 10	+ 1	+ 1	+ 1	+ 1
Zi-ka-wei	+ 7	- 12	+ 1	+ 1	+ 1	+ 1
Hongkong	+ 10	- 17	+ 1	+ 2	+ 2	+ 1
Bangkok	+ 12	- 21	+ 2	+ 2	+ 2	+ 2
Rangun	+ 11	- 18	+ 2	+ 2	+ 2	+ 2
Jalpaiguri	+ 9	- 15	+ 1	+ 2	+ 2	+ 1

Nach Anbringung dieser Korrekturen werden die Mittel der Schwingungszeiten die folgenden (die später ausgeschlossenen Werte sind eingeklammert):

	Pendel Nr. 16	Pendel Nr. 21	Pendel Nr. 5	Pendel Nr. 7	Pendel Nr. 8	Pendel Nr. 6
Potsdam I	0°50'6736	0°50'97470	0°50'83408	0°50'83147	0°50'83163	(0°50'83525)
Melbourne	0°50'80082	0°51'00811	0°50'86752	0°50'86493	0°50'86499	(0°50'86869)
Sydney	0°50'80877	0°51'01666	0°50'87527	0°50'87282	0°50'87290	(0°50'87649)
Berkeley	0°50'80110	0°51'00855	0°50'86790	0°50'86513	0°50'86527	(0°50'86746)
Tokyo	0°50'80554	0°51'01301	0°50'87237	0°50'86965	0°50'86969	(0°50'87177)
Zi-ka-wei	0°50'81492	0°51'02233	0°50'88177	0°50'87881	0°50'87893	(0°50'88104)
Hongkong	0°50'83235	0°51'03982	0°50'89911	0°50'89625	0°50'89647	(0°50'89836)
Bangkok	0°50'84202	0°51'05141	0°50'91081	0°50'90809	0°50'90822	(0°50'91006)
Rangun	0°50'84006	0°51'04737	0°50'90686	0°50'90420	0°50'90415	(0°50'90625)
Jalpaiguri	0°50'82834	0°51'03581	0°50'89506	0°50'89221	0°50'89254	(0°50'89412)
Potsdam II	0°50'76737	0°50'97469	0°50'83410	0°50'83135	0°50'83140	(0°50'83306)

Bilden wir jetzt alle zwischen den Pendeln möglichen Differenzen auf derselben Station, so muß bei einer Änderung der Schwingungsdauer eines Pendels sich zeigen, auf welcher Station dieselbe zuerst merklich geworden ist.

	21-16	5-16	7-16	8-16	6-16	5-21	7-21	8-21	6-21	7-5	8-5	6-5	8-7	6-7	6-8
	+	+	+	+	+	-	-	-	-	-	-	-	-	+	+
Potsdam I	20734	6672	6411	6427	6789	14068	14323	14307	(13945)	264	245	(+117)	+16	(378)	(362)
Melbourne	20729	6670	6411	6417	6787	14059	14318	14312	(13942)	259	253	(+117)	+6	(376)	(370)
Sydney	20729	6650	6405	6413	(6772)	14079	14324	14316	(13957)	245	237	(+122)	+8	(367)	(359)
Berkeley	20745	6680	6403	6417	(6616)	14065	14322	14318	(14119)	277	263	(-64)	+14	(212)	(199)
Tokyo	20747	6683	6411	6415	(6623)	14064	14336	14332	(14124)	272	268	(-60)	+4	(212)	(208)
Zi-ka-wei	20741	6685	6392	6401	(6612)	14056	14349	14340	(14129)	293	281	(-73)	+9	(210)	(211)
Hongkong	20749	6676	6390	6412	(6611)	14073	14359	14337	(14148)	286	264	(-75)	+22	(211)	(189)
Bangkok	20739	6677	6405	6418	(6602)	14062	14354	14311	(14137)	272	259	(-75)	+13	(197)	(184)
Rangun	20731	6680	6414	6409	(6619)	14051	14317	14322	(14112)	266	271	(-61)	-5	(205)	(210)
Jalpaiguri	20747	6672	6427	6420	(6568)	14075	14340	14327	(14179)	265	252	(-104)	+13	(161)	(148)
Potsdam II	20732	6673	6398	6403	(6569)	14059	14334	14329	(14163)	275	270	(-104)	+5	(171)	(166)

Der Gang der Differenzen ergibt sofort die große Inkonstanz, die das Pendel Nr. 6 während der Reise gezeigt hat. Es hat seine Schwingungsdauer zweimal um größere Beträge sprunghaft geändert und zwar auf den Transporten von Sydney nach Berkeley und von Rangun nach Jalpaiguri. Es ist deshalb für die Ableitung der Schwerkraft nicht benutzt worden.

Genauigkeit der Pendelbeobachtungen.

Der mittlere Fehler der Schwerkraftsbestimmung an einer Station setzt sich aus einer Reihe von Einzelfehlern zusammen, die von ungleicher Bedeutung sind.

Wie sich weiter unten zeigen wird, liefern die größten Beiträge zum Gesamtfehler:

1. Die Veränderlichkeit des Uhganges und damit verbunden die zufälligen Beobachtungsfehler, die bei der Beobachtung der Koinzidenzen und bei der Temperaturbestimmung auftreten.
2. Die Fehler der Zeitbestimmung.
3. Die Fehler infolge der Unsicherheit in der Bestimmung der Temperaturkonstanten.
4. Die Fehler in der Bestimmung des Mitschwingens.

Zwei weitere Fehlerquellen, nämlich die Fehler, die durch den Einfluß des Luftdruckes und durch die Verschiedenheit der bei den Beobachtungen angewandten Amplitude der Schwingungen entstehen, sind im allgemeinen von geringerer Bedeutung.

Zu den genannten Fehlern tritt nun noch ein unter Umständen sehr erheblicher Fehler hinzu, der durch die Veränderlichkeit der Pendel entsteht.

Im folgenden soll die Größe der Beiträge, die die einzelnen Fehlerquellen zum Gesamtfehler liefern, ermittelt werden.

Die Fehler, die durch veränderlichen Uhgang entstehen, erhalten wir zusammen mit den zufälligen Beobachtungsfehlern aus den Abweichungen der beobachteten Schwingungsdauern eines jeden Pendels gegen das Mittel dieser Schwingungsdauern.

Nach Stationen geordnet, ergeben sich für jedes Pendel gesondert die folgenden Quadratsummen der Abweichungen in Einheiten der 7. Dezimale der Sekunde; n gibt an, wie viel mal jedes Pendel beobachtet ist.

	Pendel Nr. 16	n	Pendel Nr. 21	n	Pendel Nr. 5	n	Pendel Nr. 7	n	Pendel Nr. 8	n	Σ d. P.	[n]
Potsdam I	75	5	112	5	66	5	100	5	103	5	456	25
Melbourne	31	6	231	6	448	6	738	6	92	6	1540	36
Sydney	311	6	232	6	266	6	609	6	324	6	1642	36
Berkeley	472	8	531	8	1007	8	363	8	338	8	2911	40
Tokyo	748	8	3045	8	2132	8	2157	8	639	8	2711	40
Zi-ka-wei	148	5	1094	5	687	5	1834	5	156	5	1919	25
Hongkong	560	6	452	6	237	6	389	7	345	7	1953	42
Bangkok	763	6	1151	6	708	6	1611	6	415	6	4648	36
Rangun	1485	6	154	6	247	6	1582	6	1843	6	5111	36
Jalpaiguri	80	6	415	6	447	6	287	6	1189	6	1438	36
Potsdam II	158	6	171	6	382	6	72	6	81	6	894	36

Man erhält für jede Station den mittleren Fehler der Beobachtung eines Pendels μ_s bzw. des Stationsmittels μ_M , wenn m verschiedene Pendel beobachtet worden sind, aus den Formeln

$$\mu_s = \sqrt{\frac{[rr]}{[n] - m}}, \quad \mu_M = \frac{1}{\sqrt{[n]}} \sqrt{\frac{[rr]}{[n] - m}}.$$

Es ergibt sich hieraus für

	μ_s	μ_M
Potsdam I	$\pm 4.8 \times 10^{-2}$	$\pm 1.0 \times 10^{-2}$
Melbourne	± 7.9 -	± 1.4 -
Sydney	± 8.1 -	± 1.5 -
Berkeley	± 9.1 -	± 1.4 -
Tokyo	± 14.8 -	± 2.3 -
Zi-ka-wei	± 14.0 -	± 2.8 -
Hongkong	± 8.5 -	± 1.5 -
Bangkok	± 13.6 -	± 2.5 -
Rangun	± 14.3 -	± 2.6 -
Jalpaiguri	± 9.9 -	± 1.8 -
Potsdam II	± 6.0 -	± 1.1 -
und für Potsdam (Mittel)	± 5.5 -	± 0.7 -

Die mittleren Fehler sind am größten in Tokyo, Zi-ka-wei, Bangkok und Rangun. In Tokyo dürfte die Benützung eines Chronometers und die Bestimmung seines Ganges durch die japanischen Pendel zur Vergrößerung des mittleren Fehlers beigetragen haben, an den andern Orten sind vermutlich die durch ungünstigere Temperaturverhältnisse hervorgerufenen Beeinflussungen des Uhrganges eine Ursache hierfür. In Tokyo, Zi-ka-wei und Bangkok mag auch die starke Unruhe des Bodens nicht ganz ohne Einfluß gewesen sein.

Die durchschnittlichen mittleren Fehler der Beobachtung eines jeden Pendels erhält man aus der Formel:

$$\mu = \sqrt{\frac{[rr]}{[n] - r}},$$

worin $[n]$ die Anzahl der Beobachtungen jedes Pendels und r die Zahl der Stationen bezeichnet.

Für die einzelnen Pendel ergeben sich die Werte:

Pendel Nr. 16:	$\mu = 10^{-2} \sqrt{\frac{4761}{68 - 11}} = \pm 9.1 \times 10^{-2}$
- - 21:	$\mu = 10^{-2} \sqrt{\frac{6608}{68 - 11}} = \pm 10.8$ -
- - 5:	$\mu = 10^{-2} \sqrt{\frac{6627}{68 - 11}} = \pm 10.8$ -
- - 7:	$\mu = 10^{-2} \sqrt{\frac{9542}{69 - 11}} = \pm 12.8$ -
- - 8:	$\mu = 10^{-2} \sqrt{\frac{5695}{69 - 11}} = \pm 9.9$ -

Die Verschiedenheit der mittleren Fehler für die einzelnen Pendel erklärt sich aus ihrer Unsicherheit. Man könnte vermuten, daß die Güte der Pendelspiegel von einer gewissen Bedeutung wäre, da davon die Schärfe des Lichtblitzes bei der Koinzidenzbeobachtung abhängt. Das scheint aber nicht zuzutreffen. Dem Pendel Nr. 8 hat einen schlechten Spiegel, der nur ziemlich verwaschene Bilder gibt; nichtsdestoweniger hat es den zweitkleinsten mittleren Fehler.

Für alle Pendel zusammengefaßt, erhalten wir als Mittel:

$$\mu = 10^{-7} \sqrt{\frac{33233}{342-55}} = \pm 10.8 \times 10^{-7}.$$

Einen weiteren Beitrag zu dem Gesamtfehler geben die Zeitbestimmungen.

Die mittleren Fehler der für die Reduktion der Pendelbeobachtungen benutzten täglichen Uhrgänge der Koinzidenzuhr STRASSER & RONDE Nr. 101 sind bei den einzelnen Stationen bereits angegeben.

Es sind die folgenden.

Melbourne	± 0.007	-	-	oder	$\pm 0.4 \times 10^{-7}$	in Schwingungsdauer,
Sydney	± 0.007	-	-	-	± 0.4	-
Berkeley	± 0.003	-	-	-	± 0.2	-
Tokyo	$\pm 0.02^{*)}$	-	-	-	± 1.2	-
Zi-ka-wei	± 0.014	-	-	-	± 0.8	-
Hongkong	± 0.003	-	-	-	± 0.2	-
Bangkok	± 0.016	-	-	-	± 0.9	-
Rangun	± 0.015	-	-	-	± 0.9	-
Jalpaiguri	± 0.020	-	-	-	± 1.2	-

Den Einfluß der Fehler der Zeitbestimmungen in Potsdam können wir als sehr gering vernachlässigen.

Die Fehler in der Bestimmung des Mitschwingens sind ebenfalls bereits früher ermittelt; nachstehend sind die Fehler „Station — Potsdam“ angegeben.

Melbourne	$\pm 0.5 \times 10^{-7}$	Hongkong	$\pm 0.4 \times 10^{-7}$
Sydney	± 0.5	Bangkok	± 0.6
Berkeley	± 0.4	Rangun	± 0.8
Tokyo	± 0.6	Jalpaiguri	$\pm 1.1^{**})$
Zi-ka-wei	± 0.4		

Es ist nun noch die Unsicherheit der Reduktionskonstanten und ihr Einfluß zu berechnen.

Die Bestimmung der Temperatur- sowie der Luftdruckkonstanten der einzelnen Pendel ist mit den auf Seite 10 und 14 angegebenen mittleren Fehlern behaftet. Da die Beobachtungen an den einzelnen Stationen unter Temperatur- und Luftdruckverhältnissen gemacht sind, die verschieden von denen der Anschlußstation Potsdam waren, so sind die mit den Konstanten berechneten und zur Reduktion der Pendelbeobachtungen verwandten Korrekturen ebenfalls mit einem mittleren Fehler behaftet.

*) vernachlässigt.

**) vergl. Seite 37.

Ferner ist noch zu untersuchen, ob auf den Stationen Abweichungen in der Größe der Amplituden der Pendel bei der Beobachtung stattgefunden haben.

Nachstehend sind für jede Station gegeben die

Mittel der Reduktionen.

Temperatur.

	Pendel Nr. 16	Pendel Nr. 21	Pendel Nr. 5	Pendel Nr. 7	Pendel Nr. 8	Mittel
Potsdam I	586	582	531	537	530	553
Melbourne	806	785	729	793	783	779
Sydney	740	725	670	740	731	721
Berkeley	853	836	774	855	841	832
Tokyo	1011	981	915	983	975	973
Zi-ka-wei	779	762	708	761	753	753
Hongkong	989	953	896	1153	1140	1026
Bangkok	1292	1265	1172	1273	1258	1252
Rangun	1187	1164	1085	1155	1148	1148
Jalpaiguri	721	695	646	726	715	699
Potsdam II.	608	593	549	599	592	588
Potsdam (Mittel) ..	597	588	540	568	561	571

Potsdam (Mittel) ist durch einfache Mittelbildung von Potsdam I und II ohne Rücksicht auf das verschiedene Gewicht gebildet.

Wie auf Seite 14 mitgeteilt ist, wurden die folgenden Temperaturkonstanten benutzt:

$$\begin{array}{ll}
 \text{Pendel Nr. 16:} & +49.88 \pm 0.24 \times 10^{-7}, \\
 \text{"- " 21:} & +48.74 \pm 0.05 \text{ " "}, \\
 \text{"- " 5:} & +45.30 \pm 0.03 \text{ " "}, \\
 \text{Pendel Nr. 7:} & +49.07 \pm 0.13 \times 10^{-7}, \\
 \text{"- " 8:} & +48.42 \pm 0.08 \text{ " "}.
 \end{array}$$

Es ist somit der mittlere Fehler der mittleren Temperaturkonstanten 48.28 :

$$\sqrt{\frac{0.24^2 + 0.05^2 + 0.03^2 + 0.13^2 + 0.08^2}{5}} = \pm 0.06 \times 10^{-7}.$$

Bilden wir nun die Differenz des Temperaturmittels von Potsdam (Mittel) gegen das jeder Station, so ergibt sich:

Melbourne	208×10^{-7}	also mittlerer Fehler	$\pm 0.3 \times 10^{-7}$
Sydney	150	"	± 0.2
Berkeley	261	"	± 0.3
Tokyo	402	"	± 0.5
Zi-ka-wei	182	"	± 0.2
Hongkong	455	"	± 0.6
Bangkok	681	"	± 0.8
Rangun	577	"	± 0.7
Jalpaiguri	128	"	± 0.2

Bei der Ableitung des mittleren Fehlers für Hongkong ist hierbei keine Rücksicht darauf genommen, daß nicht alle Pendel gleich häufig beobachtet sind.

Luftdruck.

	Pendel Nr. 16	Pendel Nr. 21	Pendel Nr. 5	Pendel Nr. 7	Pendel Nr. 8	Mittel
Potsdam I	605	607	601	590	587	598
Melbourne	610	614	606	606	603	608
Sydney	613	618	610	607	604	610
Berkeley	601	605	597	594	591	598
Tokyo	596	604	595	595	592	596
Zi-ka-wei	615	620	611	611	608	613
Hongkong	605	610	601	588	585	598
Bangkok	585	589	582	580	578	583
Rangun	592	595	587	588	583	589
Jalpaiguri	608	613	605	601	598	605
Potsdam II	610	614	606	602	600	606
Potsdam (Mittel) ..	608	610	603	596	593	602

Der mittlere Fehler der mittleren Luftdichtekonstante $645^{\circ} \times 10^{-7}$ ist in derselben Weise, wie bei den mittleren Temperaturkonstanten bestimmt:

$$\sqrt{\frac{11.0^2 + 6.0^2 + 3.3^2 + 1.3^2}{16}} = \pm 3.2 \times 10^{-7}.$$

Hierbei ist Pendel Nr. 16 unberücksichtigt gelassen; für dieses ist, wie früher gesagt, die mittlere Luftdruckkonstante der übrigen Pendel angewandt worden.

Bildet man die Differenzen des mittleren Luftdrucks auf den Stationen und in Potsdam, so erhält man, mit dem oben stehenden Werte berechnet, für alle Stationen 0.1×10^{-7} oder weniger.

Ausschlag.

	Pendel Nr. 16	Pendel Nr. 21	Pendel Nr. 5	Pendel Nr. 7	Pendel Nr. 8	Mittel
Potsdam I	5	5	5	5	5	5
Melbourne	5	4	4	4	5	4
Sydney	5	5	3	4	5	5
Berkeley	4	5	5	5	5	5
Tokyo	5	4	5	5	5	5
Zi-ka-wei	5	5	5	5	4	5
Hongkong	5	5	5	5	5	5
Bangkok	5	5	5	5	5	5
Rangun	5	5	5	5	5	5
Jalpaiguri	5	5	5	5	5	5
Potsdam II	5	5	5	5	5	5
Potsdam (Mittel) ..	5	5	5	5	5	5

Da der Ausschlag auf allen Stationen fast genau gleich ist, so ist ein Einfluß wegen verschiedener Amplitude nicht zu befürchten.

Faßt man alle aufgeführten Fehler zusammen, so ergibt sich als mittlerer Fehler der Schwerkraftbestimmung relativ zu Potsdam, herrührend aus den erwähnten Fehlerquellen, für

Melbourne	$10^{-7} \sqrt{1.4^2 + 0.7^2 + 0.4^2 + 0.5^2 + 0.1^2 + 0.3^2} = \pm 1.7 \times 10^{-7}$	oder	$\pm 0.7 \times 10^{-3}$ in g
Sydney	$10^{-7} \sqrt{1.5^2 + 0.7^2 + 0.4^2 + 0.5^2 + 0.1^2 + 0.2^2} = \pm 1.8$	-	± 0.7
Berkeley	$10^{-7} \sqrt{1.4^2 + 0.7^2 + 0.2^2 + 0.4^2 + 0.1^2 + 0.3^2} = \pm 1.7$	-	± 0.7
Tokyo	$10^{-7} \sqrt{2.3^2 + 0.7^2 + 1.2^2 + 0.6^2 + 0.1^2 + 0.5^2} = \pm 2.8$	-	± 1.1
Zi-ka-wei	$10^{-7} \sqrt{2.8^2 + 0.7^2 + 0.8^2 + 0.4^2 + 0.1^2 + 0.2^2} = \pm 3.0$	-	± 1.2
Hongkong	$10^{-7} \sqrt{1.5^2 + 0.7^2 + 0.2^2 + 0.4^2 + 0.1^2 + 0.6^2} = \pm 1.8$	-	± 0.7
Bangkok	$10^{-7} \sqrt{2.5^2 + 0.7^2 + 0.9^2 + 0.6^2 + 0.1^2 + 0.8^2} = \pm 2.9$	-	± 1.1
Rangun	$10^{-7} \sqrt{2.6^2 + 0.7^2 + 0.9^2 + 0.8^2 + 0.1^2 + 0.7^2} = \pm 3.0$	-	± 1.2
Jalpaiguri	$10^{-7} \sqrt{1.8^2 + 0.7^2 + 1.2^2 + 1.1^2 + 0.1^2 + 0.2^2} = \pm 2.5$	-	± 1.0

Man kann die in vorstehender Weise bestimmten mittleren Fehler bis zu einem gewissen Grade als ein Maß für die Sorgfalt betrachten, mit der die Beobachtungen angestellt sind, zuverlässige Instrumente vorausgesetzt. Denn er hängt ab von der zweckmäßigen Wahl des Beobachtungsraumes, der Sorgfalt in der Aufstellung der Uhr und des Pendelapparates, sowie von der Genauigkeit, mit der die Zeitbestimmungen ausgeführt, die Größe des Mitschwingens ermittelt und vor allem auch die Temperaturkonstante bestimmt ist. Eine nicht vom Beobachter abhängige Fehlerquelle, die Unruhe des Bodens, spielt dabei nach den Erfahrungen der japanischen Beobachter, soweit es sich um die Ermittlung der Schwingungsdauer der Pendel handelt, keine erhebliche Rolle, wenn die Amplituden der Pendel bei der Beobachtung nicht unter eine gewisse Größe hinabsinken.

Die oben angegebenen mittleren Fehler geben aber kein Maß für die Genauigkeit, die den Bestimmungen der Schwerkraft an den einzelnen Stationen zukommt. Denn es tritt, wie bereits früher bemerkt, noch ein unter Umständen sehr bedeutender Fehler hinzu, der durch die Veränderlichkeit der Pendel hervorgerufen wird. Im folgenden soll dieser Fehler berechnet werden.

Wir vergleichen zu diesem Zwecke die Schwingungsdauern der Pendel an den verschiedenen Stationen miteinander.

Wollen wir die Schwingungsdauer eines Pendels an einer Station mit der desselben Pendels an einer anderen Station vergleichen, so sind, wie bereits auf Seite 63 ausgeführt ist, Korrekturen anzubringen, die sich ebenso, wie die korrigierten Schwingungsdauern selbst, an der angegebenen Stelle finden.

Bildet man nun für jede Station die Differenzen der korrigierten Schwingungsdauern gegen Potsdam (Mittel), bildet man ferner die Abweichungen dieser Differenzen gegen ihr Stationsmittel, so erhält man die folgenden Abweichungen in Einheiten der 7. Dezimale der Schwingungsdauer:

	Pendel Nr. 16	Pendel Nr. 21	Pendel Nr. 5	Pendel Nr. 7	Pendel Nr. 8	$\Sigma \epsilon^2$	n'	$\frac{1}{n'}$
Melbourne...	0	-4	-3	+6	+2	65	6	0.17
Sydney	+6	+2	-17	+6	+4	381	6	0.17
Berkeley	-4	+8	+3	-6	-2	129	8	0.12
Tokyo	-6	+8	+4	0	-6	153	8	0.12
Zi-ka-wei	+1	+9	+13	-12	-13	564	5	0.20
Hongkong	0	+16	+3	-15	-3	499	6½	0.16
Bangkok	-3	+3	+1	-3	0	28	6	0.17
Rangun	-2	-4	+5	+7	-8	158	6	0.17
Jalpaiguri	-4	+10	-5	-2	+1	146	6	0.17

Diese Abweichungen sind nicht nur auf die Veränderlichkeit der Pendel allein zurückzuführen, sondern enthalten auch insbesondere noch die durch die Unsicherheit der Temperaturkonstanten der Pendel hervorgerufenen Fehler. Letztere sind aber, wie nach den mittleren Fehlern der Temperaturkonstanten zu erwarten ist und wie noch später gezeigt werden soll, klein.

Die in der vorstehenden Tabelle aufgeführten Abweichungen befolgen ein systematisches Verhalten, wie die Anwendung des Anne'schen Kriteriums*) sofort zeigt.

Bilden wir nämlich für die einzelnen Pendel

$$\text{die Quadratsummen } \epsilon_1^2 + \epsilon_2^2 + \dots + \epsilon_n^2 = A,$$

sowie die Quadratsummen der Nachbarwerte $(\epsilon_1 - \epsilon_2)^2 + (\epsilon_2 - \epsilon_3)^2 + \dots + (\epsilon_n - \epsilon_1)^2 = B$, so ergibt sich für alle Pendel zusammengenommen

$$A = 2122, \quad B = 2996 \quad \text{und} \quad A - \frac{B}{2} = 624.$$

Da $\mu^2 = \frac{2122}{45} = 47$ ist, so ist der mittlere zufällige Betrag von $A - \frac{B}{2}$:

$$\mu^2 145 = 47 145 = 6815.$$

Der Betrag $A - \frac{B}{2}$ erreicht aber fast das Doppelte dieses Wertes, also müssen jedenfalls systematische Fehler vorhanden sein. Daß systematische Änderungen der Pendellänge vorgekommen sind, zeigt sich bei Pendel Nr. 8 bereits in der Differenz der Anschlußbeobachtungen in Potsdam. Aber auch bei den anderen Pendeln scheinen während der Reise Veränderungen vorgekommen zu sein, obwohl die Anschlußbeobachtungen gut miteinander übereinstimmen.

Um zu untersuchen, von welcher Bedeutung der Einfluß der Temperatur ist, ordnen wir zunächst die Stationen nach der mittleren Temperatur, bei der die Pendel beobachtet wurden.

*) vgl. HELMERT, „Über die Genauigkeit der Kriterien des Zufalls bei Beobachtungsreihen, Sitzungsberichte der Königlich Preussischen Akademie der Wissenschaften, 1903, XXV111.“

		P e n d e l					
		16	21	5	7	8	
Bangkok	26.0	-3	+3	+1	-3	0	
Rangun	23.8	-2	-4	+5	+7	-8	
Hongkong	21.3	0	+16	+3	-15	-3	
Tokyo	20.1	-6	+8	+4	0	-6	
Berkeley	17.3	-4	+8	+3	-6	-2	
Melbourne	16.1	0	-4	-3	+6	+2	
Zi-ka-wei	15.6	+1	+9	+13	-12	-13	
Sydney	15.0	+6	+6	-17	+6	+4	
Jalpaiguri	14.5	-4	+10	-5	-2	+1	

Bilden wir die Quadratsummen, wie vorher, so erhalten wir

$$A = 2154, \quad B = 4838 \quad \text{und} \quad A - \frac{B}{2} = -265.$$

μ^2 ist hier $\frac{2154}{45} = 48$ und somit der mittlere zufällige Betrag von $A - \frac{B}{2} = 48 \sqrt{45} = \pm 322$.

Der ermittelte Betrag erreicht also den mittleren zufälligen Wert von $A - \frac{B}{2}$ nicht. Systematische Verfälschungen infolge des Temperatureinflusses sind also nicht zu befürchten.

Wir wollen nun zunächst einen generellen Durchschnittswert für den mittleren Fehler der Beobachtung eines Pendels ableiten. Er ergibt sich aus der Tabelle auf Seite 65.

Ist Σv^2 die Summe der Quadrate der Abweichungen, alle Stationen zusammengefaßt, gibt $[n]$ die Anzahl der beobachteten Schwingungsdauern an, ist ferner r die Zahl der Stationen, so ist

$$\mu^2 = \frac{\Sigma v^2}{5([n] - r)} = 116 \times 10^{-11} \text{ sec}^2.$$

Nennt man nun λ die mittlere relative Veränderung eines Pendels*) für eine Station und ist $[vv]$ die Summe der Quadrate der Abweichungen in der Tabelle auf Seite 71, so ist

$$[vv] = 4 \mu^2 \sum_{q=1}^{n_{\text{tot}}} \left(\frac{1}{n_q} + \frac{1}{n} \right) + 6 r \lambda^2.$$

Hier ist r die Anzahl der Außenstationen, n_q die Zahl der beobachteten Sätze auf der Station q , ferner $\frac{1}{n} = \frac{1}{4} \left(\frac{1}{n_{\text{lt}}} + \frac{1}{n_{\text{rt}}} \right)$, wo n_{lt} bzw. n_{rt} die Anzahl der beobachteten Sätze in Potsdam vor und nach der Reise sind.

Führt man den oben ermittelten Wert von μ^2 ein, so wird

$$\lambda^2 = 19.7 \times 10^{-14} \text{ sec}^2.$$

*) vergl. BORLAND, „Relative Bestimmungen der Intensität der Schwerkraft... Veröffentlichung des Geodätischen Institutes, Neue Folge Nr. 23, Berlin 1905,“ Seite 59.

Es beträgt also für eine Station die mittlere Veränderlichkeit

$$\begin{aligned} \text{eines Pendels:} & \quad \lambda = \pm 4.4 \times 10^{-7} \text{ sec.} \\ \text{des Mittels aus 5 Pendeln:} & \quad \pm 2.0 \times 10^{-7} \text{ sec.} \end{aligned}$$

Um den mittleren Fehler der Schwerkraftbestimmung an einer Station abzuleiten, soll der zuletzt ermittelte Wert für das mittlere Fehlerquadrat einer Beobachtung eines Pendels benutzt werden, da die speziellen Stationswerte von μ^2 unsicher sind. Es sind also mit diesem μ^2 unter Berücksichtigung der Anzahl der beobachteten Schwingungsdauern die Fehlerquadratsummen für die Station und Potsdam zu bilden und diese an Stelle der beiden ersten Zahlen unter den Wurzelzeichen auf Seite 70 zu setzen, ferner ist $\frac{\lambda^2}{5} \cdot \frac{3}{2}$ hinzuzufügen.

Es ergeben sich dann die folgenden mittleren Fehler der Bestimmung der Schwerkraft auf den einzelnen Stationen gegen Potsdam:

	± 3.6 in Schwingungsdauer	oder	$\pm 1.4 \times 10^{-3}$ in g ,
Melbourne	± 3.6 - -	-	± 1.4 -
Sydney	± 3.5 - -	-	± 1.4 -
Berkeley	± 3.7 - -	-	± 1.4 -
Tokyo	± 3.8 - -	-	± 1.5 -
Zi-ka-wei	± 3.6 - -	-	± 1.4 -
Hongkong	± 3.8 - -	-	± 1.5 -
Bangkok	± 3.8 - -	-	± 1.5 -
Rangun	± 3.9 - -	-	± 1.5 -
Jalpaiguri	± 3.9 - -	-	± 1.5 -

Als durchschnittlicher mittlerer Fehler einer Station gegen Potsdam ergibt sich hieraus

$$\pm 1.4 \times 10^{-3} \text{ in } g.$$

Ableitung der Schwerkäfte.

Bezeichnen g , und g_p die Werte für g auf der Station und in Potsdam, sind ferner S , und S_p die beobachteten Schwingungsdauern der Pendel an diesen Orten, so ist

$$g = \left(\frac{S_p}{S} \right)^2 g_p.$$

Für Potsdam, Geodätisches Institut, Pendelsaal Pfeiler Nr. 31, geographische Position

$$\begin{aligned} \varphi &= + 52^\circ 52' 9'' \\ \lambda &= 13^\circ 4' 1'' E' \\ H &= 86.5 \text{ m} \end{aligned}$$

ist angenommen $g = 981.292 \text{ cm}$

Die im Ostkeller des Institutes angestellten Pendelbeobachtungen sind wegen der Höhendifferenz mit der Korrektur $+ 3'' \times 10^{-7}$ auf Pfeiler Nr. 31 bezogen.

Die Reduktion der ermittelten Schwerkäfte auf das Meeresniveau erfolgte nach der Formel von BOUQUER:

$$\Delta g = + 2 \frac{g H}{R} \quad \text{oder genauer} = 0.0003086 H$$

und

$$\Delta g' = - \frac{3}{2} \frac{\Theta}{\Theta_m} \frac{g H}{R} \quad - \quad - \quad = - 0.0002315 \frac{\Theta}{\Theta_m} H.$$

Es wurde hierbei angenommen für $\Theta_m = 5.6$.

Die für die einzelnen Stationen benutzten Werte für die Meereshöhe sowie Dichte sind in den Stationsbeschreibungen (Seite 16 ff.) angegeben.

Die theoretischen Beträge der Schwerkraft im Meeresniveau sind nach der HELMERT'schen Schwereformel von 1901:

$$\gamma_0 = 980.632 (1 - 0.002644 \cos 2 \varphi + 0.000007 \cos^2 2 \varphi) \text{ cm}$$

berechnet worden.

Ergebnisse der Schwerkraftbestimmungen.

Station	Breite	Länge	Meereshöhe	Schwerkraft abgeleitet aus				Mittelwert der Schwerkraft	Dichte des Erdbodens	Reduktion auf das Meeresniveau		Schwerkraft im Meeresniveau		$\delta g' - \delta g'' + \delta$	
				Pendel Nr. 16	Pendel Nr. 21	Pendel Nr. 5	Pendel Nr. 7	Nr. 8	Angenommen	δg	$\delta g'$	Beobachtung + Theoret.	$\delta g + \delta g' + \delta$	$\delta g' - \delta g'' + \delta$	
Melbourne	$-37^{\circ} 49' 53''$	$144^{\circ} 58' 52'' E$	266'9	980.003	980.005	980.004	980.001	980.003	2.2	0.008	-0.003	980.011	980.008	979.990	+0.018
Sydney	$-33^{\circ} 51' 41''$	$151^{\circ} 13' 42'' E$	43	979.697	979.698	979.702	979.697	979.698	2.2	0.013	-0.004	979.711	979.708	979.690	+0.018
Berkeley	$+37^{\circ} 52' 2''$	$122^{\circ} 15' 41'' W$	93	979.992	979.987	979.997	979.994	979.992	2.2	0.009	-0.009	980.000	980.011	979.993	+0.018
Tokyo	$+35^{\circ} 42' 33''$	$139^{\circ} 46' 02'' E$	18.4	979.821	979.815	979.817	979.819	979.821	2.2	0.006	-0.002	979.823	979.823	979.826	+0.017
Zi-kau-wei	$+31^{\circ} 11' 16''$	$121^{\circ} 25' 48'' E$	7.5	979.460	979.457	979.455	979.465	979.466	2.2	0.002	-0.001	979.463	979.462	979.432	+0.031
Hongkong	$+22^{\circ} 18' 13''$	$114^{\circ} 10' 52'' E$	33	978.790	978.783	978.788	978.793	978.791	2.2	0.010	-0.004	978.799	978.795	978.790	+0.005
Bangkok	$+13^{\circ} 43' 9''$	$100^{\circ} 29' 42'' E$	7	978.341	978.337	978.339	978.340	978.339	2.2	0.002	-0.001	978.344	978.340	978.333	+0.007
Rangun	$+16^{\circ} 48' 3''$	$96^{\circ} 10' 14'' E$	34.4	978.493	978.494	978.490	978.490	978.491	2.2	0.011	-0.003	978.503	978.500	978.478	+0.022
Jalapaigun	$+26^{\circ} 31' 16''$	$88^{\circ} 44' 28'' E$	81.7	978.944	978.938	978.944	978.943	978.942	2.0	0.035	-0.007	978.967	978.960	978.976	-0.116

Vergleich mit früheren Schwerkraftbestimmungen.

Mit Ausnahme von Berkeley sind an jeder der Stationen, an denen ich die Schwerkraft gemessen habe, bereits früher Bestimmungen von anderen Beobachtern ausgeführt worden.

Einige dieser Bestimmungen beruhen aber entweder auf einem wenig ausgedehnten Beobachtungsmaterial, oder sind durch Unsicherheiten in der Bestimmung des Uhganges und des Mitschwingens, sowie durch Änderungen der Pendellänge beeinträchtigt. Die Abweichungen sind daher zum Teil sehr groß, sodaß diese Beobachtungen mehr ein historisches Interesse haben dürften.

Die Ergebnisse sind zusammengestellt nach dem „*Bericht über die relativen Messungen der Schwerkraft mit Pendelapparaten*“ von R. HELMERT, ebenso der Fortsetzung dieses Berichtes, die Jahre 1900—1903 umfassend, unter Mitwirkung von R. HELMERT erstattet von E. BORRASS und schließlich der zweiten Fortsetzung, die Jahre 1903 bis 1906 umfassend, von E. BORRASS.

Diese Berichte sind enthalten in den „*Verhandlungen der Allgemeinen Konferenzen der Internationalen Erdmessung*“ (Paris 1900, Kopenhagen 1903 und Budapest 1906).

Die Reduktionen auf das Wiener System sind zumeist einer Ausgleichung des Internationalen Schwerenetzes von Professor BORRASS entnommen, deren Resultate demnächst erscheinen werden. Ich verdanke sie einer freundlichen Mitteilung des Herrn Professor BORRASS.

Für die mit * bezeichneten Messungen wurden die Reduktionen dem HELMERT'schen Bericht von 1900 entlehnt. Der meinen Messungen beige-schriebene mittlere Fehler ist in Einheiten der 3. Dezimale des cm ausgedrückt.

Station	q	λ	Höhe	Beobachteter Wert der Schwerkraft	Beobachter	Jahr
Melbourne	— 37° 49.7	144° 59.7	18 ^m	980.019 *	NEUMAYER	1863
-	49.9	58.5	26	980.007	MÜLLER V. ELBERG	1893
-	49.9	59	26	979.984 *	BARACCHI, LOVE	1893/94
-	49.9	58.5	26	980.013	GÜBERTH	1894
-	49.9	58.5	27	980.001 ± 1.4	HECKER	1904
Sydney	— 33 51.7	151 12.7	43	979.702 *	FRITCHETT	1882
-	51.7 ?	12.4	43	979.694	MÜLLER V. ELBERG	1893
-	51.9	12.4	43	979.744	GÜBERTH	1894
-	51.9	12.4	43	979.702	BEHR	1896
-	51.9	12.4	43	979.690	-	1897
-	51.7	12.4	43	979.690 ± 1.4	HECKER	1904

Station	φ	λ	Höhe	Beobachteter Wert der Schwerkraft	Beobachter	Jahr
Tokyo	$+35^{\circ} 22'$	$139^{\circ} 45'$	6 ^m	979.812 *	SMITH, PRITCHETT	1883
"	39.3	44.5	21	979.687	MUTTONÉ	1896
"	42.6	46.0	15	979.798	PERGLER v. PERGLAS	1898
"	42.6	46.2	15	979.814	NAGAOKA	1899/1900
"	42.5	46.2	18	979.817 ± 1.4	HECKER	1904
Zi-ka-wei	$+31$	122 24.7	7	979.458	LEHNST	1895
"	11.6	24.2 ?	7	979.434	HEERMANN	1897
"	11.6	24.2 ?	7	979.326	PERGLER v. PERGLAS	1898
"	11.6	25.8	4 ?	979.452	SHINJO, OTANI, YAMAKAWA	1903
"	11.6	25.8	7	979.459 ± 1.5	HECKER	1904
Hongkong	$+22$	114 10.5	33	978.788	LEHNST	1895
"	18.2	10.5	33	978.741	MUTTONÉ	1896
"	18.2	10.5	33	978.781	WUTTRAM	1896
"	18.2	10.5	33	978.715	HEERMANN	1897 ?
"	18.2	10.5	33	978.786	SHINJO, OTANI, YAMAKAWA	1903
"	18.2	10.5	33	978.787 ± 1.4	HECKER	1904
Bangkok	$+13$	100 29.4	7	978.294	LEHNST	1895
"	23.9	29.4	7	978.337 ± 1.5	HECKER	1904
Rangun	$+16$	96 1.1 ?	4 ?	978.660	GÜBERTH	1894
"	46.0	10.0	12	978.441	LEHNST	1896
"	46.0	10.0	12	978.553	HEERMANN	1897
"	48.3	10.1	34	978.490 ± 1.5	HECKER	1905
Jalpaiguri	$+26$	88 44.2	82	978.940	COSTEGLIUM	1905
"	31.3	44.2	82	978.940 ± 1.5	HECKER	1905

BESTIMMUNG
DER
INTENSITÄT DER SCHWERKRAFT
DURCH
VERGLEICHUNG VON QUECKSILBERBAROMETERN UND SIEDETHERMOMETERN
AUF DEM
INDISCHEN UND GROSZEN OZEAN.

Bestimmung der Dampfspannung.

Die Siedethermometer.

Die von mir auf dieser Reise benutzten Siedethermometer sind bis auf Thermometer 1b, das neu hinzugekommen ist, dieselben, die ich auch auf dem Atlantischen Ozean benutzt habe.

Es sind Einschlußthermometer, von Fuchs in Steglitz aus dem Jenaer Borosilicatglas 59^m gefertigt. Sie sind in 0.01 geteilt. Nähere Konstruktionsdetails gibt die folgende Tabelle.

Thermometer	Gradlänge	Umfang der Teilung	Quecksilbergefaß	
			Länge	Durchm.
1	46 mm	97.1 — 101.4	55 mm	11 mm
2	45 -	96.9 — 101.4	55 -	11 -
3	46 -	97.3 — 101.5	55 -	11 -
4	41 -	94.7 — 101.9	45 -	11 -
5	42 -	94.6 — 101.9	45 -	11 -
6	44 -	95.0 — 101.8	45 -	11 -

Die Thermometer sind jetzt durchnummeriert, da ich nicht, wie früher, zwei getrennte Luftdruckbestimmungen mit je drei Thermometern, die als Satz I und Satz A bezeichnet waren, sondern nur eine Luftdruckbestimmung ausgeführt habe, bei der gleichzeitig alle sechs Siedethermometer beobachtet wurden.

Das mit 1b bezeichnete Thermometer wurde von mir als Reserve mitgenommen. Es trat bereits auf dem Indischen Ozean an Stelle von Thermometer 1, das bei schwerer See samt Dampfmantel und Kochgefaß aus dem Siedeapparat geschleudert wurde und zerbrach.

Über die Untersuchung der Thermometer muß hier einiges aus der „Bestimmung der Schwerkraft auf dem Atlantischen Ozean“ wiederholt werden.

Um die Genauigkeit der Teilung der Thermometer zu prüfen, wurde ein Intervall von 0.1 auf dem BAMBERG'schen Meterkomparator des Geodätischen Institutes mit allen Zehntel-Abschnitten der ganzen Teilung verglichen. Es ergab sich, daß sämtliche Thermometer sehr genau geteilt waren, da die Abweichungen im Mittel kaum 0.01 mm erreichten und also völlig zu vernachlässigen sind.

Von der Physikalisch-Technischen Reichsanstalt in Charlottenburg wurden für Nr. 1, 2 und 3 der Thermometer sowohl die Korrekturen, die sich aus der Vergleichung mit den Normalthermometern ergaben, für die Temperaturen von 98° bzw. 97.5 bis 101.0 für jeden halben Grad auf halbe Hundertstel Grad abgerundet ermittelt, als auch die Kaliberkorrekturen, letztere in 0.001, bestimmt. Für die Thermometer Nr. 4, 5 und 6 wurden dagegen von derselben Anstalt nur die erstgenannten Korrekturen für das Intervall von 96.0—101.0 mitgeteilt und die Kaliberkorrekturen von mir selbst bestimmt.

Um genauere Werte für die Korrekturen der Thermometer zu erhalten, habe ich zunächst die von der Höhe des Thermometerstandes abhängigen Korrekturen ermittelt. Man kann diese als lineare Funktionen desselben betrachten und ihren Wert in der folgenden Weise bestimmen.

Es sei c_t die aus der Vergleichung mit den Normalthermometern sich ergebende Korrektur eines Thermometers, vermindert um die Kaliberkorrektur, c_s die Korrektur für den Siedepunkt und y eine Konstante, so ist

$$c_s + y(100^\circ - t) = c_t + v.$$

Für die Thermometer 1, 2 und 3 haben wir zur Bestimmung von c_s und y bezw. 7, 8 und 7 Fehlergleichungen, für die übrigen je 11 Fehlergleichungen.

Aus den Normalgleichungen ergibt sich für:

Thermometer	c_s	y
1	-0.0064	-0.0051
2	$+0.0101$	-0.0141
3	$+0.0082$	-0.0098
4	-0.0045	$+0.0031$
5	-0.0055	$+0.0021$
6	-0.0080	$+0.0028$

Mit Hilfe dieser Werte wurden dann Korrekturen für jeden Zehntel-Grad berechnet, die, mit den graphisch interpolierten Kaliberkorrekturen vereinigt und auf 0.001 abgerundet, als definitive Korrekturen der Thermometer betrachtet wurden.

Folgende Tabelle gibt die Korrekturen für das Intervall von 98.0 bis 101.0 .

	Therm. 1	Therm. 2	Therm. 3	Therm. 4	Therm. 5	Therm. 6
98.0	-0.017	-0.018	-0.014	$+0.008$	$+0.001$	-0.017
1	-0.015	-0.017	-0.011	$+0.008$	$+0.001$	-0.016
2	-0.014	-0.015	-0.010	$+0.007$	$+0.001$	-0.016
3	-0.013	-0.013	-0.009	$+0.007$	$+0.002$	-0.015
4	-0.011	-0.012	-0.009	$+0.007$	$+0.001$	-0.015
5	-0.010	-0.010	-0.008	$+0.007$	$+0.001$	-0.013
6	-0.008	-0.011	-0.008	$+0.007$	0.000	-0.011
7	-0.007	-0.011	-0.007	$+0.007$	-0.001	-0.010
8	-0.005	-0.011	-0.007	$+0.006$	-0.002	-0.008
9	-0.004	-0.010	-0.006	$+0.006$	-0.002	-0.007
99.0	-0.003	-0.010	-0.006	$+0.006$	-0.002	-0.005
1	-0.001	-0.009	-0.005	$+0.006$	-0.003	-0.004
2	-0.000	-0.008	-0.004	$+0.005$	-0.003	-0.003
3	$+0.002$	-0.007	-0.003	$+0.005$	-0.003	-0.002
4	$+0.003$	-0.005	-0.002	$+0.004$	-0.003	-0.001
5	$+0.004$	-0.004	-0.001	$+0.003$	-0.004	0.000
6	$+0.005$	-0.002	$+0.001$	$+0.002$	-0.004	$+0.001$
7	$+0.005$	-0.001	$+0.002$	$+0.002$	-0.004	$+0.001$
8	$+0.006$	$+0.001$	$+0.004$	$+0.001$	-0.004	$+0.001$
9	$+0.006$	$+0.003$	$+0.006$	0.000	-0.004	0.000
100.0	$+0.007$	$+0.005$	$+0.007$	-0.001	-0.005	-0.001
1	$+0.007$	$+0.007$	$+0.009$	-0.002	-0.005	-0.001
2	$+0.007$	$+0.009$	$+0.011$	-0.004	-0.005	-0.002
3	$+0.006$	$+0.011$	$+0.013$	-0.005	-0.006	-0.003
4	$+0.006$	$+0.013$	$+0.015$	-0.006	-0.006	-0.003
5	$+0.005$	$+0.015$	$+0.016$	-0.006	-0.007	-0.003
6	$+0.004$	$+0.017$	$+0.017$	-0.007	-0.007	-0.005
7	$+0.003$	$+0.019$	$+0.018$	-0.008	-0.007	-0.005
8	$+0.002$	$+0.021$	$+0.018$	-0.009	-0.007	-0.006
9	0.000	$+0.012$	$+0.018$	-0.010	-0.007	-0.007
101.0	-0.001	$+0.014$	$+0.018$	-0.011	-0.008	-0.008

Nach der Rückkehr von der vorliegenden Reise wurde von Herrn MEISSNER eine neue Bestimmung der Kaliberfehler ausgeführt, und zwar wurden für diese Untersuchung bei jedem Thermometer nacheinander drei Quecksilberfäden verschiedener Länge abgetrennt und zur Messung benutzt. Die Messungen sind ebenfalls für das Intervall 98° bis 101° durchgeführt. An diesen Punkten ist an die früher ermittelten Korrekturen angeschlossen worden. Zwar werden diese Korrekturen noch etwas fehlerhaft sein, jedoch kann durch den Anschluß an sie nur ein kleiner fortschreitender Fehler in den neu ermittelten Korrekturen entstehen. Da aber bei der Bestimmung der Kapazitätskorrektur der Barometer diese auf die Thermometer bezogen werden, so fällt auch dieser Fehler heraus.

Die Korrekturen, die sich aus den neuen Messungen ergeben haben, finden sich in der folgenden Tabelle. Sie enthält auch die Korrekturen für Thermometer 1b, bei deren Berechnung direkt an die von der Reichsanstalt ermittelten Korrekturen für 98° und 101° angeschlossen wurde.

	Therm. 1b	Therm. 1	Therm. 2	Therm. 3	Therm. 4	Therm. 5	Therm. 6
98°	+0.0040	-0.0180	-0.0110	+0.0080	+0.0010	-0.0170	
1	+0.0043	-0.0166	-0.0103	+0.0075	+0.0003	-0.0164	
2	+0.0045	-0.0152	-0.0097	+0.0070	-0.0005	-0.0157	
3	+0.0047	-0.0138	-0.0091	+0.0066	-0.0012	-0.0148	
4	+0.0049	-0.0125	-0.0086	+0.0065	-0.0019	-0.0139	
5	+0.0051	-0.0112	-0.0084	+0.0063	-0.0026	-0.0130	
6	+0.0053	-0.0100	-0.0080	+0.0061	-0.0033	-0.0117	
7	+0.0055	-0.0094	-0.0076	+0.0060	-0.0039	-0.0104	
8	+0.0056	-0.0093	-0.0071	+0.0061	-0.0043	-0.0090	
9	+0.0058	-0.0095	-0.0063	+0.0065	-0.0046	-0.0075	
99.0	+0.0059	-0.0095	-0.0055	+0.0064	-0.0048	-0.0060	
1	+0.0060	-0.0090	-0.0047	+0.0060	-0.0050	-0.0044	
2	+0.0061	-0.0081	-0.0036	+0.0055	-0.0050	-0.0032	
3	+0.0062	-0.0071	-0.0024	+0.0049	-0.0049	-0.0023	
4	+0.0063	-0.0059	-0.0013	+0.0040	-0.0048	-0.0017	
5	+0.0065	-0.0046	+0.0001	+0.0031	-0.0046	-0.0013	
6	+0.0068	-0.0029	+0.0014	+0.0021	-0.0044	-0.0009	
7	+0.0070	-0.0009	+0.0028	+0.0011	-0.0041	-0.0007	
8	+0.0073	+0.0013	+0.0045	+0.0001	-0.0041	-0.0006	
9	+0.0074	+0.0034	+0.0062	-0.0009	-0.0043	-0.0008	
100.0	+0.0073	+0.0055	+0.0079	-0.0019	-0.0046	-0.0014	
1	+0.0070	+0.0077	+0.0098	-0.0029	-0.0050	-0.0018	
2	+0.0069	+0.0098	+0.0116	-0.0039	-0.0053	-0.0024	
3	+0.0068	+0.0117	+0.0133	-0.0049	-0.0058	-0.0030	
4	+0.0069	+0.0135	+0.0149	-0.0060	-0.0062	-0.0039	
5	+0.0072	+0.0152	+0.0161	-0.0070	-0.0066	-0.0043	
6	+0.0072	+0.0169	+0.0170	-0.0079	-0.0071	-0.0048	
7	+0.0071	+0.0187	+0.0173	-0.0087	-0.0075	-0.0055	
8	+0.0069	+0.0204	+0.0176	-0.0095	-0.0077	-0.0063	
9	+0.0064	+0.0212	+0.0177	-0.0103	-0.0078	-0.0072	
101.0	+0.0060	+0.0240	+0.0180	-0.0110	-0.0080	-0.0080	

Eine Vergleichung der beiden Bestimmungen der Kaliberkorrekturen ergibt eine sehr gute Übereinstimmung. Nur in wenigen Fällen überschreitet der Unterschied der Korrekturen bei den einzelnen Thermometern 0.001, in der Mehrzahl der Fälle ist die Übereinstimmung vollkommen.

Es mag noch erwähnt werden, daß die Thermometer bereits vor meiner ersten Reise getempert, d. h. längere Zeit in einer höheren Temperatur gehalten und dann sehr allmählich abgekühlt waren. Bei den Thermometern 1, 2 und 3 geschah das Tempern durch Einhängen in

kochendes Wasser während 75 Stunden. Von den Thermometern 4, 5 und 6 wurden zwei vor ihrer glänzlichen Fertigstellung in siedendem Öl und das dritte auf elektrischem Wege getempert. In der zuletztgenannten Weise wurde auch mit dem Reservethermometer verfahren.

Die Siedeapparate und die Fehlerquellen beim Sieden.

Wie früher, so hatte auch jetzt jedes Thermometer seine besondere Siedeeinrichtung, bestehend aus Kochgefäß nebst Dampfmantel und Spirituslampe, vergl. Tafel II, Fig. 1.

Das Kochgefäß hat die Form eines Zylinders von 6 cm Höhe und 6 cm Durchmesser. Es ist 2 cm niedriger, als die früher benutzten. Der Deckel ist stark abfallend, um das Abfließen des aus dem Dampfmantel austretenden Kondenswassers zu erleichtern. Gefüllt wurde es stets mit 140 ccm destillierten Wassers. Der Dampfmantel ist doppelt und besteht aus einem inneren Rohre von 26 mm und einem äußeren von 40 mm Durchmesser. Er läßt sich fernrohrartig zusammenschieben. Das innere Rohr ist unten mit einem feinen Drahtnetz geschlossen, damit kein Spritzwasser an die Thermometergefäße gelangen kann. Etwas weiter oben ist ein sternförmiger Einsatz aus dünnem Blech in dem Rohre befestigt, der bewirkt, daß die Thermometergefäße stets gleich weit von den Wänden des Dampfmantels abstehen. Der ganze Zwischenraum zwischen den beiden Rohren ist schließlich bis auf die kleinen notwendigen Versteifungen offengelassen. Um Wärmeausstrahlungen möglichst zu verhindern, sind Kochgefäß und Dampfmantel glanzvernickelt.

Die Spirituslampen sind mit gewebten Dochten versehen, was die Regulierung der Flammenhöhe sehr erleichtert; vor jeder Beobachtungsreihe wurden diese Dochte erneuert. Die Füllung bestand aus 40 ccm Spiritus von 86%.

Wie bereits früher erwähnt, wurden stets alle sechs Thermometer gleichzeitig benutzt; sie wurden in der gebräuchlichen Weise mittels Gummiringe in die zugehörigen Siedeapparate eingehängt und mit diesen in ein gemeinschaftliches Gestell gesetzt, dessen Einrichtung aus Tafel II zu ersieht ist.

Die Spirituslampen fanden ihren Platz in den Vertiefungen eines mit Wasser gefüllten, plattenförmigen Untersatzes, der in das allseitig verschließbare Gestell einzuschieben ist. Es wird hierdurch eine Kühlung der Spirituslampen bewirkt, was eine größere Konstanz der Flammenhöhe zur Folge hat.

Die Ablesung der Thermometer geschah mittels eines Fernrohrs von 20-facher Vergrößerung, das sich, der jeweiligen Höhe des Quecksilberfadens der Thermometer entsprechend, auf seinem Stativ höher oder tiefer stellen ließ, wobei die Lage des Fernrohrs stets horizontal blieb. Parallaxische Ablesefehler konnten also nicht eintreten. Die Schätzung der Tausendstel-Grade war sehr sicher, da bei der angewandten Entfernung zwischen Thermometer und Fernrohr 0,001 in einer Größe von 0,4 mm erschien.

Die nachstehenden vier Fehlerquellen, die außer den Fehlern der Thermometer selbst die Genauigkeit der Luftdruckbestimmung durch Siedethermometer beeinflussen, nämlich

1. Einfluß des herausragenden Fadens,
2. - der Flammenhöhe,
3. - des Abstandes Drahtnetz—Thermometergefäß,
4. - der Abnahme des Wassers im Kochgefäß,

sind bereits in der früheren Arbeit eingehend besprochen.

Was den Einfluß des herausragenden Fadens anlangt, so ergaben die angestellten Versuche, daß ein Abweichen des herausragenden Fadens von der Normallänge um 0.1 (gleich 4.4 mm im Mittel) einen Fehler von weniger als 0.001 gibt. Unter Normallänge ist hier eine Höhe des Quecksilberfadens von 0.03 über der oberen Kante des Gummiringes verstanden. Diese Höhe, die der Faden wenigstens haben muß, wenn die Ablesung noch bequem sein soll, wurde bei allen Beobachtungen eingestellt.

In betreff des Einflusses der Flammehöhe ergab sich, daß der durch Abweichung von der normalen Flammehöhe verursachte Fehler bei aufmerksamer Regulierung der Lampen nur gering und daher zu vernachlässigen ist.

Was den Einfluß der Entfernung des Thermometergefäßes von dem Drahtnetz des Dampfmantels anlangt, so war ein solcher bei Veränderung des Abstandes von 5 bis 50 mm nicht mit Sicherheit zu bemerken.

Auch die Abnahme des Wassers im Kochgefäße ist nach den angestellten Versuchen innerhalb gewisser Grenzen ohne nennenswerten Einfluß.

Bestimmung der Barometerhöhe.

Die Seebarenometer.

Die Bestimmung der Barometerhöhe erfolgte durch 5 Quecksilberbarometer, bei denen die Bewegung der Quecksilberkuppe während der Beobachtung fortlaufend photographisch registriert wurde. Von der Verwendung von Barometern mit direkter Ablesung durch das Auge, wie ich sie zum Teil bei der Bestimmung der Schwerkraft auf dem Atlantischen Ozean benutzte, habe ich ganz abgesehen, da sie sich als erheblich weniger leistungsfähig erwiesen haben, als die von mir konstruierten photographisch registrierenden Barometer. Denn die Einstellungsgenauigkeit, die sich bei direkter Ablesung durch das Auge erreichen läßt, ist besonders bei einem Barometer, das infolge der Schiffsbewegung „pumpt“, sehr viel geringer, als die Genauigkeit, die sich durch mikrometrische Ausmessung der fortlaufend photographisch registrierten Barometerhöhe erzielen läßt. Bei stark schwankendem Schiff ist eine sichere visuelle Ablesung überhaupt ausgeschlossen, da dann der Beobachter selbst so stark hin- und hergeschlendert wird, daß ein sicheres Anvisieren der Quecksilberoberfläche unmöglich ist.

Die Barometer sind Gefäßbarometer mit zylindrischem Eisengefäß. Fig. 1 gibt ein Bild des Glasrohres *bcd* und des Gefäßes *a* eines solchen Barometers, ohne das das Glasrohr umhüllende Schutzrohr. Der untere Teil des Glasrohres, der in das Quecksilber des Gefäßes eintaucht, hat einen innern Durchmesser von 6 mm. Die Öffnung ist bis auf 3 mm verengt. Etwa 12 cm nach oben, bei *b*, erweitert sich das Rohr und bildet die Bexre'sche Luftfalle. Sie hat den Zweck, das Eindringen von Luft in den höher gelegenen Teil des Rohres zu verhindern; etwa aufsteigende Luftblasen sammeln sich in den oberen Teilen der Erweiterung. Das in letztere hineintauchende kurze Rohrstück hat eine lichte Weite von 1 mm.

An die Bexre'sche Spitze schließt sich ein Glasrohr mit 1 mm innerer Weite an, das von *b* bis *d* reicht. In dieses ist in der Mitte eine Kapillare *c* eingefügt. Die beiden Enden dieser Kapillare erweitern sich, wie Fig. 2 zeigt, zu möglichst gleichmäßigen Trichtern nach oben und nach unten und gehen dann beiderseitig in das Rohr mit 1 mm Durchmesser über. Der die Kapillare umhüllende Glasmantel dient nur zur Versteifung und zum Schutze des Kapillarrohres.

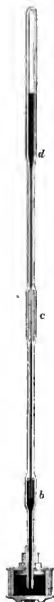


Fig. 1.



Fig. 2.

Das Glasrohr oberhalb d schließlich hat einen innern Durchmesser von 11 mm. Dieses Rohrstück, das eine aufgezogene Teilung mit einem Intervall von 3 mm trägt, ist etwa 10 cm länger, als sonst bei Barometern üblich ist. Dadurch wird der Raum für das Vakuum vergrößert. Eine Vergrößerung des Vakuums ist deswegen wünschenswert, weil die Barometer nicht, wie es sonst üblich ist, ausgekocht werden können. Sie würden hierbei sofort wegen der Enge der Kapillare zerspringen. Bei der Füllung der Barometer werden die Rohre an eine Quecksilberluftpumpe angeschmolzen, luftleer gepumpt und verbleiben etwa 12 Stunden in diesem Zustande. Dann werden sie mit heißem Quecksilber gefüllt. Die so gefüllten Rohre haben sich als sehr brauchbar erwiesen, da sich trotz der vielen Transporte nach der Rückkunft nur sehr geringe Mengen Luft in dem oberen Teil der Röhre vorfinden.

Das Glasrohr wird von einem blank vernickelten Messingrohr umschlossen, das oben durchbrochen ist. Vor der Teilung des Glasrohres ist eine Metallplatte befestigt, die in der Mitte mit einem vertikalen Spalt von etwa 0.2 mm Breite versehen ist. Das Glasrohr wird hierdurch bis auf einen feinen Spalt abgedeckt. An dem mittleren Teile des Rohres ist ein Thermometer befestigt, dessen Gefäß durch eine Öffnung in dem Messingrohr in den Raum geführt ist, der sich zwischen diesem und dem Glasrohr befindet.

Einfluß der Vertikalbewegung auf die Barometer.

Die symmetrische Form der Kapillare läßt erwarten, daß die Reibung beim Hin- und Herfließen des Quecksilbers infolge der Auf- und Niederbewegung des Schiffes annähernd gleich ist, wenn die Schiffsbewegung gleichmäßig verläuft und daß somit keine erhebliche Standänderung des Barometers eintritt.

Um zu untersuchen, ob die mechanische Ausführung der Form der Trichter an den Enden der Kapillaren hinreichend genau war, wurden die Glasrohre der 5 von mir benutzten Barometer nacheinander in einem Messingrohr mit Ableseeinrichtung befestigt und mittels einer besonderen Vorrichtung in vertikaler Richtung auf- und abbewegt. Fig. 3 gibt ein Bild dieser Vorrichtung.

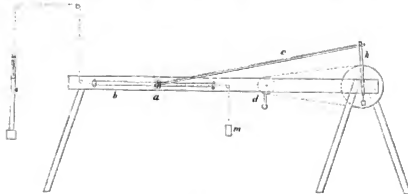


Fig. 3.

An einem starken, auf drei Füßen ruhenden Balken, ist seitlich ein Messingrohr b an seinem beiden Enden befestigt. Auf diesem Messingrohr gleitet das Stück a vermittels Rollen hin und her. Das Gleitstück a bildet das eine Ende einer Pleuelstange, die durch die Handkurbel d bewegt wird. An a ist eine starke Schnur befestigt, die über eine Rolle am Balken und über

zwei weitere, an der Zimmerdecke befestigte Rollen läuft. An diese Schnur wird das zu untersuchende Barometer angehängt. Um das Gewicht des Barometers auszubalancieren, wird an eine Schnur, die von dem Gleitstück aus nach der entgegengesetzten Seite läuft und ebenfalls über eine Rolle geführt ist, ein entsprechendes Gegengewicht gehängt.

Bei Drehung der Kurbel bewegt sich das Barometer auf und ab. Es macht jedoch auch bei gleichförmiger Drehung keine reine sinus-Bewegung, sondern die Entfernung e des Barometers von der tiefsten Stellung ist bestimmt durch die Formel

$$e = c + h - \sqrt{c^2 - h^2 \sin^2 \varphi} - h \cos \varphi,$$

worin c die Länge der Pleuelstange, h die der Kurbelstange und φ den Winkel zwischen der Horizontal- und der Kurbelstange bedeutet. Mit den benutzten Werten $c = 263$ cm und $h = 50$ cm ergeben sich in einer Periode bei gleichförmiger Drehung nach gleichen Zeiten für e die Werte

$$0, 8, 28, 55, 78, 94, 100, 94, 78, 55, 28, 8, 0 \text{ cm.}$$

Die Bewegung ist also symmetrisch.

Bei den Beobachtungen wurden die Barometer jedesmal etwa 20-mal durch möglichst gleichförmige Bewegung der Kurbel auf- und abbewegt, und die vor und nach der Drehung gemachten Barometerablesungen miteinander verglichen. Es ergab sich, daß bei allen Barometern nur eine geringe Differenz zwischen diesen Ablesungen zu konstatieren war und daß sie also den Ansprüchen, die an sie zu stellen waren, genügten. In betreff der Standänderungen, welche Barometer mit nicht symmetrischem Bau der Kapillare (Kkw-Modell) infolge von Auf- und Abbewegungen erfahren, vergl. „Bestimmung der Schwerkraft auf dem Atlantischen Ocean“, Seite 17.


Der Barometerapparat.

Eine Gesamtansicht des Barometerapparates gibt Tafel I im Anhange, die Registrierung, sowie die Art der Aufhängung ist auf Tafel II in größerem Maßstabe dargestellt.

Eine Magnaliumplatte ist mit fünf Löchern versehen, in die ebensoviele Röhre verschraubt sind. In diese Röhre werden von unten die Barometer hineingeschoben. Die Messingröhre der Barometer sind oben mit einem Magnaliumzylinder geschlossen. Diese Zylinder bilden die Mutterstücke für die Schrauben, die an den Kopfenden der zuerstgenannten Führungsröhre gelagert sind. Durch Drehung dieser Schrauben kann man also die Barometer heben und senken. Um hierbei eine Drehung der Barometerrohre zu verhindern, sind an sie kleine Messingklötzchen m festgeschraubt, die in entsprechenden Schlitten der Führungsröhre gleiten.

Die Führungsröhre sind unten mit einem beiderseitigen Durchbruch versehen, um die Beobachtung der Quecksilbersäule zu ermöglichen. Das Licht der Lampe fällt zunächst auf 5 Spiegel s , die das Licht auf die zugehörigen Beleuchtungslinsen l werfen. Diese beleuchten die Spalte der Barometer. An der gegenüberliegenden Seite sind auf einer Platte o fünf photographische Objektive angebracht, von denen jedes ein Bild des Spaltes des zugehörigen Barometers auf die mit einem Film bespannte Registriertrommel t entwirft, das einerseits begrenzt wird durch eine feste Blende, andererseits durch die Oberfläche des Quecksilbers im Barometer. Dieses Spaltbild ist durchgezogen von den Linsen der Teilung, die sich auf den Glasrohren befindet. Dreht sich die Trommel, so erhält man nach der Entwicklung ein geschwärztes, von der Teilung durchgezogenes Band auf dem Film, dessen Breite sich vergrößert oder verkleinert, je nachdem das Barometer

fällt oder steigt. Den Barometerstand erhält man durch Messung der Entfernung der von der Quecksilberoberfläche des Bandes herrührenden Begrenzung von dem nächsten Teilstrich. Um auf dem Film markieren zu können, zu welchen Zeitmomenten die Beobachtungen an den Siedethermometern stattgefunden haben, ist zwischen die Objektive und die Barometer eine Rotationsblende R gesetzt. Durch einen Zug an einer Schnur bedeckt sie die Öffnungen der Objektive, sodaß eine Unterbrechung des Bandes auf dem Film erfolgt.

Die Magnaliumplatte nebst Barometern und Registriereinrichtung ist carlarnisch aufgehängt. Vier Träger aus  Eisen, die auf einem Holzrahmen aufgeschraubt sind, tragen oben einen Eisenrahmen. In diesen sind zwei Kugellager eingelassen, in welchen zwei Achsen spielen, die an einem zweiten innern Rahmen befestigt sind. Der zweite Rahmen ist ebenfalls mit zwei Kugellagern versehen, die in derselben Horizontalebene, aber senkrecht zu der ersten Drehungsachse, liegen. In diesen Lagern ruht eine Achse, die die Stützen trägt, auf denen die Magnaliumplatte befestigt ist.

Durch Schraubengewinde mit Gegenmüttern kann die Platte mit den Barometern um einen bestimmten Betrag gehoben und gesenkt und somit der Drehungspunkt, also der Durchschnittspunkt der beiden Achsen, beliebig dem Schwerpunkt des gesamten schwingenden Systems genähert und also auch die Schwingungsdauer dementsprechend verändert werden. Je mehr Drehungspunkt und Schwerpunkt einander genähert werden, um so geringer ist der Einfluß, den seitliche Bewegungen des Schiffes auf die vertikale Stellung der Barometer ausüben. Bei der Justierung darf man jedoch die Schwingungsdauer nicht zu groß wählen, da sonst die Barometer infolge der Reibungen in den Lagern die vertikale Stellung nicht mit der erforderlichen Genauigkeit einnehmen.

Um die Schwingungen der Barometer zu beschränken, ist eine Dämpfung vorgesehen. An dem äußeren Rahmen sind unten geschlossene Messingrohre festgeschraubt, die mit dickflüssigem Öl gefüllt werden. In diesem hängt ein Bleizylinder mit einem etwas kleineren Durchmesser, als die lichte Weite des Messingrohres beträgt, an einem Faden, der, nach oben geführt, über zwei Rollen läuft und am Gehäuse des Apparates befestigt ist. Geraten die Barometer in Schwingungen, so bewegen sich die Bleizylinder in dem Öl auf und ab und dämpfen so die Schwingungen. Die Größe der Dämpfung, die eine Funktion des Durchmessers und des Gewichtes der Bleizylinder, sowie der Dicke des Öls ist, kann in einfacher Weise dem Bedürfnis entsprechend variiert werden.

Fehlerquellen bei der Bestimmung der Barometerhöhe.

Die Bestimmung der Barometerhöhe auf photographischem Wege erfordert die Berücksichtigung einiger Fehlerquellen, die der Methode eigentümlich sind.

Zunächst ist ein parallaktischer Fehler zu berücksichtigen, der die Bestimmung stark verfälschen kann. Vor jeder Beobachtung wurden die Barometer mit Hilfe der Schraube am Kopfe der Führungsrohre stets so weit gehoben oder gesenkt, daß das Bild des Spaltes auf dem Film annähernd dieselbe Höhe bei allen Beobachtungen hatte, die Breite des Bandes also ziemlich gleich war. Da diese Einstellung aber nur nach Augenmaß geschah, waren stets mehr oder weniger starke Abweichungen von der gewählten Normalbreite vorhanden. Wie bereits in der *„Bestimmung der Schwerkraft auf dem Atlantischen Ozean“* gezeigt ist und hier wiederholt werden soll, veranlassen diese Abweichungen einen parallaktischen Fehler in der Bestimmung der Barometerhöhe.

Fig. 4 zeigt, wodurch der Fehler verursacht wird. Sie stellt einen Vertikaldurchschnitt durch die Ebene des Films dar. Die dem Objektiv zugewendete Seite des Glasrohres trägt die Teilung.

Hat man die Höhe des Barometers so eingestellt, daß ein Strahl, der in horizontaler Richtung durch die Mitte des Objektivs geht, die Oberfläche des Quecksilbers berührt, so wird die Höhe der Quecksilbersäule durch die Teilung offenbar richtig bestimmt. Anders ist es aber, wenn sich die Quecksilberkuppe oberhalb oder unterhalb der optischen Achse des Objektivs befindet. Sinkt oder steigt die Quecksilberkuppe, so tritt zweierlei ein. Zunächst tangiert ein Strahl, der durch die Mitte des Objektivs geht, die Kuppe nicht mehr in ihrem Mittelpunkt, dann aber tritt noch eine parallaktische Verschiebung der Teilung ein. Die wirkliche Änderung des Barometerstandes ist nicht $l_1 l_2$, sondern $l_1 l_2'$, es müssen somit die Korrekturen $l_1 l_2'$ an die Messungen angebracht werden.

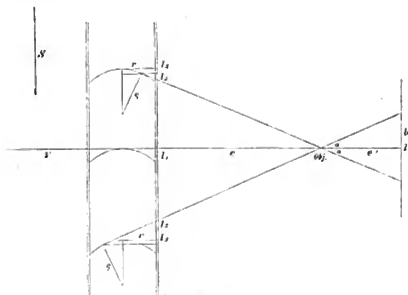


Fig. 4.

Führt man die in der Figur gegebenen Bezeichnungen ein, so ist bei Vernachlässigung der Brechung der Lichtstrahlen in dem Glasrohre:

$$\kappa = -(r + \varrho \sin \alpha) \operatorname{tg} \alpha + (1 - \cos \alpha) \varrho$$

oder

$$\kappa = +(r - \varrho \sin \alpha) \operatorname{tg} \alpha + (1 - \cos \alpha) \varrho,$$

je nachdem die Quecksilberkuppe sich unterhalb oder oberhalb der optischen Achse des Objektivs befindet. Hierbei ergibt sich α aus $\operatorname{tg} \alpha = \frac{h'}{e'}$.

Bei den früher benutzten Barometern war

$$e' = 120 \text{ mm}$$

$$e = 240 \text{ -}$$

$$r = 6 \text{ -}$$

$$q = 14 \text{ -}$$

Berechnet man für den Fall, daß sich die Quecksilberkuppe unterhalb der optischen Achse befindet, die Korrekturen

für $b' = 0.5 \quad 1.0 \quad 1.5 \quad 2.0 \text{ mm}$, was einem Fallen der Quecksilbersäule entspricht von $1.0 \quad 2.0 \quad 3.0 \quad 4.0 \text{ mm}$,
so erhält man $x = -0.025 \quad -0.050 \quad -0.074 \quad -0.098 \text{ mm}$.

Der Wert von q beruht auf Schätzung und ist naturgemäß sehr unsicher. Bei den neuen Barometern habe ich daher vorgezogen, den Einfluß der Bandbreite direkt zu bestimmen, indem ich an Tagen mit geringen Luftdruckschwankungen die Höhe eines jeden Barometers etwa 12-mal innerhalb 15 Minuten veränderte, sodaß derselbe Luftdruck mit sehr verschiedener Bandbreite registriert wurde. Kleine Änderungen des Luftdruckes wurden durch gleichzeitige Beobachtungen an einem Wild-Fress'schen Präzisionsbarometer ermittelt und als Korrekturen angebracht.

Die für die verschiedenen Breiten der registrierten Bänder sich ergebenden Abweichungen wurden darauf graphisch ausgeglichen. Sie ergeben, daß die verschiedenen Barometer bei größeren Bandbreiten oft nicht unerheblich abweichende Korrekturen erfordern, daß also die Gestalt der Quecksilberkuppen nicht gleich ist. In der nachstehenden Tabelle sind die Korrekturen aufgeführt.

Band- breite	Barometer Nr.				
	1	2	3	4	5
0.50	0.014	0.010	0.017	0.023	0.020
0.75	0.022	0.031	0.029	0.037	0.030
1.00	0.030	0.042	0.040	0.051	0.040
1.25	0.040	0.054	0.051	0.065	0.050
1.50	0.050	0.067	0.064	0.079	0.061
1.75	0.060	0.080	0.078	0.091	0.074
2.00	0.071	0.094	0.095	0.105	0.086
2.25	0.084	0.111	0.113	0.119	0.097
2.50	0.098	0.128	0.134	0.132	0.109
2.75	0.112	0.146	0.153	0.145	0.121
3.00	0.128	0.163	0.171	0.160	0.133
3.25	0.143	0.180	0.189	0.171	0.145
3.50	0.160	0.198	0.209	0.186	0.156
3.75	0.180	0.216	0.229	0.201	0.168
4.00	0.199	0.235	0.250	0.216	0.180
4.25	0.220	0.254	0.271	0.234	0.192
4.50	0.242	0.273	0.292	0.255	0.204

In Fig. 5 sind die Korrekturen für die 5 Barometer für Bandbreiten bis 4.5 mm dargestellt. Außerdem gibt die ausgezogene Kurve noch die nach den früheren Annahmen berechneten Korrekturen.

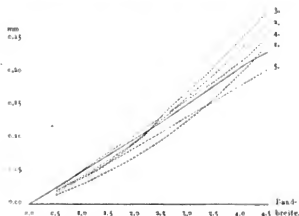


Fig. 5.

Die Ausmessung der Registrierungen.

Die Ausmessung des Films erfolgte mittels eines besonderen Ausmeßapparates, dessen Konstruktion aus Fig. 2 Tafel II ersichtlich ist.

Ein Mikroskop von 20-facher Vergrößerung läßt sich in einer Schwalbenschwanzführung um etwa 10 cm hin- und herschieben und an jeder Stelle durch die Schraube *S* festklemmen. Die Schwalbenschwanzführung bildet ein Rahmen, der sich als Schlitten in einem zweiten Rahmen mittels Mikrometerschraube bewegen läßt. Eine Untersuchung dieser Schraube auf fortschreitende und periodische Fehler ergab, daß beide Arten von Fehlern verschwindend sind.

Auf dem Tisch des Mikroskopes läßt sich ein Rahmen mit eingelegter Glasplatte von der Größe des Films (9×30 cm) in einer Führung seitlich verschieben. Der Film wird mit einer Messingplatte bedeckt, die mit Schlitzfenstern versehen ist; diese sind so angeordnet, daß die registrierten Bänder sichtbar bleiben.

Alle Ausmessungen erfolgten, um systematische Einstellungsfehler zu vermeiden, bei künstlicher Beleuchtung.

Die Messungen werden systematisch beeinflußt durch die verschiedene Tiefe der Schwärzung, die die Bänder infolge der Ungleichmäßigkeit bei der Entwicklung, die sich nicht ganz vermeiden läßt, aufweisen.

Bei der Bearbeitung der auf dem Atlantischen Ozean ausgeführten Beobachtungen habe ich mich zur Bestimmung der Tiefe der Schwärzung eines Apparates bedient, der von Herrn Prof. HARTMANN konstruiert ist und dessen Beschreibung sich in der „Zeitschrift für Instrumentenkunde“ 1899, Seite 97, findet. Es ergab sich dabei, daß sich das Abhängigkeitsverhältnis des systematischen Messungsfehlers von der Tiefe der Schwärzung für den vorliegenden Zweck mit hinreichender Genauigkeit als linear betrachten ließ.

Wie einige Versuche zeigten, ließ sich jedoch die Tiefe der Schwärzung in einfacherer Weise genügend genau bestimmen und zwar so, daß die Schwärzung direkt mit der eines

Vergleichskeile verglichen wurde, der neben das Band gelegt wurde. Unter dem Mikroskop ließ sich dann mit ausreichender Genauigkeit bestimmen, welcher Stelle des in Millimeter eingeteilten Vergleichskeiles die Schwärzung des Bandes entsprach.

Für den Vergleichskeil, den mir Herr Prof. HARTMANN freundlichst überließ, wurden nun die Korrekturen bestimmt, die an die Messungen bei verschiedenen Graden der Schwärzung anzubringen waren. Es geschah dies in der Weise, daß an Tagen mit geringen Luftdruckschwankungen das Licht der Registrierlampe durch verschieden dichte Diaphragmen geschwächt und somit auch die Schwärzung des registrierten Bandes entsprechend vermindert wurde. Die Tiefe der Schwärzung wurde dann mit dem Vergleichskeil ermittelt. Es ergab sich daraus, welche Differenzen die Messungen für die einzelnen Stellen des Vergleichskeiles zeigten. Diese Differenzen, die auf Ablesung 30 des Vergleichskeiles bezogen wurden, wurden dann graphisch ausgeglichen und gaben die folgenden Korrekturen, die an die Messungen anzubringen sind.

Ab- lesung	Kor- rektur	Ab- lesung	Kor- rektur	Ab- lesung	Kor- rektur
5	— 0.02	30	0.00	55	+ 0.01
10	— 0.01	35	0.00	60	+ 0.01
15	— 0.01	40	0.00	65	+ 0.01
20	— 0.01	45	+ 0.01	70	+ 0.02
25	0.00	50	+ 0.01	75	+ 0.02

Da die Barometer Gefäßbarometer sind, so ist für sie die Kapazitätskorrektur zu bestimmen. Sie ist bezogen auf die Siedethermometer und in der Weise hergeleitet, daß gleichzeitig Beobachtungen mit den beiden Arten von Instrumenten an Tagen mit möglichst verschiedenem Luftdruck angestellt wurden. Die abgeleitete Kapazitätskorrektur umfaßt daher nicht nur die eigentliche, auf Normaldruck bezogene Kapazitätskorrektur, sondern auch noch die etwaigen Reste der fortschreitenden Fehler der Thermometer und Barometer, die nach Anbringung der jedem Instrumente eigentümlichen Korrektur übrig bleiben.

Die Beobachtungen wurden an Land angestellt. Die Bestimmung der Kapazitätskorrektur an Bord ist aus verschiedenen Gründen erschwert. Zunächst finden sich nämlich auf einer Reise selten genügend Tage mit stark abweichendem Luftdruck, wie sie für die Bestimmung der Kapazitätskorrektur erforderlich sind. Aber auch wenn solche vorkommen, so hat man noch immer einen Fehlereinfluß systematischer Art zu befürchten. An Tagen mit niedrigem Luftdruck ist nämlich die See im allgemeinen unruhiger und dementsprechend die Bewegung des Schiffes stärker. Es müßte also dann aus den Beobachtungen nicht nur die Kapazitätskorrektur, sondern auch der Einfluß der Schiffsbewegung auf den Stand des Barometers hergeleitet werden, was die Bestimmung der zuerst genannten Korrektur natürlich ziemlich unsicher machen würde.

Die Beobachtungen, die in Potsdam angestellt wurden, wurden nach der Formel ausgeglichen:

$$x + \gamma \frac{db}{dt} + \beta (b - 760) + n = v.$$

Hierin ist x eine Konstante; $\gamma \frac{db}{dt}$ ist ein Korrektionsglied für die Änderung des Luftdrucks in einer Stunde und das Glied $\beta (b - 760)$ gibt schließlich die Kapazitätskorrektur. Da sich die

Beobachtungen nur auf wenige Tage erstrecken, ist ein Korrektionsglied für die Änderung der Instrumente mit der Zeit nicht eingeführt.

Im folgenden sind die aus den Beobachtungen sich ergebenden Fehlergleichungen aufgeführt.

Barometer I.

$$\begin{aligned}
 r &= x + 16y - 22.3\beta - 0.12 = -0.03 \text{ mm} \\
 r &= x + 9y - 19.5\beta - 0.08 = +0.01 - \\
 r &= x + 3y - 19.5\beta - 0.06 = +0.03 - \\
 r &= x + 7y - 18.7\beta - 0.10 = -0.01 - \\
 r &= x + 6y - 17.0\beta - 0.06 = +0.03 - \\
 r &= x + 19y - 16.3\beta - 0.11 = -0.04 - \\
 r &= x + 13y - 15.0\beta - 0.10 = -0.02 - \\
 r &= x + 9y - 9.3\beta - 0.05 = +0.01 - \\
 r &= x + 11y - 5.3\beta - 0.09 = -0.04 - \\
 r &= x + 3y - 0.0\beta - 0.02 = +0.03 - \\
 r &= x + 10y + 1.2\beta - 0.04 = +0.03 - \\
 r &= x + 10y + 1.6\beta - 0.00 = +0.04 - \\
 r &= x - 9y + 1.9\beta - 0.07 = -0.01 - \\
 r &= x + 5y + 2.6\beta - 0.03 = +0.01 - \\
 r &= x - 5y + 5.8\beta - 0.02 = +0.02 - \\
 r &= x - 7y + 6.3\beta - 0.06 = -0.02 - \\
 r &= x - 11y + 8.9\beta - 0.06 = -0.02 -
 \end{aligned}$$

$$\beta = -0.00246 \text{ mm} \pm 0.00124 \text{ mm.}$$

Barometer II.

$$\begin{aligned}
 r &= x + 9y - 19.3\beta - 0.07 = +0.01 \text{ mm} \\
 r &= x + 3y - 19.4\beta - 0.04 = +0.02 - \\
 r &= x + 6y - 17.0\beta - 0.10 = -0.04 - \\
 r &= x + 9y - 9.3\beta - 0.21 = -0.03 - \\
 r &= x + 11y - 5.4\beta - 0.29 = -0.04 - \\
 r &= x + 3y - 0.0\beta - 0.28 = 0.00 - \\
 r &= x + 10y + 1.5\beta - 0.27 = +0.05 - \\
 r &= x + 5y + 2.4\beta - 0.35 = -0.04 -
 \end{aligned}$$

$$\beta = +0.01144 \text{ mm} \pm 0.00210 \text{ mm.}$$

Barometer III.

$$\begin{aligned}
 r &= x + 16y - 23.3\beta - 0.09 = -0.02 \text{ mm} \\
 r &= x + 19y - 18.5\beta - 0.07 = +0.05 - \\
 r &= x + 9y - 18.5\beta - 0.10 = +0.01 - \\
 r &= x + 13y - 17.1\beta - 0.14 = -0.02 - \\
 r &= x + 6y - 16.3\beta - 0.12 = 0.00 - \\
 r &= x + 9y - 8.9\beta - 0.21 = -0.02 - \\
 r &= x + 11y - 5.2\beta - 0.27 = -0.04 - \\
 r &= x + 5y - 3.1\beta - 0.21 = +0.03 - \\
 r &= x + 3y - 0.1\beta - 0.28 = -0.01 - \\
 r &= x + 10y + 1.5\beta - 0.30 = -0.01 - \\
 r &= x + 5y + 2.3\beta - 0.27 = +0.02 -
 \end{aligned}$$

$$\beta = +0.00910 \text{ mm} \pm 0.00035 \text{ mm.}$$

Barometer IV.

$$\begin{aligned}
 r &= x + 19\gamma - 19.5\beta - 0.12 = -0.02 \text{ mm} \\
 r &= x + 3\gamma - 19.5\beta - 0.18 = -0.01 - \\
 r &= x + 9\gamma - 9.3\beta - 0.07 = +0.05 - \\
 r &= x + 11\gamma - 5.3\beta - 0.11 = -0.01 - \\
 r &= x + 10\gamma + 1.2\beta - 0.08 = -0.03 - \\
 r &= x + 10\gamma + 1.6\beta - 0.09 = +0.01 - \\
 r &= x + 5\gamma + 2.6\beta - 0.15 = +0.01 - \\
 \beta &= -0.00234 \text{ mm} \pm 0.00124 \text{ mm.}
 \end{aligned}$$

Barometer V.

$$\begin{aligned}
 r &= x + 16\gamma - 22.3\beta - 0.13 = +0.01 \text{ mm} \\
 r &= x + 9\gamma - 19.5\beta - 0.09 = +0.01 - \\
 r &= x + 6\gamma - 17.0\beta - 0.07 = 0.00 - \\
 r &= x + 9\gamma - 9.3\beta - 0.06 = +0.01 - \\
 r &= x + 11\gamma - 5.3\beta - 0.08 = +0.01 - \\
 r &= x + 3\gamma - 0.0\beta - 0.01 = 0.00 - \\
 r &= x + 10\gamma + 1.2\beta - 0.04 = +0.01 - \\
 \beta &= -0.00240 \text{ mm} \pm 0.00113 \text{ mm.}
 \end{aligned}$$

Das Mittel aus den 5 Werten hat den mittleren Fehler $\pm 0.0006 \text{ mm}$.

Die ungleiche Anzahl der Beobachtungen an den einzelnen Barometern rührt daher, daß an manchen Tagen bei verschiedenen Barometern Reflexe an der Quecksilberoberfläche auftraten, was die photographische Registrierung verfälschte und ihre Ausmessung ausschloß. Solche Reflexe treten leicht auf, wenn man die Bandbreite zu groß wählt. Die Bandbreite war aber absichtlich größer, als gewöhnlich, gewählt, um für die Bestimmung des Parswertes der Teilung auf dem Film mehrere Teilstriche der Barometerrohre auf dem Bande zu haben. Wie sich erst später herausstellte, war hierbei die zulässige Grenze überschritten.

Eine Korrektur wegen Kapillardepression ist nicht angebracht worden. Hierzu würde eine Messung der Kuppelhöhe der Quecksilbersäule erforderlich sein, die natürlich wegen des Pumpens der Barometer nicht ausführbar ist. Die Veränderung der Kuppelhöhe mit der Zeit, sowie die Änderungen, die sie infolge der Schiffsbewegung erleidet, sind in den entsprechenden Gliedern der späteren Ausgleichung enthalten.

Ebenso wurde eine Korrektur wegen Spannung des Quecksilberdampfes nicht angebracht. Die Differenz der Spannung bei einer Temperaturänderung von $+10^\circ$ bis auf $+30^\circ$ beträgt nach HERTZ (WIEDEMANN, *Ann.* 17, Seite 193, 1882) 0.0024 mm , ist also zu vernachlässigen.

Die Trägheit der Seebarometer.

Infolge der kapillaren Verengung des Rohres der Seebarometer zeigen die Barometer eine gewisse Trägheit, sodaß sie den Schwankungen des Luftdrucks langsamer folgen, als die gewöhnlichen Barometer; sie zeigen also beim Steigen des Luftdrucks einen zu niedrigen und beim Fallen einen zu hohen Barometerstand.

Es ist bereits in der „Bestimmung der Schwerkraft auf dem Atlantischen Ozean“ gezeigt worden, daß sich der Ausgleich des Barometerstandes bei Luftdruckschwankungen in der Form einer geometrischen Reihe vollzieht. Das Seebarometer zeigt also Luftdruckänderungen gegenüber dasselbe Verhalten, wie HARTMANN*) es für das Thermometer bei Änderungen der Temperatur nachgewiesen hat.

Ist L der wahre Luftdruck, B der Barometerstand, angegeben durch ein Seebarometer, so stellt

$$\frac{dB}{dt} = \lg \text{ nat } (1 - \epsilon) (B - L) = \gamma (B - L)$$

das Gesetz des Steigens oder Fallens des Seebarometers dar. Als Zeiteinheit sei eine Minute angenommen. Ändert sich der Luftdruck gleichförmig um λ in einer Minute, so ist der Luftdruck zur Zeit t : $L_0 + \lambda t$ und

$$\frac{dB}{dt} = \gamma (B - L_0 - \lambda t).$$

Setzt man nun $x = \gamma (B - L_0 - \lambda t)$, so ist

$$\frac{dB}{dt} = \lambda + \frac{1}{\gamma} \frac{dx}{dt} = x.$$

Hieraus erhält man das Integral

$$\lg \text{ nat } (\lambda - x) - \gamma t + C = 0.$$

Zur Zeit $t = 0$ ist

$$C = -\lg \text{ nat } (\lambda - x_0),$$

folglich wird das Integral

$$\lg \text{ nat } \frac{\lambda - x}{\lambda - x_0} = \gamma t$$

oder den Wert für γ eingeführt

$$\lambda - x = (\lambda - x_0) (1 - \epsilon)^t. \quad (1)$$

Erhöht oder erniedrigt man künstlich den Stand der Barometersäule, so wird das Fallen bezw. das Steigen der Quecksilbersäule bei konstantem äußeren Luftdruck dargestellt durch den Ausdruck

$$B - L_0 = (B_0 - L_0) (1 - \epsilon)^t$$

und für 2 beliebige, um 1 Minute auseinanderliegende Ablesungen B_{n+1} und B_n wird somit

$$B_{n+1} - B_n = \epsilon (L_0 - B_n).$$

Die letzte Gleichung ermöglicht die Bestimmung der Empfindlichkeit in bequemer Weise.

*) „Zeitschrift für Instrumentenkunde“, 1897, Seite 14.

Man hat nämlich nur an Tagen mit geringen Luftdruckschwankungen den Stand des Barometers abzulesen, ihn dann durch Neigen des Rohres um einen beliebigen Betrag, am besten etwa um 30—50 mm, zu erhöhen und dann jede Minute eine Ablesung auszuführen. Hieraus läßt sich dann ϵ ableiten, wie es nachstehend für die 5 Barometer durchgeführt ist.

Barometer Nr. 1.

Zeit	B	I_0	$B_n - I_0$	$B_{n+1} - B_n$	ϵ	Rechn.	Beob. — Rechn.
0 ^m	699.80	664.40	33.40	4.50	0.127	35.40	0.00
1	699.50		30.90	3.80	0.123	30.97	+ 0.07
2	699.50		27.10	3.42	0.126	27.10	0.00
3	688.08		23.68	3.98	0.126	23.74	+ 0.03
4	688.10		20.70	3.48	0.120	20.75	+ 0.05
5	682.62		18.22	2.37	0.125	18.16	+ 0.06
6	680.35		15.95	2.00	0.125	15.89	+ 0.06
7	678.35		13.95	1.70	0.122	13.90	+ 0.05
8	676.65		12.25	1.49	0.122	12.16	+ 0.09
9	675.16		10.76	1.36	0.126	10.64	+ 0.12
10	673.80		9.40	1.20	0.128	9.31	+ 0.09
11	672.60		8.20	1.10	0.134	8.15	+ 0.05
12	671.50		7.10	0.90	0.127	7.13	+ 0.03
13	670.60		6.20		Mittel 0.125		

Barometer Nr. 2.

Zeit	B	I_0	$B_n - I_0$	$B_{n+1} - B_n$	ϵ	Rechn.	Beob. — Rechn.
0 ^m	697.10	652.50	44.60	7.05	0.158	44.60	0.00
1	690.05		37.55	5.88	0.157	37.51	+ 0.04
2	684.17		31.67	5.07	0.160	31.55	+ 0.12
3	679.10		26.60	4.10	0.154	26.53	+ 0.07
4	675.00		22.50	3.64	0.162	22.34	+ 0.19
5	671.36		18.86	3.02	0.160	18.76	+ 0.10
6	668.34		15.84	2.54	0.160	15.78	+ 0.06
7	665.80		13.30	2.14	0.161	13.27	+ 0.03
8	663.66		11.16	1.81	0.162	11.16	0.00
9	661.85		9.35	1.45	0.155	9.39	+ 0.04
10	660.40		7.90	1.20	0.153	7.90	0.00
11	659.20		6.70	1.10	0.164	6.64	+ 0.06
12	658.10		5.60	0.90	0.161	5.58	+ 0.02
13	657.20		4.70		Mittel 0.159		

Barometer Nr. 3.

Zeit	B	I_0	$B_n - I_0$	$B_{n+1} - B_n$	ϵ	Rechn.	Beob. — Rechn.
0 ^m	687.03	651.10	35.93	3.43	0.095	35.93	0.00
1	683.60		32.50	3.10	0.095	32.62	+ 0.12
2	680.50		29.40	2.70	0.092	29.62	+ 0.11
3	677.80		26.70	2.40	0.090	26.89	+ 0.19
4	675.40		24.30	2.20	0.091	24.42	+ 0.12
5	673.20		22.10	2.03	0.092	22.17	+ 0.07
6	671.17		20.07	1.87	0.093	20.13	+ 0.06
7	669.30		18.20	1.63	0.090	18.28	+ 0.08
8	667.67		16.57	1.52	0.092	16.60	+ 0.03
9	666.15		15.05	1.37	0.091	15.07	+ 0.02
10	664.78		13.68	1.23	0.090	13.60	0.00
11	663.55		12.45	1.15	0.092	12.42	+ 0.03
12	662.40		11.30		Mittel 0.092		

Barometer Nr. 4.

Zeit	B	I_0	$B_n - I_0$	$B_{n+1} - B_n$	ϵ	Rechn.	Beob. — Rechn.
0 ^m	696.46	662.19	34.27	3.96	0.12	34.27	0.00
1	692.50		30.31	3.55	0.12	30.23	+ 0.08
2	688.95		26.76	3.05	0.11	26.66	+ 0.10
3	685.90		23.74	2.80	0.12	23.51	+ 0.20
4	683.10		20.91	2.52	0.12	20.74	+ 0.17
5	680.58		18.39	2.18	0.12	18.29	+ 0.10
6	678.40		16.21	1.80	0.11	16.12	+ 0.09
7	676.60		14.41	1.70	0.12	14.23	+ 0.18
8	674.90		12.71	1.55	0.12	12.55	+ 0.16
9	673.35		11.16	1.35	0.12	11.07	+ 0.09
10	672.00		9.81	1.15	0.12	9.76	+ 0.05
11	670.85		8.66		Mittel 0.118		

Barometer Nr. 5.

Zeit	B	I_0	$B_n - I_0$	$B_{n+1} - B_n$	ϵ	Rechn.	Beob. — Rechn.
0 ^m	694.15	662.80	31.35	4.22	0.135	31.35	0.00
1	689.65		27.11	3.58	0.12	27.09	+ 0.04
2	686.35		23.55	3.15	0.134	23.41	+ 0.14
3	683.20		20.40	2.80	0.137	20.23	+ 0.17
4	680.40		17.60	2.38	0.135	17.48	+ 0.12
5	678.03		15.23	2.02	0.133	15.10	+ 0.12
6	676.00		13.20	1.80	0.136	13.05	+ 0.15
7	674.20		11.40	1.60	0.140	11.28	+ 0.12
8	672.60		9.80	1.30	0.133	9.75	+ 0.05
9	671.30		8.50	1.12	0.132	8.42	+ 0.08
10	670.18		7.38	1.03	0.140	7.27	+ 0.11
11	669.15		6.35	0.90	0.142	6.28	+ 0.07
12	668.25		5.45	0.73	0.134	5.43	+ 0.02
13	667.52		4.73	0.65	0.138	4.69	+ 0.03
14	666.87		4.07		Mittel 0.136		

Die übrigbleibenden Fehler Beobachtung—Rechnung zeigen häufig einen systematischen Verlauf. Dieses ist aber erklärlich, denn zunächst ist es wegen der leicht eintretenden systematischen Einstellfehler sehr schwierig, ein rasch fallendes Barometer einigermaßen sicher einzustellen; dann aber war auch die Art der Messung der Höhe der Barometersäule, die mit Hilfe eines nicht sehr exakt gearbeiteten Kathetometers ausgeführt wurde, ziemlich ungenau.

Für die Trägheit der 5 Barometer ergibt sich also.

Barometer: Nr. 1	Nr. 2	Nr. 3	Nr. 4	Nr. 5
$\epsilon = 0.125$	0.159	0.092	0.118	0.136

Ich habe die Trägheit absichtlich erheblich größer gewählt, als sie bei den früher benutzten Barometern war. Es hatte sich nämlich aus den Ausgleichungen ergeben, daß den beiden photographischen Barometern, die eine verschiedene Trägheit hatten, auch ein verschiedener mittlerer Fehler für eine Schwerkraftbestimmung zukam. Das Barometer mit der größeren Trägheit hatte durchgängig den kleineren mittleren Fehler.

Es war nämlich für

		Barometer I	Barometer II
		$t = 0.12$	$t = 0.48$
mittlerer Fehler:	Hamburg—Rio de Janeiro:	± 0.058 und ± 0.058	± 0.070 und ± 0.084
-	- : Rio de Janeiro—Lissabon:	± 0.067 - ± 0.057	± 0.096 - ± 0.078

für Thermometersatz 1 bezw. A.

Es wurden deswegen für die neuen Barometer Werte für die Trägheit gewählt, die in der Nähe von 0.12 lagen. Tafel VIII im Anhange zeigt die Trägheit der verschiedenen Barometer.

Die Schiffsbewegung.

Ob sich an Bord eines Schiffes Schwerkraftsbestimmungen ausführen lassen, hängt von der Größe der Bewegung ab, die das Schiff unter dem Einfluß der Wellen ausführt.

Nur in seltenen Ausnahmefällen ist das Schwanen des Schiffes auf hoher See so gering, daß eine erhebliche Beeinflussung des Standes der Quecksilbersäule im Barometer nicht zu erwarten ist. Im allgemeinen sind die Schlinger- und Stampfbewegungen des Schiffes aber so groß, daß der Stand des Quecksilberbarometers dadurch geändert wird; die Beobachtungen mit dem jetzt benutzten Barometerapparate sind daher nur dann von Wert, wenn die Schiffsbewegungen gemessen sind und ihre Einwirkung rechnermäßig ermittelt werden kann.

Außer dem Schlingern und Stampfen des Schiffes kommt noch eine dritte Art der Bewegung in Betracht, die Bewegung des Schiffes in der Vertikalen; diese soll später besprochen werden.

Von den zuerstgenannten Bewegungen sind die wichtigsten die, die das Schiff um seine Längsachse ausführt, die Schlingerbewegungen. Die Dauer dieser Schwingungen hängt bekanntlich davon ab, wie hoch das Metazentrum über dem Schwerpunkte des Schiffes liegt. Liegt das Metazentrum tiefer, als der Schwerpunkt, so befindet sich das Schiff im labilen Gleichgewicht, es schlägt bei der geringsten Bewegung um, liegt es höher, so ist das Gleichgewicht stabil, das Schiff pendelt um seine Ruhelage. Eine sehr hohe Lage des Metazentrums bewirkt aber, daß das Schiff sehr schnell hin- und herschwingt, sodaß die Bewegungen sehr unangenehm werden. Die Barometer geraten dann ebenfalls in stärkere Schwingungen, was natürlich nicht ohne Einfluß sein kann. In neuerer Zeit verlangsamt man die Schwingungen des Schiffes durch Anbringung von zwei Seitenkielen in der Kimmung, den Schlingerkielen, die zwar für das Schiff eine geringe Einbuße an Geschwindigkeit bedeuten, die aber auf die Bewegungen dämpfend wirken und sie weicher und weniger unangenehm fühlbar machen.

Die Messung der Größe des Schlingerns und Stampfens des Schiffes ließ sich mit einem Apparate der folgenden Konstruktion sehr bequem ausführen.

Tafel III zeigt diesen Apparat, dessen beweglicher Teil aus 2 Messingscheiben von 40 mm Durchmesser und 16 mm Dicke besteht, die pendelnd aufgehängt sind. An diesen Scheiben sind dünne Aluminiumlamellen befestigt, an deren Enden Stahlfedern von der Art angesetzt sind, wie solche sich bei den RECHARD'schen Barographen finden. Diese Federn schreiben die Bewegung der Pendel auf einen Papierstreifen auf, der von 2 Zylindern geführt wird. Einer von diesen enthält ein Uhrwerk, das den Papierstreifen um 12 mm in der Minute fortbewegt. Die Achsen der beiden scheibenförmigen Pendel sind in derselben Horizontalebene, aber senkrecht zueinander gelagert. Stellt man nun den Apparat an Bord eines Schiffes so auf, daß die eine Achse in die Längsachse,

die andere senkrecht zur Längsachse des Schiffes liegt, so zeichnet das erste Pendel das Schlingern, das zweite das Stampfen des Schiffes auf. Die Länge der Schreibarme ist so gewählt, daß einer Änderung der Lage des Pendels um einen Grad eine Bewegung der Schreibfeder um 2 mm entspricht. Die Schwingungsdauer der Pendel ist sehr klein, etwa $\frac{1}{4}$ Sekunde. Da durch die wenn auch geringe Reibung der Schreibfedern auf dem Papier eine hinreichende Dämpfung bewirkt wird, so wird die Schiffsbewegung, die im Minimum eine Periode von etwas mehr als 5 Sekunden hatte, ziemlich rein aufgezeichnet.

Der Apparat diente jedoch nicht nur zur Messung des Schlingerns und Stampfens, sondern seine eigentliche Bestimmung war, die Bewegungen zu messen, die der Barometerapparat unter dem Einfluß der Schiffsbewegungen ausführt. Zu diesem Zwecke wurde er auf dessen Gehäuse befestigt und registrierte hier während der Beobachtungen alle die Abweichungen von der Vertikalen, denen die Barometer ausgesetzt waren. Ein mittlerer Wert für Abweichungen dieser Art, die ja die Höhe der Quecksilbersäule der Barometer beeinflussen müssen, wurde in die späteren Angleichungen zur Ermittlung der erforderlichen Korrekturen eingeführt.

Die ersten Dienste leistete der Apparat bei der Abstimmung der Dämpfung des Barometerapparates, die von der Dicke des verwendeten Öls in den Dämpfungszylindern und von der Schwere und dem Durchmesser der in den Zylindern hin- und hergehenden Bleigewichte abhängt. Diese Abstimmung ließ sich sehr sicher ausführen; ihr Resultat zeigt Tafel III. In der *a* die Bewegungen wiedergibt, die der Barometerapparat mit Anschaltung der Dämpfung unter dem Einfluß der Schiffsbewegung ausführt, *b* zeigt die Bewegung nach Einschaltung der Dämpfung und *c* die Bewegungen, die das Schiff selbst ausführt. Zur Messung der Bewegung *c* wurde der Apparat vom Gehäuse des Barometerapparates heruntergenommen und auf einem Tisch in der Kabine aufgestellt.

Natürlich konnten diese Messungen nur nacheinander vorgenommen werden, die Aufzeichnungen geben daher die gerade zu diesen Zeiten vorhandenen Bewegungen wieder, sind also nicht streng miteinander vergleichbar. Im allgemeinen geben sie aber ein richtiges Bild von dem außerordentlich günstigen Einfluß, den die Anbringung der Dämpfung mit sich brachte. Ohne die Dämpfungseinrichtung wäre eine genauere Bestimmung der Barometerhöhe mit dem beschriebenen Barometerapparat ausgeschlossen gewesen.

Bei der Wichtigkeit, die die Bewegungen des Schiffes für die Ausführung von Schwerkraftsmessungen auf dem Meere haben, schien es mir von Wert zu sein, auch auf den Schiffen, auf denen ich keine Schwerkraftsmessungen angestellt habe, die Größe des Schlingerns und Stampfens zu bestimmen und zu untersuchen, wie sie sich nach Amplitude und Periode voneinander unterscheiden.

Auf Tafel IV und V sind von 6 Schiffen typische Registrierungen dieser Bewegungen wiedergegeben. Sämtliche Registrierungen wurden bei unruhiger See gemacht. Von den beiden für jedes Schiff gegebenen Aufzeichnungen gibt die obere das Schlingern, die untere das Stampfen wieder.

Die Bewegung des Schiffes ist davon abhängig, wie die Dünung des Meeres das Schiff trifft. Läuft sie in der Längsrichtung des Schiffes, so wird dadurch eine starke Stampfbewegung des Schiffes erzeugt, die um so größer ist, je kürzer das Schiff ist; läuft sie von der Seite, so tritt starkes Schlingern des Schiffes ein, das besonders heftig wird, wenn die Periode der Dünung und die der Eigenschwingungen des Schiffes nahezu übereinstimmen oder in einem kommensurablen Verhältnis stehen, und das Schiff keine Schlingerkiele hat. Es tritt dann ein langsames Anwachsen

der Schwingungsamplitude ein; nach Erreichung ihres Maximums nimmt sie darauf ebenso langsam wieder ab. Dieses periodische Anwachsen und Abnehmen der Amplitude zeigen besonders gut die registrierten Bewegungen der „Weimar“, der „Sonoma“ und der „Tanglin“ auf Tafel IV und V.

Die Art der Schlingerbewegungen ist bei fast allen Schiffen sehr voneinander verschieden. Besonders auffällig ist der Unterschied zwischen den Bewegungen der „Prinzess Alice“ und der „Tanglin“ (Tafel V), der erstgenannte Dampfer führt ganz langsame Schlingerbewegungen mit einer Periode von 15 bis 16 Sekunden aus, während der andere sehr rasch hin- und herschwingt; seine Schwingungsperiode beträgt nur etwas mehr als 6 Sekunden. Es ist ohne weiteres verständlich, daß solche kurzen harten Bewegungen die Barometer weit mehr beeinflussen müssen, als die langsamen, weichen Schwingungen eines Dampfers, wie „Prinzess Alice“.

Die Art der Schlingerbewegungen eines Schiffes ändert sich übrigens unter dem Einfluß der Dünung sehr erheblich. Auch die eigentliche Schwingungsperiode des Schiffes wird hierbei oft ziemlich beträchtlich beeinflusst.

Auf Tafel VI sind die Schlingerbewegungen der „Manchuria“ an 7 verschiedenen Tagen dargestellt. Es zeigen sich fast überall lange Schwingungen mit Perioden bis zu 2 Minuten und mehr, denen die Eigenschwingungen des Schiffes überlagert sind. Letztere sind zuweilen im Vergleich zu den langen Schwingungen unbedeutend, wie z. B. am 13. September, wo die langen Schwingungen sehr klar hervortreten und eine relativ gleichmäßige Kurve entsteht, ferner wie am 16. September, wo die „Manchuria“ sich im Randgebiete eines Tiefes befand und wo Wellen und Sturm das Schiff hin- und herwarfen.

Es sei übrigens bemerkt, daß eine reine Dünung im allgemeinen sehr selten ist. Fast immer treten daneben noch andere Wellen, die sogenannten Windseen auf, die die Dünung so verdecken, daß sie schwer wahrzunehmen ist und die Richtung, aus der sie läuft, nur unsicher geschätzt werden kann.

Es muß schließlich noch ein anderer Faktor erwähnt werden, der von Einfluß auf die Schiffsbewegung ist und eine Änderung der Schwingungsdauer des Schiffes während der Fahrt herbeiführt. Es ist dieses der bedeutende Kohlen- und Süßwasserverbrauch während der Fahrt, das Anfüllen der Kohlenbunker und Tanks in den Häfen, dann aber auch die Änderung in der Ladung; sie beeinflussen die Schwingungsdauer oft in erheblichem Maße, wie die Aufzeichnungen Tafel IIIc und Tafel IV zeigen, die beide auf der „Weimar“ gemacht wurden. Die erste wurde registriert vor dem Anlaufen von Antwerpen. In Antwerpen wurde eine schwere Ladung (3000 Faß Zement) in den unteren Laderäumen des Schiffes verstaут, die Stabilität wurde somit größer und die Schwingungen rascher, was sich auch in der späteren Aufzeichnung erkennen läßt.

Über die Tiefgangsunterschiede, die durch die oben angeführten Änderungen in der Ladung der „Weimar“ während der Reise herbeigeführt wurden, gibt die nachstehende Tabelle eine Übersicht, die ich dem Obermaschinisten der „Weimar“, Herrn BEDELK, verdanke. Für die Schwerkraftsbestimmung sind sie als Höhenunterschiede ohne Belang und zu vernachlässigen.

Abfahrt	Tiefgang			Ankunft	Tiefgang			Differenz Abfahrt — Ankunft	Mittlerer Tiefgang Abf. + Ank. 2
	vorn	hinten	Mittel		vorn	hinten	Mittel		
Breiterhaven....	6.7	7.4	7.1	Antwerpen....	6.6	7.3	7.0	+ 0.1	7.05
Antwerpen....	7.6	7.7	7.7	Southampton...	7.4	7.4	7.4	+ 0.3	7.55
Southampton...	7.4	7.4	7.4	Genua.....	7.0	7.1	7.1	+ 0.3	7.25
Genua.....	7.3	7.8	7.5	Neapel.....	7.1	7.7	7.4	+ 0.1	7.45
Neapel.....	7.5	7.7	7.6	Port-Said.....	7.5	7.5	7.5	+ 0.1	7.55
Port-Said.....	7.6	7.7	7.7	Suez.....	7.6	7.6	7.6	+ 0.1	7.65
Suez.....	7.6	7.6	7.6	Aden.....	7.5	7.4	7.5	+ 0.1	7.55
Aden.....	7.5	7.4	7.5	Colombo.....	6.7	7.1	6.9	+ 0.6	7.20
Colombo.....	7.4	7.7	7.6	Freemantle....	6.7	7.2	7.0	+ 0.6	7.30
Freemantle....	6.8	7.1	6.9	Adelaide.....	6.4	7.0	6.7	+ 0.2	6.80
Adelaide.....	6.2	6.8	6.5	Melbourne....	6.2	6.8	6.5	0.0	6.50
Melbourne....	5.2	6.5	5.9	Sydney.....	5.0	6.5	5.8	+ 0.1	5.85

Außer den beiden genannten Arten ist noch die dritte Art der Bewegung, nämlich die Bewegung des Schiffes in der Vertikalen zu betrachten.

Ein Maß für diese Bewegung gibt uns das Pumpen der Barometer. Dieses wird hervorgerufen einerseits durch die Beschleunigungen, die das Barometer durch die Schiffsbewegung erfährt, andererseits durch das Beharrungsvermögen des Quecksilbers in den Barometern, welches bewirkt, daß bei einer Aufwärtsbewegung des Barometers Quecksilber durch die Kapillare nach unten fließt, der Stand der Quecksilbersäule also sinkt, während bei der Abwärtsbewegung das Umgekehrte eintritt.

Die Änderung des Luftdruckes bei der Vertikalbewegung ändert den Stand der Quecksilbersäule nicht nennenswert, wie sich aus dem folgenden ergibt. Das durch Luftdruckänderungen bewirkte Fallen und Steigen der Quecksilbersäule wird durch den Ausdruck (vergl. Seite 96) dargestellt:

$$I_a - I_0 = (I_0 - I_a) (1 - \epsilon)^t$$

Nimmt man nun an, das Schiff bewege sich um den grossen Betrag von 2 m nach unten, was einer Erhöhung des auf das Barometer wirkenden Luftdruckes von rund 0.2 mm entspricht, nimmt man ferner an, dieser erhöhte Luftdruck wirke während der halben Periode, also etwa während 4 Sekunden, ein Fall, der kaum jemals eintreten wird, so ist die Differenz des durch das Barometer angezeigten und des wahren Luftdruckes nach dieser Zeit bei einer Empfindlichkeit $\epsilon = 0.11$ noch

$$0.2 \times (1 - 0.11)^4 = 0.198 \text{ mm.}$$

Der Stand des Barometers hat sich also nur um 0.002 mm geändert.

Die Beschleunigungsänderungen, welche das Quecksilber durch die Bewegung in der Vertikalen erfährt, wirken ebenso, wie das Beharrungsvermögen des Quecksilbers. Bewegt sich nämlich das Schiff aufwärts, so kommt zu der Beschleunigung g noch ein bestimmter Betrag hinzu, die Totalbeschleunigung wird größer, die Quecksilbersäule sinkt also. Bei der Abwärtsbewegung des Schiffes

dagegen ist die resultierende Beschleunigung geringer, der Stand des Quecksilbers steigt somit. Sind die Bewegungen gleichartig und ist auch ihre Dauer gleich, so sind auch die Beträge, die zu der Beschleunigung hinzuzunaddieren bzw. von ihr abzuziehen sind, gleich und es bleibt also g rein zurück. Sind aber die Bewegungen verschieden, so müssen auch die Beschleunigungen, die an g angebracht die Totalbeschleunigung ergeben, verschieden sein: es bleibt also g nicht rein zurück. Die Verfälschung von g ergibt rechnungsmäßig erhebliche Beträge, wie die folgende rohe Schätzung zeigt.

Hat die Bewegung H die Form einer periodischen Bewegung, so kann man setzen

$$\begin{aligned} H = H_0 + H' \sin\left(\frac{2\pi}{T_1} t + \alpha_1\right) \\ + H'' \sin\left(\frac{2\pi}{T_2} t + \alpha_2\right) \\ + \dots \end{aligned}$$

Es ist dann, wenn man nur das erste Glied berücksichtigt und somit eine reine sinus-Bewegung annimmt.

$$\frac{d^2 H}{dt^2} = -\frac{4\pi^2}{T_1^2} H' \sin\left(\frac{2\pi}{T_1} t + \alpha_1\right).$$

Die Maximalbeschleunigung ergibt sich ohne Rücksicht auf das Vorzeichen zu

$$\frac{d^2 H}{dt^2} = \frac{4\pi^2}{T_1^2} H'.$$

Wenn man annimmt, daß die Aufwärtsbewegung sich in 4 Sekunden, die Abwärtsbewegung dagegen in 3 Sekunden vollzieht und die Schiffsbewegung in der Vertikalen 2 m beträgt, so ergeben sich die Maximalbeschleunigungen

$$\begin{aligned} \frac{d^2 H}{dt^2} &= \frac{4\pi^2}{8^2} = 62 \text{ cm bei 8 Sekunden Periode} \\ \frac{d^2 H}{dt^2} &= \frac{4\pi^2}{6^2} = 110 \text{ " " 6 " " " " } \end{aligned}$$

Die durchschnittlichen mittleren Beschleunigungen, die sich mit g zusammensetzen, sind

	8"-Periode	6"-Periode
für die 1. Sekunde	22 cm	47 cm
- - 2. -	53 -	102 -
- - 3. -	53 -	47 -
- - 4. -	22 -	

also sehr erhebliche Beträge.

Welchen Einfluß diese Verschiedenheiten auf die Barometer und somit auf die Bestimmung der Schwerkraft ausüben, besonders, ob dadurch die gemessene Schwerkraft systematisch verfälscht wird, soll bei den späteren Ausgleichen der Beobachtungen näher untersucht werden.

Auf Tafel VII sind einige Barometerregistrierungen wiedergegeben. In diesen sind die horizontalen Linien von der Teilung auf den Glasrohren der Barometer hervorgerufen, die vertikale Kannelierung ist durch die Unregelmäßigkeiten des Uhrwerks verursacht. Die größeren Unterbrechungen sind Zeitmarken, die durch Abblendung der Objektive erzeugt werden.

Die ersten fünf, von gleichzeitigen Beobachtungen an den fünf Barometern herrührenden Registrierungen, die an Bord der „Sonoma“ in der Nähe des Tongaplateaus aufgenommen wurden, zeigen zunächst die außerordentlich gleichmäßige, nach ihren Amplituden natürlich der Dämpfung entsprechend, verschiedene Wirkung der Schiffsbewegung auf die Barometer. Dann aber zeigen sie noch eine ganz besondere Eigentümlichkeit. Es finden sich in ihr nämlich lange Wellen mit einer Periode von mehr als einer Minute, denen Wellen mit kürzerer Periode überlagert sind. Es mußte also auch die Dünung aus Wellen mit entsprechend langen Perioden zusammengesetzt sein, was übrigens auch schon durch das Auge wahrzunehmen war.

Von den weiteren Registrierungen zeigt *a* eine sehr regelmäßige sinus-Bewegung des Schiffes in der Vertikalen. Die Perioden sind nahezu dieselben.

Die Aufzeichnungen *b* enthalten dagegen Wellen von sehr verschiedenen Perioden. Es finden sich eine Reihe von Wellen in der Registrierung, die ergeben, daß das Schiff keine symmetrische Auf- und Abwärtsbewegung ausgeführt hat, sondern daß die Aufwärtsbewegung oft sehr viel langsamer erfolgte, als die Abwärtsbewegung und umgekehrt. Ein flüchtiger Blick zeigt hier schon, daß der Einfluß der verschiedenen Periodenlänge beider Arten von Bewegungen von keinem sichtbaren Einfluß auf den Stand des Barometers ist.

Die Aufzeichnungen *c* geben schließlich Bewegungen wieder, die teilweise in unsymmetrischen langen Wellen mit Überlagerung kurzer Wellen bestehen.

Es muß noch bemerkt werden, daß das Pumpen der Barometer ausschließlich von der Stampfbewegung des Schiffes hervorgerufen wird, daß also die Schlingerbewegung ohne Einfluß ist, vorausgesetzt, daß die Instrumente in der Nähe der Mitte des Schiffes aufgestellt sind.

Der Vergleich der Perioden des Pumpens und Stampfens zeigt nämlich, daß beide übereinstimmen. Die Periode des Schlingerns dagegen steht in keinem Zusammenhange mit der des Pumpens.

Die Beobachtungsmethode.

Die Art und Weise, wie die Beobachtungen angestellt wurden, wird am besten aus dem Beobachtungsschema klar werden, das kurz die Reihenfolge der Operationen angibt, die bei den Beobachtungen auszuführen waren. Es sind die folgenden:

- Aufspannen des Films auf die Registriertrommel des Barometerapparates, Aufziehen des Uhrwerks und Nivellieren des Apparates.
- Aufsetzen des Schwingungsmessers, Aufspannen des Papierstreifens auf denselben, Füllung der Schreibfedern und Aufziehen des Uhrwerks.
- Reinigung der Bodenfläche der Siedegefäße und Füllung der Gefäße mit je 140 ccm destillierten Wassers.
- Einziehen neuer Dochte in die Spirituslampen und Füllung der letzteren mit je 40 ccm 86 $\frac{1}{2}$ igem Spiritus.
- Ungefähre Einstellung der Dampfmantellänge nach den Angaben des Aneroids Bonn Nr. 937.
- Einsetzen der Thermometer.
- Regulieren der Dochthöhe und nach dem Entzünden der Flammen Regulierung der Flammenhöhe. Der Beginn des Siedens wird notiert.
- Nach Beginn des Siedens genaue Regulierung der Dampfmantellänge und der Länge des herausragenden Fadens.
- Entzündung der Lampe des Barometerapparates. Regulierung der Bandbreite bei den fünf Barometern. Beginn des Registrierens wird notiert. Ablesung der Thermometer an den Barometern.
- 10 Minuten nach Beginn des Siedens, nach vorübergehendem leichten Klopfen mit einem Holzstäbchen auf die Köpfe der Siedethermometer, Ablesung derselben. Zeitmarkierung bei dem Barometerapparat und dem Schwingungsmesser. Dann Entförmung der Spirituslampen für eine halbe Minute.
- Zu den Zeiten 17, 24, 31, 38 und 45 Minuten nach dem Beginn des Siedens werden dieselben Operationen wiederholt, wie sie bei der ersten Ablesung der Siedethermometer angegeben sind.

Nach der letzten Ablesung der Siedethermometer erfolgt das Umwenden derselben, um die in die oberen Teile der Röhre überdestillierten Quecksilberflocken zu sammeln und in das Gefäß

zurückzutransportieren. Die Thermometer werden dann wieder in den Siedeapparat zurückgebracht und das Kochen wird noch einige Minuten fortgesetzt; darauf werden die Flammen ausgelöscht. Die Thermometer kühlen in ihren Siedeapparaten ab.

Bei der vorliegenden Reise hat sich wiederum die Schwierigkeit gezeigt, an Tagen mit stark bewegter See die Thermometerablesungen auszuführen, da das „Pumpen“ der Thermometer (vergl. *Bestimmung der Schwerkraft auf dem Atlantischen Ozean*, Seite 33) dann sehr beträchtlich wurde; es erreichte zuweilen einen Betrag von 0.01 Grad. Infolgedessen ist die Übereinstimmung der Siedethermometer untereinander keine so gute wie bei der früheren Reise.

Die Beobachtungen und ihre Reduktion.

Die folgenden Tabellen geben das Beobachtungsmaterial und seine Reduktion.

Sie enthalten zunächst die korrigierten Thermometerablesungen, die bereits mit Hilfe der WIEDE'schen Tafel in Dampfspannung umgewandelt sind, sowie die zugehörigen, auf 0° reduzierten Barometerstände. Außerdem enthalten sie ferner die Angabe der mittleren Uhrzeit, zu der die Beobachtungen erfolgten, sowie die mittlere Temperatur des Quecksilbers der Barometer.

Die Uhrzeit, angegeben nach der des morgens früh gestellten Schiffsuhr, bezieht sich stets auf die Vor- und Nachmittagsstunden, wenn nichts anderes bemerkt ist. Mit dieser Zeit wurden die geographischen Positionen des Schiffsortes aus den Schiffsjournalen interpoliert.

An Bord der „Weimar“ wurden diese geographischen Positionen freundlichst von dem dritten Offizier, Herrn Kösnecke, abgeleitet, an Bord der „Sonoma“ geschah dasselbe durch den ersten Offizier, Herrn M. C. SMITH, für die Beobachtungen auf der „Manchuria“ habe ich selbst die Positionen abgeleitet.

Die in den Tabellen verzeichnete mittlere Temperatur gibt das Mittel der vor und nach den Beobachtungen gemachten Ablesungen der an den Seebarometern angebrachten Thermometer.

Die der Breite φ entsprechende berechnete Schwerekorrektion für den Barometerstand B wurde nach der Formel

$$\text{berechn. Schwerekorrektion} = (-0.002644 \cos 2\varphi + 0.000007 \cos^2 2\varphi) B$$

ermittelt, wobei die von HELMERT in den *Sitzungsberichten der Berliner Akademie der Wissenschaften*, 1901, Seite 336, gegebene Formel zu Grunde gelegt ist. Eine Tafel, welche die Schwerekorrektion für jeden Grad Breite für Barometerstände von 740 bis 780 mm gibt, findet sich am Schluß.

Wo sich bei der Beobachtung an Bord Anschluß gewinnen ließ an eine Landstation, an der die Schwerkraft durch Pendelbeobachtung ermittelt war, wurden diese Schwerkraftswerte zur Ableitung der Schwerekorrektion benutzt.

Die Beobachtungen auf der „Weimar“ ließen sich anschließen an die Stationen, die im folgenden mit näheren Angaben aufgeführt sind.

	Breite	Länge	Hohe	Schwerkraft	Beobachter	Jahr
Messina	+ 38° 11.5	15° 35.5	5 ^m	980.126	RICCO	1898
	+ 38 11.5	15 35.4	5	980.128	"	1898
Port Said	+ 31 15.7	31 18.7	2	979.470	MÜLLER v. ELBERG	1894
	+ 31 15.7	31 18.7	2	979.446	PERGLER v. PERGLAS	1899
Zarafana	+ 29 6.7	32 39.8	6	979.265	THULZI	1897
Mokka	+ 13 19.2	43 14.6	4	978.335	THULZI	1897
Aden	+ 12 45.0	44 58.0	4	978.338	MEISSER	1892
	+ 12 47.3	44 59.0	3	978.335	LEHNKE	1894
	+ 12 47.3	44 59.3	5	978.343	THULZI	1897
Perim	+ 12 38.6	43 24.4	4	978.331	THULZI	1897
Colombo	+ 6 55.9	79 50.8	15	978.176	GOEBEL	1893
	+ 6 55.9	79 50.8	10	978.175	BEDEK	1897
Melbourne	- 37 49.9	144 48.5	27	980.003	HECKER	1904

Die Beobachtungen an Bord der „Sonoma“ und der „Manchuria“ habe ich an die aus meinen Pendelbeobachtungen hervorgehenden Werte der Schwerkraft in Sydney, Berkeley (San Francisco) und Tokyo (Yokohama) angeschlossen. Diese Werte sind auf Seite 75 wiedergegeben.

Die berechneten Schwerekorrekturen sind in Hundertstel Millimetern, die aus den Pendelbeobachtungen abgeleiteten in Tausendstel Millimetern angegeben.

Die Thermometerablesungen sowohl wie die Barometerhöhen sind zu Mitteln vereinigt.

In die späteren Ausgleichungen ist ein Glied eingeführt, das die Luftdruckänderungen während der Beobachtungen berücksichtigt. Diese Änderungen sind aus den Beobachtungen an den Siedethermometern abgeleitet.

Sie sind aber nicht ohne weiteres aus den Ablesungen ableitbar.

Wie sich bereits bei der ersten von mir angestellten Beobachtungsreihe (vergl. „Bestimmung der Schwerkraft auf dem Atlantischen Ozean“, Seite 11) herausstellte, tritt mit der Dauer des Siedens eine Vergrößerung der Quecksilbergefüße der Thermometer ein, die sich, wenn einige Zeit, etwa 8 Minuten, nach Beginn des Siedens verflossen sind, durch die Annahme eines linearen Verlaufes genügend darstellen läßt. Es müssen daher die Siedethermometerablesungen auf einen bestimmten Zeitpunkt reduziert werden, wenn man sie miteinander vergleichbar machen und Luftdruckschwankungen aus ihnen ableiten will.

Aus der erwähnten Beobachtungsreihe hatte sich ergeben, daß sich von dem Zeitmomente „Beginn des Siedens + 8 Minuten“ an der Stand des Thermometers um 0.0014 mm in der Minute erniedrigt. Mit diesem Werte wurden die Ablesungen an allen Siedethermometern auf die erste Ablesung reduziert und dann die Luftdruckänderung aus den 6 Ablesungen nach der Methode der kleinen Quadrate abgeleitet. In denjenigen Fällen, in denen nicht alle sechs Ablesungen der Siedethermometer angeführt werden konnten, sind die Ablesungen auf den Zeitpunkt „Beginn des Siedens + 28 Minuten“ reduziert. Dieser Zeitpunkt stellt die der Mittelung der normalen sechs Ablesungen entsprechende mittlere Zeit der Beobachtung dar.

Reise Bremerhaven — Melbourne an Bord der „Wetmar“.

Datum	Mittlere Uhrzeit	Dampfspannung bestimmt durch die Siedethermometer						Mittel
		1	2	3	4	5	6	
April 2	12 ^h 23 ^m	770.55	770.44	770.47	770.66	770.77	770.63	770.59
		47	44	33	58	69	61	52
		47	44	33	58	71	63	53
		44	44	31	55	69	58	50
		44	39	25	50	63	55	46
		38	25	17	33	50	44	33
	6 14	769.94	769.89	769.86	769.89	770.14	769.97	769.95
		94	89	81	94	17	770.05	97
		89	86	83	94	17	00	95
		91	86	86	97	19	05	97
		89	83	80	94	17	03	94
		94	86	86	770.00	19	05	98
" 3	11 24	770.53	770.44	770.55	770.58	770.71	770.66	770.58
		47	39	43	44	69	58	50
		39	33	38	42	63	50	44
		36	33	31	39	61	50	42
		31	25	25	31	55	42	35
		19	14	17	19	44	31	24
	5 21	769.25	769.15	769.09	769.20	769.45	769.35	769.23
		23	09	15	20	42	25	23
		17	09	09	17	39	25	19
		15	06	04	17	39	25	18
		17	09	06	20	39	25	19
		09	01	01	12	36	17	13
" 5	4 26	766.38	766.32	766.30	766.38	766.62	766.49	766.42
		38	27	24	35	60	49	39
		38	27	24	35	60	49	39
		32	27	24	32	54	38	35
		30	19	24	27	51	32	31
" 7	12 17	764.00	763.89	763.92	764.00	764.12	764.03	764.01
		763.86	81	76	763.84	11	763.92	763.88
		78	73	70	78	05	86	82
		68	62	54	68	763.92	73	70
		54	49	46	51	78	59	56
		43	38	35	41	68	51	46
	6 41	762.45	762.26	762.23	762.37	762.61	762.42	762.39
		40	23	21	34	59	45	37
		37	21	18	34	59	45	36
		34	21	18	34	56	48	35
		34	23	18	34	56	48	36
		37	23	21	34	59	50	38
" 8	11 38	761.60	761.58	761.53	761.58	761.82	761.66	761.63
		60	52	50	58	77	66	61
		60	55	50	58	82	68	62
		60	52	50	58	79	68	61
		55	52	47	55	74	66	58
		55	50	47	55	74	66	58

Datum 1904	Mittlere Uhrzeit	Dampfspannung bestimmt durch die Siedethermometer						Mittel
		1	2	3	4	5	6	
April 8	6 ^h 28 ^m	760.27	760.24	760.16	760.10	760.51	760.32	760.30
		22	19	11	24	46	10	25
		19	16	08	22	41	10	23
		16	16	03	19	41	24	20
		16	14	03	19	38	22	19
		16	14	03	22	41	22	20
" 9	10 35	759.78	759.81	759.65	759.84	759.97	759.81	759.81
		81	81	70	84	760.00	87	84
		81	78	68	87	05	92	85
		84	84	73	87	05	92	88
		87	84	76	92	11	97	91
		87	84	76	92	11	97	91
" 10	12 5	763.41	763.41	763.32	763.35	763.65	763.54	763.45
		35	35	27	30	59	49	39
		32	32	24	27	57	46	36
		30	32	21	24	57	46	35
		30	27	21	24	54	46	34
		24	21	16	21	51	43	29
" 11	6 54	763.97	763.86	763.86	763.97	764.14	764.00	763.97
		97	89	86	97	19	03	99
		764.00	89	89	764.00	22	05	764.01
		05	95	95	05	30	14	07
		14	764.03	764.03	11	36	19	14
" 12	11 57	763.70	763.65	763.57	763.73	763.84	763.78	763.71
		70	59	54	65	89	84	70
		68	57	51	59	86	78	67
		76	63	59	70	95	89	76
		78	68	62	70	95	89	77
		68	57	51	65	89	81	69
	6 39	761.20	761.17	761.06	761.21	761.16	761.31	761.23
		23	20	09	28	41	36	26
		23	20	09	28	41	36	26
		14	14	04	20	33	31	19
		09	09	760.98	14	33	28	15
		17	17	761.04	17	39	33	21
	5 3	757.78	757.80	757.78	757.91	758.10	758.02	757.90
		81	80	78	88	15	02	91
		80	80	75	83	15	02	89
		83	86	75	83	15	05	91
		83	86	75	86	15	05	92
		83	80	75	88	15	05	91
" 14	10 47	758.81	758.80	758.64	758.78	758.99	758.91	758.83
		75	75	64	72	97	88	79
		67	67	59	67	94	83	73
		64	64	53	61	88	78	68
		56	56	51	59	83	72	63
		45	48	42	45	72	61	52

Datum 1904	Mittlere Uhrzeit	Dampfspannung bestimmt durch die Siedethermometer						Mittel
		1	2	3	4	5	6	
April 14	5 ^h 38 ^m	754.69	754.66	754.69	754.77	755.01	754.90	754.79
		74	69	69	77	04	90	81
		74	63	61	77	04	90	79
		80	77	72	83	11	99	88
		88	74	74	88	17	755.07	91
		96	93	82	99	26	11	755.01
- 15	10 50	756.75	756.67	756.72	756.78	757.07	756.94	756.82
		72	84	61	75	01	94	78
		67	53	58	69	756.99	91	73
		64	55	55	67	94	83	70
		55	50	47	58	86	80	63
		53	42	44	53	80	75	58
- 16	11 42	755.12	755.07	755.07	755.20	755.42	755.39	755.21
		12	12	09	23	50	42	26
		23	15	12	31	50	50	30
		26	15	15	31	53	50	32
		26	17	17	31	55	53	33
		28	17	17	34	61	58	36
- 16	6 5	755.88	755.88	755.74	755.93	756.12	756.09	755.94
		77	82	69	88	07	04	88
		80	85	66	85	07	04	88
		77	82	61	82	04	755.96	83
		69	74	58	74	755.98	90	77
		58	63	47	69	88	82	68
- 17	10 43	756.12	756.07	756.04	756.15	756.39	756.36	756.19
		17	09	07	20	47	42	34
		20	17	09	23	50	47	28
		25	20	15	28	58	58	33
		31	25	17	31	58	61	37
		34	25	20	34	61	67	40
- 17	5 25	758.72	758.64	758.64	758.75	758.99	758.97	758.79
		72	64	64	78	759.01	97	80
		72	64	64	80	02	99	80
		72	61	61	78	02	94	78
		69	61	59	75	758.99	94	76
		67	59	53	72	97	91	73
- 18	10 29	759.60	759.62	759.54	759.62	759.89	759.84	759.68
		60	60	54	62	87	81	67
		60	60	49	60	87	84	67
		57	57	43	60	87	78	64
		54	54	41	54	84	78	61
		49	51	35	51	81	73	57

Datum 1904	Mittlere Uhrzeit	Dampfspannung bestimmt durch die Siedethermometer						Mittel
		1	2	3	4	5	6	
April 18	5 ^h 49 ^m	757.18	757.05	756.97	757.18	757.45	757.40	757.21
		24	05	09	21	45	40	22
		26	10	15	24	51	48	29
		34	21	18	29	56	51	35
		34	21	18	29	61	51	36
		43	26	26	40	67	64	44
- 19	11 7	759.13	759.16	758.99	759.11	759.49	759.33	759.20
		11	758.99	91	02	41	27	12
		02	99	91	02	35	19	08
		758.91	91	78	758.88	27	11	758.98
		97	91	78	88	27	16	759.00
	4 17	757.13	757.02	757.02	757.13	757.45	757.40	757.19
		10	756.99	02	16	43	37	18
		13	757.02	02	16	45	40	20
		16	05	21	21	48	45	23
		21	07	07	24	51	45	26
		21	10	13	29	56	51	30
- 20	10 45	758.83	758.80	758.88	758.91	759.19	759.12	758.97
		91	86	86	91	22	16	99
		94	88	86	94	24	22	759.01
		97	86	86	97	24	22	02
		86	80	78	88	16	11	758.93
		80	78	75	86	11	08	90
	4 31	757.16	757.16	757.16	757.29	757.59	757.53	757.33
		18	21	26	32	67	53	36
		18	18	24	34	67	53	36
		21	24	26	40	72	59	40
		29	32	34	51	80	70	49
		34	34	34	53	83	72	52
- 21	10 40	758.69	758.78	758.80	758.88	759.22	759.13	758.92
		69	78	80	88	22	11	91
		72	75	75	88	16	11	90
		69	75	75	88	22	05	89
		69	75	75	88	22	05	89
		67	72	69	86	13	02	85
	4 30	756.53	756.47	756.50	756.67	756.91	756.86	756.66
		55	47	53	69	94	86	67
		53	47	53	69	94	86	67
		50	44	50	67	91	86	65
		53	47	50	69	94	80	67
		53	53	55	75	99	91	71
- 22	11 5	758.80	758.72	758.86	758.88	759.16	759.11	758.91
		83	72	91	88	19	11	94
		80	69	78	86	16	08	90
		61	51	59	72	02	758.94	73
		64	48	53	69	02	86	70
		51	48	48	64	758.99	83	66

Datum 1904	Mittlere Uhrzeit	Dampfspannung bestimmt durch die Siedethermometer						Mittel
		1	2	3	4	5	6	
April 23	7 ^h 53 ^m	757.80	757.70	757.75	757.83	758.13	757.97	757.86
		80	67	72	83	13	758.10	88
		94	80	86	99	29	26	758.02
		99	86	88	758.05	34	29	07
		97	86	88	05	34	29	07
	10 5	94	83	86	05	32	29	05
		757.88	757.75	757.86	757.94	758.24	758.24	757.99
		78	70	80	91	21	15	93
		72	67	72	88	15	13	88
		67	61	67	80	10	05	82
	5 5	59	53	56	72	02	757.94	73
		53	45	51	67	757.94	88	66
		755.61	755.55	755.77	755.71	755.98	755.88	755.75
		71	66	74	77	756.04	96	81
		82	71	74	85	12	756.01	88
	10 36	82	71	85	85	09	04	86
		82	71	63	88	15	04	87
		88	77	74	93	23	12	95
		757.99	757.99	758.02	758.18	758.51	758.40	758.18
		91	91	757.94	10	42	34	10
	3 50	86	86	88	05	37	29	05
		72	75	78	757.94	21	15	757.93
		67	67	70	86	18	13	67
		61	61	61	80	15	05	81
		755.31	755.28	755.31	755.42	755.74	755.77	755.47
	10 30	39	44	43	61	85	82	59
		42	42	42	61	82	82	59
		42	44	42	58	85	82	59
		Therm. 1 b						
		757.67	757.97	757.88	758.02	758.26	758.21	758.00
	4 14	70	91	83	757.94	24	13	757.96
		79	80	70	80	13	02	84
		48	70	59	72	05	757.91	74
		48	67	56	64	757.97	88	70
		37	59	48	59	91	83	63
	10 0	754.74	754.99	754.92	754.91	755.28	755.26	755.02
		74	96	88	99	28	28	02
		85	755.04	93	755.09	36	36	11
		85	04	96	15	39	42	14
		90	09	755.01	17	47	47	19
	10 0	96	09	04	20	47	40	21
		757.69	757.78	757.70	757.86	758.18	758.05	757.87
		48	70	59	78	10	757.99	77
		40	61	56	72	07	97	72
		40	64	56	72	10	97	73
		34	59	53	67	05	91	68
		32	59	53	70	757.99	86	67

Datum 1904	Mittlere Uhrzeit	Dampfspannung bestimmt durch die Siedethermometer						Mittel
		1 b	2	3	4	5	6	
April 18	11 ^h 4 ^m ⁴⁰ (nachts)	757.21	757.34	757.29	757.53	757.83	757.70	757.48
		18	14	12	48	83	72	48
		10	19	16	45	78	70	43
		05	16	11	37	70	61	37
		756.94	07	02	21	56	48	23
		91	02	756.99	18	53	43	18
" 29	10 4	757.88	757.91	757.83	757.88	758.24	758.21	757.99
		86	91	83	94	26	24	758.01
		59	80	72	86	18	11	757.88
		56	83	72	86	18	15	88
		53	80	70	86	18	15	87
		53	75	67	78	10	07	82
	3 42	756.75	756.91	756.89	757.02	757.34	757.24	757.03
		72	83	80	756.97	34	18	756.97
		69	80	80	97	29	18	96
		64	80	83	97	26	24	97
		67	86	80	99	34	24	757.00
		67	83	83	97	37	24	756.98
" 30	3 15	759.41	759.43	759.46	759.60	759.89	759.76	759.59
		38	41	43	60	87	76	58
		41	46	43	62	89	81	60
		38	46	46	62	89	81	60
		30	41	43	62	89	81	58
		35	41	46	65	95	84	61
Mai 1	10 51	763.51	763.62	763.51	763.62	763.97	763.89	763.69
		30	43	35	46	89	84	55
		21	43	32	46	84	78	51
		16	30	24	35	70	68	41
		10	27	19	30	62	65	36
		02	19	16	24	59	57	30
	3 50	762.56	762.67	762.72	762.86	763.16	763.10	762.85
		56	61	69	83	19	07	83
		56	61	69	83	16	07	82
		53	67	69	83	21	13	84
		59	69	72	88	16	13	86
		59	72	75	88	24	19	90
" 2	11 8	765.80	766.05	765.92	766.00	766.43	766.32	766.09
		78	00	86	765.94	41	30	05
		78	00	86	97	38	32	03
		78	03	86	766.03	41	30	07
		72	00	86	00	41	27	05
		69	765.97	80	765.94	32	19	765.99
	4 12	764.82	765.19	765.01	765.12	765.56	765.40	765.18
		90	12	764.98	15	50	34	17
		87	10	96	15	48	37	16
		85	10	93	15	48	34	14
		85	12	96	15	48	37	16
		90	15	98	15	50	42	18

Datum 1904	Mittlere Uhrzeit	Dampfspannung bestimmt durch die Siedethermometer						
		1 b	2	3	4	5	6	Mittel
Mai 3	11 ^h 8 ^m	767.06 766.98 767.01 766.95 767.00 87	767.17 04 01 04 766.98 93	767.15 09 06 17 01 93	767.29 23 17 17 09 04	767.69 59 56 56 51 48	767.53 45 51 40 34 29	767.32 23 20 19 14 10
		766.27 24 24 22 24 19	766.38 35 35 35 38 35	766.27 27 25 22 27 24	766.41 35 38 35 38 38	766.85 76 76 79 82 82	766.68 60 65 71 71 68	766.48 43 43 44 47 44
		764.39 39 28 28 36 41	764.44 47 36 33 25 16	764.41 44 50 52 44 36	764.63 41 58 55 47 44	765.04 61 74 87 85 82	764.79 77 74 71 68 58	764.62 62 57 54 51 46
		762.96 763.07 10 07 10 07	763.05 16 13 10 10 02	763.10 13 16 13 16 07	763.24 21 30 27 24 19	763.73 65 76 73 65 59	763.59 59 51 57 54 46	763.28 29 33 31 30 23
		762.61 62 67 64 61	762.64 67 67 67 64	762.69 72 69 69 67	762.94 91 88 86 83	763.19 19 19 16 16	763.13 10 07 07 02	762.87 87 86 85 82
	10 39	763.13 07 07 05 03 762.99	763.54 51 46 16 13 10	763.41 49 41 19 13 13	763.54 54 49 51 46 46	764.05 00 763.92 89 84 81	763.73 70 62 65 51 43	763.57 55 50 44 35 32
		762.56 56 53 56 59 61	762.67 67 64 64 64 67	762.61 64 61 64 67 67	762.88 88 81 80 72 72	763.21 19 16 13 13 13	763.10 07 05 02 07 07	762.84 84 80 80 80 81
		765.75 69 61 59 61 61	765.86 80 75 75 69 61	765.92 81 75 75 69 64	766.05 81 94 86 86 78	766.41 33 33 27 27 24	766.19 22 22 22 22 16	766.03 97 94 92 90 85

Datum 1904	Mittlere Uhrzeit	Dampfspannung bestimmt durch die Siedethermometer						Mittel
		1 b	2	3	4	5	6	
Mai 9	3 ^h 44 ^m	765.34	765.37	765.40	765.53	765.94	765.80	765.56
		37	40	42	56	97	83	59
		37	40	42	59	97	83	60
		40	42	45	61	766.00	89	63
		45	45	48	61	03	89	65
" 10	12 39	48	50	50	67	05	92	69
		767.59	767.64	767.67	767.72	768.19	767.99	767.80
		48	53	56	67	11	91	71
		48	53	56	61	08	86	69
		51	53	53	64	08	86	69
" 11	9 54	45	48	51	61	05	83	65
		45	48	48	61	05	83	65
		768.52	768.57	768.54	768.66	769.17	768.90	768.73
		55	43	41	54	09	79	60
		27	35	35	46	04	71	53
" 12	4 30	27	33	35	46	01	66	51
		22	33	35	41	768.98	66	49
		24	33	33	41	98	66	49
		766.38	766.35	766.30	766.49	766.82	766.71	766.51
		38	35	32	51	79	71	51
" 12	1 2	41	35	30	49	85	68	51
		41	38	32	54	87	71	54
		46	43	41	62	93	79	61
		46	43	41	62	93	76	60
		769.80	769.83	769.89	769.89	770.39	770.17	770.00
" 12	8 0	80	83	89	89	36	17	769.99
		75	78	83	86	33	17	95
		75	78	80	86	31	17	95
		75	78	78	83	28	08	92
		70	75	72	83	25	05	88

Datum 1904	Mittlere Dampfspannung bestimmt durch die Siedethermometer					
	1	2	3	4	5	6
April 2	770.45	770.40	770.31	770.53	770.67	770.57
	769.92	769.87	769.84	769.95	770.17	770.03
" 3	770.38	770.31	770.34	770.39	770.61	770.50
	769.18	769.08	769.07	769.18	769.40	769.24
" 5	766.35	766.26	766.25	766.33	766.57	766.43
" 7	763.72	763.65	763.62	763.70	763.96	763.77
	762.38	762.23	762.21	762.35	762.58	762.46

Datum 1904	Mittlere Dampfspannung bestimmt durch die Siedethermometer					
	1	2	3	4	5	6
April 8	761.58 760.19	761.53 760.17	761.49 760.07	761.57 760.23	761.78 760.43	761.67 760.27
9	759.83	759.82	759.71	759.88	760.05	759.91
10	763.32	763.33	763.24	763.27	763.57	763.47
11	764.03	763.92	763.92	764.02	764.24	764.08
12	763.72 761.18	763.62 761.16	763.56 761.05	763.67 761.22	763.90 761.37	763.83 761.33
13	757.82	757.82	757.76	757.87	758.14	758.04
14	758.65 754.80	758.65 754.74	758.56 754.72	758.62 754.84	758.89 755.11	758.79 754.98
15	756.64 755.23	756.55 755.14	756.56 755.13	756.66 755.18	756.95 755.52	756.86 755.49
16	755.75 756.23	755.79 756.17	755.63 756.12	755.82 756.25	756.03 756.52	755.98 756.52
17	758.71 757.05	758.62 757.11	758.61 756.96	758.76 757.12	759.00 757.34	758.96 757.33
18	759.57 757.30	759.57 757.15	759.45 757.12	759.58 757.27	759.86 757.54	759.80 757.49
19	759.03 757.16	758.99 757.04	758.87 757.05	758.98 757.20	759.36 757.48	759.21 757.43
20	758.89 757.23	758.83 757.24	758.83 757.28	758.91 757.40	759.19 757.71	759.17 757.57
21	758.69 756.53	758.76 756.48	758.76 756.52	758.88 756.69	759.20 756.94	759.08 756.87
22	758.70	758.60	758.69	758.78	759.09	758.99
23	757.91	757.79	757.83	757.97	758.26	758.20
24	757.70 755.78	757.62 755.69	757.69 755.71	757.82 755.83	758.11 756.10	758.07 756.01
25	757.79 755.39	757.80 755.40	757.82 755.39	757.99 755.56	758.31 755.82	758.23 755.82
Therm. 1 b						
26	757.55 754.84	757.77 755.04	757.67 754.95	757.79 755.09	758.09 755.38	758.00 755.38
28	757.44 757.07	757.65 757.22	757.58 757.18	757.74 757.37	758.08 757.71	757.96 757.61
29	757.66 756.69	757.83 756.84	757.75 756.84	757.86 756.98	758.19 757.32	758.16 757.22

Datum 1904	Mittlere Dampfspannung bestimmt durch die Siedethermometer					
	1b	2	3	4	5	6
April 30	759.37	759.43	759.45	759.62	759.90	759.80
Mai 1	761.22	761.37	761.30	761.41	761.77	761.74
	762.57	762.66	762.71	762.85	763.19	763.12
- 2	761.76	766.01	765.86	765.98	766.39	766.28
	764.87	765.13	764.97	765.15	765.50	765.37
- 3	766.96	767.02	767.05	767.17	767.57	767.40
	766.23	766.36	766.15	766.38	766.80	766.67
- 5	764.35	764.34	764.45	764.55	764.93	764.71
	765.06	765.09	765.13	765.24	765.69	765.53
- 6	762.63	762.66	762.67	762.88	763.18	763.08
	763.06	763.32	763.30	763.50	763.92	763.61
- 8	762.57	762.66	762.85	762.81	763.16	763.08
	765.65	765.75	765.76	765.92	766.31	766.21
- 9	765.40	765.42	765.45	765.60	765.99	765.86
	767.49	767.53	767.55	767.64	768.09	767.88
- 10	768.30	768.39	768.39	768.49	769.05	768.73
	766.43	766.38	766.34	766.55	766.87	766.73
- 11	769.76	769.79	769.82	769.86	770.32	770.14

Datum 1904	Messung der Barometerhöhe									
	1. Messung Barometer					2. Messung Barometer				
	I	II	III	IV	V	I	II	III	IV	V
April 1 $t = +16^{\circ}10$	770.76	770.54	770.60	770.83	770.76	770.74	770.54	770.59	770.87	770.77
	78	54	61	87	78	77	56	63	88	77
	81	58	62	89	80	80	60	62	89	80
	85	57	61	90	79	82	58	55	90	81
	81	57	61	87	82	80	59	63	90	80
- 2 $t = +16^{\circ}4$	75	52	57	85	85	75	51	58	84	74
	770.17	769.95	770.02	770.23	770.17	770.16	769.94	770.04	770.25	770.19
	20	96	04	29	21	21	96	06	30	23
	24	96	13	31	25	22	97	09	31	25
	29	770.04	15	38	30	29	770.03	16	40	29
- 3	31	06	20	40	31	31	07	20	43	32
	34	06	14	41	30	32	05	17	41	32

Messung der Barometerhöhe										
Datum 1904	1. Messung Barometer					2. Messung Barometer				
	I	II	III	IV	V	I	II	III	IV	V
April 3 $t = +15^{\circ}8.1$	^{mm} 770.60	^{mm} 770.28	^{mm} 770.40	^{mm} 770.61	—	^{mm} 770.61	^{mm} 770.28	^{mm} 770.41	^{mm} 770.64	—
	56	26	40	59	—	59	26	42	60	—
	55	24	37	53	—	54	24	37	56	—
	52	21	35	55	—	54	19	37	55	—
	51	16	33	50	—	54	17	34	53	—
$t = +15^{\circ}8.0$	—	13	28	47	—	50	04	29	48	—
	—69.22	—68.93	—69.07	—69.24	—69.15	—69.24	—68.94	—69.08	—69.21	—69.17
	27	96	11	25	22	27	97	14	26	23
	28	95	11	27	20	25	97	13	27	23
	30	97	12	29	26	28	98	17	29	24
April 3	35	—69.04	19	35	29	35	—69.06	21	36	31
	32	00	15	33	26	35	01	17	34	27
	—66.21	—65.85	—66.04	—66.20	—66.21	—66.21	—65.87	—66.03	—66.20	—66.17
	10	89	05	15	15	21	04	11	17	17
	23	93	10	22	23	20	91	07	22	19
$t = +15^{\circ}0.0$	26	95	11	27	24	28	92	10	30	25
	31	99	13	31	29	32	98	16	33	29
	34	—66.02	14	34	29	33	—66.01	17	33	30
	—64.13	—63.83	—64.05	—	—64.11	—64.17	—63.83	—64.05	—	—64.08
	09	77	03	—	02	11	77	05	—	05
$t = +15^{\circ}7.4$	06	74	—63.98	—	—63.96	05	74	—63.98	—	—63.96
	—63.89	57	80	—	84	89	57	80	—	85
	86	52	69	—	76	87	56	76	—	88
	—62.82	—62.50	—62.71	—62.82	—62.82	—62.81	—62.53	—62.72	—62.85	—62.83
	80	50	71	81	82	81	52	70	84	84
$t = +16^{\circ}4.1$	79	49	68	82	79	78	50	69	83	82
	79	51	68	82	81	82	51	72	85	82
	79	51	68	84	83	81	51	70	85	83
	84	52	71	84	84	85	56	72	86	86
	—62.06	—61.79	—61.90	—62.18	—62.06	—62.08	—61.80	—61.93	—62.19	—62.07
$t = +16^{\circ}4.4$	06	81	90	18	05	05	79	94	19	06
	07	80	94	20	07	81	07	95	20	08
	08	81	91	19	07	09	82	95	20	08
	11	81	92	18	07	11	83	97	21	09
	12	83	91	20	07	11	85	95	21	09
$t = +16^{\circ}7.7$	—60.86	—60.61	—60.75	—60.92	—60.87	—60.87	—60.61	—60.76	—60.94	—60.90
	84	59	72	89	85	86	59	73	90	84
	86	55	71	87	91	84	57	69	90	84
	83	54	68	86	80	84	54	66	87	82
	86	55	68	88	85	87	57	69	89	82
April 9	85	58	70	90	85	88	58	71	90	85
	—60.60	—60.30	—60.47	—60.65	—60.60	—60.61	—60.32	—60.47	—60.64	—60.60
	62	36	46	65	61	61	34	46	64	61
	67	36	49	67	64	66	37	51	70	64
	71	42	53	72	69	70	41	56	73	70
$t = +17^{\circ}57.5$	75	46	54	78	72	76	46	58	79	73
	77	47	58	80	74	78	47	60	82	74

Datum 1904	Messung der Barometerhöhe									
	1. Messung					2. Messung				
	Barometer					Barometer				
	I	II	III	IV	V	I	II	III	IV	V
April 10	764.56 49 28 47 48 43	764.36 31 28 29 28	764.32 27 14 24 24	764.56 51 49 48 46	764.47 44 39 41 38	764.44 51 48 49 48	764.38 32 29 29 28	764.35 31 26 27 26	764.57 52 46 50 51 49	764.46 41 42 40 48 38
$t = + 18^{\circ} 77$										
April 11	765.24 27 33 37 43	764.90 93 96 01 07	765.00 02 05 08 15	765.20 23 28 33 41	765.13 16 21 29 35	765.23 16 28 36 43	764.88 95 96 02 07	765.02 03 09 13 18	765.22 24 30 36 42	765.15 19 22 28 28 35
$t = + 19^{\circ} 41$										
April 12	765.40 35 35 37 43 38	765.06 03 03 05 05 05	765.24 18 19 15 20 14	765.45 38 38 38 45 40	765.34 29 28 38 38 32	765.42 37 36 38 41 38	765.09 05 03 07 07 07	765.23 16 16 20 20 15	765.46 39 36 40 45 39	765.36 31 29 29 39 33
$t = + 21^{\circ} 15$										
April 13	763.03 07 07 05 04 12	762.78 81 82 76 80 84	762.88 12 12 09 09 91	763.10 03 02 00 00 14	763.00 03 04 08 05 03	763.04 09 08 07 05 13	762.78 81 81 77 79 85	762.87 88 89 86 87 89	763.10 12 13 10 09 16	763.02 05 05 01 01 06
$t = + 21^{\circ} 78$										
April 14	760.34 35 35 36 35 38	760.09 07 06 07 07 07	760.19 20 15 18 17 14	760.38 35 33 36 38 39	760.30 27 26 28 32 31	760.35 36 34 38 36 38	760.09 09 07 08 11 09	760.22 21 19 20 22 20	760.39 39 34 41 39 40	760.32 27 27 31 34 41
$t = + 24^{\circ} 50$										
April 14	— — — — —	761.24 20 16 17 10 10	761.17 35 28 28 24 24	761.39 57 53 53 49 43	— — — — —	— — — — —	761.23 23 18 19 13 05	761.38 36 33 39 24 21	761.62 60 55 55 48 45	— — — — —
$t = + 26^{\circ} 70$										
April 15	757.70 71 68 74 83 88	757.44 45 53 47 56 62	757.53 50 47 50 58 64	757.77 76 76 79 79 88	757.70 70 69 73 80 88	757.69 71 74 74 81 88	757.45 45 44 48 55 62	757.53 56 49 53 58 67	757.79 77 77 80 80 87	757.73 70 71 74 81 88
$t = + 27^{\circ} 60$										
April 15	759.79 75 75 71 69 66	759.48 47 44 43 41 39	759.50 54 49 46 45 44	759.79 79 78 77 74 73	759.71 72 69 69 64 64	759.74 76 74 71 70 67	759.46 48 46 43 43 40	759.51 53 49 46 48 44	759.79 79 80 76 74 75	759.73 72 70 68 66 67
$t = + 27^{\circ} 86$										

Datum 1904	Messung der Barometerhöhe									
	1. Messung					2. Messung				
	Barometer					Barometer				
	I	II	III	IV	V	I	II	III	IV	V
April 15	—	757.97 758.00	757.94 97	758.26 31	758.18 23	—	757.97 758.00	757.93 98	758.25 30	758.18 25
$t = + 28^{\circ}00$	—	—	758.03	30	30	—	—	758.04	38	29
	—	08	07	39	31	—	11	07	43	34
	—	10	07	42	35	—	11	11	43	36
	—	15	13	47	40	—	17	13	45	40
April 16	758.87 81	758.51 47	758.64 62	758.93 86	758.82 76	758.88 81	758.52 49	758.67 65	758.95 89	758.81 80
$t = + 27^{\circ}38$	78	48	60	83	75	78	49	61	84	73
	75	43	57	79	69	74	43	58	81	73
	70	37	50	74	65	70	39	52	76	67
	65	33	45	70	60	65	33	48	71	62
	759.23	758.96	758.97	759.27	759.19	759.23	758.99	758.99	759.27	759.22
$t = + 28^{\circ}25$	29	759.01	99	29	24	28	759.03	759.02	30	25
	35	09	759.06	36	32	32	09	07	36	31
	40	17	14	44	42	42	18	16	45	43
	44	19	16	44	43	46	24	19	47	44
	49	23	19	50	44	47	23	22	52	46
April 17	761.61	761.34	761.39	761.67	—	761.63	761.33	761.40	761.69	—
$t = + 27^{\circ}15$	60	29	37	64	—	61	33	39	66	—
	61	32	37	64	—	63	32	39	66	—
	63	34	37	65	—	63	34	42	66	—
	60	29	35	63	—	61	30	39	66	—
	59	28	35	60	—	56	28	36	62	—
	760.01	759.74	—	760.03	759.98	760.01	759.71	—	760.05	759.99
$t = + 27^{\circ}57$	759.98	70	—	759.99	95	00	69	—	01	98
	99	70	—	760.00	94	02	71	—	00	95
	760.06	77	—	05	760.02	08	76	—	05	760.04
	15	84	—	12	09	14	84	—	13	10
	17	86	—	13	09	16	85	—	17	11
April 18	762.64	762.21	762.43	762.67	762.58	762.62	762.19	762.44	762.69	762.61
$t = + 27^{\circ}66$	60	19	41	65	57	65	19	43	65	58
	60	20	44	64	57	56	20	44	63	60
	58	19	40	62	55	60	19	41	63	56
	57	15	37	60	53	58	14	38	62	54
	58	14	37	59	52	58	13	37	61	53
	760.08	759.83	—	760.12	760.07	760.11	759.84	—	760.16	760.09
$t = + 27^{\circ}48$	13	83	—	17	10	11	83	—	19	09
	14	89	—	23	15	16	89	—	22	16
	27	98	—	31	21	25	96	—	29	24
	29	98	—	33	27	29	99	—	34	28
	38	760.10	—	44	37	36	760.10	—	46	38
April 19	762.01	761.72	—	762.09	762.01	762.16	761.90	—	762.26	762.16
$t = + 27^{\circ}68$	05	77	—	10	02	09	82	—	20	06
	06	80	—	15	04	05	81	—	16	04
	10	84	—	20	06	02	79	—	11	04
	15	90	—	24	16	05	75	—	10	00
	19	93	—	32	19	04	74	—	12	761.98

Datum 1904	Messung der Barometerhöhe									
	1. Messung Barometer					2. Messung Barometer				
	I	II	III	IV	V	I	II	III	IV	V
April 19 $t = + 28^{\circ} 54$	^{mm} 760.28	^{mm} 760.05	—	^{mm} 760.31	^{mm} 760.27	^{mm} 760.27	^{mm} 760.04	—	^{mm} 760.33	^{mm} 760.39
	31	05	—	35	28	32	05	—	37	29
	15	08	—	37	33	35	07	—	38	32
	41	08	—	41	32	37	07	—	41	34
	41	12	—	44	38	41	14	—	46	39
	47	19	—	52	43	47	19	—	53	43
April 20 $t = + 28^{\circ} 10$	^{mm} 761.98	^{mm} 761.75	^{mm} 761.75	^{mm} 761.09	^{mm} 761.98	^{mm} 761.98	^{mm} 761.76	^{mm} 761.78	^{mm} 762.11	^{mm} 762.00
	762.00	75	78	08	98	762.01	75	76	10	01
	03	77	78	11	761.02	06	78	78	11	01
	08	81	81	16	08	09	83	80	15	06
	05	73	75	12	01	04	77	75	09	01
	01	73	72	07	761.98	02	73	74	06	00
April 21 $t = + 28^{\circ} 27$	^{mm} 760.39	^{mm} 760.21	—	^{mm} 760.55	^{mm} 760.38	^{mm} 760.44	^{mm} 760.21	—	^{mm} 760.49	^{mm} 760.41
	43	18	—	54	40	44	18	—	46	39
	43	17	—	55	39	44	20	—	47	40
	48	24	—	61	45	49	24	—	51	46
	65	36	—	54	60	61	37	—	63	58
	67	41	—	56	62	66	41	—	70	63
April 22 $t = + 28^{\circ} 20$	^{mm} 762.08	^{mm} 761.79	^{mm} 761.81	^{mm} 762.15	^{mm} 762.05	^{mm} 762.06	^{mm} 761.79	^{mm} 761.82	^{mm} 762.15	^{mm} 762.04
	06	77	81	12	00	08	77	79	11	01
	10	80	83	14	06	10	79	84	15	05
	09	78	79	13	04	07	78	81	13	05
	05	76	79	15	01	07	77	71	11	03
	07	75	78	10	00	06	77	77	13	02
April 23 $t = + 28^{\circ} 28$	^{mm} 759.76	^{mm} 759.53	—	^{mm} 759.83	^{mm} 759.76	^{mm} 759.80	^{mm} 759.55	—	^{mm} 759.83	^{mm} 759.76
	80	53	—	84	77	81	56	—	83	76
	85	56	—	85	78	84	57	—	87	77
	88	57	—	89	82	89	58	—	90	80
	92	63	—	93	85	93	64	—	95	87
	98	67	—	760.00	91	760.00	65	—	760.01	91
April 24 $t = + 29^{\circ} 30$	^{mm} 762.12	^{mm} 761.91	—	^{mm} 762.28	^{mm} 762.16	^{mm} 762.22	^{mm} 761.90	—	^{mm} 762.28	^{mm} 762.16
	19	90	—	24	12	21	88	—	25	12
	15	86	—	24	14	18	85	—	23	13
	13	78	—	15	07	12	79	—	17	05
	08	78	—	12	02	09	74	—	12	03
	05	73	—	09	761.99	06	74	—	10	01
April 25 $t = + 28^{\circ} 86$	^{mm} 761.01	^{mm} 760.70	^{mm} 760.76	—	^{mm} 760.97	^{mm} 760.99	^{mm} 760.71	^{mm} 760.74	—	^{mm} 760.93
	760.98	69	74	—	94	97	69	75	—	96
	761.09	79	83	—	761.06	761.12	80	84	—	761.07
	16	84	89	—	12	14	86	89	—	10
	20	89	92	—	16	21	90	95	—	16
	20	87	93	—	14	21	88	94	—	15
April 26 $t = + 28^{\circ} 75$	—	^{mm} 760.97	^{mm} 761.04	^{mm} 761.33	^{mm} 761.23	—	^{mm} 760.94	^{mm} 761.02	^{mm} 761.31	^{mm} 761.24
	—	92	760.95	22	17	—	90	760.96	32	17
	—	87	90	23	16	—	85	89	31	16
	—	83	90	18	14	—	83	90	18	13
	—	78	85	15	07	—	80	87	14	08
	—	74	78	08	01	—	68	77	03	760.98

Datum 1974	Messung der Barometerhöhe									
	1. Messung Barometer					2. Messung Barometer				
	I	II	III	IV	V	I	II	III	IV	V
April 24 $t = +28^{\circ}72$	759.05	758.77	758.73	759.05	759.01	759.05	758.76	758.74	759.04	759.01
	00	76	74	04	758.99	04	78	78	07	00
	03	77	75	06	759.02	03	78	77	08	02
	14	82	85	11	08	10	83	82	14	10
	18	85	85	17	10	20	88	85	18	14
April 25 $t = +28^{\circ}98$	24	94	92	22	21	25	97	92	24	23
	761.62	761.19	761.35	761.59	761.54	761.62	761.19	761.35	761.58	761.53
	49	03	38	45	44	49	04	27	48	40
	43	02	13	37	32	43	02	14	38	39
	26	760.96	08	39	25	29	760.96	11	50	25
$t = +27^{\circ}90$	26	91	03	23	21	26	86	03	23	19
	24	85	760.98	19	19	25	86	760.99	21	19
	758.70	758.37	758.39	758.62	758.66	758.72	758.39	758.39	758.60	758.70
	70	36	36	64	65	70	36	38	62	68
	73	38	41	66	73	73	39	40	67	69
April 26 $t = +29^{\circ}69$	75	42	43	71	75	80	45	43	72	77
	761.37	760.99	761.17	761.36	761.35	761.42	760.97	761.20	761.58	761.37
	29	94	10	32	28	30	95	14	32	38
	33	91	04	19	30	30	89	04	21	29
	17	82	760.89	11	16	17	79	760.87	14	12
$t = +30^{\circ}15$	19	82	82	10	17	20	82	85	14	19
	12	75	79	06	07	13	74	81	06	09
	758.43	758.14	758.17	758.40	758.49	758.45	758.14	758.19	758.41	758.46
	43	14	18	39	46	42	15	19	40	45
	48	20	19	44	46	48	19	22	44	48
April 28 $t = +27^{\circ}50$	53	25	19	48	53	57	25	15	50	55
	62	31	27	53	59	62	39	30	55	62
	62	33	33	58	63	66	45	34	61	66
	760.81	760.44	760.39	760.59	760.80	760.83	760.43	760.40	760.59	760.79
	70	37	37	63	71	69	38	37	61	71
$t = +27^{\circ}40$	68	30	26	51	66	69	34	29	52	67
	68	30	28	52	67	67	32	29	51	67
	71	34	28	50	69	68	32	32	50	66
	68	33	25	56	74	67	32	28	46	68
	760.42	760.04	—	760.33	760.42	760.43	760.07	—	760.32	760.41
$t = +27^{\circ}40$	41	09	—	34	31	40	05	—	34	36
	36	59.98	—	28	36	39	02	—	27	36
	40	760.02	—	21	39	36	00	—	18	33
	25	59.88	—	14	21	25	59.87	—	16	22
	20	81	—	06	16	18	78	—	06	11
April 29 $t = +26^{\circ}80$	760.70	760.34	760.32	760.56	760.66	760.69	760.34	760.33	760.55	760.68
	66	32	30	56	62	68	34	32	57	65
	66	30	28	55	64	64	31	30	52	65
	65	30	29	53	64	65	30	28	54	62
	67	30	26	51	64	67	31	29	55	62
$t = +26^{\circ}80$	65	27	29	55	63	64	27	29	55	59

Datum 1904	Messung der Barometerhöhe									
	1. Messung					2. Messung				
	Barometer					Barometer				
	I	II	III	IV	V	I	II	III	IV	V
April 19 $t = +16^{\circ}93$	759.72	759.37	759.34	759.53	759.68	759.69	759.37	759.33	759.56	759.70
	69	37	55	57	67	69	37	37	60	73
	73	38	34	60	68	70	35	37	59	66
	80	41	37	61	76	69	43	40	64	78
	79	47	42	69	80	84	46	45	70	81
	83	49	46	73	76	82	47	46	74	77
April 30 $t = +16^{\circ}32$	762.32	761.84	761.86	762.05	762.33	762.30	761.84	761.85	762.07	762.34
	33	87	87	03	35	32	84	76	761.97	34
	31	86	83	01	38	37	85	77	96	40
	37	86	77	761.96	44	33	86	83	762.02	40
	28	88	82	762.03	41	35	87	77	00	41
	36	89	75	762.99	41	37	94	78	01	44
Mai 1 $t = +14^{\circ}07$	765.93	765.44	765.44	765.62	765.83	765.92	765.45	765.46	765.63	765.84
	90	46	46	60	81	91	46	46	64	85
	82	37	39	57	74	81	37	39	57	75
	87	31	26	40	83	88	34	31	41	80
	79	28	27	42	81	79	29	30	44	71
	76	23	22	33	70	77	25	22	34	73
$t = +14^{\circ}10$	765.11	764.62	764.60	764.79	765.07	765.08	764.67	764.62	764.79	765.06
	05	64	65	81	00	02	61	64	80	02
	09	67	66	78	05	07	63	64	80	04
	11	68	66	83	06	11	67	67	85	08
	14	70	77	79	08	13	74	74	90	08
	14	71	71	90	14	11	74	73	89	11
Mai 2 $t = +12^{\circ}25$	767.92	767.59	767.74	767.86	767.89	767.89	767.58	767.76	767.88	767.89
	91	56	72	85	87	92	60	72	87	89
	91	58	72	86	86	89	58	71	87	87
	89	57	71	84	85	91	57	72	85	88
	88	55	70	85	89	91	57	71	83	90
	89	53	69	85	87	89	54	68	82	83
$t = +12^{\circ}60$	766.98	766.66	766.73	—	767.01	766.99	766.66	766.75	—	767.00
	98	67	71	—	766.89	97	66	71	—	66.98
	97	67	71	—	95	96	66	73	—	99
	96	63	70	—	97	95	64	69	—	99
	99	66	71	—	767.00	767.01	65	69	—	767.02
	767.07	71	75	—	06	06	72	75	—	05
Mai 3 $t = +12^{\circ}40$	768.86	768.48	768.56	768.74	768.86	768.88	768.47	768.54	768.73	768.88
	89	53	55	71	93	88	51	56	73	93
	85	47	52	70	81	83	45	53	71	84
	84	47	52	72	83	84	46	55	73	84
	77	39	50	65	80	78	39	47	65	80
	76	34	48	63	78	75	37	46	62	75
$t = +12^{\circ}40$	767.96	767.61	767.65	767.83	767.98	767.98	767.60	767.68	767.82	768.00
	768.00	66	68	82	98	61	48	56	83	767.97
	02	66	68	85	768.03	768.05	64	67	83	768.02
	767.99	59	64	83	767.98	767.99	59	66	82	767.98
	99	62	67	85	98	768.00	64	69	85	96
	768.04	68	73	89	768.01	04	67	71	90	768.03

Datum 1904	Messung der Barometerhöhe									
	1. Messung Barometer					2. Messung Barometer				
	I	II	III	IV	V	I	II	III	IV	V
Mai 5 $t = + 10^{\circ}20$	765.49	765.15	765.15	765.39	765.47	765.47	765.13	765.31	765.39	765.48
	46	13	25	38	43	43	11	27	35	42
	46	12	26	38	42	45	11	27	36	41
	45	11	24	36	42	40	08	20	31	39
	43	10	25	39	42	35	01	15	30	32
	41	04	18	39	33	32	01	10	27	28
Mai 6 $t = + 10^{\circ}38$	764.09	763.76	764.03	—	764.06	764.13	763.76	764.08	—	764.11
	02	07	763.90	—	763.99	763.99	67	763.91	—	763.97
	02	08	85	—	99	764.04	67	83	—	99
	763.98	07	84	—	97	02	68	85	—	764.01
	764.06	71	87	—	764.02	06	70	88	—	03
	05	70	85	—	04	03	69	82	—	02
$t = + 19^{\circ}68$	763.60	763.23	763.37	763.55	763.61	763.64	763.25	763.37	763.56	763.62
	51	21	35	45	58	52	20	34	46	56
	48	15	25	41	52	50	14	25	41	50
	51	14	21	41	49	51	15	22	39	49
	52	17	26	42	52	54	17	26	41	53
	52	13	23	42	49	50	15	26	41	52
Mai 8 $t = + 16^{\circ}17$	763.52	763.21	763.36	763.53	763.56	763.52	763.22	763.37	763.53	763.54
	51	18	31	50	50	53	19	31	52	49
	52	18	28	50	47	52	20	30	46	51
	47	17	28	48	48	46	16	32	49	47
	50	14	25	46	46	51	19	28	49	46
	49	13	27	47	39	47	13	25	45	43
$t = + 16^{\circ}00$	762.72	762.43	762.50	762.76	762.73	762.78	762.45	762.50	762.76	762.72
	74	45	52	75	71	76	43	52	79	72
	76	48	53	78	74	78	47	53	82	73
	81	51	55	79	76	81	51	55	81	78
	87	58	60	88	82	90	60	60	87	85
	93	61	66	92	86	94	61	66	91	88
Mai 9 $t = + 17^{\circ}48$	766.51	766.16	766.31	766.54	766.44	766.50	766.16	766.32	766.54	766.48
	42	07	24	46	41	46	09	24	48	41
	40	03	22	40	35	37	06	23	40	34
	36	03	20	38	33	36	04	22	40	35
	32	765.98	20	37	32	32	02	20	36	32
	30	96	15	31	27	31	765.94	15	31	19
$t = + 18^{\circ}07$	765.96	765.64	765.75	766.00	765.91	765.96	765.66	765.75	765.99	765.93
	766.02	72	80	04	99	99	69	79	766.03	98
	07	76	82	09	766.00	766.03	72	80	05	98
	07	77	84	08	05	08	77	81	766.06	98
	13	80	88	14	07	12	80	86	15	08
	15	86	90	19	11	14	84	91	20	12
Mai 10 $t = + 18^{\circ}53$	768.23	767.94	768.04	768.29	768.23	768.24	767.93	768.04	768.28	768.20
	21	92	02	27	19	21	89	02	28	19
	23	88	767.99	25	19	21	89	767.98	25	19
	21	90	98	25	21	21	89	99	25	19
	22	90	99	25	18	23	89	768.02	24	18
	19	88	98	26	17	19	87	767.97	25	17

Datum 1904	Messung der Barometerhöhe									
	1. Messung Barometer					2. Messung Barometer				
	I	II	III	IV	V	I	II	III	IV	V
Mai 11 $t = +17.88$	768.89	768.63	768.77	768.93	768.91	768.88	768.60	768.78	768.95	768.90
	86	54	73	91	88	84	53	42	87	85
	88	52	70	88	85	88	54	69	87	84
	99	66	81	98	96	97	66	81	769.00	98
	91	62	78	95	90	93	59	78	768.96	91
t = +19.20	81	50	70	87	85	93	51	69	87	83
	766.98	766.69	766.79	—	766.95	766.99	766.67	766.79	—	766.92
	99	68	78	—	96	99	68	78	—	94
	98	67	78	—	95	99	67	78	—	96
	99	69	79	—	95	767.02	70	80	—	98
Mai 12 $t = +19.95$	767.09	767.09	767.09	—	767.06	767.06	767.06	767.06	—	767.07
	05	73	85	—	03	06	74	88	—	02
	—	770.15	770.25	770.51	—	—	770.14	770.23	770.50	—
	—	12	21	45	—	—	11	23	48	—
	—	10	19	45	—	—	10	22	45	—
	—	10	20	46	—	—	12	22	45	—
	—	09	19	42	—	—	10	19	44	—
	—	08	20	44	—	—	11	21	45	—

Barometer I.

Datum 1904	Barometernittel			Korrektion wegen				Ver- besserte Ablesung
	1. Messung	2. Messung	Mittel	Temperatur	Bandbreite	Schwärzung	Stand	
April 1	770.79	770.78	770.79	— 2.15	— 0.07	— 0.01	— 0.03	768.53
	770.26	770.26	770.26	— 2.20	— 0.09	— 0.01	— 0.03	767.93
- 3	770.55	770.55	770.55	— 2.11	— 0.14	— 0.01	— 0.03	768.26
	769.29	769.29	769.29	— 2.10	— 0.17	— 0.01	— 0.02	766.99
- 5	766.26	766.26	766.26	— 2.25	— 0.15	— 0.01	— 0.02	763.83
- 7	764.00	764.01	764.01	— 2.08	— 0.14	— 0.01	— 0.01	761.77
	762.81	762.81	762.81	— 2.17	— 0.17	0.00	— 0.01	760.46
- 8	762.08	762.08	762.08	— 2.17	— 0.11	— 0.01	— 0.01	759.78
	760.85	760.86	760.85	— 2.20	— 0.10	0.00	0.00	758.55
- 9	760.69	760.69	760.69	— 2.31	— 0.17	0.00	0.00	758.21
- 10	764.49	764.48	764.48	— 2.48	— 0.13	0.00	— 0.01	761.86
- 11	765.32	765.31	765.32	— 2.57	— 0.16	0.00	— 0.01	762.58
- 12	765.38	765.39	765.38	— 2.80	— 0.13	0.00	— 0.01	762.44
	763.06	763.08	763.07	— 2.88	— 0.20	0.00	— 0.01	759.98
- 13	760.36	760.36	760.36	— 3.29	— 0.20	0.00	0.00	756.87

Datum 1904	Barometermittel			Korrektion wegen			Stand	Ver- besserte Ablesung
	1. Messung	2. Messung	Mittel	Temperatur	Bandbreite	Schwärzung		
April 14	757.76 —	757.76 —	757.76 —	— 3.51 — 3.62	— 0.16 —	0.00 —	+ 0.01	755.99
— 15	759.73 —	759.73 —	759.73 —	— 3.67 — 3.67	— 0.13 —	0.00 —	0.00	755.92
— 16	758.76 759.37	758.76 759.36	758.76 759.36	— 3.60 — 3.72	— 0.18 — 0.16	0.00 0.00	0.00 0.00	754.98 755.43
— 17	761.61 760.06	761.61 760.07	761.61 760.07	— 3.58 — 3.63	— 0.13 — 0.15	0.00 0.00	0.00 0.00	757.90 756.29
— 18	762.60 760.22	762.60 760.21	762.60 760.21	— 3.66 — 3.62	— 0.12 — 0.12	0.00 — 0.01	— 0.01	758.81 756.46
— 19	762.09 760.37	762.07 760.37	762.08 760.37	— 3.66 — 3.75	— 0.10 — 0.12	0.00 0.00	— 0.01 0.00	758.31 756.50
— 20	762.02 760.51	762.03 760.51	762.03 760.51	— 3.70 — 3.72	— 0.12 — 0.12	0.00 0.00	0.00 0.00	758.21 756.67
— 21	762.08 759.87	762.07 759.88	762.07 759.88	— 3.73 — 3.80	— 0.13 — 0.13	0.00 0.00	— 0.01 0.00	758.20 755.95
— 22	762.14 —	762.15 —	762.14 —	— 3.86 —	— 0.12 —	0.00 —	— 0.01	758.15
— 23	761.11 —	761.11 —	761.11 —	— 3.80 —	— 0.13 —	0.00 —	0.00	757.13
— 24	759.11 —	759.11 —	759.11 —	— 3.79 — 3.77	— — 0.15	— 0.00	— 0.00	755.19
— 25	761.38 758.72	761.39 758.73	761.39 758.72	— 3.82 — 3.67	— 0.15 — 0.14	0.00 0.00	0.00 0.00	757.42 754.91
— 26	761.24 758.53	761.25 758.53	761.24 758.53	— 3.90 — 3.96	— 0.09 — 0.10	0.00 0.00	0.00 0.00	757.25 754.47
— 28	760.71 760.34	760.71 760.34	760.71 760.34	— 3.62 — 3.61	— 0.12 — 0.10	0.00 0.00	0.00 0.00	756.97 756.65
— 29	760.67 759.76	760.66 759.74	760.67 759.75	— 3.53 — 3.54	— 0.10 — 0.10	0.00 0.00	0.00 0.00	757.05 756.11
— 30	762.33 —	762.34 —	762.33 —	— 3.48 —	— 0.16 —	0.00 —	— 0.01	758.68
Mai 1	765.85 765.11	765.85 765.09	765.85 765.10	— 3.20 — 3.20	— 0.16 — 0.18	0.00 0.00	— 0.01 — 0.01	762.48 761.71
— 2	767.90 766.99	767.90 766.99	767.90 766.99	— 3.96 — 3.00	— 0.16 — 0.18	0.00 0.00	— 0.01 — 0.02	764.76 763.79
— 3	768.83 768.00	768.83 768.01	768.83 768.00	— 2.98 — 2.98	— 0.11 — 0.11	— 0.01 0.00	— 0.02 — 0.02	765.71 764.87
— 5	765.44 —	765.40 —	765.42 —	— 3.68 —	— 0.13 —	0.00 —	— 0.01	762.60
— 6	764.04 763.53	764.05 763.54	764.05 763.53	— 3.70 — 3.60	— 0.16 — 0.13	— 0.01 0.00	— 0.01 — 0.01	761.17 760.79

Datum 1904	Barometermittel			Korrektion wegen				Ver- besserte Ablesung
	1. Messung	2. Messung	Mittel	Temperatur	Bandbreite	Schwärzung	Stand	
Mai 8	761.50	761.40	761.50	-2.14	-0.12	0.00	-0.01	761.23
	762.81	762.83	762.82	-2.11	-0.14	0.00	-0.01	760.56
- 9	766.39	766.39	766.39	-2.32	-0.14	0.00	-0.02	763.91
	766.07	766.05	766.06	-2.40	-0.15	0.00	-0.01	763.50
- 10	768.14	768.13	768.13	-2.46	-0.10	-0.01	-0.02	765.54
	768.89	768.91	768.90	-2.53	-0.12	-0.01	-0.02	766.37
	767.01	767.02	767.01	-2.56	-0.13	0.00	-0.02	764.31
- 12	—	—	—	-2.65	—	—	—	—

Barometer II.

Datum 1904	Barometermittel			Korrektion wegen				Ver- besserte Ablesung
	1. Messung	2. Messung	Mittel	Temperatur	Bandbreite	Schwärzung	Stand	
April 2	770.55	770.56	770.56	-2.15	-0.18	0.00	+0.12	768.35
	770.00	770.00	770.00	-2.20	-0.19	-0.01	+0.11	767.71
- 3	770.21	770.19	770.20	-2.11	-0.19	-0.01	+0.12	768.01
	768.98	768.99	768.98	-2.10	-0.22	0.00	+0.10	766.76
- 5	765.94	765.93	765.94	-2.25	-0.19	-0.01	+0.07	763.56
	763.69	763.69	763.69	-2.08	-0.18	-0.01	+0.04	761.46
	762.51	762.52	762.52	-2.17	-0.22	0.00	+0.03	760.16
- 8	761.82	761.82	761.82	-2.17	-0.16	0.00	+0.02	759.51
	760.57	760.58	760.57	-2.20	-0.18	0.00	+0.01	758.20
- 9	760.40	760.40	760.40	-2.31	-0.20	+0.01	0.00	757.90
- 10	764.45	764.46	764.46	-2.48	-0.27	0.00	+0.05	761.76
	764.97	764.98	764.97	-2.57	-0.19	0.00	+0.06	761.27
- 12	765.06	765.07	765.07	-2.80	-0.18	0.00	+0.06	762.15
	762.80	762.80	762.80	-2.88	-0.27	0.00	+0.03	759.68
- 13	760.08	760.09	760.08	-1.29	-0.27	0.00	0.00	756.52
- 14	761.16	761.17	761.17	-1.51	-0.16	0.00	+0.01	757.51
	757.51	757.50	757.51	-1.62	-0.20	+0.01	-0.03	753.67
- 15	759.44	759.44	759.44	-1.67	-0.15	0.00	-0.01	755.61
	758.06	758.07	758.06	-1.67	-0.14	0.00	-0.02	754.23
- 16	758.43	758.44	758.44	-1.60	-0.22	0.00	-0.02	754.60
	759.11	759.13	759.12	-1.78	-0.19	0.00	-0.01	755.20
- 17	761.31	761.32	761.31	-1.58	-0.17	0.00	+0.02	757.58
	759.76	759.76	759.76	-1.63	-0.18	0.00	0.00	755.95

Datum 1904	Barometermittel			Korrektion wegen				Ver- besserte Ablesung
	1. Messung	2. Messung	Mittel	Temperatur	Bandbreite	Schwärzung	Stand	
April 18	762.18	762.17	762.18	- 3.66	- 0.17	+ 0.01	+ 0.01	758.38
	759.94	759.94	759.94	- 3.62	- 0.18	- 0.01	0.00	756.13
" 19	761.83	761.80	761.82	- 3.66	- 0.18	0.00	+ 0.02	758.00
	760.10	760.09	760.09	- 3.75	- 0.18	0.00	0.00	756.16
" 20	761.76	761.77	761.77	- 3.70	- 0.18	0.00	+ 0.02	757.91
	760.26	760.27	760.26	- 3.72	- 0.18	0.00	0.00	756.36
" 21	761.78	761.78	761.78	- 3.73	- 0.19	0.00	+ 0.02	757.88
	759.58	759.59	759.59	- 3.80	- 0.18	+ 0.01	0.00	755.62
" 22	761.83	761.82	761.82	- 3.86	- 0.18	+ 0.01	+ 0.02	757.81
" 23	760.80	760.81	760.81	- 3.80	- 0.17	0.00	+ 0.01	756.85
" 24	760.85	760.83	760.84	- 3.79	- 0.18	0.00	+ 0.01	756.88
	758.82	758.83	758.83	- 3.77	- 0.18	0.00	- 0.02	754.87
" 25	761.00	760.99	760.99	- 3.82	- 0.19	0.00	+ 0.01	756.99
	758.38	758.40	758.39	- 3.67	- 0.20	0.00	- 0.02	754.50
" 26	760.87	760.86	760.86	- 3.90	- 0.11	0.00	+ 0.01	756.86
	758.23	758.26	758.25	- 3.96	- 0.15	0.00	- 0.02	754.12
" 28	760.34	760.35	760.35	- 3.62	- 0.16	0.00	0.00	756.57
	759.97	759.97	759.97	- 3.61	- 0.15	0.00	0.00	756.21
" 29	760.31	760.31	760.31	- 3.52	- 0.14	0.00	0.00	756.65
	759.41	759.41	759.41	- 3.54	- 0.13	0.00	- 0.01	755.73
" 30	761.87	761.87	761.87	- 3.48	- 0.22	0.00	+ 0.02	758.19
Mai 1	765.35	765.57	765.46	- 3.20	- 0.18	- 0.01	+ 0.06	762.03
	764.67	764.68	764.67	- 3.20	- 0.19	0.00	+ 0.05	761.33
" 2	767.56	767.57	767.57	- 2.96	- 0.20	0.00	+ 0.09	764.50
	766.66	766.66	766.66	- 3.00	- 0.22	- 0.01	+ 0.08	763.51
" 3	768.45	768.44	768.44	- 2.98	- 0.14	- 0.01	+ 0.10	765.41
	767.63	767.63	767.63	- 2.98	- 0.16	- 0.01	+ 0.09	764.57
" 5	765.11	765.08	765.10	- 2.68	- 0.19	0.00	+ 0.06	762.29
" 6	763.70	763.70	763.70	- 2.70	- 0.20	0.00	+ 0.04	760.84
	763.17	763.18	763.17	- 2.60	- 0.17	0.00	+ 0.04	760.44
" 8	763.17	763.18	763.18	- 2.14	- 0.17	0.00	+ 0.04	760.91
	762.51	762.51	762.51	- 2.11	- 0.20	0.00	+ 0.03	760.23
" 9	766.04	766.05	766.04	- 2.32	- 0.18	0.00	+ 0.07	763.61
	765.76	765.75	765.76	- 2.47	- 0.18	0.00	+ 0.07	763.25
" 10	767.82	767.82	767.82	- 2.46	- 0.13	- 0.01	+ 0.09	765.31
" 11	768.57	768.57	768.57	- 2.38	- 0.16	- 0.01	+ 0.10	766.12
	766.71	766.71	766.71	- 2.56	- 0.17	+ 0.02	+ 0.08	764.07
" 12	770.11	770.11	770.11	- 2.65	- 0.15	0.00	+ 0.12	767.43

Barometer III.

Datum 1904	Barometermittel			Korrektion wegen				Ver- besserte Ablebung
	1. Messung	2. Messung	Mittel	Temperatur	Bandbreite	Schwarzung	Stand	
April 2	770.60	770.60	770.60	-2.15	-0.11	0.00	+0.09	768.43
	770.11	770.12	770.12	-2.20	-0.14	0.00	+0.09	767.87
" 3	770.36	770.37	770.36	-2.11	-0.17	-0.01	+0.09	768.16
	769.13	769.15	769.14	-2.10	-0.21	0.00	+0.08	766.91
" 5	766.10	766.10	766.10	-2.25	-0.20	-0.01	+0.05	763.69
" 7	761.91	761.92	761.92	-2.08	-0.19	-0.01	+0.01	761.67
	762.70	762.71	762.71	-2.17	-0.23	0.00	+0.02	760.33
" 8	761.91	761.94	761.93	-2.17	-0.18	0.00	+0.02	759.60
	760.71	760.71	760.71	-2.20	-0.19	0.00	+0.01	758.33
" 9	760.51	760.53	760.52	-2.31	-0.21	0.00	0.00	758.00
" 10	764.41	764.43	764.42	-2.48	-0.16	0.00	+0.04	761.82
" 11	765.06	765.09	765.07	-2.57	-0.20	0.00	+0.04	762.34
" 12	765.18	765.18	765.18	-2.80	-0.17	0.00	+0.04	762.25
	762.88	762.88	762.88	-2.88	-0.23	0.00	+0.02	759.79
" 13	760.17	760.21	760.19	-3.29	-0.25	0.00	0.00	756.65
" 14	761.29	761.30	761.30	-3.51	-0.17	0.00	+0.01	757.61
	757.54	757.56	757.55	-3.62	-0.20	+0.01	-0.02	753.72
" 15	759.48	759.48	759.48	-3.67	-0.13	0.00	0.00	755.68
	758.04	758.04	758.04	-3.67	-0.16	0.00	-0.02	754.19
" 16	758.56	758.58	758.57	-3.60	-0.23	0.00	-0.01	754.73
	759.09	759.11	759.10	-3.72	-0.20	0.00	-0.01	755.17
" 17	761.37	761.39	761.38	-3.58	-0.18	0.00	+0.01	757.63
	—	—	—	—	—	—	—	—
" 18	762.40	762.41	762.41	-3.66	-0.19	0.00	+0.02	758.58
" 19	—	—	—	—	—	—	—	—
" 20	761.77	761.77	761.77	-3.70	-0.17	0.00	+0.02	757.92
" 21	761.80	761.79	761.79	-3.73	-0.19	0.00	+0.02	757.89
" 22	—	—	—	—	—	—	—	—
" 23	760.85	760.85	760.85	-3.80	-0.18	0.00	+0.01	756.88
" 24	760.90	760.90	760.90	-3.79	-0.19	0.00	+0.01	756.93
	758.60	758.81	758.81	-3.77	-0.17	0.00	-0.01	754.86
" 25	761.14	761.15	761.14	-3.82	-0.21	0.00	+0.01	757.12
	758.40	758.40	758.40	-3.67	-0.21	0.00	-0.01	754.51

Datum 1904	Barometermittel			Korrektion wegen				Ver- besserte Ablesung
	1. Messung	2. Messung	Mittel	Temperatur	Bandbreite	Schwarzung	Stand	
April 26	^{758.22} 758.22	^{760.99} 758.25	^{760.98} 758.23	^{-3.90} -3.96	^{-0.13} -0.17	^{0.00} 0.00	^{+0.01} -0.02	^{757.96} 754.48
	—	—	—	—	—	—	—	—
	760.31	760.32	760.32	-3.62	-0.16	0.00	0.00	756.54
" 28	—	—	—	—	—	—	—	—
	760.29	760.30	760.30	-3.52	-0.15	0.00	0.00	756.63
" 29	759.38	759.40	759.39	-3.54	-0.14	0.00	-0.01	755.70
	—	—	—	—	—	—	—	—
" 30	761.82	761.79	761.81	-3.48	-0.14	+0.01	+0.02	758.23
	—	—	—	—	—	—	—	—
Mai 1	765.34	765.36	765.35	-3.20	-0.18	-0.01	+0.03	762.03
	764.68	764.67	764.68	-3.20	-0.21	0.00	+0.04	761.31
" 2	767.71	767.72	767.71	-2.96	-0.25	-0.02	+0.07	764.55
	766.72	766.72	766.72	-3.00	-0.23	-0.01	+0.06	763.54
" 3	768.52	768.52	768.52	-2.98	-0.16	-0.01	+0.07	765.44
	767.67	767.68	767.68	-2.98	-0.17	-0.01	+0.07	764.59
" 5	765.25	765.22	765.23	-2.68	-0.21	-0.01	+0.04	762.37
	—	—	—	—	—	—	—	—
" 6	763.90	763.90	763.90	-2.70	-0.21	-0.01	+0.03	761.03
	763.28	763.28	763.28	-2.60	-0.17	0.00	+0.03	760.54
" 8	763.29	763.30	763.30	-2.34	-0.18	0.00	+0.03	761.03
	762.56	762.56	762.56	-2.31	-0.21	0.00	+0.02	760.26
" 9	766.22	766.23	766.23	-2.32	-0.19	0.00	+0.05	763.77
	765.83	765.82	765.82	-2.40	-0.19	0.00	+0.05	763.28
" 10	767.92	767.92	767.92	-2.46	-0.14	0.00	+0.07	765.39
	—	—	—	—	—	—	—	—
" 11	768.75	768.74	768.75	-2.38	-0.22	-0.01	+0.08	766.22
	766.81	766.82	766.81	-2.56	-0.19	0.00	+0.06	764.12
" 12	—	—	—	—	—	—	—	—
	770.21	770.21	770.21	-2.65	-0.16	0.00	+0.09	767.49

Barometer IV.

Datum 1904	Barometermittel			Korrektion wegen				Ver- besserte Ablesung
	1. Messung	2. Messung	Mittel	Temperatur	Bandbreite	Schwarzung	Stand	
April 2	^{770.87} 770.14	^{770.88} 770.35	^{770.88} 770.34	^{-2.15} -2.20	^{-0.15} -0.18	^{-0.01} -0.01	^{-0.03} -0.02	^{768.54} 767.93
	—	—	—	—	—	—	—	—
" 3	770.54	770.56	770.55	-2.11	-0.15	-0.01	-0.02	768.26
	769.29	769.29	769.29	-2.10	-0.18	0.00	-0.02	766.99
" 5	766.26	766.26	766.26	-2.23	-0.19	-0.01	-0.02	763.79
	—	—	—	—	—	—	—	—
" 7	762.83	762.85	762.84	-2.17	-0.19	0.00	-0.01	760.47
	—	—	—	—	—	—	—	—

Datum 1904	Barometermittel			Korrektion wegen				Ver- besserte Ablesung
	1. Messung	2. Messung	Mittel	Temperatur	Bandbreite	Schwärzung	Stand	
April 8	762.19	762.20	762.19	- 2.17	- 0.17	0.00	- 0.01	759.84
	760.89	760.90	760.90	- 2.20	- 0.15	0.00	0.00	758.55
" 9	760.71	760.71	760.71	- 2.31	- 0.20	0.00	0.00	758.20
" 10	764.65	764.66	764.66	- 2.48	- 0.14	0.00	- 0.01	762.03
" 11	765.29	765.31	765.30	- 2.57	- 0.17	0.00	- 0.01	762.55
" 12	765.40	765.41	765.41	- 2.80	- 0.16	0.00	- 0.01	762.44
	763.11	763.12	763.11	- 2.88	- 0.21	0.00	- 0.01	760.01
" 13	760.37	760.39	760.38	- 3.29	- 0.23	0.00	0.00	756.86
" 14	761.52	761.54	761.53	- 3.51	- 0.16	0.00	- 0.01	757.85
	757.79	757.80	757.80	- 3.62	- 0.19	+ 0.01	+ 0.01	754.01
" 15	759.77	759.77	759.77	- 3.67	- 0.13	0.00	0.00	755.97
	758.37	758.37	758.37	- 3.67	- 0.16	0.00	0.00	754.54
" 16	758.81	758.83	758.82	- 3.60	- 0.19	0.00	0.00	755.03
	759.38	759.40	759.39	- 3.72	- 0.17	0.00	0.00	755.50
" 17	761.64	761.66	761.65	- 3.58	- 0.16	0.00	0.00	757.91
	760.05	760.07	760.06	- 3.63	- 0.16	0.00	0.00	756.27
" 18	762.63	762.64	762.63	- 3.60	- 0.16	0.00	- 0.01	758.80
	760.27	760.28	760.28	- 3.62	- 0.18	- 0.01	0.00	756.47
" 19	762.18	762.16	762.17	- 3.66	- 0.18	0.00	- 0.01	758.32
	760.40	760.41	760.41	- 3.75	- 0.18	0.00	0.00	756.18
" 20	762.11	762.10	762.10	- 3.70	- 0.17	- 0.01	0.00	758.22
	760.56	760.54	760.55	- 3.72	- 0.16	0.00	0.00	756.67
" 21	762.13	762.13	762.13	- 3.73	- 0.18	- 0.01	0.00	758.21
	759.89	759.90	759.90	- 3.80	- 0.16	+ 0.01	0.00	755.95
" 22	762.19	762.19	762.19	- 3.86	- 0.15	0.00	- 0.01	758.17
" 23	—	—	—	—	—	—	—	—
" 24	761.20	761.18	761.19	- 3.79	- 0.16	0.00	0.00	757.24
	759.11	759.13	759.12	- 3.77	- 0.18	0.00	0.00	755.17
" 25	761.35	761.36	761.36	- 3.81	- 0.19	0.00	0.00	757.35
	758.06	758.65	758.65	- 3.67	- 0.19	0.00	0.00	754.79
" 26	761.19	761.21	761.20	- 3.90	- 0.11	0.00	0.00	757.19
	758.47	758.49	758.48	- 3.96	- 0.15	0.00	0.00	754.37
" 28	760.54	760.53	760.54	- 3.62	- 0.15	- 0.01	0.00	756.76
	760.23	760.22	760.22	- 3.61	- 0.14	0.00	0.00	756.47
" 29	760.54	760.55	760.55	- 3.52	- 0.14	- 0.01	0.00	756.88
	759.62	759.64	759.63	- 3.54	- 0.14	0.00	0.00	755.95
" 30	762.01	762.00	762.01	- 3.48	- 0.15	- 0.01	0.00	758.37

Datum 1904	Barometermittel			Korrektion wegen				Ver- besserte Ablesung
	1. Messung	2. Messung	Mittel	Temperatur	Bandbreite	Schwärzung	Stand	
Mai 1	^{mitt} 765.49	^{mitt} 764.82	^{mitt} 765.50	^{mitt} — 3.20	^{mitt} — 0.17	^{mitt} — 0.01	^{mitt} — 0.01	^{mitt} 762.11
	764.82	764.84	764.83	— 3.20	— 0.19	0.00	— 0.01	761.43
" 2	767.85	767.85	767.85	— 2.96	— 0.18	— 0.01	— 0.02	764.68
" 3	^{mitt} 768.69	^{mitt} 767.85	^{mitt} 768.69	^{mitt} — 2.98	^{mitt} — 0.14	^{mitt} — 0.01	^{mitt} — 0.02	^{mitt} 765.54
	767.85	767.84	767.85	— 2.98	— 0.15	— 0.01	— 0.02	764.69
" 5	765.38	765.33	765.35	— 2.68	— 0.17	— 0.01	— 0.01	762.48
" 6	^{mitt} 763.45	^{mitt} 763.44	^{mitt} 763.45	^{mitt} — 2.60	^{mitt} — 0.14	^{mitt} 0.00	^{mitt} — 0.01	^{mitt} 760.70
	763.45	763.44	763.45	— 2.60	— 0.14	0.00	— 0.01	760.70
" 8	^{mitt} 763.49	^{mitt} 763.84	^{mitt} 763.49	^{mitt} — 2.14	^{mitt} — 0.15	^{mitt} — 0.01	^{mitt} — 0.01	^{mitt} 761.18
	763.49	763.83	763.82	— 2.14	— 0.17	0.00	— 0.01	760.53
" 9	^{mitt} 766.41	^{mitt} 766.09	^{mitt} 766.41	^{mitt} — 2.32	^{mitt} — 0.18	^{mitt} — 0.01	^{mitt} — 0.02	^{mitt} 763.88
	766.09	766.09	766.09	— 2.40	— 0.18	0.00	— 0.02	763.49
" 10	768.18	768.18	768.18	— 2.46	— 0.13	— 0.01	— 0.02	765.56
" 11	768.92	768.92	768.92	— 2.38	— 0.16	— 0.01	— 0.02	766.35
" 12	770.45	770.46	770.45	— 2.65	— 0.14	— 0.01	— 0.02	767.63
" 13	771.79	771.79	771.79	— 2.58	— 0.11	— 0.03	— 0.02	769.05

Barometer V.

Datum 1904	Barometermittel			Korrektion wegen				Ver- besserte Ablesung
	1. Messung	2. Messung	Mittel	Temperatur	Bandbreite	Schwärzung	Stand	
April 2	^{mitt} 770.80	^{mitt} 770.25	^{mitt} 770.79	^{mitt} — 2.15	^{mitt} — 0.09	^{mitt} — 0.01	^{mitt} — 0.03	^{mitt} 768.51
	770.80	770.26	770.26	— 2.20	— 0.11	— 0.01	— 0.03	767.91
" 3	769.23	769.24	769.23	— 2.10	— 0.15	0.00	— 0.02	766.96
" 5	766.23	766.23	766.23	— 2.25	— 0.16	— 0.01	— 0.02	763.79
" 7	^{mitt} 763.94	^{mitt} 762.83	^{mitt} 763.94	^{mitt} — 2.08	^{mitt} — 0.14	^{mitt} — 0.01	^{mitt} — 0.01	^{mitt} 761.70
	762.83	762.83	762.83	— 2.17	— 0.17	— 0.01	— 0.01	760.47
" 8	^{mitt} 762.06	^{mitt} 760.85	^{mitt} 762.07	^{mitt} — 2.17	^{mitt} — 0.12	^{mitt} 0.00	^{mitt} — 0.01	^{mitt} 759.77
	760.85	760.85	760.85	— 2.20	— 0.14	0.00	0.00	758.51
" 9	760.67	760.67	760.67	— 2.31	— 0.17	0.00	0.00	753.19
" 10	764.57	764.56	764.57	— 2.48	— 0.12	0.00	— 0.01	761.96
" 11	765.23	765.24	765.23	— 2.57	— 0.14	0.00	— 0.01	762.51

Datum 1904	Barometernittel			Korrektion wegen				Ver- besserte Ablesung
	1. Messung	2. Messung	Mittel	Temperatur	Bandbreite	Schwärzung	Stand	
April 12	765.32	765.33	765.33	-2.80	-0.13	0.00	-0.01	762.39
	763.02	763.03	763.02	-2.88	-0.18	0.00	-0.01	759.95
" 13	760.29	760.31	760.30	-3.29	-0.19	0.00	0.00	756.82
" 14	757.75	757.76	757.75	-3.62	-0.16	+0.01	-0.01	753.97
" 15	759.68	759.69	759.69	-3.67	-0.11	0.00	0.00	755.91
	758.30	758.30	758.30	-3.67	-0.13	0.00	0.00	754.50
" 16	758.71	758.73	758.72	-3.60	-0.16	0.00	0.00	754.96
	759.34	759.35	759.35	-3.72	-0.14	0.00	0.00	755.49
" 17	760.01	760.02	760.01	-3.63	-0.15	0.00	0.00	756.23
" 18	762.55	762.57	762.56	-3.66	-0.15	+0.01	-0.01	758.75
	760.20	760.21	760.21	-3.62	-0.15	-0.01	0.00	756.43
" 19	762.08	762.05	762.07	-3.66	-0.14	-0.01	-0.01	758.25
	760.34	760.34	760.34	-3.75	-0.15	0.00	0.00	756.44
" 20	762.01	762.02	762.01	-3.70	-0.14	-0.01	-0.01	758.15
	760.47	760.48	760.48	-3.72	-0.12	0.00	0.00	756.64
" 21	762.03	762.03	762.03	-3.73	-0.15	-0.01	-0.01	758.13
	759.82	759.81	759.81	-3.80	-0.14	0.00	0.00	755.87
" 22	762.08	762.08	762.08	-3.86	-0.12	0.00	-0.01	758.09
" 23	761.06	761.06	761.06	-3.80	-0.13	0.00	0.00	757.13
" 24	761.13	761.13	761.13	-3.79	-0.13	0.00	0.00	757.21
	759.07	759.08	759.07	-3.77	-0.14	0.00	0.00	755.16
" 25	761.33	761.33	761.33	-3.82	-0.15	0.00	0.00	757.35
	758.70	758.71	758.71	-3.67	-0.16	0.00	0.00	754.88
" 26	761.22	761.23	761.23	-3.90	-0.10	0.00	0.00	757.23
	758.53	758.54	758.53	-3.96	-0.13	0.00	0.00	754.44
" 28	760.71	760.70	760.70	-3.62	-0.12	-0.01	0.00	756.95
	760.31	760.30	760.30	-3.61	-0.11	0.00	0.00	756.58
" 29	760.64	760.64	760.64	-3.52	-0.11	0.00	0.00	757.01
	759.73	759.74	759.73	-3.54	-0.11	0.00	0.00	756.08
" 30	762.39	762.39	762.39	-3.48	-0.19	-0.01	-0.01	758.70
Mai 1	765.79	765.78	765.78	-3.20	-0.12	-0.01	-0.01	762.44
	765.07	765.07	765.07	-3.20	-0.14	-0.01	-0.01	761.71
" 2	767.87	767.88	767.88	-2.96	-0.16	-0.01	-0.02	764.73
	766.98	767.01	767.00	-3.00	-0.18	-0.01	-0.02	763.79
" 3	768.84	768.84	768.84	-2.98	-0.11	-0.01	-0.02	765.72
	767.99	767.99	767.99	-2.98	-0.13	-0.01	-0.02	764.85

Datum 1904	Barometermittel			Korrektion wegen				Ver- besserte Ablesung
	1. Messung	2. Messung	Mittel	Temperatur	Bandbreite	Schwärzung	Stand	
Mai 5	765.42 764.01 763.54	765.38 764.02 763.54	765.41 764.01 763.54	— 2.68 — 2.70 — 2.60	— 0.15 — 0.17 — 0.15	— 0.01 0.00 — 0.01	— 0.01 — 0.01 — 0.01	763.56 764.13 766.79
- 8	763.48 762.77	763.48 762.78	763.48 762.78	— 2.14 — 2.11	— 0.14 — 0.16	— 0.01 0.00	— 0.01 — 0.01	761.18 760.50
- 9	766.35 766.02	766.36 766.02	766.35 766.02	— 2.32 — 2.40	— 0.13 — 0.14	— 0.01 0.00	— 0.02 — 0.02	763.87 763.46
- 10	768.12	768.10	768.11	— 2.46	— 0.10	— 0.01	— 0.02	763.52
- 11	768.89 766.98	768.88 766.98	768.88 766.98	— 2.38 — 2.56	— 0.13 — 0.13	— 0.01 0.00	— 0.02 — 0.02	766.34 764.27
- 12	—	—	—	—	—	—	—	—

Schlußtafel.

Datum 1904	Verbesserte Ablesung Barometer					Schwe- re- kor- rek- tion	Dampf- span- nung	Thermom., — Barom., — Berechn., Schwerkorr.				
	1	2	3	4	5			1	2	3	4	5
April 2	768.53 767.93	768.35 767.71	768.43 767.87	768.54 767.93	768.51 767.91	— 0.47 — 0.40	770.49 769.96	+ 2.43 + 2.43	+ 1.61 + 1.65	+ 2.53 + 2.49	+ 1.42 + 1.43	+ 1.45 + 1.45
- 3	768.26 766.99	768.01 766.76	768.16 766.91	768.26 766.99	— 766.96	— 0.23 — 0.17	770.42 769.89	+ 2.39 + 2.37	+ 1.64 + 1.60	+ 2.49 + 2.45	+ 1.39 + 1.37	— + 2.40
- 5	763.83	763.56	763.69	763.79	763.79	— 0.10	766.37	+ 2.64	+ 2.91	+ 2.78	+ 2.68	+ 2.68
- 7	761.77 760.46	761.46 760.16	761.67 760.33	— 760.47	761.70 760.47	— 0.394 — 0.52	763.74 762.37	+ 2.36 + 2.43	+ 2.68 + 1.73	+ 2.46 + 2.56	— + 2.42	+ 2.44 + 2.42
- 8	759.78 758.55	759.51 758.20	759.60 758.33	759.84 758.55	759.77 758.51	— 0.62 — 0.66	761.60 760.23	+ 2.44 + 2.34	+ 2.71 + 2.69	+ 2.62 + 2.56	+ 1.38 + 2.34	+ 2.45 + 2.38
- 9	758.21	757.90	758.00	758.20	758.19	— 0.75	759.87	+ 2.41	+ 2.72	+ 2.62	+ 2.42	+ 2.43
- 10	761.86	761.61	761.67	761.88	761.81	— 0.892	763.37	+ 2.40	+ 2.65	+ 2.59	+ 2.38	+ 2.46
- 11	762.58	762.57	762.34	762.55	762.51	— 1.054	764.04	+ 2.51	+ 2.83	+ 2.75	+ 2.55	+ 2.58
- 12	762.44 759.98	762.11 759.68	762.25 759.79	762.44 760.01	762.39 759.95	— 1.23 — 1.30	763.72 761.22	+ 2.52 + 2.54	+ 2.81 + 2.84	+ 2.71 + 2.73	+ 2.52 + 2.51	+ 2.57 + 2.57
- 13	756.88	756.51	756.65	756.86	756.81	— 1.48	757.91	+ 2.52	+ 2.87	+ 2.74	+ 2.53	+ 2.57
- 14	— 753.99	757.51 753.67	757.63 753.72	757.83 754.01	757.97 753.97	— 1.61 — 1.68	758.70 754.87	+ 2.81 + 2.56	+ 2.81 + 2.88	+ 2.71 + 2.83	+ 2.54 + 2.54	— + 2.58
- 15	755.92 —	755.61 754.23	755.68 754.19	755.97 754.54	755.91 754.50	— 1.763 — 1.772	756.70 755.30	+ 2.54 —	+ 2.86 + 2.84	+ 2.78 + 2.88	+ 2.49 + 2.54	+ 2.56 + 2.57

Datum 1904	Verbesserte Ablesung Barometer					Schwere- kor- rektur	Dampf- span- nung	Thermom.—Barom.—Berechn. Schwerekor.				
	1	2	3	4	5			1	2	3	4	5
April 16	754.98 755.48	754.60 755.20	754.73 755.17	755.03 755.50	754.96 755.49	-1.76 -1.81	755.83 756.30	+2.81 +2.63	+3.00 +2.91	+2.86 +2.94	+2.57 +2.61	+2.63 +2.62
" 17	757.90 756.29	757.58 755.95	757.63 756.27	757.91 756.23	— 756.23	-1.81 -1.81	758.78 757.15	+2.69 +2.67	+3.01 +3.01	+2.96 —	+2.68 +2.69	— +2.73
" 18	758.81 756.46	758.38 756.13	758.58 —	758.80 756.47	758.75 756.43	-1.83 -1.83	759.64 757.31	+2.66 +2.68	+3.09 +3.01	+2.89 —	+2.67 +2.67	+2.72 +2.71
" 19	758.11 756.50	758.00 756.16	— —	758.32 756.48	758.25 756.44	-1.86 -1.86	759.07 757.23	+2.62 +2.59	+2.93 +2.93	— —	+2.61 +2.61	+2.68 +2.65
" 20	758.21 756.67	757.91 756.36	757.93 —	758.22 756.67	758.15 756.62	-1.88 -1.89	758.97 757.41	+2.64 +2.63	+2.94 +2.94	+2.93 —	+2.63 +2.63	+2.70 +2.66
" 21	758.20 755.95	757.88 755.62	757.89 —	758.21 755.95	758.13 755.87	-1.92 -1.92	758.89 756.67	+2.61 +2.64	+2.93 +2.97	+2.92 —	+2.60 +2.60	+2.68 +2.72
" 22	758.15	757.81	—	758.17	758.09	-1.92	758.81	+2.60	+2.94	—	+2.58	+2.66
" 23	757.18	756.85	756.88	—	757.13	-1.95	757.99	+2.76	+3.09	+3.06	—	+2.81
" 24	755.19	756.88 754.87	756.93 754.86	757.24 755.47	757.21 755.16	-1.99 -1.99	757.84 755.85	+2.95 +2.65	+2.95 +2.97	+2.90 +2.98	+2.59 +2.67	+2.62 +2.68
" 25	757.42 754.91	756.99 754.50	757.12 754.51	757.35 754.79	757.35 754.88	-2.01 -2.01	757.99 755.56	+2.58 +2.66	+3.01 +3.07	+2.88 +3.06	+2.63 +2.63	+2.65 +2.69
" 26	757.25 754.47	756.86 754.12	756.96 754.08	757.19 754.37	757.23 754.44	-2.00 -1.98	757.81 755.11	+2.56 +2.62	+2.93 +2.97	+2.85 +3.01	+2.62 +2.72	+2.65 +2.68
" 28	756.97 756.21	756.57 756.21	756.54 —	756.67 756.47	756.95 756.58	-1.86 -1.81	757.74 757.30	+2.63 +2.54	+3.03 +2.96	+3.06 —	+2.84 +2.70	+2.65 +2.59
" 29	757.05 756.11	756.65 755.73	756.63 755.70	756.88 755.95	757.01 756.08	-1.76 -1.73	757.91 756.98	+2.62 +2.60	+3.02 +2.98	+3.04 +3.01	+2.79 +2.76	+2.66 +2.63
" 30	758.68	758.19	758.23	758.57	758.70	-1.64	759.59	+2.55	+3.04	+3.00	+2.86	+2.53
May 1	762.48 761.71	762.03 761.33	762.01 761.31	762.11 761.43	762.44 761.71	-1.54 -1.50	763.47 762.85	+2.53 +2.64	+2.98 +3.02	+3.00 +3.04	+2.90 +2.92	+2.57 +2.64
" 2	763.76 763.79	764.50 763.51	764.55 763.54	764.68 —	764.75 763.79	-1.37 -1.33	766.05 765.17	+2.66 +2.71	+2.92 +2.99	+2.87 +2.96	+2.74 —	+2.69 +2.71
" 3	765.71 764.87	765.41 764.57	765.44 764.59	765.54 764.69	765.72 764.85	-1.18 -1.13	767.20 766.45	+2.67 +2.71	+2.97 +3.01	+2.94 +2.99	+2.84 +2.89	+2.66 +2.73
" 5	762.60	762.29	762.37	762.48	762.56	-0.81	764.56	+2.77	+3.08	+3.00	+2.89	+2.81
" 6	761.17 760.79	760.84 760.44	761.01 760.54	761.13 760.70	761.15 760.79	-0.69 -0.68	763.29 762.85	+2.81 +2.74	+3.14 +3.09	+2.97 +2.99	— +2.83	+2.85 +2.74
" 8	761.23 760.56	760.91 760.23	761.01 760.26	761.18 760.53	761.18 760.50	-0.64 -0.63	763.45 762.81	+2.86 +2.89	+3.18 +3.22	+3.08 +3.19	+2.91 +2.92	+2.91 +2.95
" 9	763.91 763.50	763.61 763.25	763.77 763.28	763.88 763.49	763.87 763.46	-0.64 -0.64	765.93 765.62	+2.66 +2.76	+2.96 +3.01	+2.80 +2.98	+2.69 +2.77	+2.70 +2.70
" 10	765.62	765.39	765.47	765.64	765.60	-0.69	767.70	+2.77	+3.00	+2.92	+2.75	+2.80
" 11	766.37 764.31	766.12 764.07	766.22 764.12	766.35 —	766.34 764.27	-0.56 -0.49	768.56 766.55	+2.75 +2.73	+3.00 +2.97	+2.90 +2.92	+2.77 +2.77	+2.78 +2.77
" 12	—	767.43	767.49	767.63	—	-0.356	769.95	—	+2.98	+2.91	+2.78	—

Reise Sydney — San Francisco an Bord der „Sonoma“.

Datum 1904	Mittlere Uhrzeit	Dampfspannung bestimmt durch die Siedethermometer						Mittel
		1	2	3	4	5	6	
Juni 26	12 ^h 39 ^m	766.74	766.79	766.71	766.90	767.10	767.06	766.90
		60	61	61	79	09	766.96	78
		60	65	60	76	09	90	77
		57	61	60	74	09	75	75
		49	51	49	65	01	79	66
		43	49	43	57	766.96	74	60
	6 22	766.46	766.49	766.41	766.57	767.01	766.87	766.64
		65	65	54	74	12	91	77
		71	71	61	79	17	98	83
		71	71	62	79	20	98	84
		71	71	62	79	15	96	82
" 27	9 35	766.74	766.74	766.79	766.90	767.29	767.06	766.92
		76	76	76	79	29	06	92
		74	74	71	85	26	04	89
		68	68	71	79	20	766.98	84
		68	68	68	79	23	98	84
		68	65	68	79	20	98	83
	3 43	763.76	763.81	763.92	763.95	764.30	764.25	764.00
		70	78	81	84	25	11	763.92
		73	76	81	84	22	11	91
		61	68	65	76	25	03	83
		65	68	70	68	30	03	84
" 28	11 35	759.35	759.41	759.38	759.51	759.89	760.00	759.59
		34	33	38	51	89	759.54	48
		24	33	33	49	89	76	51
		22	27	22	38	76	65	43
	4 53	756.53	756.58	756.61	756.75	757.05	756.89	756.74
		44	50	47	69	07	91	68
		39	47	50	69	05	89	67
		47	53	50	64	756.97	83	66
		53	58	58	75	757.10	94	75
" 30	11 14	760.71	760.76	760.71	760.90	761.28	761.22	760.92
		71	76	74	87	15	09	90
		71	74	74	90	28	09	91
		62	62	68	82	20	01	83
		62	62	68	82	20	04	85
		60	60	62	85	17	01	81
	5 40	761.71	761.77	761.79	761.96	762.32	762.21	761.96
		79	82	85	762.01	37	26	762.02
		82	85	85	07	48	32	07
		87	93	91	10	53	37	12
		93	98	98	12	53	37	15
		96	762.01	762.01	18	59	40	19

Datum 1904	Mittlere Uhrzeit	Dampfspannung bestimmt durch die Siedethermometer							
		1	2	3	4	5	6	Mittel	
Juni 30	11 ^h 0 ^m	763.81	763.81	763.84	764.00	764.39	764.19	764.01	
		81	81	84	763.97	33	14	763.98	
		81	81	84	764.03	16	14	764.00	
		84	84	84	03	33	14	00	
		81	84	81	00	39	14	00	
		84	84	84	00	39	16	01	
Juli 1	7 43	766.46	766.46	766.46	766.57	767.01	766.82	766.63	
		51	57	57	74	12	90	74	
		65	68	65	76	20	98	82	
		74	76	76	85	31	767.06	91	
		79	82	82	96	37	15	99	
		96	98	98	767.09	48	26	767.12	
	6 4	769.04	769.04	769.01	769.15	769.56	769.28	769.18	
		04	04	01	15	56	31	18	
		768.98	768.98	768.96	09	53	28	14	
		93	93	93	04	50	25	10	
		96	93	93	08	50	23	10	
		98	96	96	12	53	28	14	
	" 2	11 4	770.74	770.74	770.82	770.85	771.29	771.07	770.93
			74	74	77	85	29	07	91
			69	61	69	77	21	770.96	82
			58	55	53	71	13	93	74
			53	53	39	58	01	77	64
			42	42	31	50	770.90	69	54
3 49	766.62	766.60	766.62	766.74	767.15	767.04	766.80		
	60	57	60	74	12	766.96	76		
	62	62	65	76	15	96	79		
	57	57	60	74	12	90	75		
	54	54	54	68	12	87	72		
	57	54	54	71	15	90	74		
10 35	769.56	769.61	769.59	769.67	770.14	769.94	769.75		
	59	61	56	67	14	91	75		
	50	53	50	59	05	86	67		
	48	48	45	53	00	80	62		
	34	34	31	39	769.86	67	49		
	28	34	28	28	83	56	45		
3 57	767.53	767.51	767.48	767.59	768.02	767.75	767.63		
	51	53	48	59	02	83	66		
	45	48	42	59	02	78	61		
	45	45	42	59	02	78	61		
	45	45	42	59	05	80	61		
	51	51	48	67	08	83	68		
" 3	11 25	766.03	766.03	766.03	766.24	766.57	766.41	766.22	
		00	765.97	765.97	08	51	38	15	
		765.92	89	83	03	43	30	07	
		72	71	67	765.83	32	11	765.90	
		69	64	59	72	19	765.97	80	
		59	50	48	64	11	92	72	

Datum 1904	Mittlere Uhrzeit	Dampfspannung bestimmt durch die Siedethermometer						Mittel
		1	2	3	4	5	6	
Juli 3	4 ^h 30 ^m	763.46	763.44	763.35	763.59	763.95	763.76	763.59
		54	46	41	59	97	76	62
		51	46	38	59	764.00	84	63
		57	51	49	70	08	86	70
		57	51	49	70	08	86	70
" 4	11 10	761.66	761.71	761.68	761.71	762.12	761.98	761.81
		55	58	58	71	07	90	73
		50	58	58	68	10	90	72
		52	58	55	63	07	87	69
		47	52	47	60	01	85	65
" 5	3 51	759.54	759.60	759.60	759.70	760.05	759.97	759.74
		54	60	60	73	08	97	76
		57	60	60	70	14	759.97	76
		60	62	60	78	14	95	78
		54	62	60	76	16	95	77
" 5	5 27	757.75	757.80	757.78	757.88	758.29	758.15	757.94
		72	75	75	88	29	15	92
		72	78	75	91	29	15	93
		67	67	67	83	24	07	86
		64	70	67	80	24	04	85
" 6	10 13	759.16	759.16	759.16	759.33	759.68	759.54	759.34
		19	19	22	38	76	60	39
		38	35	30	51	95	71	54
		41	41	38	49	95	78	57
		41	38	41	51	95	78	57
" 6	10 53	759.02	759.08	759.11	759.22	759.62	759.43	759.25
		02	11	11	19	62	43	25
		08	13	16	19	65	41	27
		05	05	13	19	62	41	24
		758.83	758.91	758.94	758.99	43	19	05
" 6	3 51	756.61	756.64	756.64	756.78	757.18	756.97	756.80
		64	64	64	83	21	757.02	81
		67	67	67	78	21	756.99	83
		61	64	64	75	18	97	79
		64	64	67	78	21	99	81
" 7	10 26	758.29	758.34	758.32	758.45	758.83	758.69	758.49
		29	34	32	42	80	69	48
		26	29	26	40	78	61	43
		18	21	15	32	67	48	34
		07	13	07	21	61	40	25
" 8	10 02	758.02	758.02	758.02	758.02	758.02	758.02	758.02
		02	02	02	02	02	02	02
		02	02	02	02	02	02	02
		02	02	02	02	02	02	02
		02	02	02	02	02	02	02

Datum 1904	Mittlere Uhrzeit	Dampfspannung bestimmt durch die Siedethermometer						Mittel
		1	2	3	4	5	6	
Juli 7	3 ^h 30 ^m	756.17	756.17	756.17	756.25	756.72	756.47	756.33
		12	15	15	25	72	47	31
		15	20	17	28	72	47	33
		17	17	17	28	72	47	33
		15	15	15	25	69	44	31
		12	15	15	23	69	44	30
- 8	10 34	757.51	757.53	757.45	757.61	758.02	757.83	757.66
		51	53	45	59	02	83	66
		48	48	45	56	757.99	80	63
		45	45	43	56	99	78	61
		45	45	43	53	97	80	61
		51	51	43	56	758.02	78	64
	3 33	755.77	755.74	755.77	755.88	756.18	756.12	755.93
		74	77	74	85	25	07	90
		77	77	77	88	28	07	92
		74	74	71	85	25	07	89
		74	74	74	85	28	09	91
		74	74	77	90	28	09	92
	- 9	757.16	757.18	757.18	757.32	757.73	757.51	757.35
		10	07	10	18	61	45	25
		07	10	10	18	61	40	24
		07	07	07	16	61	43	24
		03	756.99	756.97	07	53	32	15
		756.91	91	91	02	48	26	08
	3 52	755.61	755.58	755.58	755.69	756.12	756.01	755.77
		58	61	58	71	12	755.98	76
		58	58	55	77	17	756.04	78
		63	61	61	71	12	01	78
		63	58	61	74	15	07	80
		66	63	63	82	23	12	85
	- 10	758.75	758.75	758.72	758.83	759.22	759.08	758.89
		75	72	67	83	22	08	88
		75	69	69	83	22	05	87
		75	64	64	80	19	02	84
		72	64	61	75	13	02	81
		72	64	61	78	11	08	82
	3 57	757.61	757.53	757.53	757.72	758.07	757.97	757.74
		61	53	56	75	07	94	74
		61	53	56	72	07	94	74
		59	51	53	70	07	94	72
		56	48	51	67	05	94	70
		56	48	51	67	05	94	70
- 11	10 34	760.98	760.90	760.93	761.06	761.60	761.41	761.15
		98	93	96	09	60	41	16
		761.01	98	761.01	12	66	50	21
		01	98	04	17	71	50	22
		04	761.01	06	14	63	44	22
		01	760.98	01	12	63	39	19

Datum 1904	Mittlere Uhrzeit	Dampfspannung bestimmt durch die Siedethermometer						Mittel
		1	2	3	4	5	6	
Juli 11	4 ^h 1 ^m	759.68	759.63	759.65	759.78	760.24	760.22	759.87
		65	57	60	76	19	11	81
		60	54	57	70	22	00	77
		60	51	57	73	22	00	77
		57	51	57	70	22	00	76
		60	51	57	70	22	03	77
- 12	6 42	761.87	761.82	761.82	761.98	762.50	762.34	762.06
		98	93	93	762.10	61	42	16
		762.04	96	96	12	61	45	19
		10	762.04	762.04	18	69	50	26
		07	04	04	21	72	53	27
		12	07	07	23	72	56	30
	5 7	761.31	761.23	761.25	761.33	761.87	761.72	761.46
		31	23	25	39	93	79	48
		33	25	25	41	96	79	50
		36	28	31	50	762.01	87	56
		50	41	44	55	10	96	66
		52	41	44	58	18	762.01	69
- 13	10 45	764.52	764.39	764.41	764.55	765.01	764.79	764.62
		47	36	41	55	04	79	60
		47	39	39	52	01	74	59
		39	33	30	47	764.98	71	53
		39	30	30	50	98	71	53
		36	30	28	44	93	68	50
	4 6	764.05	763.97	764.03	764.08	764.60	764.39	764.19
		08	764.00	00	08	60	41	20
		08	763.97	763.97	08	58	36	17
		05	95	95	08	60	39	17
		05	97	97	11	60	41	19
		11	764.03	764.00	11	60	41	21
+ 14	10 29	767.20	767.04	767.15	767.20	767.69	767.48	767.29
		20	09	15	20	69	48	30
		17	09	15	20	72	48	30
		23	12	17	23	75	51	34
		23	12	17	23	75	51	34
		23	12	17	23	75	51	34
	3 47	766.27	766.14	766.16	766.27	766.85	766.72	766.42
		22	08	11	24	79	60	34
		16	03	03	16	74	54	28
		08	765.94	765.97	08	62	49	20
		765.97	89	89	03	57	43	13
		97	86	89	00	54	41	11
- 15	10 24	766.38	766.41	766.27	766.43	766.96	766.76	766.54
		38	46	27	43	96	79	55
		35	41	24	41	93	74	51
		35	41	22	38	93	71	50
		32	38	22	38	90	71	49
		35	38	22	38	90	68	49

Datum 1904	Mittlere Uhrzeit	Dampfspannung bestimmt durch die Siedethermometer							Mittel
		1	2	3	4	5	6		
Juli 15	4 ^h 0 ^m	764.79	764.63	764.66	764.98	765.34	765.12	764.93	
		74	63	68	93	34	12	91	
		71	58	63	90	32	12	88	
		66	55	60	85	29	10	84	
		66	52	58	82	29	04	82	
		60	50	52	77	21	764.98	76	
" 16	10 25	766.71	766.65	766.71	766.83	767.26	767.09	766.88	
		71	65	65	83	23	09	86	
		62	54	60	76	17	04	79	
		62	54	57	76	15	04	78	
		62	54	57	74	15	01	77	
		62	54	57	74	13	01	76	
	3 31	766.57	766.43	766.49	766.65	767.06	766.98	766.70	
		54	41	43	60	04	96	66	
		49	38	43	62	04	96	66	
		49	41	46	62	06	96	67	
		46	38	46	62	04	93	64	
		46	35	41	57	01	90	62	
	" 17	10 35	766.96	766.90	766.90	767.06	767.48	767.37	767.11
			93	85	87	06	31	37	10
			93	87	87	04	48	31	08
90			85	85	01	45	34	07	
90			85	87	04	45	34	08	
93			85	87	06	48	34	09	
4 27	765.50	765.42	765.50	765.67	766.16	766.00	765.71		
	48	42	48	62	16	00	70		
	48	40	48	61	14	765.92	67		
	42	37	45	56	08	92	63		
	40	34	40	56	11	86	61		
	42	34	40	59	08	89	62		
" 18	8 42	761.28	761.36	761.31	761.60	761.83	761.74	761.52	
		25	28	25	52	87	77	49	
		31	30	39	60	93	82	57	
		36	39	39	63	93	85	59	
		36	41	42	63	762.01	90	62	
		39	44	44	63	761.98	87	62	
	5 47	758.69	758.69	758.78	758.94	759.33	759.13	758.93	
		75	75	80	97	41	16	97	
		80	80	86	759.05	43	24	759.03	
		83	83	88	11	29	27	07	
		83	83	91	08	26	27	06	
		86	83	91	11	29	27	08	
	" 19	9 47	759.70	759.78	759.78	759.81	760.27	760.19	759.92
			68	76	78	81	30	19	92
			73	78	81	87	35	22	96
73			78	81	89	35	24	97	
76			78	81	87	35	24	97	
73			76	78	84	30	19	93	

Datum 1904	Mittlere Uhrzeit	Dampfspannung bestimmt durch die Siedethermometer						Mittel
		1	2	3	4	5	6	
Juli 19	11 ^h 42 ^m	mm 759.57	mm 759.54	mm 759.65	mm 759.60	mm 760.14	mm 760.11	mm 759.77
		57	54	62	68	19	16	79
		60	60	65	68	19	16	81
		60	57	65	65	16	14	80
		60	57	62	68	14	11	79
		51	46	57	60	08	05	71
	4 13	758.26	758.24	758.34	758.45	758.91	758.83	758.51
		26	24	32	45	88	80	49
		21	18	26	40	86	78	45
		21	21	26	40	88	80	46
		15	15	24	34	80	72	40
		18	18	26	37	83	78	43

Datum 1904	Mittlere Dampfspannung bestimmt durch die Siedethermometer					
	1	2	3	4	5	6
Juni 26	mm 766.57	mm 766.61	mm 766.58	mm 766.74	mm 767.07	mm 766.89
	766.66	766.65	766.57	766.75	767.15	766.95
	- 27	766.71	766.72	766.83	767.25	767.08
	763.49	763.74	763.79	763.82	764.25	764.10
	- 28	759.26	759.34	759.33	759.47	759.86
	759.74					
	- 29	756.49	756.55	756.55	756.73	757.06
	756.91					
	- 30	760.66	760.68	760.70	760.86	761.23
	761.06					
Juli 1	761.85	761.89	761.90	762.07	762.27	762.38
	763.82	763.83	763.84	764.01	764.37	764.15
	- 1	766.69	766.71	766.82	767.25	767.03
	768.98	768.98	768.97	769.10	769.53	769.27
	- 2	770.62	770.60	770.59	770.71	771.14
	770.92					
	766.59	766.57	766.59	766.72	767.14	766.94
	769.48	769.49	769.45	769.52	770.00	769.79
	767.48	767.49	767.45	767.60	768.04	767.80
	- 3	765.83	765.79	765.76	765.92	766.36
	763.54	763.48	763.44	763.66	764.03	763.83
	- 4	761.51	761.57	761.55	761.64	762.05
	759.57	759.61	759.60	759.74	760.12	759.93
	- 5	757.69	757.74	757.72	757.86	758.27
	759.34	759.33	759.32	759.46	759.87	759.70
	- 6	758.96	759.02	759.05	759.22	759.55
	756.65	756.66	756.67	756.79	757.21	757.00

Datum 1904	Mittlere Dampfspannung bestimmt durch die Siedethermometer					
	1	2	3	4	5	6
Juli 7	758.19 756.15	758.24 756.17	758.19 756.16	758.34 756.26	758.71 756.71	758.55 756.46
	757.49 755.75	757.49 755.75	757.44 755.75	757.57 755.87	758.00 756.27	757.80 756.09
" 8	757.06 755.62	757.05 755.60	757.06 755.59	757.16 755.74	757.60 756.15	757.40 756.04
	758.74 757.59	758.68 757.51	758.66 757.53	758.80 757.71	759.18 758.06	759.06 757.95
" 9	761.01 759.62	760.96 759.54	761.00 759.59	761.12 759.73	761.64 760.22	761.44 760.06
	762.03 761.39	761.98 761.30	761.98 761.32	762.14 761.46	762.64 762.01	762.47 761.86
" 10	764.43 764.07	764.35 763.98	764.35 763.99	764.51 764.09	765.00 764.60	764.74 764.40
	767.21 766.11	767.10 765.99	767.16 765.01	767.22 766.13	767.73 766.69	767.50 766.54
" 11	766.36 764.69	766.41 764.57	766.24 764.61	766.40 764.88	766.93 765.30	766.73 765.08
	766.65 766.50	766.58 766.39	766.61 766.45	766.78 766.61	767.18 767.04	767.05 766.95
" 12	766.93 765.45	766.86 765.38	766.87 765.45	767.05 765.61	767.48 766.12	767.35 765.93
	761.33 758.79	761.37 758.79	761.17 758.86	761.60 759.04	761.93 759.44	761.83 759.22
" 13	759.72 759.58	759.77 759.55	759.80 759.63	759.85 759.65	760.32 760.15	760.21 760.12
	758.21 758.21	758.20 758.20	758.28 758.28	758.40 758.40	758.86 758.86	758.79 758.79

Datum 1904	Messung der Barometerhöhe							
	1. Messung Barometer				2. Messung Barometer			
	I	II	IV	V	I	II	IV	V
Juni 26 $t = +13.7^{\circ}\text{C}$	766.71	766.41	766.74	766.71	766.69	766.40	766.73	766.73
	64	35	64	67	67	34	70	68
	64	33	65	62	63	33	65	63
	62	31	65	67	63	32	64	66
	60	27	61	59	59	27	63	62
	56	26	57	59	59	27	59	58

Datum 1904	Messung der Barometerhöhe							
	1. Messung Barometer				2. Messung Barometer			
	I	II	IV	V	I	II	IV	V
Juni 26 $t = +14^{\circ}83$	766.76	766.51	766.79	766.79	766.77	766.46	766.48	766.77
	80	51	83	81	82	51	83	81
	85	56	84	84	84	54	85	85
	86	54	87	86	86	55	86	86
	87	57	89	88	86	56	86	86
Juni 27 $t = +12^{\circ}45$	766.38	766.15	766.45	766.41	766.39	766.16	766.47	766.42
	44	16	50	44	44	18	50	44
	47	15	47	43	43	15	49	45
	44	13	48	45	44	15	48	44
	44	14	49	47	43	13	49	47
Juni 28 $t = +14^{\circ}24$	764.13	763.68	—	764.23	764.15	763.70	763.77	764.21
	09	63	—	11	09	64	74	13
	16	68	—	14	15	65	81	13
	04	65	—	07	08	64	80	07
	07	65	—	11	06	65	75	07
Juni 28 $t = +14^{\circ}57$	760.48	760.06	760.26	760.47	760.46	760.24	760.24	760.38
	41	759.93	04	42	38	759.95	09	40
	40	80	759.97	39	37	80	00	33
	32	81	89	37	35	87	759.89	38
	24	74	74	24	23	73	73	27
Juni 29 $t = +19^{\circ}75$	757.77	757.44	757.52	757.81	757.77	757.39	757.49	757.82
	63	34	50	73	68	32	46	76
	61	31	43	69	60	24	41	65
	67	25	36	68	65	26	40	69
	64	24	39	75	62	26	42	71
Juni 30 $t = +18^{\circ}99$	761.45	761.30	761.56	761.63	761.63	761.28	761.56	761.65
	65	30	57	63	65	28	56	63
	64	29	58	59	60	25	59	64
	60	24	55	57	61	25	56	59
	62	27	57	59	60	28	58	59
Juni 30 $t = +18^{\circ}45$	762.38	762.10	762.37	762.39	762.39	762.14	762.36	762.42
	44	17	44	47	47	16	44	45
	48	19	48	46	54	19	50	47
	60	28	56	59	58	25	55	54
	61	30	58	61	61	29	62	60
Juni 30 $t = +18^{\circ}91$	764.53	764.24	764.57	764.50	764.53	764.26	764.57	764.48
	52	26	56	50	55	26	56	50
	56	23	57	50	57	22	56	50
	58	25	58	51	58	24	60	51
	58	26	60	55	61	27	61	59
Juni 30 $t = +18^{\circ}91$	63	29	63	59	65	30	63	58

Datum 1904	Messung der Barometerhöhe							
	1. Messung Barometer				2. Messung Barometer			
	I	II	IV	V	I	II	IV	V
Juli 1 $t = +18^{\circ}49$	mm 766.94 767.11 16 17 39 46	mm 766.68 81 92 99 767.08 15	mm 767.00 13 22 30 40 47	mm 766.96 11 19 28 37 45	mm 766.93 11 15 27 40 47	mm 766.70 87 91 767.00 09 16	mm 766.98 767.16 23 32 43 49	mm 766.99 767.12 49 27 38 46
	769.45 44 41	769.14 15 10	769.49 50 48	766.43 45 39	769.43 45 40	769.15 15 10	769.51 50 47	769.44 44 41
	44 40 46	10 09 16	48 45 51	40 42 44	41 42 44	11 11 15	47 47 49	41 40 43
	771.48 41 49	771.16 16 17	771.51 47 48	771.49 47 47	771.44 45 45	771.19 47 14	771.50 50 46	771.47 47 43
	43 34 27	12 00 770.95	41 34 29	43 34 26	43 34 28	08 02 770.96	41 36 27	40 36 27
	767.18 19 22	766.77 77 79	767.19 21 21	767.21 21 25	767.21 19 21	766.78 80 81	767.11 21 22	767.13 22 24
	21 25 24	80 81 79	21 23 24	25 26 21	22 22 21	79 80 81	22 20 24	23 23 24
	770.79 74 72	770.48 45 73	770.82 78 75	770.79 75 75	770.81 79 75	770.47 46 44	770.84 76 75	770.78 75 73
	71 58 55	36 28 22	67 60 56	68 63 56	66 63 58	41 28 26	71 62 57	66 61 57
	768.87 88 84	768.51 51 53	768.88 90 88	768.89 88 87	768.87 85 84	768.51 51 51	768.88 89 90	768.86 86 88
	86 88 93	51 53 38	87 87 93	86 86 93	86 87 94	51 53 57	90 91 98	88 89 97
Juli 3 $t = +12^{\circ}52$	768.09 66.99 768.05	767.71 61 59	768.12 05 03	768.04 05 01	768.13 02 01	767.73 63 53	768.13 03 05	768.10 86 768.00
	767.88 82 81	767.88 43 39	767.90 51 51	767.90 78 77	767.92 85 78	767.92 51 45 43	767.90 85 83	767.89 81 80
	765.61 61 67	765.24 51 31	765.60 63 64	765.57 61 65	765.62 63 68	765.26 32 33	765.58 65 63	765.58 63 65
	73 75 76	41 41 44	73 75 78	73 74 77	73 74 79	41 40 43	71 76 78	65 74 78

Datum 1904	Messung der Barometerhöhe							
	1. Messung Barometer				2. Messung Barometer			
	I	II	IV	V	I	II	IV	V
Juli 4 $t = +26^{\circ}46$	761.27	760.76	761.22	761.25	761.25	760.76	761.23	761.28
	14	83	12	17	15	65	12	17
	15	67	11	16	19	67	13	16
	15	62	09	13	15	65	09	13
	11	60	05	11	12	62	09	10
	07	56	03	06	08	60	04	07
Juli 5 $t = +28^{\circ}55$	760.83	760.50	760.80	760.85	760.84	760.53	760.81	760.88
	87	53	82	86	86	56	81	87
	33	49	79	81	84	50	80	82
	86	50	77	79	82	46	78	80
	84	52	81	83	85	51	80	82
	85	52	82	85	87	52	82	85
$t = +28^{\circ}15$	762.26	761.94	762.25	762.27	762.26	761.93	762.24	762.26
	27	91	23	26	26	94	23	25
	39	762.06	30	41	39	762.04	31	39
	46	12	39	45	50	12	42	45
	54	15	46	53	54	18	48	52
	58	20	53	54	58	23	53	57
Juli 6 $t = +29^{\circ}68$	762.51	762.17	762.55	762.49	762.52	762.17	762.55	762.52
	51	15	52	49	51	16	53	50
	49	13	49	49	50	14	48	50
	51	15	50	51	51	17	51	52
	43	07	40	42	45	09	44	42
	35	762.98	37	35	36	00	37	33
$t = +30^{\circ}25$	760.20	759.87	760.16	760.15	760.17	759.90	760.14	760.20
	19	88	16	16	18	89	18	16
	20	90	20	17	17	92	19	16
	15	90	20	17	21	90	18	16
	24	92	20	19	23	93	19	20
	29	99	29	27	32	760.00	28	28
Juli 7 $t = +30^{\circ}26$	761.94	761.60	761.88	761.91	761.95	761.60	761.88	761.93
	92	59	89	91	91	57	89	91
	90	54	88	88	90	56	87	87
	86	53	82	85	87	54	84	87
	83	46	81	79	81	45	78	78
	76	43	75	78	77	46	78	75
$t = +30^{\circ}36$	759.70	759.47	759.67	759.70	759.68	759.49	759.68	759.67
	69	45	69	69	72	43	69	66
	73	44	71	71	73	45	71	73
	74	43	70	71	74	47	74	70
	73	45	71	70	73	42	72	69
	77	45	73	75	76	49	75	76

Datum 1904	Messung der Barometerhöhe							
	1. Messung				2. Messung			
	Barometer				Barometer			
	I	II	IV	V	I	II	IV	V
Juli 8 $t = +30^{\circ}68$	761.06 06 08 07 11 13	760.78 78 77 75 79 78	761.01 01 02 04 08 09	761.07 06 06 09 09 14	761.07 04 08 06 13 12	760.79 79 76 77 77 77	761.03 08 06 12 11 14	761.08 08 07 10 14 17
	759.45 40 43 44 40 41	759.13 11 10 09 11 12	759.40 38 39 39 37 37	759.39 40 40 40 39 39	759.44 45 44 43 42 41	759.17 12 13 09 10 09	759.41 41 43 39 36 41	759.42 41 41 38 39 39
Juli 9 $t = +29^{\circ}75$	760.71 69 65 65 67 53	760.35 34 28 27 24 16	760.48 46 47 37 37 35	760.72 74 68 67 67 55	760.70 70 69 66 64 58	760.33 30 26 26 23 19	760.50 47 48 34 34 38	760.72 70 67 66 65 59
	759.19 16 15 17 15 20	758.80 78 76 81 81 80	758.97 97 96 759.02 03 758.98	759.22 12 15 15 15 20	759.19 12 16 16 15 21	758.83 80 78 81 82 80	758.97 98 96 99 759.04 00	759.24 13 16 17 14 18
Juli 10 $t = +28^{\circ}90$	761.93 90 96 95 90 94	761.61 57 61 61 58 59	761.84 84 85 84 82 86	761.91 93 96 96 91 92	761.93 90 98 96 91 93	761.64 58 64 61 56 60	761.86 85 82 86 85 86	761.93 93 98 95 89 91
	760.66 64 64 64 67 67	760.34 34 30 32 31 32	760.60 58 59 60 59 60	760.66 66 65 64 66 66	760.65 65 64 63 60 70	760.33 30 33 32 32 32	760.59 58 61 61 58 61	760.68 66 65 64 66 69
Juli 11 $t = +27^{\circ}75$	763.81 81 89 95 95 98	763.45 45 53 56 63 61	763.69 73 78 85 87 89	763.82 81 89 92 93 96	763.79 83 87 94 96 98	763.46 47 54 60 61 61	763.71 73 79 87 87 90	763.81 84 90 94 92 99
	762.47 44 40 44 44 44	762.12 07 03 05 09 11	762.33 32 31 32 33 39	762.48 44 38 44 44 42	762.47 45 38 44 47 45	762.11 08 03 06 09 08	762.37 33 35 33 33 37	762.46 46 37 42 45 42

Datum 1904	Messung der Barometerhöhe							
	1. Messung Barometer				2. Messung Barometer			
	I	II	IV	V	I	II	IV	V
Juli 12 $t = +27^{\circ}31$	764.19 26 32 40 50 53	763.91 97 764.01 03 07 20	764.23 28 35 44 50 55	764.19 26 31 33 37 51	764.21 28 31 40 50 53	763.93 99 764.00 02 04 07	764.14 25 37 43 51 53	764.20 25 34 38 51 51
	764.10 14 20 24 30 43	763.69 73 76 78 86 98	763.85 88 87 92 94 13	764.11 16 22 24 32 39	764.08 12 20 21 31 40	763.68 74 73 80 88 764.00	763.85 87 86 92 88 17	764.12 15 20 29 32 39
	766.97 93 97 94 92 95	766.58 55 57 54 53 54	766.86 87 83 83 84 82	766.97 93 95 90 91 90	766.97 95 96 95 92 91	766.61 58 57 55 52 53	766.39 87 85 83 83 82	766.95 94 94 90 88 90
	766.51 50 51 54 59	766.08 13 07 14 15 17	766.34 38 35 39 37 42	766.44 50 51 51 52 56	766.46 54 50 52 54 58	766.07 12 13 15 13 20	766.36 40 36 40 38 42	766.49 50 52 51 53 57
	769.20 22 26 31 34 37	768.87 86 88 95 95 97	769.19 21 21 21 21 32	769.23 23 23 26 31 34	769.24 23 26 30 31 37	768.89 88 89 96 96 99	769.21 21 22 29 30 34	769.23 22 26 31 32 36
	768.38 33 30 25 20 21	768.02 94 92 84 81 81	768.35 25 23 16 14 09	768.36 30 28 27 22 18	768.38 33 28 27 22 21	768.03 94 93 88 86 80	768.32 27 25 20 13 09	768.38 32 28 26 21 19
	768.19 21 19 25 25 26	767.87 88 88 90 89 91	768.14 17 18 19 19 21	768.19 21 20 23 23 24	768.21 24 20 23 26 26	767.88 89 87 89 89 89	768.18 18 17 19 19 21	768.21 23 20 21 22 23
	766.69 68 66 63 61 60	766.36 32 29 25 25 24	766.68 64 60 59 57 57	766.69 69 61 58 58 53	766.69 68 61 61 62 59	766.36 34 28 25 28 24	766.67 64 60 58 58 57	766.68 65 61 58 59 54

Datum 1904	Messung der Barometerhöhe							
	1. Messung Barometer				2. Messung Barometer			
	I	II	IV	V	I	II	IV	V
Juli 16 $t = +23^{\circ}02$	768.13	767.72	767.84	768.13	768.14	767.72	767.85	768.13
	31	71	82	32	32	74	85	35
	33	76	88	20	33	75	92	23
	20	71	85	19	32	70	87	19
	21	69	88	17	19	74	91	21
	20	71	90	19	32	73	89	22
	768.05	767.64	767.74	768.08	768.05	767.60	767.72	768.07
	01	57	73	00	05	59	73	03
	01	55	76	01	01	60	76	02
	01	58	77	767.97	01	59	77	767.99
Juli 17 $t = +20^{\circ}37$	03	62	78	768.02	05	61	80	768.04
	08	60	77	05	05	61	76	03
	767.79	767.46	767.70	767.81	767.83	767.48	767.71	767.79
	83	46	72	80	83	47	75	80
	47	47	75	85	88	49	76	86
	89	53	78	87	88	51	78	86
	93	54	81	92	94	53	80	91
	98	58	85	94	95	57	85	95
	766.50	766.14	766.44	766.46	766.49	766.14	766.45	766.43
	50	11	45	45	48	14	45	44
Juli 18 $t = +21^{\circ}25$	47	11	45	41	45	09	42	40
	48	08	42	41	47	07	43	41
	48	09	41	39	47	10	43	41
	49	11	42	41	50	12	45	41
	761.98	761.67	761.95	761.91	761.96	761.67	761.94	761.92
	96	63	94	88	96	65	93	90
	762.01	761.70	762.00	761.95	762.01	761.71	762.01	761.95
	04	71	02	97	03	72	762.03	97
	09	76	09	762.02	08	78	08	762.03
	10	79	12	09	11	79	11	09
Juli 19 $t = +19^{\circ}40$	759.31	758.99	759.31	759.23	759.27	759.00	759.31	759.24
	32	759.04	35	28	31	04	34	28
	37	09	39	33	38	08	38	32
	45	15	46	39	44	16	46	40
	51	19	52	47	49	21	52	45
	56	26	58	49	54	25	58	50
	760.15	759.89	760.17	760.10	760.14	759.89	760.17	760.09
	18	92	20	11	17	92	20	12
	23	96	26	18	24	96	25	18
	29	98	31	22	28	99	32	22
Juli 20 $t = +20^{\circ}71$	30	760.00	33	24	31	760.00	32	25
	30	759.99	33	24	29	759.98	33	15
	760.32	760.02	760.37	760.24	760.31	760.02	760.34	760.25
	32	01	37	24	33	03	37	26
	34	03	38	27	33	03	39	28
	34	02	38	27	34	03	38	27
	32	05	37	25	34	03	39	27
	30	00	33	24	29	02	35	24

Datum 1904	Messung der Barometerhöhe							
	1. Messung Barometer				2. Messung Barometer			
	I	II	IV	V	I	II	IV	V
Juli 19 $t = +21^{\circ}15$	<small>mm</small> 759.10	<small>mm</small> 758.82	<small>mm</small> 759.15	<small>mm</small> 759.06	<small>mm</small> 759.10	<small>mm</small> 758.82	<small>mm</small> 759.14	<small>mm</small> 759.05
	<small>09</small>	<small>80</small>	<small>12</small>	<small>06</small>	<small>09</small>	<small>80</small>	<small>12</small>	<small>04</small>
	<small>13</small>	<small>82</small>	<small>15</small>	<small>07</small>	<small>12</small>	<small>83</small>	<small>16</small>	<small>06</small>
	<small>10</small>	<small>78</small>	<small>12</small>	<small>06</small>	<small>10</small>	<small>80</small>	<small>12</small>	<small>03</small>
	<small>13</small>	<small>82</small>	<small>17</small>	<small>08</small>	<small>13</small>	<small>85</small>	<small>15</small>	<small>06</small>
	<small>09</small>	<small>77</small>	<small>14</small>	<small>04</small>	<small>10</small>	<small>78</small>	<small>11</small>	<small>03</small>

Barometer I.

Datum 1904	Barometermittel			Korrektion wegen				Ver- besserte Ablesung
	1. Messung	2. Messung	Mittel	Temperatur	Bandbreite	Schwärzung	Stand	
Juni 26	<small>mm</small> 766.63	<small>mm</small> 766.63	<small>mm</small> 766.63	<small>mm</small> -1.78	<small>mm</small> -0.13	<small>mm</small> +0.01	<small>mm</small> -0.02	764.71
	766.83	766.83	766.83	-1.98	-0.09	+0.01	-0.02	764.75
	766.43	766.43	766.43	-1.51	-0.10	+0.01	-0.02	764.81
	764.10	764.09	764.10	-1.88	-0.12	-0.01	-0.04	761.08
" 27	766.36	766.36	766.36	-2.31	-0.21	-0.02	0.00	757.82
	757.67	757.67	757.67	-2.59	-0.15	-0.02	+0.01	754.92
	761.62	761.61	761.61	-2.50	-0.14	0.00	0.00	758.97
	762.53	762.55	762.54	-2.43	-0.12	0.00	-0.01	759.98
" 30	764.57	764.58	764.57	-2.49	-0.09	0.00	-0.01	761.98
	767.22	767.22	767.22	-2.45	-0.10	0.00	-0.02	764.63
	769.43	769.43	769.43	-2.37	-0.12	-0.01	-0.02	766.91
Juli 1	771.40	771.42	771.40	-2.41	-0.09	0.00	-0.03	768.87
	767.12	767.12	767.12	-2.44	-0.12	0.00	-0.02	764.64
	770.68	770.70	770.69	-2.60	-0.10	+0.02	-0.03	767.98
	768.88	768.87	768.87	-2.71	-0.12	+0.02	-0.02	766.04
" 2 ^a	767.94	767.95	767.94	-2.83	-0.10	-0.04	-0.02	764.96
	765.69	765.71	765.70	-2.96	-0.13	-0.03	-0.01	762.59
	762.35	762.35	762.35	-3.28	-0.12	0.00	-0.01	758.94
	760.86	760.85	760.85	-3.64	-0.13	0.00	0.00	757.08
" 5	761.42	761.42	761.42	-3.71	-0.10	0.00	-0.01	758.60
	762.47	762.48	762.47	-3.91	-0.14	+0.04	-0.01	758.42
	760.21	760.21	760.21	-3.97	-0.17	+0.03	0.00	756.08
" 7	761.87	761.87	761.87	-3.98	-0.12	0.00	0.00	757.77
	759.73	759.73	759.73	-3.98	-0.13	+0.01	0.00	755.63

Datum 1904	Barometermittel			Korrektion wegen				Ver- besserte Ablesung
	1. Messung	2. Messung	Mittel	Temperatur	Bandbreite	Schwärzung	Stand	
Juli 8	761.09	761.08	761.08	— 4.03	— 0.10	+ 0.01	0.00	756.97
	759.42	759.43	759.42	— 4.12	— 0.13	+ 0.01	0.00	755.18
" 9	760.65	760.66	760.65	— 3.91	— 0.10	— 0.03	0.00	756.61
	759.17	759.17	759.17	— 3.89	— 0.12	— 0.01	0.00	755.15
" 10	761.93	761.94	761.93	— 3.80	— 0.10	— 0.01	0.00	758.02
	760.65	760.66	760.65	— 3.75	— 0.12	0.00	0.00	756.78
" 11	763.90	763.90	763.90	— 3.66	— 0.10	0.00	— 0.01	760.13
	762.44	762.44	762.44	— 3.67	— 0.12	0.00	— 0.01	758.64
" 12	764.37	764.37	764.37	— 3.61	— 0.10	0.00	— 0.01	760.65
	764.24	764.24	764.23	— 3.83	— 0.10	0.00	— 0.01	760.29
" 13	766.95	766.94	766.94	— 3.55	— 0.10	0.00	— 0.02	763.27
	766.53	766.52	766.52	— 3.54	— 0.12	+ 0.01	— 0.02	762.85
" 14	769.28	769.29	769.28	— 3.37	— 0.13	+ 0.01	— 0.02	765.77
	768.28	768.28	768.28	— 3.41	— 0.13	0.00	— 0.02	764.72
" 15	768.23	768.23	768.23	— 3.32	— 0.13	+ 0.01	— 0.02	764.77
	766.65	766.64	766.64	— 3.40	— 0.13	+ 0.01	— 0.02	763.10
" 16	768.20	768.20	768.20	— 3.06	— 0.15	0.00	— 0.02	764.97
	768.03	768.02	768.03	— 3.01	— 0.18	0.00	— 0.02	764.82
" 17	767.89	767.89	767.89	— 2.70	— 0.12	+ 0.01	— 0.02	765.06
	766.49	766.48	766.48	— 2.81	— 0.13	+ 0.01	— 0.02	763.53
" 18	762.03	762.03	762.03	— 2.67	— 0.14	+ 0.03	0.00	759.25
	759.42	759.41	759.41	— 2.61	— 0.14	+ 0.01	0.00	756.67
" 19	760.24	760.24	760.24	— 2.50	— 0.11	+ 0.01	0.00	757.64
	760.32	760.32	760.32	— 2.73	— 0.11	+ 0.01	0.00	757.49
	759.11	759.11	759.11	— 2.78	— 0.16	+ 0.01	0.00	756.18

Barometer II.

Datum 1904	Barometermittel			Korrektion wegen				Ver- besserte Ablesung
	1. Messung	2. Messung	Mittel	Temperatur	Bandbreite	Schwärzung	Stand	
Juni 26	766.32	766.32	766.32	— 1.78	— 0.19	0.00	+ 0.07	764.42
	766.54	766.54	766.54	— 1.98	— 0.17	0.00	+ 0.07	764.46
" 27	766.15	766.15	766.15	— 1.51	— 0.18	0.00	+ 0.07	764.53
	763.66	763.65	763.65	— 1.88	— 0.21	+ 0.01	+ 0.04	761.61
" 28	759.88	759.89	759.89	— 2.31	— 0.23	+ 0.01	0.00	757.36
	757.31	757.30	757.30	— 2.59	— 0.21	+ 0.01	— 0.03	754.48

Datum 1924	Barometermittel			Korrektion wegen				Ver- besserte Ablesung
	1. Messung	2. Messung	Mittel	Temperatur	Bandbreite	Schwärzung	Stand	
Juni 30	761.28	761.27	761.28	-2.50	-0.20	0.00	+0.01	758.59
	762.13	762.13	762.13	-2.43	-0.18	0.00	+0.03	759.66
	764.26	764.26	764.26	-2.49	-0.16	0.00	+0.05	761.66
Juli 1	766.94	766.96	766.95	-2.45	-0.18	-0.03	+0.08	764.37
	769.12	769.13	769.12	-2.37	-0.20	-0.02	+0.10	766.63
" 2 ¹	771.10	771.09	771.09	-2.41	-0.20	-0.03	+0.13	768.58
	766.79	766.80	766.80	-2.44	-0.22	+0.02	+0.08	764.24
" 2 ²	770.37	770.38	770.37	-2.60	-0.20	-0.03	+0.12	767.66
	768.53	768.53	768.53	-2.71	-0.15	-0.02	+0.10	765.75
" 3	767.54	767.55	767.55	-2.85	-0.14	0.00	+0.09	764.65
	765.36	765.36	765.36	-2.96	-0.16	-0.01	+0.06	762.29
" 4	762.01	762.01	762.01	-3.28	-0.16	0.00	+0.02	758.59
	760.51	760.51	760.51	-3.64	-0.19	+0.01	+0.01	756.70
" 5	762.06	762.07	762.07	-3.71	-0.15	0.00	+0.02	758.23
	762.11	762.12	762.11	-3.91	-0.19	+0.02	+0.02	758.05
" 6	759.91	759.92	759.92	-3.97	-0.23	+0.02	0.00	755.74
	761.53	761.53	761.53	-3.98	-0.16	-0.01	+0.02	757.40
" 7	759.45	759.46	759.45	-3.98	-0.19	+0.02	-0.01	755.39
	760.78	760.78	760.78	-4.02	-0.15	0.00	+0.01	756.62
" 8	759.11	759.12	759.12	-4.12	-0.20	+0.01	-0.01	754.80
	760.27	760.26	760.26	-3.91	-0.18	0.00	0.00	756.17
" 9	758.79	758.81	758.80	-3.89	-0.18	+0.02	-0.01	754.74
" 10	761.60	761.61	761.61	-3.80	-0.18	+0.01	+0.02	757.66
	760.32	760.32	760.32	-3.75	-0.16	+0.02	0.00	756.43
" 11	763.54	763.55	763.54	-3.66	-0.15	0.00	+0.04	759.77
	762.08	762.07	762.08	-3.67	-0.18	+0.02	+0.02	758.27
" 12	764.03	764.01	764.02	-3.61	-0.15	0.00	+0.05	760.31
	763.80	763.81	763.81	-3.83	-0.18	+0.02	+0.04	759.86
" 13	766.55	766.56	766.55	-3.55	-0.16	0.00	+0.07	762.91
	766.12	766.13	766.13	-3.54	-0.16	0.00	+0.07	762.50
" 14	768.91	768.91	768.92	-3.37	-0.16	0.00	+0.10	765.49
	767.89	767.91	767.90	-3.41	-0.16	-0.01	+0.09	764.41
" 15	767.89	767.89	767.89	-3.32	-0.17	0.00	+0.09	764.49
	766.29	766.29	766.29	-3.40	-0.18	0.00	+0.07	762.78
" 16	767.72	767.73	767.72	-3.06	-0.13	0.00	+0.09	764.63
	767.59	767.60	767.60	-3.01	-0.16	-0.02	+0.09	764.50
" 17	767.51	767.51	767.51	-2.70	-0.16	0.00	+0.09	764.74
	766.11	766.11	766.11	-2.81	-0.17	0.00	+0.07	763.20
" 18	761.71	761.72	761.72	-2.67	-0.19	+0.03	+0.02	758.91
	759.12	759.12	759.12	-2.61	-0.19	+0.02	-0.01	756.33
" 19	759.96	759.96	759.96	-2.50	-0.16	0.00	0.00	757.30
	760.02	760.03	760.02	-2.73	-0.18	0.00	0.00	757.11
	758.80	758.81	758.81	-2.78	-0.16	-0.01	-0.01	755.85

Barometer IV.

Datum 1904	Barometermittel			Korrektion wegen				Ver- besserte Ablesung
	1. Messung	2. Messung	Mittel	Temperatur	Bandbreite	Schwärzung	Stand	
Juni 16	766.65	766.66	766.65	— 1.78	— 0.15	— 0.01	— 0.02	764.69
	766.86	766.85	766.86	— 1.95	— 0.15	0.00	— 0.02	764.71
- 27	766.48	766.49	766.48	— 1.51	— 0.13	0.00	— 0.02	764.80
	763.88	763.87	763.88	— 1.88	— 0.16	+ 0.01	— 0.01	761.84
- 28	759.95	759.96	759.96	— 2.31	— 0.15	+ 0.02	0.00	757.52
- 29	757.44	757.44	757.44	— 2.59	— 0.17	0.00	+ 0.01	754.69
- 30	761.56	761.57	761.57	— 2.50	— 0.18	— 0.01	0.00	758.86
	761.54	761.52	761.54	— 2.43	— 0.21	0.00	— 0.01	759.86
	764.59	764.59	764.59	— 2.49	— 0.14	0.00	— 0.01	761.95
Juli 1	767.27	767.27	767.27	— 2.45	— 0.15	0.00	— 0.02	764.65
	769.48	769.49	769.48	— 3.37	— 0.14	— 0.03	— 0.02	766.92
- 2 ¹	771.42	771.41	771.41	— 2.41	— 0.14	— 0.03	— 0.03	768.80
	767.22	767.22	767.22	— 2.44	— 0.16	— 0.03	— 0.02	764.57
- 2 ³	770.70	770.71	770.70	— 2.60	— 0.15	— 0.02	— 0.03	767.90
	768.91	768.91	768.91	— 2.71	— 0.18	— 0.02	— 0.02	765.98
- 3	767.95	767.97	767.96	— 2.85	— 0.16	— 0.03	— 0.02	764.90
	765.69	765.69	765.69	— 2.96	— 0.16	— 0.03	— 0.01	762.53
- 4	762.32	762.32	762.32	— 3.28	— 0.17	— 0.02	— 0.01	758.84
- 5	760.80	760.81	760.81	— 3.64	— 0.19	— 0.01	0.00	756.97
	762.36	762.37	762.36	— 3.71	— 0.14	— 0.03	— 0.01	758.47
- 6	762.47	762.48	762.47	— 3.91	— 0.17	0.00	— 0.01	758.38
	760.20	760.20	760.20	— 3.97	— 0.20	0.00	0.00	756.03
- 7	761.84	761.84	761.84	— 3.98	— 0.16	— 0.02	0.00	757.68
	759.70	759.72	759.71	— 3.98	— 0.15	0.00	0.00	755.58
- 8	761.04	761.09	761.06	— 4.02	— 0.12	+ 0.01	0.00	756.93
	759.38	759.41	759.40	— 4.12	— 0.16	0.00	0.00	755.12
- 9	760.42	760.42	760.42	— 3.91	— 0.14	0.00	0.00	756.37
	758.99	758.99	758.99	— 3.89	— 0.15	0.00	0.00	754.95
- 10	761.84	761.85	761.84	— 3.80	— 0.14	+ 0.01	0.00	757.91
	760.59	760.60	760.60	— 3.75	— 0.15	+ 0.01	0.00	756.71
- 11	763.80	763.81	763.81	— 3.66	— 0.14	+ 0.03	— 0.01	760.03
	762.34	762.35	762.34	— 3.67	— 0.14	+ 0.03	— 0.01	758.55
- 12	764.39	764.39	764.39	— 3.61	— 0.14	— 0.03	— 0.01	760.60
- 13	766.84	766.85	766.84	— 3.55	— 0.15	0.00	— 0.02	763.12
	766.38	766.39	766.39	— 3.54	— 0.17	+ 0.01	— 0.01	761.68
- 14	769.25	769.26	769.25	— 3.37	— 0.17	0.00	— 0.02	765.69
	768.20	768.21	768.21	— 3.41	— 0.16	0.00	— 0.02	764.62

Datum 1904	Barometermittel			Korrektion wegen				Ver- besserte Ablesung
	1. Messung	2. Messung	Mittel	Temperatur	Bandbreite	Schwärzung	Stand	
Juli 15	768.18	768.19	768.18	— 3.31	— 0.16	+ 0.01	— 0.01	764.69
	766.61	766.64	766.61	— 3.40	— 0.17	0.00	— 0.01	763.02
- 16	—	—	—	—	—	—	—	—
- 17	767.77	767.78	767.77	— 2.70	— 0.15	— 0.01	— 0.01	764.88
	766.43	766.44	766.44	— 2.81	— 0.15	0.00	— 0.01	763.46
- 18	762.02	762.01	762.01	— 2.67	— 0.15	+ 0.01	0.00	759.21
	759.44	759.43	759.44	— 2.61	— 0.17	0.00	0.00	756.66
- 19	760.27	760.27	760.27	— 2.50	— 0.14	0.00	0.00	757.63
	760.37	760.37	760.37	— 2.73	— 0.14	0.00	0.00	757.50
	759.14	759.13	759.14	— 2.78	— 0.15	— 0.01	0.00	756.19

Barometer V.

Datum 1904	Barometermittel			Korrektion wegen				Ver- besserte Ablesung
	1. Messung	2. Messung	Mittel	Temperatur	Bandbreite	Schwärzung	Stand	
Juni 26	766.64	766.65	766.64	— 1.78	— 0.15	+ 0.01	— 0.01	764.70
	766.84	766.84	766.84	— 1.98	— 0.12	+ 0.01	— 0.01	764.73
- 27	766.42	766.43	766.43	— 1.51	— 0.12	+ 0.01	— 0.01	764.79
	764.83	764.82	764.82	— 1.88	— 0.13	— 0.01	— 0.01	761.09
- 28	760.37	760.35	760.36	— 2.31	— 0.23	— 0.01	0.00	757.80
- 29	757.73	757.73	757.73	— 2.59	— 0.18	— 0.01	+ 0.01	754.95
- 30	761.60	761.61	761.61	— 2.50	— 0.14	0.00	0.00	758.97
	762.53	762.52	762.52	— 2.43	— 0.12	0.00	— 0.01	759.96
	764.53	764.53	764.53	— 2.49	— 0.12	+ 0.02	— 0.01	761.93
Juli 1	767.23	767.24	767.24	— 2.45	— 0.12	0.00	— 0.01	764.65
	769.41	769.42	769.41	— 2.37	— 0.11	— 0.01	— 0.01	766.89
- 2 ¹	771.41	771.40	771.40	— 2.41	— 0.13	+ 0.02	— 0.01	768.85
	767.24	767.23	767.24	— 2.44	— 0.15	0.00	— 0.01	764.63
- 2 ²	770.68	770.68	770.68	— 2.60	— 0.14	+ 0.03	— 0.01	767.94
	768.89	768.89	768.89	— 2.71	— 0.15	+ 0.02	— 0.01	766.03
- 3	767.92	767.93	767.92	— 2.85	— 0.13	+ 0.03	— 0.01	764.95
	765.68	765.69	765.69	— 2.96	— 0.15	+ 0.02	— 0.01	762.59
- 4	762.56	762.57	762.56	— 3.28	— 0.13	0.00	— 0.01	758.94
- 5	760.83	760.84	760.83	— 3.64	— 0.15	+ 0.02	— 0.01	757.06
	762.41	762.41	762.41	— 3.71	— 0.12	— 0.01	— 0.01	758.56

Datum 1904	Barometermittel			Korrektion wegen				Ver- beserte Ablesung
	1. Messung	2. Messung	Mittel	Temperatur	Bandbreite	Schwärzung	Stand	
Juli 6	762.46	762.47	762.46	-3.91	-0.14	+0.01	-0.01	758.41
	760.19	760.20	760.20	-3.97	-0.17	0.00	0.00	756.06
- 7	761.85	761.85	761.85	-3.98	-0.13	+0.01	0.00	757.76
	759.70	759.70	759.70	-3.98	-0.13	+0.01	0.00	755.60
- 8	761.09	761.11	761.10	-4.02	-0.10	+0.01	0.00	756.99
	759.40	759.40	759.40	-4.12	-0.13	0.00	0.00	755.15
- 9	760.67	760.67	760.67	-3.91	-0.13	-0.03	0.00	756.60
	759.17	759.17	759.17	-3.89	-0.12	-0.02	0.00	755.14
- 10	761.94	761.93	761.93	-3.80	-0.12	-0.01	0.00	758.00
	760.66	760.66	760.66	-3.75	-0.13	0.00	0.00	756.78
- 11	763.89	763.90	763.89	-3.66	-0.11	0.00	-0.01	760.11
	762.43	762.43	762.43	-3.67	-0.15	0.00	-0.01	758.60
- 12	764.33	764.35	764.34	-3.63	-0.12	0.00	-0.01	760.60
	764.23	764.25	764.25	-3.83	-0.13	0.00	-0.01	760.28
- 13	766.93	766.92	766.92	-3.55	-0.11	+0.01	-0.02	763.25
	766.51	766.52	766.52	-3.54	-0.12	+0.01	-0.02	762.85
- 14	769.27	769.28	769.27	-3.37	-0.15	+0.01	-0.02	765.74
	768.26	768.27	768.27	-3.41	-0.13	+0.01	-0.02	764.72
- 15	768.22	768.22	768.22	-3.32	-0.13	+0.01	-0.02	764.76
	766.61	766.61	766.61	-3.40	-0.12	+0.01	-0.02	763.03
- 16	768.18	768.21	768.19	-3.06	-0.16	+0.01	-0.02	764.96
	768.02	768.03	768.02	-3.01	-0.17	+0.01	-0.02	764.83
- 17	767.87	767.86	767.86	-2.70	-0.11	+0.01	-0.02	765.04
	766.42	766.42	766.42	-2.81	-0.12	+0.01	-0.02	763.48
- 18	761.97	761.98	761.97	-2.67	-0.12	0.00	+0.02	759.20
	759.37	759.37	759.37	-2.61	-0.12	+0.01	0.00	756.65
- 19	760.18	760.19	760.19	-2.50	-0.11	+0.01	0.00	757.59
	760.25	760.26	760.26	-2.73	-0.11	+0.01	0.00	757.43
	759.06	759.05	759.06	-2.78	-0.14	+0.01	0.00	756.15

Schlußtafel.

Datum 1904	Verbesserte Ablesung Barometer				Schwere- kor- rektion	Dampf- span- nung	Thermom.- Barom. = Berechn. Schwerekorrt			
	1	2	4	5			1	2	4	5
Juni 16	764.71	764.42	764.69	764.70	-0.723	766.74	+2.76	+3.04	+2.77	+2.76
	764.75	764.46	764.71	764.73	-0.723	766.79	+2.76	+3.05	+2.80	+2.78
- 27	764.81	764.53	764.80	764.79	-0.723	766.87	+2.78	+3.06	+2.79	+2.81
	762.08	761.61	761.84	762.09	-0.77	763.90	+2.59	+3.06	+2.83	+2.58

Datum 1904	Verbesserte Ableitung Barometer				Schwere- kor- rektur	Dampf- span- nung	Thermom. — Barom. — Berechn. Schwerekorr.			
	1	2	3	4			1	2	4	5
Juni 18	757.82	757.36	757.52	757.80	— 0.78	759.50	+ 2.46	+ 2.92	+ 2.76	+ 2.48
— 29	754.92	754.48	754.69	754.95	— 0.78	756.72	+ 2.58	+ 3.02	+ 2.81	+ 2.55
— 30	758.97	758.59	758.86	758.97	— 0.74	760.87	+ 2.64	+ 3.02	+ 2.75	+ 2.61
	759.95	759.65	759.86	759.96	— 0.74	762.09	+ 2.85	+ 3.18	+ 2.97	+ 2.87
	761.98	761.66	761.95	761.93	— 0.71	764.00	+ 2.73	+ 3.05	+ 2.76	+ 2.78
Juli 1	764.65	764.37	764.65	764.65	— 0.60	766.87	+ 2.82	+ 3.10	+ 2.82	+ 2.82
	766.91	766.63	766.93	766.89	— 0.59	769.14	+ 2.81	+ 3.10	+ 2.81	+ 2.84
— 21	768.87	768.58	768.80	768.85	— 0.82	770.77	+ 2.72	+ 3.01	+ 2.79	+ 2.74
	764.64	764.24	764.57	764.63	— 0.88	766.76	+ 3.00	+ 3.40	+ 3.07	+ 3.01
— 23	767.98	767.66	767.90	767.94	— 1.12	769.62	+ 2.76	+ 3.08	+ 2.84	+ 2.80
	766.04	765.75	765.98	766.03	— 1.18	767.63	+ 2.78	+ 3.07	+ 2.84	+ 2.79
— 3	764.96	764.65	764.90	764.95	— 1.39	765.98	+ 2.41	+ 2.72	+ 2.47	+ 2.43
	762.59	762.29	762.53	762.59	— 1.44	763.66	+ 2.51	+ 2.81	+ 2.57	+ 2.51
— 4	758.94	758.59	758.84	758.94	— 1.66	759.76	+ 2.48	+ 2.83	+ 2.58	+ 2.48
— 5	757.08	756.70	756.97	757.06	— 1.77	757.90	+ 2.59	+ 2.97	+ 2.70	+ 2.61
	758.60	758.23	758.47	758.56	— 1.83	759.50	+ 2.73	+ 3.10	+ 2.86	+ 2.77
— 6	758.42	758.08	758.38	758.41	— 1.89	759.18	+ 2.65	+ 3.02	+ 2.69	+ 2.66
	756.08	755.74	756.03	756.06	— 1.91	756.83	+ 2.66	+ 3.00	+ 2.71	+ 2.68
— 7	757.77	757.40	757.68	757.76	— 1.98	758.37	+ 2.58	+ 2.95	+ 2.67	+ 2.59
	755.63	755.29	755.58	755.60	— 1.98	756.33	+ 2.67	+ 3.01	+ 2.72	+ 2.70
— 8	756.97	756.62	756.93	756.99	— 1.99	757.64	+ 2.66	+ 3.02	+ 2.70	+ 2.64
	755.18	754.80	755.12	755.15	— 1.98	755.91	+ 2.71	+ 3.09	+ 2.77	+ 2.74
— 9	756.61	756.17	756.37	756.60	— 1.94	757.22	+ 2.55	+ 2.90	+ 2.79	+ 2.56
	755.15	754.74	754.95	755.14	— 1.91	755.79	+ 2.55	+ 2.96	+ 2.75	+ 2.56
— 10	758.02	757.66	757.91	758.00	— 1.82	758.85	+ 2.65	+ 3.01	+ 2.76	+ 2.67
	756.78	756.43	756.71	756.78	— 1.78	757.72	+ 2.72	+ 3.07	+ 2.79	+ 2.72
— 11	760.15	759.77	760.03	760.11	— 1.64	761.20	+ 2.71	+ 3.07	+ 2.81	+ 2.73
	758.64	758.27	758.55	758.60	— 1.59	759.79	+ 2.74	+ 3.11	+ 2.83	+ 2.78
— 12	760.65	760.31	760.60	760.60	— 1.48	762.21	+ 3.02	+ 3.38	+ 3.09	+ 3.09
	760.29	759.86	—	760.28	— 1.48	761.56	+ 2.75	+ 3.18	—	+ 2.76
— 13	763.27	762.91	763.12	763.25	— 1.34	764.56	+ 2.63	+ 2.99	+ 2.78	+ 2.65
	762.85	762.50	762.68	762.85	— 1.30	764.19	+ 2.63	+ 2.99	+ 2.81	+ 2.64
— 14	765.77	765.49	765.69	765.74	— 1.17	767.32	+ 2.72	+ 3.00	+ 2.80	+ 2.73
	764.72	764.41	764.62	764.72	— 1.12	766.25	+ 2.85	+ 2.96	+ 2.75	+ 2.65
— 15	764.77	764.49	764.69	764.76	— 0.98	766.51	+ 2.72	+ 3.00	+ 2.80	+ 2.73
	763.10	762.78	763.02	763.08	— 0.93	764.86	+ 2.69	+ 3.01	+ 2.77	+ 2.71
— 16	764.97	764.62	—	764.96	— 0.78	766.81	+ 2.62	+ 2.97	—	+ 2.63
	764.82	764.50	—	764.83	— 0.76	766.66	+ 2.60	+ 2.92	—	+ 2.59

Datum 1904	Verbesserte Ablesung Barometer				Schwere- kor- rektur	Dampf- span- nung	Thermom.—Barom.—Berechn. Schwerekor.			
	1	2	4	5			1	2	4	5
Juli 17	765.06	764.74	764.88	765.04	— 0.62	767.09	+ 2.65	+ 2.97	+ 2.83	+ 2.67
	763.53	763.20	763.46	763.48	— 0.58	765.66	+ 2.71	+ 3.04	+ 2.78	+ 2.76
- 18	759.25	758.91	759.21	759.20	— 0.50	761.57	+ 2.82	+ 3.16	+ 2.86	+ 2.87
	756.67	756.33	756.66	756.65	— 0.485	759.02	+ 2.83	+ 3.17	+ 2.85	+ 2.86
- 19	757.64	757.30	757.63	757.59	— 0.485	759.95	+ 2.80	+ 3.14	+ 2.80	+ 2.84
	757.49	757.14	757.50	757.43	— 0.485	759.78	+ 2.77	+ 3.15	+ 2.77	+ 2.84
	756.18	755.85	756.19	756.15	— 0.484	758.46	+ 2.77	+ 3.10	+ 2.75	+ 2.79

Reise San Francisco—Yokohama an Bord der „Manchuria“.

Datum 1904	Mittlere Uhrzeit	Dampfspannung bestimmt durch die Siedethermometer						Mittel
		1	2	3	4	5	6	
Aug. 23	5 ^h 17 ^m	761.23	761.20	761.23	761.44	761.79	761.71	761.43
		17	14	17	41	77	68	39
		17	14	17	39	77	68	38
		17	12	17	39	74	63	37
		09	06	09	31	68	58	30
		01	760.98	01	23	60	50	22
- 27	11 27	760.87	760.87	760.87	761.06	761.44	761.23	761.06
		90	96	93	12	47	39	13
		90	96	90	06	47	36	11
		87	96	87	09	44	36	10
		82	82	81	01	39	31	03
		85	81	85	04	41	31	05
- 28	3 13	760.19	760.14	760.19	760.33	760.78	760.65	760.38
		11	11	22	38	78	70	40
		11	11	16	32	70	68	35
		00	03	08	27	62	65	27
		08	11	14	32	68	62	32
		05	08	14	30	68	62	31
- 28	11 45	763.89	763.87	763.92	764.00	764.50	764.39	764.10
		92	87	95	00	50	39	11
		87	81	87	763.97	44	30	04
		82	76	81	92	39	30	00
		79	73	79	86	36	25	763.96
		65	57	65	73	22	11	81
- 28	4 30	762.48	762.45	762.50	762.61	763.05	762.96	762.68
		40	37	42	50	02	88	60
		45	40	45	50	02	88	62
		42	34	42	50	762.99	86	59
		26	21	26	37	75	61	41
		23	18	23	34	77	67	40

Datum 1904	Mittlere Uhrzeit	Dampfspannung bestimmt durch die Siedethermometer							Mittel
		1	2	3	4	5	6		
Aug. 29	3 ^h 45 ^m	761.15	761.11	761.20	761.31	761.85	761.79	761.44	
		39	36	31	39	87	82	53	
		39	31	31	41	90	82	53	
		33	28	28	36	85	77	48	
		28	23	20	31	79	71	42	
		28	20	17	31	77	66	40	
		760.19	760.19	760.19	760.24	760.79	760.68	760.38	
		16	16	19	24	71	60	34	
		03	03	03	11	60	49	22	
		05	08	08	14	65	51	25	
		00	05	03	11	60	51	21	
		05	05	05	16	65	54	25	
" 30	12 27	760.19	760.19	760.19	760.24	760.79	760.68	760.38	
		16	16	19	24	71	60	34	
		03	03	03	11	60	49	22	
		05	08	08	14	65	51	25	
		00	05	03	11	60	51	21	
		05	05	05	16	65	54	25	
		759.60	759.65	759.65	759.68	760.19	760.00	759.80	
		60	61	61	70	22	08	81	
		57	60	57	63	11	759.97	75	
		60	65	62	70	19	760.05	80	
		65	70	68	76	22	05	84	
		65	73	68	81	30	14	89	
" 31	11 4	764.05	764.05	764.03	764.11	764.60	764.59	764.21	
		08	08	08	14	63	47	23	
		05	03	03	11	60	47	22	
		08	05	05	16	66	50	25	
		03	05	00	11	60	44	20	
		03	03	00	08	60	44	20	
		763.57	763.57	763.54	763.65	764.11	763.95	763.73	
		57	57	54	68	14	97	75	
		68	68	61	73	12	764.05	83	
		68	70	68	78	22	05	85	
		65	68	61	76	19	03	81	
		68	70	65	78	25	08	86	
Sept. 1	10 20	766.46	766.49	766.46	766.51	767.04	766.85	766.64	
		46	51	51	54	09	90	67	
		51	54	54	61	15	98	72	
		54	54	57	65	15	96	74	
		51	51	51	61	12	93	70	
		46	51	49	61	09	90	68	
		765.67	765.64	765.61	765.78	766.24	766.05	765.81	
		69	67	64	78	27	03	85	
		67	64	61	75	24	00	82	
		64	61	54	69	19	765.94	77	
		61	59	53	67	16	94	75	
		61	59	53	67	16	94	75	
" 2	10 13	765.94	765.97	765.94	766.05	766.57	766.27	766.12	
		94	97	94	05	57	30	13	
		766.00	97	94	03	54	27	13	
		765.94	94	92	03	49	24	09	
		94	91	86	00	49	24	08	
		94	86	80	765.94	43	22	04	

Datum 1904	Mittlere Uhrzeit	Dampfspannung bestimmt durch die Siedethermometer						Mittel
		1	2	3	4	5	6	
Sept. 2	3 ^h 39 ^m	764.82	764.85	764.71	764.82	765.34	765.12	764.94
		82	82	71	82	34	12	94
		82	77	71	82	34	12	93
		85	77	68	85	34	15	94
		82	82	74	90	40	18	98
- 3	10 57	764.63	764.58	764.52	764.74	765.21	765.04	764.79
		68	60	58	79	21	07	82
		63	58	55	71	15	764.98	77
		55	51	44	61	02	87	68
		53	50	36	55	01	87	64
- 4	4 20	761.91	762.88	762.86	763.02	763.49	763.32	763.08
		91	91	88	13	57	41	14
		96	94	94	13	59	43	17
		99	96	94	13	62	41	18
		763.02	99	98	19	62	49	21
- 4	10 27	761.94	94	94	10	54	41	15
		762.64	762.69	762.61	762.80	763.21	762.99	762.82
		64	67	64	77	21	99	82
		64	64	59	72	16	96	79
		61	61	56	69	16	94	76
- 5	4 27	59	59	53	69	13	94	75
		56	59	53	67	13	91	73
		760.74	760.68	760.68	760.82	761.31	761.17	760.90
		74	71	68	85	33	23	92
		74	71	68	82	28	20	91
- 5	10 27	760.14	760.14	760.11	760.22	760.65	760.54	760.30
		14	11	05	19	65	51	28
		08	05	03	14	60	49	23
		05	05	759.97	14	57	46	21
		03	00	95	11	57	46	19
- 5	3 35	758.18	758.13	758.07	758.15	758.67	758.56	758.30
		18	13	07	15	67	56	31
		13	07	05	15	59	51	26
		15	10	05	18	59	54	28
		13	07	02	15	59	53	25
- 5	8 29	758.94	758.88	758.91	758.97	759.41	759.33	759.07
		94	91	86	759.02	43	35	08
		97	94	86	05	41	33	09
		99	94	94	11	46	35	14
		759.05	97	94	16	54	46	18
- 5	8 29	08	759.02	91	16	57	46	21

Datum 1904	Mittlere Uhrzeit	Dampfspannung bestimmt durch die Siedethermometer						Mittel
		1	2	3	4	5	6	
Sept. 6	9 ^h 14 ^m	759.19	759.13	759.11	759.22	759.65	759.62	759.32
		22	16	13	27	68	65	35
		22	16	13	27	68	62	35
		22	16	13	27	68	62	35
		24	19	16	33	73	70	39
		27	19	16	35	76	70	41
- 7	10 42	759.57	759.54	759.46	759.60	760.00	759.92	759.68
		57	54	49	57	00	95	69
		57	54	46	60	00	95	69
		51	49	41	51	759.95	92	61
		51	49	41	51	97	95	65
		43	38	35	46	89	81	55
	4 50	758.40	758.34	758.29	758.48	758.88	758.80	758.53
		42	37	32	40	80	67	50
		29	24	18	34	72	61	40
		34	29	29	45	99	61	50
		29	24	21	26	64	45	35
		61	59	51	72	759.11	94	75
- 8	10 24	760.35	760.24	760.24	760.41	760.82	760.74	760.47
		43	41	38	51	87	76	56
		43	43	32	51	87	79	56
		41	38	32	49	85	74	53
		38	35	30	45	85	74	51
		38	35	27	46	87	79	52
	4 54	759.35	759.27	759.24	759.41	759.81	759.65	759.46
		38	30	24	41	81	68	47
		35	30	27	41	84	68	48
		38	30	27	41	87	70	48
		38	33	33	43	87	73	51
		41	35	35	43	89	78	53
- 9	10 38	761.60	761.55	761.52	761.66	762.10	762.04	761.75
		61	60	52	68	12	01	56
		60	58	58	71	12	04	77
		60	60	55	71	10	01	76
		61	63	55	68	10	01	77
		60	63	58	66	10	01	76
	3 42	760.27	760.22	760.14	760.35	760.68	760.68	760.39
		27	22	16	41	74	74	42
		30	24	16	41	79	74	44
		30	27	19	41	76	74	45
		30	30	19	41	76	76	45
		32	30	19	43	79	74	46
- 10	10 37	763.32	763.41	763.19	763.27	763.73	763.78	763.45
		32	41	16	27	73	78	45
		32	35	16	27	70	68	41
		24	19	10	21	68	57	33
		21	19	05	19	68	68	33
		21	16	05	21	68	68	33

Datum 1904	Mittlere Uhrzeit	Dampfspannung bestimmt durch die Siedethermometer						Mittel
		1	2	3	4	5	6	
Sept. 10	4 ^h 24 ^m	762.07	762.04	761.93	761.10	762.56	762.42	762.19
		04	04	93	07	56	42	18
		04	04	93	10	53	40	17
		04	04	90	12	53	42	18
		07	10	96	18	59	48	23
	10 44	10	10	98	18	59	48	24
		762.25	762.33	762.16	762.30	762.77	762.60	762.40
		25	30	14	25	77	58	38
		22	28	11	28	74	55	36
		19	19	08	28	71	55	33
	4 25	14	14	05	22	63	47	28
		03	11	05	16	55	47	23
		763.27	763.19	763.13	763.27	763.70	763.68	763.37
		35	27	41	41	81	78	47
		38	30	24	41	86	76	49
	10 49	38	30	24	43	83	76	49
		41	30	24	46	84	78	51
		35	27	24	43	78	76	47
		762.42	762.40	762.34	762.61	762.94	762.94	762.61
		45	40	34	61	96	99	63
	4 12	42	40	32	59	94	86	59
		42	40	32	56	91	83	57
		40	40	29	56	91	83	57
		37	32	26	48	86	77	51
		761.36	761.44	761.28	761.51	761.96	761.82	761.56
	12 0	41	50	33	60	96	82	61
		44	50	33	63	98	85	62
		36	47	31	58	93	79	57
		36	50	33	63	98	85	61
		41	50	33	58	98	85	61
	4 32	766.71	766.62	766.49	766.68	767.04	766.87	766.74
		62	51	46	62	01	82	67
		54	49	38	57	766.96	76	61
		60	49	38	62	767.01	79	65
		60	49	38	54	766.93	74	61
	10 49	54	46	32	51	90	74	58
		765.92	765.89	765.78	765.97	766.41	766.22	766.03
		94	92	83	766.03	46	37	05
		766.03	97	92	11	49	38	15
		08	766.00	97	12	54	41	19
	4 15	11	05	97	16	54	43	21
		16	11	766.00	24	62	49	27
		763.86	763.84	763.76	763.95	764.30	764.14	763.98
		76	73	68	86	22	05	89
		70	73	68	84	19	05	88
	10 49	68	73	62	84	19	03	85
		68	68	57	78	12	763.97	80
		68	68	57	78	12	03	81

Datum 1904	Mittlere Uhrzeit	Dampfspannung bestimmt durch die Siedethermometer						Mittel
		1	2	3	4	5	6	
Sept. 15	4 ^h 9 ^m	762.61	762.59	762.45	762.67	763.07	762.94	762.72
		77	72	61	86	19	763.02	86
		83	80	67	91	27	13	94
		88	86	72	96	32	21	99
		72	86	77	94	32	16	96
		72	88	75	96	35	21	96
		762.72	762.83	762.69	762.88	763.21	763.10	762.91
		72	77	69	88	21	05	89
		72	77	69	86	19	05	88
		64	67	61	80	13	762.94	80
- 16	10 52	59	59	53	75	20	94	75
		53	56	50	67	05	91	70
		760.74	760.71	760.74	760.93	761.28	761.14	760.92
		74	74	74	90	31	23	94
		74	71	54	82	25	14	87
		65	65	46	74	12	06	78
		62	57	41	71	12	04	75
		51	51	41	71	06	760.96	69
		749.95	749.84	749.97	749.95	750.43	750.35	750.08
		750.03	750.03	750.08	750.03	54	15	18
- 18	5 53	749.82	749.90	749.87	05	35	30	05
		66	63	61	03	16	03	749.85
		749.55	749.61	749.52	749.66	750.03	749.95	749.72
		61	69	61	79	11	750.00	80
		61	69	63	79	11	00	80
		55	58	50	69	03	749.97	72
		42	58	52	69	03	97	72
		44	61	55	74	05	95	74
		749.44	749.52	749.44	749.63	750.05	750.03	749.69
		44	52	44	61	05	03	68
- 19	9 54	50	63	47	63	08	749.92	70
		50	58	44	61	08	92	69
		55	63	59	63	11	87	73
		50	58	44	58	05	87	67
		749.01	749.07	748.98	749.15	749.58	749.47	749.21
		01	04	749.01	15	55	44	20
		07	09	04	17	61	30	25
		07	12	03	17	61	50	25
		04	09	01	20	58	44	23
		09	15	09	25	63	52	30
- 19	9 54	758.15	758.29	758.15	758.18	758.67	758.48	758.32
		15	32	18	26	69	53	36
		18	32	18	32	69	51	37
		15	32	15	32	69	51	36
		13	26	10	29	67	42	31
		10	24	10	26	64	42	29

Datum 1904	Mittlere Dampfspannung bestimmt durch die Siedethermometer					
	1	2	3	4	5	6
Aug. 23	761.14	761.11	761.14	761.36	761.73	761.63
- 27	760.87 760.10	760.90 760.10	760.87 760.16	761.06 760.32	761.44 760.71	761.34 760.65
- 28	763.83 762.41	763.77 762.33	763.83 762.38	763.91 762.47	764.40 762.93	764.29 762.81
- 29	761.32	761.27	761.25	761.35	761.84	761.76
- 30	760.08 759.61	760.09 759.66	760.10 759.64	760.17 759.72	760.67 760.21	760.56 760.05
- 31	764.05 763.64	764.05 763.63	764.03 763.61	764.12 763.73	764.62 764.19	764.45 764.02
Sept. 1	766.49 765.65	766.52 765.62	766.51 765.58	766.59 765.72	767.11 766.21	766.92 765.98
- 2	765.95 764.83	765.94 764.79	765.91 764.72	766.02 764.85	766.52 765.35	766.26 765.14
- 3	764.57 762.96	764.53 762.94	764.46 762.92	764.66 763.12	765.09 763.57	764.93 763.41
- 4	762.61 760.78	762.63 760.71	762.58 760.70	762.72 760.88	763.17 761.34	762.96 761.24
- 5	760.08 758.16 759.00	760.06 758.11 758.94	760.01 758.06 758.90	760.16 758.17 759.08	760.60 758.63 759.47	760.49 758.54 759.39
- 6	759.23	759.17	759.14	759.29	759.70	759.65
- 7	759.53 758.39	759.50 758.35	759.43 758.30	759.54 758.44	759.97 758.86	759.92 758.68
- 8	760.40 759.38	760.36 759.31	760.31 759.28	760.47 759.42	760.86 759.85	760.76 759.70
- 9	761.61 760.29	761.60 760.26	761.55 760.17	761.68 760.40	762.11 760.75	762.02 760.73
- 10	763.27 762.06	763.29 762.06	763.12 761.94	763.24 762.13	763.70 762.56	763.70 762.44
- 12	764.18 763.36	764.23 763.27	764.10 763.22	764.25 763.40	764.70 763.81	764.54 763.75
- 13	762.41 761.39	762.39 761.49	762.31 761.32	762.57 761.59	762.92 761.97	762.87 761.84
- 14	766.60 766.04	766.51 765.99	766.40 765.91	766.59 766.11	766.98 766.51	766.77 766.37
- 15	763.74 762.76	763.73 762.79	763.65 762.66	763.84 762.88	764.20 763.25	764.05 763.11

Datum 1904	Mittlere Dampfspannung bestimmt durch die Siedethermometer					
	1	2	3	4	5	6
Sept. 16	<small>WERT</small> 761.65 760.67	<small>WERT</small> 761.70 760.65	<small>WERT</small> 761.62 760.52	<small>WERT</small> 761.81 760.80	<small>WERT</small> 761.15 761.21	<small>WERT</small> 761.00 761.10
- 18	749.87 749.53 749.49 749.05	749.85 749.61 749.58 749.09	749.88 749.56 749.47 749.02	750.02 749.73 749.62 749.18	750.37 750.06 750.07 749.59	750.26 749.97 749.94 749.48
- 19	758.14	758.29	758.14	758.27	758.68	758.48

Datum 1904	Messung der Barometerhöhe									
	1. Messung Barometer					2. Messung Barometer				
	I	II	III	IV	V	I	II	III	IV	V
Aug. 23	<small>WERT</small> 761.58 53 59 61 62 57	<small>WERT</small> 761.59 57 32 33 32 28	<small>WERT</small> 761.43 38 40 43 43 40	<small>WERT</small> 761.62 60 65 68 60 67	<small>WERT</small> 761.59 51 58 61 60 56	<small>WERT</small> 761.57 55 60 61 61 58	<small>WERT</small> 761.50 26 33 34 33 28	<small>WERT</small> 761.43 37 40 43 43 39	<small>WERT</small> 761.64 59 64 68 68 66	<small>WERT</small> 761.56 51 57 62 57 54
$t = +19^{\circ}25$										
Aug. 27	761.10 11 13 11 10 11	760.86 85 86 86 81 85	761.00 760.95 96 94 90 93	761.24 20 20 19 17 19	761.11 11 10 10 07 10	761.09 10 12 11 11 11	760.86 85 84 85 80 84	760.98 96 95 95 90 95	761.21 19 19 21 17 18	761.14 09 10 11 08 09
$t = +18^{\circ}60$	760.56 59 59 58 57 61	760.31 31 29 27 30 31	760.44 45 43 40 41 46	760.61 64 64 60 63 66	760.58 59 57 55 58 61	760.56 59 58 55 58 62	760.31 33 33 28 33 35	760.45 46 44 39 44 48	760.61 66 66 62 65 68	760.58 61 58 55 61 62
Aug. 28	764.07 03 00 01 763.98 91	763.74 78 76 73 69 63	763.90 97 90 85 83 77	764.09 12 11 10 09 763.98 93	764.09 07 05 03 02 763.98 93	764.02 04 03 02 02 763.90 90	763.76 78 75 73 72 64	763.91 96 93 87 84 77	764.12 12 11 10 08 00	763.06 09 06 04 04 08 763.93
$t = +17^{\circ}06$										
$t = +19^{\circ}30$	761.89 89 90 88 79 76	762.64 62 59 59 50 45	762.80 76 73 73 66 62	762.99 96 96 91 90 86	762.95 91 88 91 82 75	762.91 88 88 89 81 78	762.63 66 59 59 51 48	762.81 77 73 71 67 59	762.98 90 96 96 90 84	762.93 91 90 90 81 75

Datum 1904	Messung der Barometerhöhe									
	1. Messung Barometer					2. Messung Barometer				
	I	II	III	IV	V	I	II	III	IV	V
Aug. 29 $t = +18^{\circ}35$	761.60 63 67 67 63 67	761.32 32 37 39 39 37	761.53 53 55 55 57 53	761.67 67 73 73 73 71	— — — — — —	761.62 64 66 65 65 65	761.33 34 39 37 38 37	761.50 51 56 54 58 53	761.68 68 74 75 78 71	— — — — — —
	760.46 46 36 39 38 43	760.23 21 10 12 10 14	760.38 38 26 26 24 26	760.47 49 41 41 39 43	— — — — — —	760.40 41 35 39 38 42	760.23 21 09 12 11 15	760.37 38 25 25 24 25	760.49 50 41 40 41 44	— — — — — —
	760.05 02 759.95 760.00 759.98 760.00	759.81 77 74 77 77 77	760.01 759.96 87 91 94 91	760.09 06 02 04 06 04	— — — — — —	760.02 759.99 96 95 760.02 02	759.76 76 70 73 76 75	760.00 759.93 91 90 91 89	760.07 03 00 00 05 03	— — — — — —
	764.19 21 21 26 23 23	763.88 92 90 97 95 95	764.03 06 08 13 10 13	764.26 26 24 26 34 32	764.24 24 18 22 25 26 32	764.19 18 20 25 26 26 26	763.90 92 93 98 94 97 97	764.03 04 06 13 11 11 88	764.25 27 28 33 34 32 08	764.21 23 24 29 29 25 03
	763.87 87 92 94 97 764.04	763.60 56 60 69 67 71	763.78 78 78 85 82 89	763.94 94 98 764.00 03 00 06	763.92 94 98 764.03 03 00 03	763.88 83 90 97 99 764.00 02	763.88 60 64 68 84 87 73	763.79 80 80 764.02 02 04 88	763.93 96 99 764.02 02 04 08	763.92 93 93 764.01 07 04 03
Sept. 1 $t = +21^{\circ}14$	767.21 28 33 38 38 31	766.90 94 767.04 00 04 04	766.99 98 08 13 13 13	767.18 18 37 39 41 41	767.22 28 32 39 41 39	767.20 26 28 33 35 39	766.89 93 767.00 04 00 05	766.99 97 08 10 10 13	767.25 30 35 39 43 43	767.22 25 31 39 43 35
	766.63 65 63 61 61 63	766.30 32 26 21 23 26	766.49 42 45 42 40 42	766.64 64 64 60 55 60 62	766.69 64 64 60 55 60 60	766.64 64 62 59 61 62	766.28 29 26 26 24 26	766.49 47 42 40 41 41	766.65 64 65 61 61 62	766.66 66 62 55 59 62
	767.09 07 11 11 14 11	766.72 76 76 79 76 79	766.87 87 89 92 89 87	767.11 13 15 17 19 15	767.10 10 13 17 10 13	767.07 04 11 09 08 11	766.72 75 80 78 77 76	766.86 85 91 89 88 86	767.10 13 16 17 15 17	767.07 10 12 17 10 10

Datum 1904	Messung der Barometerhöhe									
	1. Messung Barometer					2. Messung Barometer				
	I	II	III	IV	V	I	II	III	IV	V
Sept. 2 $t = + 13^{\circ}43$	<small>mm</small> 766.12	<small>mm</small> 765.76	—	<small>mm</small> 766.15	<small>mm</small> 766.17	<small>mm</small> 766.07	<small>mm</small> 765.77	—	<small>mm</small> 766.16	<small>mm</small> 766.13
	07	28	—	17	13	09	28	—	18	11
	15	83	—	17	15	11	83	—	17	12
	17	83	—	19	17	15	83	—	18	13
	22	85	—	24	19	18	84	—	19	20
	24	89	—	28	19	23	89	—	24	20
Sept. 3 $t = + 14^{\circ}50$	<small>mm</small> 766.29	<small>mm</small> 765.90	<small>mm</small> 766.07	<small>mm</small> 766.34	<small>mm</small> 766.30	<small>mm</small> 766.25	<small>mm</small> 765.87	<small>mm</small> 766.04	<small>mm</small> 766.32	<small>mm</small> 766.29
	29	93	12	32	30	29	94	07	31	26
	29	92	07	32	23	29	93	03	31	26
	27	88	02	28	25	25	87	01	30	23
	24	86	00	26	23	23	85	00	32	19
	17	79	00	19	14	18	76	03	17	14
$t = + 15^{\circ}45$	<small>mm</small> 764.81	<small>mm</small> 764.41	<small>mm</small> 764.53	<small>mm</small> 764.80	<small>mm</small> 764.84	<small>mm</small> 764.76	<small>mm</small> 764.42	<small>mm</small> 764.55	<small>mm</small> 764.79	<small>mm</small> 764.76
	81	46	57	80	80	78	47	56	86	85
	89	51	57	82	82	83	49	58	83	82
	86	56	62	86	84	86	53	62	88	86
	94	58	67	92	93	91	60	63	90	92
	91	53	62	90	89	92	53	61	87	90
Sept. 4 $t = + 15^{\circ}60$	<small>mm</small> 764.65	<small>mm</small> 764.33	<small>mm</small> 764.42	<small>mm</small> 764.72	<small>mm</small> 764.65	<small>mm</small> 764.65	<small>mm</small> 764.32	<small>mm</small> 764.40	<small>mm</small> 764.70	<small>mm</small> 764.65
	65	29	42	71	63	63	29	41	69	61
	60	26	38	66	60	57	26	35	66	60
	62	30	36	68	60	58	26	37	66	59
	61	29	37	64	61	62	27	35	66	62
	60	24	33	62	61	59	26	33	61	57
$t = + 15^{\circ}75$	<small>mm</small> 762.75	<small>mm</small> 762.44	<small>mm</small> 762.58	<small>mm</small> 762.84	<small>mm</small> 762.73	<small>mm</small> 762.74	<small>mm</small> 762.44	<small>mm</small> 762.54	<small>mm</small> 762.79	<small>mm</small> 762.71
	76	45	57	82	79	77	44	55	81	76
	78	47	59	83	78	74	46	58	82	78
	82	51	58	87	81	81	48	57	84	79
	83	53	64	91	85	86	51	62	89	87
	83	51	62	88	82	84	48	62	88	82
Sept. 5 $t = + 16^{\circ}20$	<small>mm</small> 762.30	<small>mm</small> 762.01	<small>mm</small> 762.15	<small>mm</small> 762.37	<small>mm</small> 762.31	<small>mm</small> 762.30	<small>mm</small> 761.98	<small>mm</small> 762.13	<small>mm</small> 762.37	<small>mm</small> 762.31
	26	761.96	12	36	28	29	98	12	33	27
	28	98	06	32	26	06	94	06	28	23
	22	94	06	30	21	25	94	03	28	20
	23	94	05	32	22	24	91	05	31	20
	29	97	07	34	26	28	97	05	34	25
$t = + 16^{\circ}52$	<small>mm</small> 760.41	<small>mm</small> 760.13	<small>mm</small> 760.28	<small>mm</small> 760.50	<small>mm</small> 760.42	<small>mm</small> 760.42	<small>mm</small> 760.15	<small>mm</small> 760.28	<small>mm</small> 760.49	<small>mm</small> 760.41
	45	17	30	52	45	44	18	30	53	45
	44	15	27	52	46	43	16	31	52	44
	44	18	29	51	43	44	17	28	51	41
	44	23	35	54	47	43	22	35	53	45
	45	21	32	55	46	48	22	33	50	45
$t = + 16^{\circ}85$	<small>mm</small> 760.96	<small>mm</small> 760.68	<small>mm</small> 760.71	<small>mm</small> 761.06	<small>mm</small> 760.95	<small>mm</small> 760.96	<small>mm</small> 760.70	<small>mm</small> 760.73	<small>mm</small> 761.06	<small>mm</small> 760.97
	761.02	72	74	09	761.04	761.01	71	75	11	761.01
	06	71	78	15	03	05	77	79	15	04
	08	76	79	16	05	05	76	80	15	08
	16	85	86	23	14	15	86	89	24	13
	20	92	93	29	17	23	90	95	29	20

Datum 1904	Messung der Barometerhöhe									
	1. Messung Barometer					2. Messung Barometer				
	I	II	III	IV	V	I	II	III	IV	V
Sept. 6 $t = + 27.3^{\circ}$	761.29 19 34 40 44 50	761.01 01 03 09 14 20	761.01 05 07 12 17 23	761.34 35 41 45 51 55	761.23 30 36 39 48 51	761.27 31 34 40 47 51	760.97 04 05 10 16 22	761.03 04 08 14 20 27	761.33 33 41 45 50 58	761.27 31 35 42 43 51
	761.77 75 78 72 75 78	761.42 48 46 48 47 41	761.49 51 52 52 50 50	761.82 81 83 85 84 83	761.73 76 75 78 72 71	761.77 75 74 73 76 77	761.46 43 46 46 47 48	761.51 51 51 53 52 52	761.79 85 84 86 84 83	761.71 74 73 75 72 69
	760.50 58 49 58 48 72	760.23 26 31 28 20 45	760.31 34 30 35 26 46	760.59 64 58 59 57 75	760.50 56 50 55 49 65	760.52 53 52 55 50 73	760.24 27 34 33 23 45	760.32 32 37 35 28 44	760.59 61 59 62 58 79	760.51 55 59 55 58 70
	762.42 45 46 48 49 52	762.14 15 16 15 15 19	762.17 18 16 17 20 21	762.45 49 46 51 54 51	762.39 43 43 45 51 47	762.42 44 45 49 52 51	762.12 15 17 16 20 21	762.17 19 18 18 21 20	762.46 48 49 48 53 50	762.40 43 45 48 48 42
	761.34 37 42 45 48 48	761.05 07 08 15 10 15	761.07 10 11 17 17 16	761.34 36 37 40 40 45	761.41 39 44 43 46 47	761.33 34 44 45 44 47	761.05 06 13 09 06 15	761.09 14 15 18 15 18	761.55 38 40 46 44 46	761.37 37 41 44 46 47
Sept. 9 $t = + 26.29$	763.44 44 48 47 56 50	763.16 15 17 18 21 21	763.23 18 25 21 23 24	763.48 49 50 52 55 54	763.44 45 47 49 56 54	763.45 45 46 45 50 54	763.15 15 16 17 21 21	763.22 19 25 22 23 24	763.50 50 51 51 53 53	763.46 46 50 48 56 50
	762.02 06 08 11 12 14	761.75 77 78 78 81 82	761.83 84 86 86 91 90	762.07 13 15 10 19 21	762.07 10 07 11 13 14	762.04 06 07 11 11 10	761.75 76 88 77 81 81	761.82 84 88 88 90 89	762.05 11 12 15 18 18	762.04 07 05 09 12 15
	764.98 765.00 764.97 96 94 96	764.65 70 68 63 61 62	764.70 76 72 71 69 69	764.99 92 94 98 96 97	764.92 92 94 92 91 89	764.97 98 94 99 96 91	764.68 71 70 66 61 65	764.75 77 74 71 69 70	765.01 02 01 00 764.96 99	764.91 94 94 92 89 92
Sept. 10 $t = + 26.15$										

Datum 1904	Messung der Barometerhöhe									
	1. Messung					2. Messung				
	Barometer					Barometer				
	I	II	III	IV	V	I	II	III	IV	V
Sept. 10	763.86 85 82 81 88 87	763.56 50 51 50 58 59	763.65 61 62 63 63 65	763.97 89 85 87 92 97	763.89 84 82 81 88 88	763.86 84 83 81 90 88	763.57 50 53 53 55 57	763.68 65 62 64 68 69	763.91 87 87 84 94 96	763.89 81 83 86 90 92
$t = +26^{\circ}.47$										
Sept. 12	765.83 83 82 81 78 76	765.54 52 53 48 46 42	765.67 64 60 60 55 51	765.91 87 86 82 81 75	765.91 88 86 86 79 73	765.89 83 83 81 75 73	765.57 53 51 48 45 40	765.66 62 58 57 54 50	765.92 90 83 80 80 75	765.93 85 84 83 79 75
$t = +25^{\circ}.74$										
Sept. 13	764.76 88 89 91 97 96	764.49 56 58 59 63 65	764.65 69 69 69 73 72	764.82 92 89 92 94 97	764.85 88 90 92 99 97	764.79 85 89 93 99 765.01	764.53 59 60 61 64 67	764.65 70 71 66 74 76	764.82 90 90 94 98 99	764.83 90 93 91 98 99
$t = +25^{\circ}.63$										
Sept. 14	764.24 20 17 18 17 16	763.92 89 86 86 86 87	764.07 02 00 98 97	764.33 29 26 22 25 21	764.25 24 18 17 19 17	764.27 20 20 17 19 17	763.93 90 01 89 89 87	764.07 03 01 00 00 763.99	764.35 28 26 25 27 24	764.29 24 22 20 18 17
$t = +26^{\circ}.80$										
Sept. 14	767.83 77 73 79 74 74	767.49 47 40 44 40 43	767.64 59 54 54 51 52	767.84 81 75 78 75 77	767.87 79 78 76 75 77	767.82 77 75 76 75 77	767.52 46 42 47 42 42	767.66 58 55 56 54 54	767.86 81 76 80 75 77	767.86 80 78 78 78 77
$t = +23^{\circ}.62$										
Sept. 15	767.12 15 23 27 34 45	766.77 87 91 93 99 767.11	766.85 93 98 93 10 19	— — — — — —	767.14 21 26 27 35 49	767.11 14 28 27 35 44	766.76 87 92 95 97 12	766.90 94 97 04 09 21	— — — — — —	767.16 22 27 29 38 48
$t = +24^{\circ}.62$										
Sept. 15	765.38 32 25 20 19 18	765.00 96 86 87 83 81	765.13 08 98 97 94 90	765.30 22 11 14 10 07	765.44 36 31 28 24 22	765.43 30 29 23 20 18	764.99 97 86 90 87 84	765.16 10 00 94 95 93	765.31 26 23 18 10 08	765.45 39 29 27 24 24
$t = +26^{\circ}.13$										
Sept. 16	763.94 764.06 16 23 28 33	763.62 68 79 90 97 99	763.71 75 84 93 99 764.00	763.89 764.01 08 21 26 30	764.05 14 20 27 33 41	763.95 764.07 16 23 31 33	763.62 69 84 89 91 764.02	763.73 79 88 94 95 03	763.90 764.00 14 17 30 31	764.06 15 22 35 34 35
$t = +26^{\circ}.72$										

Datum 1904	Messung der Barometerhöhe									
	1. Messung Barometer					2. Messung Barometer				
	I	II	III	IV	V	I	II	III	IV	V
Sept. 16 $t = +16^{\circ}70$	764.21	763.90	763.98	764.19	764.31	764.24	763.91	763.97	764.21	764.28
	19	27	91	12	20	18	79	91	14	20
	23	86	90	17	26	23	88	94	17	28
	16	84	93	18	22	19	79	96	16	19
	16	79	89	20	20	15	88	88	11	20
Sept. 17 $t = +17^{\circ}09$	12	78	84	06	18	13	81	84	07	18
	761.28	761.85	761.80	761.98	761.30	761.30	761.85	761.78	761.03	761.31
	25	86	81	762.04	30	27	89	83	01	31
	25	78	80	25	30	25	83	81	—	26
	20	80	76	762.96	26	23	80	77	761.99	25
Sept. 18 $t = +16^{\circ}10$	18	78	76	97	25	20	79	77	762.00	24
	13	77	73	98	17	18	81	76	761.99	19
	751.40	751.20	751.26	751.50	751.42	751.41	751.21	751.27	751.51	751.43
	45	25	30	55	50	47	28	29	57	53
	38	17	20	48	44	39	18	21	49	43
Sept. 19 $t = +15^{\circ}65$	20	750.98	06	30	27	24	01	07	30	28
	750.90	750.69	750.68	751.01	750.89	750.89	750.66	750.67	751.00	750.89
	93	74	69	04	94	94	73	69	05	97
	751.00	750.78	750.76	751.04	751.03	751.03	750.77	750.77	751.01	750.99
	750.98	750.75	750.74	751.07	750.99	750.96	750.73	750.75	751.01	750.98
Sept. 20 $t = +16^{\circ}50$	95	72	72	04	94	750.96	750.72	750.75	751.01	750.98
	98	77	75	08	751.00	99	77	76	08	751.01
	750.95	750.71	750.73	751.08	750.96	750.95	750.74	750.75	751.09	750.96
	94	73	72	07	95	97	74	74	07	96
	96	76	76	10	98	97	75	77	10	751.02
Sept. 21 $t = +17^{\circ}90$	751.00	750.77	750.74	751.00	751.02	751.02	750.78	750.78	751.01	750.98
	01	78	81	13	751.03	04	79	80	14	751.05
	02	80	78	15	04	03	81	81	16	05
	750.67	750.46	750.46	750.78	750.72	750.68	750.50	750.48	750.78	750.71
	64	45	46	76	69	69	47	47	77	71
Sept. 22 $t = +13^{\circ}13$	68	47	46	80	72	70	48	49	81	72
	68	47	47	79	71	70	49	48	81	74
	71	52	51	83	73	73	43	51	85	76
	76	55	53	87	78	76	47	58	88	81
	759.13	758.97	758.99	759.28	759.24	759.23	758.99	759.01	759.19	759.26
Sept. 23 $t = +13^{\circ}13$	23	97	97	28	23	25	99	00	30	24
	23	96	98	27	24	23	98	00	28	24
	24	97	98	27	22	24	96	00	28	22
	21	91	96	25	21	23	93	758.96	27	22
	22	93	96	25	22	20	94	97	26	23

Barometer I.

Datum 1904	Barometermittel			Korrektion wegen				Ver- besserte Ablesung
	1. Messung	2. Messung	Mittel	Temperatur	Bandbreite	Schwärzung	Stand	
Aug. 23	761.58	761.59	761.58	- 2.53	- 0.09	+ 0.02	0.00	758.98
" 27	761.11	761.11	761.11	- 2.27	- 0.10	0.00	0.00	758.74
	760.58	760.58	760.58	- 2.44	- 0.12	0.00	0.00	758.02
" 28	764.00	764.00	764.00	- 2.25	- 0.08	+ 0.01	- 0.01	761.67
	762.85	762.86	762.86	- 2.53	- 0.10	+ 0.01	- 0.01	760.23
" 29	761.64	761.65	761.64	- 2.42	- 0.15	+ 0.01	0.00	759.08
" 30	760.41	760.39	760.40	- 2.33	- 0.13	0.00	0.00	757.94
	760.00	759.99	760.00	- 2.51	- 0.14	0.00	0.00	757.35
" 31	764.22	764.22	764.22	- 2.26	- 0.07	+ 0.01	- 0.01	761.89
	763.94	763.95	763.95	- 2.38	- 0.10	+ 0.02	- 0.01	761.48
Sept. 1	767.32	767.31	767.31	- 2.80	- 0.05	+ 0.03	- 0.02	764.47
	766.63	766.62	766.63	- 2.86	- 0.11	+ 0.01	- 0.02	763.65
" 2	767.11	767.08	767.09	- 2.97	- 0.10	+ 0.03	- 0.02	764.03
	766.16	766.14	766.15	- 3.09	- 0.13	+ 0.01	- 0.01	762.93
" 3	766.26	766.25	766.25	- 3.24	- 0.12	+ 0.01	- 0.02	762.88
	764.87	764.84	764.86	- 3.35	- 0.16	+ 0.01	- 0.01	761.35
" 4	764.65	764.61	764.63	- 3.36	- 0.10	+ 0.01	- 0.01	761.17
	762.80	762.79	762.80	- 3.39	- 0.13	+ 0.01	- 0.01	759.28
" 5	762.26	762.27	762.26	- 3.44	- 0.12	+ 0.02	- 0.01	758.71
	760.44	760.44	760.44	- 3.47	- 0.12	- 0.01	0.00	756.84
	761.08	761.08	761.08	- 3.51	- 0.12	0.00	0.00	757.45
" 6	761.38	761.38	761.38	- 3.58	- 0.10	0.00	0.00	757.70
" 7	761.76	761.75	761.76	- 3.55	- 0.12	+ 0.02	0.00	758.11
	760.56	760.56	760.56	- 3.55	- 0.13	+ 0.02	0.00	756.90
" 8	762.47	762.47	762.47	- 3.54	- 0.12	+ 0.02	- 0.04	758.82
	761.42	761.41	761.41	- 3.55	- 0.12	+ 0.02	0.00	757.76
" 9	763.48	763.48	763.48	- 3.45	- 0.12	+ 0.03	- 0.01	759.93
	762.09	762.09	762.09	- 3.45	- 0.13	+ 0.04	- 0.01	758.54
" 10	764.97	764.96	764.97	- 3.44	- 0.10	+ 0.02	- 0.01	761.44
	763.85	763.85	763.85	- 3.48	- 0.09	+ 0.03	- 0.01	760.30
" 11	765.81	765.81	765.81	- 3.40	- 0.10	+ 0.02	- 0.01	762.32
	764.90	764.92	764.91	- 3.38	- 0.12	+ 0.03	- 0.01	761.43
" 12	764.19	764.20	764.19	- 3.52	- 0.10	+ 0.01	- 0.01	760.57
" 14	767.77	767.78	767.78	- 3.13	- 0.12	+ 0.02	- 0.02	764.53
	767.26	767.27	767.26	- 3.25	- 0.08	+ 0.03	- 0.02	763.94
" 15	765.25	765.29	765.27	- 3.46	- 0.12	+ 0.03	- 0.01	761.71
	764.17	764.18	764.18	- 3.51	- 0.10	+ 0.01	- 0.01	760.57

Datum 1904	Barometernittel			Korrektion wegen				Ver- besserte Ablesung
	1. Messung	2. Messung	Mittel	Temperatur	Bandbreite	Schwärzung	Stand	
Aug. 16	^{764.13} 762.22	^{764.19} 762.24	^{764.18} 762.23	— 3.51 — 3.55	— 0.12 — 0.13	+ 0.02 + 0.02	— 0.01 — 0.01	^{760.56} 758.56
- 18	^{751.36} 750.96 750.98 750.69	^{751.38} 750.97 751.00 750.71	^{751.37} 750.97 750.99 750.70	— 3.39 — 3.31 — 3.42 — 3.61	— 0.13 — 0.10 — 0.10 — 0.08	+ 0.02 + 0.01 + 0.01 + 0.01	+ 0.02 + 0.02 + 0.02 + 0.02	^{747.89} 747.59 747.50 747.04
- 19	759.23	759.23	759.23	— 3.04	— 0.09	+ 0.01	0.00	756.11

Barometer II.

Datum 1904	Barometernittel			Korrektion wegen				Ver- besserte Ablesung
	1. Messung	2. Messung	Mittel	Temperatur	Bandbreite	Schwärzung	Stand	
Aug. 23	^{761.30} 760.85 760.30	^{761.30} 760.84 760.33	^{761.30} 760.85 760.31	— 2.53 — 2.27 — 2.44	— 0.19 — 0.19 — 0.19	+ 0.02 0.00 0.00	+ 0.01 + 0.01 0.00	^{758.61} 758.40 757.68
- 28	^{763.72} 762.57	^{763.73} 762.57	^{763.73} 762.57	— 2.25 — 2.53	— 0.16 — 0.19	0.00 0.00	+ 0.04 + 0.03	^{761.36} 759.88
- 29	761.36	761.36	761.36	— 2.42	— 0.16	0.00	+ 0.02	758.80
- 30	^{760.15} 759.77	^{760.15} 759.76	^{760.15} 759.76	— 2.33 — 2.51	— 0.21 — 0.22	0.00 — 0.01	0.00 0.00	^{757.61} 757.02
- 31	^{763.93} 763.64	^{763.94} 763.65	^{763.94} 763.64	— 2.26 — 2.38	— 0.16 — 0.16	+ 0.01 0.00	+ 0.04 + 0.04	^{761.57} 761.14
Sept. 1	^{767.00} 766.26	^{766.99} 766.26	^{767.00} 766.26	— 2.80 — 2.86	— 0.09 — 0.13	0.00 0.00	+ 0.08 + 0.07	^{764.19} 761.58
- 2	^{766.76} 765.83	^{766.76} 765.82	^{766.76} 765.82	— 2.97 — 3.09	— 0.15 — 0.16	0.00 0.00	+ 0.08 + 0.07	^{763.72} 762.64
- 3	^{765.88} 764.51	^{765.87} 764.51	^{765.88} 764.51	— 3.24 — 3.35	— 0.15 — 0.22	0.00 + 0.01	+ 0.07 + 0.05	^{762.56} 761.00
- 4	^{764.29} 762.49	^{764.28} 762.48	^{764.28} 762.48	— 3.16 — 3.39	— 0.13 — 0.16	0.00 + 0.02	+ 0.05 + 0.02	^{760.84} 758.98
- 5	^{761.96} 760.18 760.78	^{761.96} 760.18 760.78	^{761.96} 760.18 760.78	— 3.44 — 3.47 — 3.51	— 0.16 — 0.18 — 0.16	— 0.02 — 0.03 0.00	+ 0.02 0.00 + 0.01	^{758.36} 756.50 757.12
- 6	761.08	761.08	761.08	— 3.58	— 0.14	0.00	+ 0.01	757.37
- 7	^{761.47} 760.27	^{761.46} 760.28	^{761.47} 760.27	— 3.55 — 3.55	— 0.16 — 0.16	— 0.01 0.00	+ 0.02 0.00	^{757.77} 756.36

Datum 1904	Barometermittel			Korrektion wegen				Ver- besserte Ablesung
	1. Messung	2. Messung	Mittel	Temperatur	Bandbreite	Schwärzung	Stand	
Sept. 8	762.16	762.17	762.17	— 3.54	— 0.16	— 0.03	+ 0.02	758.46
	761.10	761.09	761.09	— 3.55	— 0.16	0.00	+ 0.01	757.39
- 9	763.18	763.18	763.18	— 3.45	— 0.17	— 0.03	+ 0.04	759.57
	761.79	761.78	761.79	— 3.45	— 0.18	— 0.02	+ 0.03	758.17
- 10	764.65	764.67	764.66	— 3.44	— 0.14	+ 0.02	+ 0.05	761.15
	763.54	763.54	763.54	— 3.48	— 0.15	0.00	+ 0.04	759.95
- 12	765.49	765.49	765.49	— 3.40	— 0.16	0.00	+ 0.06	761.99
	764.58	764.61	764.59	— 3.38	— 0.19	+ 0.02	+ 0.05	761.09
- 13	763.88	763.90	763.89	— 3.52	— 0.15	0.00	+ 0.04	760.26
	767.44	767.45	767.45	— 3.13	— 0.16	0.00	+ 0.08	764.24
	766.93	766.94	766.93	— 3.25	— 0.14	0.00	+ 0.08	763.62
- 15	764.89	764.91	764.90	— 3.46	— 0.16	0.00	+ 0.06	761.34
	763.83	763.84	763.84	— 3.51	— 0.14	0.00	+ 0.04	760.23
- 16	763.82	763.83	763.82	— 3.51	— 0.15	+ 0.01	+ 0.04	760.21
	761.81	761.83	761.82	— 3.55	— 0.16	+ 0.02	+ 0.02	758.15
- 18	751.14	751.17	751.16	— 3.39	— 0.22	0.00	— 0.10	747.45
	750.74	750.73	750.73	— 3.31	— 0.18	0.00	— 0.11	747.13
	750.76	750.77	750.77	— 3.42	— 0.18	0.00	— 0.11	747.06
	750.49	750.51	750.50	— 3.61	— 0.15	0.00	— 0.11	746.63
- 19	758.95	758.97	758.96	— 3.04	— 0.15	0.00	— 0.01	755.76

Barometer III.

Datum 1904	Barometermittel			Korrektion wegen				Ver- besserte Ablesung
	1. Messung	2. Messung	Mittel	Temperatur	Bandbreite	Schwärzung	Stand	
Aug. 23	761.41	761.41	761.41	— 2.53	— 0.18	+ 0.02	+ 0.01	758.73
	760.95	760.95	760.95	— 2.27	— 0.19	0.00	+ 0.01	758.50
- 27	760.43	760.44	760.43	— 2.44	— 0.20	+ 0.01	0.00	757.80
	763.87	763.88	763.88	— 2.25	— 0.19	0.00	+ 0.03	761.47
- 28	762.71	762.72	762.71	— 2.53	— 0.21	0.00	+ 0.02	759.99
	761.54	761.54	761.54	— 2.42	— 0.20	0.00	+ 0.01	758.93
- 30	760.30	760.29	760.29	— 2.33	— 0.25	0.00	0.00	757.71
	759.93	759.93	759.93	— 2.51	— 0.27	— 0.03	0.00	757.12

Datum 1904	Barometermittel			Korrektion wegen				Ver- besserte Ablesung
	1. Messung	2. Messung	Mittel	Temperatur	Bandbreite	Schwarzung	Stand	
Aug. 31	mm 764.09 763.82	mm 764.08 763.83	mm 764.09 763.82	mm — 2.26 — 2.38	mm — 0.19 — 0.19	mm 0.00 0.00	mm + 0.04 + 0.03	mm 761.68 761.28
Sept. 1	767.09 766.42	767.08 766.43	767.08 766.43	— 2.80 — 2.86	— 0.15 — 0.17	+ 0.02 0.00	+ 0.06 + 0.06	764.21 763.46
" 2	766.89 —	766.88 —	766.88 —	— 2.97 —	— 0.19 —	0.00 —	+ 0.06 —	763.78 —
" 3	766.05 764.60	766.02 764.59	766.03 764.60	— 3.24 — 3.33	— 0.17 — 0.23	0.00 0.00	+ 0.03 + 0.04	762.67 761.06
" 4	764.38 762.58	764.37 764.58	764.37 762.58	— 3.36 — 3.39	— 0.16 — 0.21	0.00 0.00	+ 0.04 + 0.02	760.89 759.00
" 5	762.09 760.30 760.80	762.07 760.31 760.82	762.08 760.31 760.81	— 3.44 — 3.47 — 3.51	— 0.20 — 0.19 — 0.16	— 0.03 — 0.04 0.00	+ 0.02 0.00 + 0.01	758.43 756.61 757.15
" 6	761.13	761.11	761.12	— 3.58	— 0.15	0.00	+ 0.01	757.40
" 7	761.52 760.34	761.51 760.34	761.51 760.34	— 3.53 — 3.55	— 0.17 — 0.18	0.00 0.00	+ 0.01 0.00	757.80 756.61
" 8	762.19 761.15	762.18 761.14	762.19 761.14	— 3.54 — 3.55	— 0.17 — 0.17	— 0.03 — 0.02	+ 0.02 + 0.01	758.47 757.41
" 9	763.23 761.87	763.22 761.87	763.23 761.87	— 3.45 — 3.45	— 0.17 — 0.20	— 0.03 — 0.03	+ 0.03 + 0.02	759.61 758.21
" 10	764.73 763.66	764.71 763.63	764.72 763.64	— 3.44 — 3.48	— 0.16 — 0.17	+ 0.02 0.00	+ 0.04 + 0.03	761.18 760.02
" 11	765.58 764.70	765.60 764.70	765.59 764.70	— 3.40 — 3.38	— 0.17 — 0.21	0.00 + 0.02	+ 0.05 + 0.04	762.07 761.17
" 12	764.02	764.00	764.01	— 3.52	— 0.17	0.00	+ 0.03	760.35
" 13	767.57 767.03	767.56 767.01	767.57 767.02	— 3.13 — 3.25	— 0.17 — 0.17	0.00 0.00	+ 0.07 + 0.06	764.34 763.66
" 14	764.99 763.90	765.00 763.87	764.99 763.89	— 3.46 — 3.51	— 0.18 — 0.17	0.00 + 0.02	+ 0.04 + 0.03	761.39 760.26
" 15	763.92 761.79	763.91 761.78	763.91 761.79	— 3.51 — 3.55	— 0.17 — 0.18	+ 0.02 + 0.02	+ 0.03 + 0.02	760.28 758.10
" 16	758.21 750.73 750.98 750.50	758.21 750.71 750.76 750.48	758.21 750.73 750.77 750.49	— 3.39 — 3.51 — 3.42 — 3.61	— 0.22 — 0.17 — 0.16 — 0.14	0.00 0.00 0.00 0.00	— 0.08 — 0.08 — 0.08 — 0.08	747.51 747.17 747.11 746.66
" 17	758.99	758.97	758.98	— 3.04	— 0.13	0.00	— 0.01	755.80

Barometer IV.

Datum 1904	Barometermittel			Korrektion wegen			Stand	Ver- besserte Ableitung
	1. Messung	2. Messung	Mittel	Temperatur	Bandbreite	Schwärzung		
Aug. 23	761.65	761.65	761.65	- 2.53	- 0.15	+ 0.01	0.00	758.99
- 27	761.20 760.65	761.20 760.61	761.20 760.64	- 2.27 - 2.44	- 0.16 - 0.17	0.00 0.00	0.00 0.00	758.77 758.03
- 28	764.09 762.94	764.08 762.94	764.08 762.94	- 2.25 - 2.53	- 0.13 - 0.17	0.00 0.00	- 0.01 - 0.01	761.69 760.23
- 29	761.71	761.71	761.71	- 2.42	- 0.15	0.00	0.00	759.14
- 30	760.46 760.04	760.43 760.05	760.45 760.04	- 2.33 - 2.51	- 0.18 - 0.19	0.00 + 0.02	0.00 0.00	757.94 757.36
- 31	764.30 764.00	764.30 764.01	764.30 764.00	- 2.26 - 2.38	- 0.14 - 0.15	0.00 + 0.01	- 0.01 - 0.01	761.89 761.47
Sept. 1	767.36 766.63	767.39 766.63	767.38 766.63	- 2.80 - 2.86	- 0.12 - 0.14	+ 0.01 + 0.01	- 0.01 - 0.01	764.46 763.62
- 2	767.15 766.20	767.15 766.19	767.15 766.20	- 2.97 - 3.09	- 0.17 - 0.16	+ 0.01 0.00	- 0.02 - 0.01	764.00 762.94
- 3	766.27 764.86	766.29 764.86	766.28 764.86	- 3.24 - 3.35	- 0.16 - 0.17	0.00 0.00	- 0.01 - 0.01	762.87 761.33
- 4	764.66 762.84	764.67 762.84	764.67 762.84	- 3.36 - 3.39	- 0.15 - 0.16	0.00 0.00	- 0.01 - 0.01	761.15 759.28
- 5	762.32 760.52 761.15	762.34 760.52 761.18	762.33 760.52 761.16	- 3.44 - 3.47 - 3.51	- 0.17 - 0.18 - 0.15	- 0.02 - 0.03 0.00	- 0.01 0.00 0.00	758.69 756.84 757.50
- 6	761.43	761.44	761.44	- 3.58	- 0.14	0.00	0.00	757.72
- 7	761.54 760.63	761.83 760.62	761.83 760.63	- 3.55 - 3.55	- 0.17 - 0.17	0.00 0.00	0.00 0.00	758.11 756.91
- 8	762.49 761.42	762.49 761.39	762.49 761.40	- 3.54 - 3.55	- 0.15 - 0.16	0.00 0.00	- 0.01 0.00	758.79 757.69
- 9	763.51 762.13	763.51 762.14	763.51 762.14	- 3.45 - 3.45	- 0.18 - 0.18	+ 0.02 0.00	- 0.01 - 0.01	759.89 758.50
- 10	765.00 763.90	764.99 763.91	764.99 763.91	- 3.44 - 3.48	- 0.14 - 0.14	+ 0.02 0.00	- 0.01 - 0.01	761.42 760.28
- 11	765.83 764.92	765.84 764.91	765.83 764.92	- 3.40 - 3.38	- 0.16 - 0.18	+ 0.02 + 0.02	- 0.01 - 0.01	762.27 761.37
- 12	764.28	764.26	764.27	- 3.52	- 0.16	0.00	- 0.01	760.58
- 14	767.79 767.37	767.79 767.41	767.79 767.39	- 3.13 - 3.25	- 0.15 - 0.14	0.00 0.00	- 0.02 - 0.02	764.49 763.98
- 15	765.18 764.14	765.16 764.13	765.17 764.14	- 3.46 - 3.51	- 0.17 - 0.16	0.00 0.00	- 0.01 - 0.01	761.53 760.46

Datum 1904	Barometermittel			Korrektion wegen				Ver- besserte Ablesung
	1. Messung	2. Messung	Mittel	Temperatur	Bandbreite	Schwärzung	Stand	
Sept. 16	764.14	764.14	764.14	- 3.51	- 0.16	+ 0.02	- 0.01	762.48
	761.98	762.00	761.99	- 3.55	- 0.17	+ 0.02	0.00	758.29
- 18	751.47	751.46	751.46	- 3.39	- 0.20	0.00	+ 0.02	747.89
	751.06	751.05	751.06	- 3.31	- 0.19	0.00	+ 0.02	747.58
	751.11	751.11	751.11	- 3.42	- 0.18	0.00	+ 0.01	747.53
	750.82	750.81	750.81	- 3.61	- 0.17	0.00	+ 0.02	747.05
- 19	759.28	759.27	759.28	- 3.04	- 0.14	+ 0.02	0.00	756.12

Barometer V.

Datum 1904	Barometermittel			Korrektion wegen				Ver- besserte Ablesung
	1. Messung	2. Messung	Mittel	Temperatur	Bandbreite	Schwärzung	Stand	
Aug. 23	761.58	761.56	761.57	- 2.53	- 0.12	+ 0.02	0.00	758.94
	761.20	761.20	761.20	- 2.27	- 0.13	+ 0.01	0.00	758.71
- 27	760.58	760.59	760.58	- 2.44	- 0.14	0.00	0.00	758.00
	764.02	764.03	764.03	- 2.25	- 0.13	+ 0.01	- 0.01	761.65
- 28	762.87	762.87	762.87	- 2.53	- 0.14	+ 0.01	- 0.01	760.20
- 31	764.26	764.25	764.25	- 2.16	- 0.12	+ 0.01	- 0.01	761.87
	763.98	763.98	763.98	- 2.38	- 0.13	+ 0.01	- 0.01	761.47
Sept. 1	767.33	767.30	767.32	- 2.80	- 0.09	+ 0.02	- 0.02	764.44
	766.61	766.61	766.61	- 2.86	- 0.10	0.00	- 0.01	763.62
- 2	767.12	767.10	767.11	- 2.97	- 0.13	+ 0.02	- 0.02	764.01
	766.17	766.15	766.16	- 3.09	- 0.14	+ 0.01	- 0.02	762.92
- 3	766.24	766.22	766.23	- 3.24	- 0.13	+ 0.01	- 0.02	762.85
	764.85	764.85	764.85	- 3.35	- 0.15	+ 0.01	- 0.01	761.35
- 4	764.62	764.61	764.61	- 3.36	- 0.13	+ 0.01	- 0.01	761.12
	762.80	762.79	762.80	- 3.39	- 0.13	+ 0.01	- 0.02	759.28
- 5	762.25	762.24	762.25	- 3.44	- 0.13	+ 0.02	- 0.01	758.69
	760.45	760.44	760.44	- 3.47	- 0.14	0.00	0.00	756.83
	761.06	761.07	761.07	- 3.51	- 0.12	0.00	0.00	757.44
- 6	761.39	761.38	761.38	- 3.58	- 0.11	0.00	0.00	757.69
- 7	761.74	761.72	761.73	- 3.55	- 0.13	+ 0.03	0.00	758.08
	760.58	760.58	760.58	- 3.55	- 0.13	0.00	0.00	757.90
- 8	762.45	762.44	762.44	- 3.54	- 0.11	+ 0.04	- 0.01	758.22
	761.43	761.42	761.43	- 3.55	- 0.13	+ 0.03	0.00	757.77
- 9	763.49	763.49	763.49	- 3.45	- 0.13	+ 0.04	- 0.01	759.94
	762.10	762.09	762.09	- 3.45	- 0.14	+ 0.05	- 0.01	758.52

Datum 1904	Verbesserte Ableitung Barometer					Schwere- kor- rektion	Dampf- span- nung	Thermom. — Barom. — Berechn. Schwerekor.				
	1	2	3	4	5			1	2	3	4	5
Sept. 4	761.17	760.84	760.89	761.15	761.12	-1.26	761.78	+1.87	+3.20	+3.15	+2.83	+2.92
	759.28	758.98	759.00	759.28	759.28	-1.30	760.94	+1.96	+3.26	+3.24	+2.96	+2.96
- 5	758.71	758.36	758.43	758.69	758.69	-1.42	760.23	+1.95	+3.30	+3.23	+2.97	+2.97
	756.84	756.50	756.61	756.84	756.83	-1.45	758.28	+1.89	+3.23	+3.12	+2.89	+2.90
- 6	757.45	757.12	757.15	757.50	757.44	-1.48	759.13	+3.16	+3.49	+3.46	+3.11	+3.17
	757.70	757.37	757.40	757.72	757.69	-1.48	759.36	+3.14	+3.47	+3.44	+3.12	+3.15
- 7	758.11	757.77	757.80	758.11	758.08	-1.40	759.65	+1.94	+3.28	+3.25	+2.94	+2.97
	756.90	756.56	756.61	756.91	756.90	-1.36	758.51	+2.97	+3.31	+3.26	+2.96	+2.97
- 8	758.81	758.46	758.47	758.79	758.82	-1.27	760.53	+1.98	+3.34	+3.31	+3.01	+2.98
	757.76	757.39	757.41	757.69	757.77	-1.23	759.49	+1.96	+3.33	+3.31	+3.03	+2.95
- 9	759.93	759.57	759.61	759.89	759.94	-1.15	761.76	+1.98	+3.34	+3.30	+3.02	+2.97
	758.54	758.17	758.21	758.50	758.54	-1.13	760.44	+3.03	+3.40	+3.36	+3.07	+3.03
- 10	761.44	761.15	761.18	761.42	761.40	-1.04	763.38	+1.98	+3.27	+3.24	+3.00	+3.02
	760.30	759.95	760.02	760.18	760.26	-1.01	761.20	+1.91	+3.26	+3.19	+2.93	+3.05
- 11	762.32	761.99	762.07	762.27	762.31	-0.94	764.33	+1.95	+3.28	+3.20	+3.00	+2.96
	761.43	761.09	761.17	761.37	761.43	-0.91	763.47	+1.95	+3.29	+3.21	+3.01	+2.95
- 12	760.57	760.26	760.35	760.57	760.57	-0.85	762.55	+2.86	+3.17	+3.08	+2.83	+2.86
	764.53	764.24	764.34	764.49	764.53	-0.78	766.65	+1.90	+3.19	+3.09	+2.94	+2.90
- 13	763.94	763.62	763.66	763.93	763.92	-0.77	766.16	+1.99	+3.31	+3.27	+2.95	+3.01
	761.71	761.34	761.39	761.53	761.70	-0.73	763.87	+1.89	+3.26	+3.21	+3.07	+2.90
- 14	760.57	760.23	760.26	760.46	760.62	-0.72	762.91	+1.96	+3.40	+3.37	+3.17	+3.01
	760.56	760.21	760.28	760.48	760.59	-0.69	762.82	+1.95	+3.30	+3.23	+3.03	+2.92
- 15	758.56	758.25	758.10	758.29	758.60	-0.69	760.85	+1.96	+3.37	+3.42	+3.23	+2.92
	747.89	747.45	747.52	747.89	747.90	-0.65	750.04	+1.80	+3.24	+3.17	+2.80	+2.81
- 16	747.59	747.13	747.17	747.58	747.53	-0.636	749.75	+1.80	+3.26	+3.22	+2.80	+2.85
	747.50	747.06	747.11	747.53	747.44	-0.635	749.69	+1.82	+3.26	+3.22	+2.80	+2.89
- 17	747.04	746.63	746.66	747.05	747.03	-0.635	749.24	+1.84	+3.25	+3.21	+2.82	+2.84
	756.11	755.76	755.80	756.12	756.10	-0.644	758.34	+2.88	+3.23	+3.18	+2.86	+2.88

Genauigkeit der Messungen an den Siedethermometern und Barometern.

Aus dem vorstehend mitgetheilten Beobachtungsmaterial soll zunächst abgeleitet werden, welche Beiträge die Fehler, die durch die Veränderlichkeit der Siedethermometer, die Schätzungsfehler bei ihrer Ablesung, sowie durch die Ungenauigkeit der Messung der Quecksilberhöhe der Barometer entstehen, zu dem Gesamtfehler einer jeden Schwerkraftsbestimmung liefern.

Über das Verhalten der Siedethermometer erhalten wir Aufschluß, wenn wir alle zwischen den sechs Thermometern möglichen Differenzen für jeden Beobachtungssatz bilden. Für diese Differenzenbildung sind der bequemen Rechnung wegen die Thermometerangaben in Temperaturgraden und nicht in Dampfspannung zu Grunde gelegt. Diese Differenzen finden sich für die drei Reisen in den folgenden Tabellen.

Reise Bremerhaven — Melbourne.

Datum		Differenzen der Siedethermometer, ausgedrückt in 0°001														
1904		1-2	1-3	1-4	1-5	1-6	2-3	2-4	2-5	2-6	3-4	3-5	3-6	4-5	4-6	5-6
April	2	+1	+5	-3	-8	-5	+4	-4	-9	-6	-8	-13	-10	-5	-2	+3
	3	+2	+3	-1	-9	-4	+1	-3	-11	-6	-4	-12	-7	-8	-3	+5
	4	+3	+2	0	-8	-4	-1	-3	-11	-7	-2	-10	-6	-8	-4	+4
	5	+3	+4	0	-8	-3	+1	-3	-11	-6	-4	-12	-7	-8	-3	+5
	6	+3	+4	0	-8	-3	+1	-3	-11	-6	-4	-12	-7	-8	-3	+5
	7	+5	+6	+1	-9	-2	+1	-3	-12	-5	-3	-13	-6	-10	-3	+7
	8	+1	+3	0	-8	-3	+1	-3	-10	-5	-3	-11	-6	-8	-3	+5
	9	+1	+4	-1	-9	-3	+3	-2	-10	-4	-5	-13	-7	-8	-2	+6
	10	+1	+5	-1	-8	-3	+3	-2	-9	-4	-6	-13	-8	-7	-2	+5
	11	0	+3	+2	-9	-6	+3	+3	-9	-6	-1	-12	-9	-11	-8	+3
	12	+4	+4	+2	-8	-2	0	-4	-12	-6	-4	-12	-6	-8	-2	+6
	13	+4	+4	+2	-8	-4	+2	-3	-10	-8	-4	-12	-10	-8	-6	+2
	14	0	+3	-1	-12	-8	+3	-1	-12	-8	-4	-15	-11	-11	-7	+4
	15	+3	+3	-2	-12	-7	+1	-4	-14	-9	-5	-15	-10	-10	-5	+5
	16	+3	+3	-1	-11	-8	0	-4	-14	-11	-4	-14	-11	-10	-7	+3
	17	+3	+4	-2	-11	-10	+1	-5	-14	-13	-6	-15	-14	-9	-8	+1
	18	-2	+4	-3	-14	-9	+6	-1	-9	-7	-7	-15	-13	-8	-6	+2
	19	+2	+4	-1	-13	-11	+2	-3	-12	-13	-5	-15	-15	-10	-10	0
	20	+4	+4	-2	-10	-9	+0	-6	-14	-13	-6	-14	-13	-8	-7	+1
	21	-2	+3	-3	-11	-10	+5	-1	-9	-8	-6	-14	-13	-8	-7	+1

Datum 1904	Differenzen der Siedethermometer, ausgedrückt in 0.001														
	1-2	1-3	1-4	1-5	1-6	2-3	2-4	2-5	2-6	3-4	3-5	3-6	4-5	4-6	5-6
April 18	0	+4	-1	-11	-9	+4	-1	-11	-9	-5	-15	-13	-10	-8	+3
- 19	+5	+5	+1	-9	8	0	-4	-14	-13	-4	-14	-13	-10	-9	+5
- 20	+4	+4	-1	-12	-7	+4	0	-6	-16	-14	-6	-16	-14	-10	+8
- 21	+3	+3	-1	-11	-10	0	-3	-13	-12	0	-13	-12	-10	-9	+1
- 22	-2	-2	-7	-18	-14	-3	-6	-18	-14	-4	-16	-13	-12	-8	+4
- 23	+3	0	-6	-15	-12	-3	-8	-17	-14	-6	-15	-12	-9	-6	+3
- 24	+5	+3	-2	-13	-11	-2	-7	-18	-16	-5	-16	-14	-11	-8	+4
- 25	+3	+2	-5	-15	-14	-3	-8	-18	-17	-5	-15	-14	-10	-9	+1
- 26	0	-1	-7	-20	-16	-1	-7	-20	-16	-6	-19	-15	-13	-9	+4
- 27	0	0	-6	-16	-16	0	-6	-16	-16	-6	-16	-16	-10	-10	0
- 28	+1	+4	0	-12	-8	+4	0	-12	-8	-4	-16	-12	-12	-8	+4
- 29	+3	+4	-1	-12	-12	-3	-2	-13	-13	-5	-16	-16	-11	-11	0
- 30	+3	+4	-2	-15	-10	+2	-4	-17	-12	-6	-19	-14	-13	-8	+5
Mai 1	+3	+4	-3	-15	-12	+3	-5	-17	-14	-7	-19	-16	-12	-9	+1
- 2	+3	+3	-3	-11	-10	+7	-1	-15	-12	-4	-16	-15	-12	-11	+1
- 3	+6	+5	-3	-15	-11	0	-6	-18	-14	-6	-18	-14	-13	-8	+4
- 4	+3	+5	-1	-11	-8	-1	-7	-17	-14	-6	-16	-13	-10	-7	+3
- 5	+4	+5	+1	-13	-11	+3	-1	-15	-13	-4	-18	-16	-14	-12	+2
- 6	+4	+2	-3	-15	-13	-2	-7	-19	-17	-5	-17	-15	-12	-10	+2
- 7	-1	+4	0	-16	-12	+5	+1	-15	-11	-4	-20	-16	-16	-12	+4
- 8	+1	+4	-2	-15	-10	+5	-1	-14	-9	-6	-19	-14	-13	-8	+6
- 9	+5	+5	0	-14	-8	-1	-5	-19	-13	-4	-18	-13	-14	-13	+5
- 10	+4	+8	+3	-12	-8	+4	-1	-16	-12	-5	-20	-16	-15	-11	+4
- 11	+7	+6	+2	-14	-9	-1	-5	-21	-16	-4	-20	-15	-16	-11	+5
- 12	+2	+1	-9	-24	-13	+1	-7	-22	-11	-8	-23	-12	-15	-4	+11
- 13	+4	+5	-1	-14	-11	+1	-5	-18	-15	-6	-19	-16	-13	-10	+3
- 14	+5	+4	-1	-15	-12	-1	-6	-20	-17	-5	-19	-16	-14	-11	+3
- 15	+7	+6	+1	-14	-9	-1	-6	-21	-16	-5	-20	-15	-15	-10	+5
- 16	+6	+5	+2	-15	-7	-1	-4	-21	-13	-3	-20	-12	-17	-9	+8
- 17	+6	+6	+2	-18	-7	0	-4	-24	-13	-4	-24	-13	-20	-9	+11
- 18	+9	+10	+3	-9	-4	+1	-6	-18	-13	-7	-19	-14	-12	-7	+5
- 19	+6	+5	+4	-13	-6	-1	-2	-19	-12	-1	-18	-11	-17	-10	+7

Reise Sydney — San Francisco.

Datum 1904	Differenzen der Siedethermometer, ausgedrückt in 0.001														
	1-2	1-3	1-4	1-5	1-6	2-3	2-4	2-5	2-6	3-4	3-5	3-6	4-5	4-6	5-6
Juni 26	-2	0	-6	-18	-12	+3	-4	-16	-10	-6	-18	-12	-12	-6	+7
- 27	0	+3	-3	-18	-11	+3	-3	-18	-11	-6	-21	-14	-15	-8	+7
- 28	-1	-1	-5	-20	-11	-1	-5	-20	-11	-4	-19	-10	-16	-6	+9
- 29	-1	-2	-3	-20	-15	-1	-3	-19	-14	-1	-18	-13	-17	-12	+5
- 30	-3	-3	-8	-22	-17	0	-6	-20	-15	-6	-20	-15	-14	-9	+5
- 1	-3	-3	-8	-21	-15	0	-6	-19	-13	-6	-19	-13	-13	-7	+6
- 2	-1	-2	-8	-21	-15	-1	-7	-20	-14	-6	-19	-13	-13	-7	+6
- 3	-3	-2	-8	-23	-17	0	-6	-21	-15	-6	-21	-15	-15	-9	+6
- 4	-1	-1	-7	-20	-13	0	-6	-19	-12	-6	-19	-12	-13	-6	+7

Datum 1904		Differenzen der Siedethermometer, ausgedrückt in 0.001															
		1-2	1-3	1-4	1-5	1-6	2-3	2-4	2-5	2-6	3-4	3-5	3-6	4-5	4-6	5-6	
Juli	1	-1	-1	-6	-21	-11	0	-3	-20	-12	-5	-20	-12	-15	-7	+8	
		0	+1	-4	-20	-11	+1	-4	-20	-11	-5	-21	-12	-16	-7	+9	
- 2		0	+1	-4	-20	-10	+1	-4	-20	-10	-5	-21	-11	-16	-6	+10	
		+1	0	-5	-20	-12	-1	-6	-21	-13	-5	-20	-12	-15	-7	+8	
- 3		-1	0	-3	-20	-13	+1	-2	-19	-12	-5	-20	-13	-17	-10	+7	
		0	+1	-5	-21	-12	+1	-5	-21	-12	-6	-22	-13	-16	-7	+9	
- 4		+2	+3	-3	-19	-13	+1	-5	-21	-15	-6	-22	-16	-10	+6		
		+2	+4	-4	-18	-11	+2	-6	-20	-13	-8	-22	-15	-14	-7	+8	
- 5		-1	-1	-7	-21	-15	0	-6	-20	-14	-6	-20	-14	-14	-8	+5	
		-1	-1	-6	-21	-16	+1	-4	-19	-12	-5	-20	-15	-15	-10	+5	
- 6		0	0	-5	-20	-14	0	-5	-20	-14	-5	-20	-14	-15	-9	+6	
		-2	-3	-5	-22	-14	-1	-3	-20	-12	-2	-19	-11	-17	-9	+8	
- 7		-1	-1	-5	-21	-13	0	-4	-20	-13	-4	-20	-13	-16	-8	+8	
		-1	-1	-6	-20	-14	+2	-4	-18	-12	-6	-20	-14	-14	-8	+6	
- 8		0	-1	-4	-21	-12	0	-3	-20	-11	-3	-20	-11	-17	-8	+9	
		0	+1	-3	-19	-12	+1	-3	-19	-12	-4	-20	-13	-16	-9	+7	
- 9		0	0	-5	-20	-13	0	-5	-20	-13	-5	-20	-13	-15	-8	+7	
		0	0	-4	-21	-13	0	-4	-21	-13	-2	-21	-13	-17	-9	+8	
- 10		0	0	-5	-20	-16	0	-5	-20	-16	-5	-20	-16	-15	-11	+4	
		+2	+3	-2	-16	-11	+1	-4	-18	-13	-5	-19	-14	-14	-9	+5	
- 11		+3	+2	-4	-18	-13	-1	-7	-21	-16	-6	-20	-15	-14	-9	+5	
		+1	0	-4	-23	-16	-1	-5	-24	-17	-4	-23	-16	-19	-12	+7	
- 12		+3	+1	-4	-22	-16	-2	-7	-25	-19	-5	-23	-17	-18	-12	+6	
		+2	+2	-4	-23	-16	0	-6	-24	-18	-6	-24	-18	-18	-12	+6	
- 13		+3	+2	-3	-23	-18	-1	-6	-26	-21	-5	-25	-20	-20	-15	+5	
		+3	+3	-2	-21	-18	0	-5	-24	-14	-5	-24	-14	-19	-9	+10	
- 14		+4	+3	0	-19	-11	-1	-4	-23	-15	-3	-22	-14	-19	-11	+8	
		+4	+4	-1	-19	-11	-3	-5	-23	-15	-2	-20	-12	-18	-10	+8	
- 15		+4	+4	-1	-21	-16	0	-5	-25	-20	-5	-25	-20	-20	-15	+5	
		-2	+4	-2	-21	-14	+6	0	-19	-12	-6	-25	-18	-19	-12	+7	
- 16		+4	+3	-7	-22	-15	-1	-11	-16	-19	-10	-25	-18	-15	-8	+7	
		+3	+1	-5	-19	-14	-2	-8	-22	-17	-6	-20	-15	-14	-9	+5	
- 17		+2	0	-6	-21	-18	-2	-8	-23	-20	-6	-21	-18	-15	-12	+3	
		+2	+0	-4	-20	-18	0	-6	-22	-17	-6	-22	-17	-16	-11	+4	
- 18		+1	0	-6	-25	-18	-2	-8	-27	-20	-6	-25	-18	-19	-12	+7	
		-1	-1	-10	-22	-18	0	-9	-21	-17	-9	-21	-17	-12	-8	+4	
- 19		0	-2	-9	-23	-15	-2	-9	-23	-15	-7	-21	-13	-14	-6	+8	
		-2	-3	-4	-22	-18	-1	-2	-20	-16	-1	-19	-15	-18	-13	+4	
		+1	-2	-3	-21	-21	-3	-4	-23	-23	-1	-20	-19	-19	-18	+1	
		0	-3	-7	-24	-21	-3	-7	-24	-21	-4	-21	-18	-17	-14	+3	

Reise San Francisco — Yokohama.

Datum 1904		Differenzen der Siedethermometer, ausgedrückt in 0.001															
		1-2	1-3	1-4	1-5	1-6	2-3	2-4	2-5	2-6	3-4	3-5	3-6	4-5	4-6	5-6	
Aug. 23		+1	0	-8	-22	-21	-1	-9	-23	-22	-8	-22	-21	-14	-13	+1	
		-1	0	-7	-21	-17	+1	-6	-20	-16	-7	-21	-17	-14	-10	+4	
- 27		0	-2	-8	-22	-20	-2	-8	-22	-20	-6	-20	-18	-14	-12	+3	
		+3	0	-3	-21	-17	-3	-6	-24	-20	-3	-21	-17	-18	-14	+4	
- 28		+2	0	-4	-21	-16	-2	-6	-23	-18	-4	-21	-16	-17	-12	+5	
		+1	+3	-1	-19	-16	+1	-3	-21	-18	-4	-22	-19	-18	-15	+3	
- 29		0	-1	-3	-22	-18	-1	-3	-22	-18	-2	-21	-17	-19	-15	+4	
		-1	-1	-4	-22	-16	0	-3	-21	-15	-3	-21	-15	-18	-12	+6	

Datum 1904	Differenzen der Siedethermometer, ausgedrückt in 0.001														
	1-2	1-3	1-4	1-5	1-6	1-7	1-8	1-9	1-10	1-11	1-12	1-13	1-14	1-15	1-16
Aug. 31	0	+1	-2	-21	-15	+1	-2	-21	-15	-3	-21	-16	-19	-13	+6
Sept. 1	0	+1	-2	-20	-14	+1	-3	-20	-14	-4	-21	-15	-17	-11	+6
- 2	+1	-3	-4	-23	-16	-2	-3	-22	-15	-1	-20	-13	-19	-12	+7
- 3	+1	+2	-3	-21	-13	+1	-4	-22	-14	-5	-23	-15	-18	-10	+8
- 4	+1	+1	-3	-21	-11	-3	-1	-21	-11	-4	-22	-13	-18	-8	+10
- 5	+1	+4	-1	-19	-12	+3	-2	-20	-13	-5	-23	-16	-18	-11	+7
- 6	+1	+4	-1	-19	-13	+2	-5	-21	-15	-7	-25	-17	-16	-10	+6
- 7	+1	+2	-6	-22	-16	+1	-7	-23	-17	-8	-24	-18	-16	-10	+6
- 8	+1	+1	-4	-20	-13	+2	-3	-19	-12	-5	-21	-14	-16	-9	+7
- 9	+1	+3	-3	-20	-17	0	-6	-23	-20	-6	-23	-20	-17	-14	+3
- 10	+1	+2	-3	-19	-15	+1	-4	-20	-16	-5	-21	-17	-16	-12	+4
- 11	+1	+4	-1	-17	-14	+2	-3	-19	-16	-5	-21	-18	-16	-13	+3
- 12	+1	+3	-3	-17	-14	+1	-5	-19	-16	-6	-20	-17	-14	-11	+3
- 13	+1	+4	0	-16	-14	+2	-2	-18	-16	-4	-20	-18	-16	-14	+2
- 14	+1	+4	-2	-17	-11	+2	-4	-19	-13	-6	-21	-15	-15	-9	+6
- 15	+1	+4	-3	-16	-13	+2	-5	-18	-15	-7	-20	-17	-13	-10	+3
- 16	+1	+3	-1	-17	-12	0	-4	-20	-15	-4	-20	-15	-16	-17	+5
- 17	+1	+5	-3	-18	-15	+2	-3	-18	-15	-5	-20	-17	-15	-12	+3
- 18	+1	+5	-1	-16	-14	+2	-5	-18	-17	-9	-22	-21	-13	-12	+1
- 19	+1	+5	+1	-16	-16	+6	+2	-15	-15	-4	-21	-21	-17	-17	0
- 20	0	+5	-2	-18	-14	+5	-2	-18	-14	-7	-23	-19	-16	-12	+4
- 21	+1	+3	-2	-18	-13	+4	-1	-17	-12	-5	-21	-16	-16	-11	+5
- 22	+1	+5	-2	-17	-15	+2	-5	-20	-18	-7	-22	-20	-15	-13	+2
- 23	+1	+2	-7	-20	-19	+3	-6	-19	-18	-9	-22	-21	-13	-12	+1
- 24	+1	+7	0	-14	-7	+4	-3	-17	-10	-7	-21	-14	-14	-7	+7
- 25	+1	+5	-2	-17	-12	+3	-4	-19	-14	-7	-22	-17	-15	-10	+5
- 26	0	+3	-4	-17	-12	+3	-4	-17	-12	-7	-20	-15	-13	-8	+5
- 27	-2	+2	-6	-20	-14	+4	-4	-18	-12	-8	-22	-16	-14	-8	+6
- 28	+1	+2	-5	-18	-12	+3	-4	-17	-11	-7	-20	-14	-13	-7	+6
- 29	+1	+5	-4	-19	-15	+4	-5	-20	-16	-9	-24	-20	-15	-11	+4
- 30	+1	-1	-6	-19	-15	-2	-7	-20	-16	-8	-18	-14	-13	-9	+4
- 31	-4	-1	-8	-20	-17	+3	-4	-16	-13	-7	-19	-16	-12	-9	+3
- 1	-3	+1	-4	-22	-17	+4	-1	-19	-14	-5	-23	-18	-18	-13	+5
- 2	-3	0	-5	-21	-16	+2	-3	-19	-14	-5	-21	-16	-16	-11	+5
- 3	-5	0	-4	-19	-12	+5	+1	-14	-7	-4	-19	-12	-15	-8	+7

Man ersieht aus diesen Tabellen, daß sich die Thermometer teilweise nicht unerheblich geändert haben, daß besonders auch mit der Zeit fortschreitende Änderungen vorgekommen sind. Einen angenäherten Wert für diese erhält man, wenn man die ersten und letzten Werte jeder Kolumne mittelt. Die folgende Übersicht gibt die Mittel der ersten und letzten zehn Werte jeder Kolumne.

Differenzen der Thermometer														
1-2	1-3	1-4	1-5	1-6	1-7	1-8	1-9	1-10	1-11	1-12	1-13	1-14	1-15	1-16
Bremerhaven—Melbourne														
+2	+4	0	-8	-3	+2	-3	-11	-6	-4	-12	-7	-8	-3	+5
+5	+5	0	-15	-9	0	-5	-20	-14	-5	-20	-14	-15	-9	+6

Differenzen der Thermometer															
1-2	1-3	1-4	1-5	1-6	2-3	2-4	2-5	2-6	3-4	3-5	3-6	4-5	4-6	5-6	
Sydney — San Francisco															
-1	-1	-6	-10	-14	0	-5	-19	-13	-5	-19	-13	-14	-8	+6	
+1	0	-6	-12	-17	-2	-7	-23	-18	-6	-21	-17	-16	-11	+5	
San Francisco — Yokohama															
+1	0	-4	-21	-17	0	-5	-22	-13	-4	-21	-17	-17	-13	+4	
-1	+2	-5	-19	-14	+3	-3	-13	-13	-6	-21	-16	-14	-9	+5	

Wie sich zeigt, haben auf der ersten Reise Thermometer 5 und 6 besonders stark ihren Stand geändert, denn sämtliche Differenzen, in denen diese beiden Thermometer vorkommen, zeigen erhebliche Unterschiede. Die Differenz zwischen diesen beiden Thermometern selbst bleibt aber nahezu konstant; sie haben sich also in demselben Sinne geändert und zwar hat sich ihr Stand erhöht.

Auf der Reise Sydney—San Francisco sind die Änderungen weniger groß, auf der dritten Reise dagegen tritt bei den beiden Thermometern eine Standänderung im umgekehrten Sinne ein, die aber nicht so groß ist, als vorher.

Eine mit der Zeit proportionale Änderung der Siedethermometer gibt nicht zu Fehlern Veranlassung, da das Zeitglied in der späteren Ausgleichung eine solche Änderung berücksichtigt. Um die Veränderungen, die sich neben den gleichmäßig fortschreitenden abspielen, zu erhalten, sind zunächst an die Differenzen in den Tabellen Korrekturen wegen der fortschreitenden Fehler angebracht und dann die Abweichungen gegen das Mittel jeder Kolonne gebildet. Man erhält dann die in den folgenden Tabellen aufgeführten Abweichungen.

Reise Bremerhaven — Melbourne.

Datum 1904		Abweichungen der korrigierten Siedethermometerdifferenzen gegen ihr Mittel, ausgedrückt in 0.001														
		1-2	1-3	1-4	1-5	1-6	2-3	2-4	2-5	2-6	3-4	3-5	3-6	4-5	4-6	5-6
April	1	0	+1	-3	+1	0	+3	-1	+1	+1	-3	-1	-1	+3	+1	-1
	2	+1	-1	0	0	+1	-1	0	-1	0	+1	+1	-1	0	+1	0
	3	+2	-2	+1	+1	+1	-1	0	-1	0	+3	+3	+1	-1	0	0
	4	+2	0	+1	+1	+1	-1	0	-1	+1	+1	0	+2	-1	+1	+1
	5	+2	0	+1	+1	+1	-1	0	-1	+1	+1	0	+2	-1	+1	+1
	6	+2	0	+1	+1	+1	-1	0	-1	+1	+1	0	+2	-1	+1	+1
	7	+2	0	+1	+1	+1	-1	0	-1	+1	+1	0	+2	-1	+1	+1
	8	+2	0	+1	+1	+1	-1	0	-1	+1	+1	0	+2	-1	+1	+1
	9	+2	0	+1	+1	+1	-1	0	-1	+1	+1	0	+2	-1	+1	+1
	10	+2	0	+1	+1	+1	-1	0	-1	+1	+1	0	+2	-1	+1	+1
	11	+2	0	+1	+1	+1	-1	0	-1	+1	+1	0	+2	-1	+1	+1
	12	+2	0	+1	+1	+1	-1	0	-1	+1	+1	0	+2	-1	+1	+1
	13	+2	0	+1	+1	+1	-1	0	-1	+1	+1	0	+2	-1	+1	+1
	14	+2	0	+1	+1	+1	-1	0	-1	+1	+1	0	+2	-1	+1	+1
	15	+2	0	+1	+1	+1	-1	0	-1	+1	+1	0	+2	-1	+1	+1

Datum 1904	Abweichungen der korrigierten Siedethermometerdifferenzen gegen ihr Mittel, ausgedrückt in 0,001															
	1-2	1-3	1-4	1-5	1-6	1-7	1-8	1-9	1-10	1-11	1-12	2-3	2-4	2-5	2-6	2-7
April 15	+1	-1	0	0	-1	-2	-1	-1	-2	+1	0	0	0	-1	-1	-1
- 15	-1	0	-1	0	-1	-1	-1	-1	-4	-1	-1	-1	-1	-1	-2	+3
- 16	-4	0	0	0	0	-1	-5	+3	+4	+2	0	-1	-1	-1	-1	-2
- 16	0	0	0	0	0	-1	-1	0	-3	-1	0	-1	-1	-1	-1	-4
- 17	+2	0	-1	+1	-1	-1	-1	-1	-3	-1	+1	-1	-1	-1	-1	-3
- 17	-4	-1	0	0	-3	+4	+3	+4	+2	-1	+1	-1	-1	-1	-1	-3
- 18	-2	0	0	+1	-1	+3	+3	+3	+1	0	-1	-1	-1	-1	-1	-3
- 18	+3	+1	+3	+3	-1	-1	0	-3	+1	+1	-1	-1	-1	-1	-3	-3
- 19	+1	+1	+3	0	0	+3	+5	+1	+2	+2	-1	-1	-1	-1	-1	+1
- 19	+2	0	-1	0	-1	-1	-2	-1	-4	-1	-1	-1	-1	-1	-1	-3
- 20	-1	-6	-5	+1	-6	-3	-1	+1	-1	-1	+3	0	0	+1	-1	-3
- 20	-1	-6	-5	-6	-6	-1	-1	-1	-1	0	0	0	0	0	+1	0
- 21	-5	-6	-6	-6	-6	-1	-1	-1	-1	0	0	0	0	0	+1	0
- 21	-1	-4	-5	-3	-4	-3	-4	-2	-3	-1	+1	+1	+1	+1	+1	-1
- 23	0	-4	-3	-3	-3	-3	-3	-3	-3	+2	+1	+1	+1	+1	0	0
- 23	+2	-1	-1	0	-3	-3	-3	-3	-5	0	0	0	0	0	+1	-3
- 24	0	-4	-4	-2	-6	-4	-4	-3	-6	0	+1	+1	+1	+1	+1	-1
- 24	0	-2	-1	+1	-1	-2	-1	0	0	0	+1	+3	+2	+2	+1	-1
- 25	-3	-5	-6	-7	-7	-2	-3	-4	-4	-1	-2	-2	-2	-2	-1	-1
- 25	-3	-1	-3	-3	-7	-1	-2	0	-4	-1	-1	-1	-1	-1	+1	0
- 26	-3	0	+1	+1	+1	+1	+3	+4	+4	+1	+1	+1	+1	+1	0	0
- 26	-2	0	0	+3	-3	+2	+2	+3	-1	0	+1	-1	-1	-1	-3	-4
- 28	-1	0	-1	-1	-1	+2	+1	-1	-1	-1	-1	-1	-1	-1	-1	+1
- 28	-1	0	-2	-1	-3	+2	0	-1	-1	-1	-1	-1	-1	-1	-1	-1
- 29	-1	+1	-2	+3	-1	+3	+4	+4	+1	+1	+2	+1	+1	0	-3	-3
- 29	0	-1	-1	-1	-2	0	-1	-1	-1	-1	-1	-1	-1	0	0	0
- 30	+3	+1	0	+3	+2	-1	-3	0	-1	-1	+2	+1	+1	+2	+2	-1
1	-1	+1	+2	+1	-1	+1	+2	+2	0	-1	0	-3	-3	-3	-3	-2
1	0	-2	0	0	-3	-2	-2	-2	0	0	+1	0	+1	+1	-1	-2
- 2	-3	-5	0	+1	-1	-3	+5	+6	+3	+1	-1	-1	-1	-1	-1	0
- 2	-5	0	-1	0	0	+5	+4	+5	+5	+1	0	0	0	0	+1	+1
- 3	+1	0	+1	+1	+1	-1	0	-1	+1	+1	+1	+1	+1	-1	-9	+3
- 3	0	+4	+4	+3	+3	+4	+4	+2	+2	0	-1	-1	-1	-1	-1	0
- 5	+5	+1	+2	+2	+5	0	-3	0	0	+1	+1	+5	-1	+1	+1	+4
- 6	+3	+3	+3	+1	+3	-1	0	-3	-2	-1	-1	-1	-1	-3	-1	0
- 6	+3	+3	0	+4	+3	-1	-3	-1	-1	-2	+1	+2	+2	+2	+2	+1
- 8	-6	-5	-8	-8	-1	-1	-1	-3	+4	-3	+4	0	0	+1	+6	+7
- 8	0	+1	0	+2	0	+1	0	+1	0	-1	+1	0	0	+1	0	-1
- 9	+1	0	0	+1	-1	-1	-1	-1	-2	0	+1	0	0	0	-1	-1
- 9	+3	+2	+2	+2	+2	-1	-1	-2	-1	0	0	0	0	-1	0	+1
- 10	+2	+1	+3	+1	+4	-1	+1	+2	+2	0	0	+4	+4	-3	+1	+4
- 11	+2	+3	+3	-2	+4	0	+1	-5	+2	-1	-4	+3	+3	-6	+1	+7
- 11	+5	+6	+4	+7	+7	+1	-1	+1	+2	-2	+1	+3	+2	+2	+3	+1
- 12	+2	+1	+5	+3	+5	-1	+5	-1	+3	+4	+2	+2	+5	-3	0	+3

Reise Sydney—San Francisco.

Datum 1904	Abweichungen der korrigierten Siedethermometerdifferenzen gegen ihr Mittel, ausgedrückt in 0,001															
	1-2	1-3	1-4	1-5	1-6	2-3	2-4	2-5	2-6	3-4	3-5	3-6	4-5	4-6	5-6	
Juni 26	-1	-1	-1	+1	+1	+1	0	+3	+2	-1	+2	0	+3	+1	-1	
- 26	+1	+2	+2	+1	+2	+2	+1	+1	+1	-1	-1	-1	0	0	0	
- 27	+1	-1	0	-1	+1	-2	-1	+1	+1	+1	+1	-1	0	+2	+2	
- 27	0	-3	+2	-1	-2	-2	+2	0	-2	+4	+2	-1	-2	-4	-2	

Datum 1904	Abweichungen der korrigierten Siedethermometerdifferenzen gegen ihr Mittel, ausgedrückt in e:100														
	1-2	1-3	1-4	1-5	1-6	2-3	2-4	2-5	2-6	3-4	3-5	3-6	4-5	4-6	5-6
Juni 28	-1	-3	-3	-3	-4	-1	-2	-1	-3	-1	0	-3	+1	-1	-2
29	-1	-3	-3	-2	-2	-1	-2	0	-1	-1	+1	-1	+2	+1	-1
30	0	-3	-3	-2	-2	-1	-2	-1	-1	-1	+1	-1	+2	+1	-1
30	-1	-3	-3	-4	-4	-1	-2	-2	-3	-1	-1	-3	0	-1	-1
30	0	-2	-2	-1	0	-1	-2	0	+1	-1	+1	0	+2	+2	0
Juli 1	0	-2	-1	-2	0	-1	-1	-1	0	0	0	0	0	+1	+1
1	+1	0	+1	-1	+2	0	0	0	+2	0	-1	+1	-1	+1	+2
2	+1	0	+1	-1	+3	0	0	0	+3	0	-1	+2	-1	+2	+3
2	+1	-1	0	-1	+2	-2	-2	-1	0	0	+1	0	+1	+2	+1
2	0	-1	+1	+1	0	0	+2	+1	0	+2	0	0	-2	-1	0
2	+1	0	0	-2	+2	0	-1	-1	-1	-1	-2	0	-1	+2	+2
3	+2	+2	0	0	+1	0	-1	-1	-2	-1	-2	-3	-1	-1	-1
3	+2	+3	+1	+2	+3	+1	-1	0	0	-3	-1	-2	+2	+2	0
4	-2	-2	0	+1	+1	+1	+2	+3	0	+3	+3	+1	+2	+2	-1
4	-1	-2	-2	-1	-1	0	-1	0	0	-1	0	+1	+2	+1	-1
5	-2	-2	0	-1	-2	+1	+1	+1	0	0	+1	-2	+1	-1	-2
5	0	-1	0	0	0	0	0	0	0	0	+1	-1	+1	0	-2
5	-2	-2	0	-2	0	-1	+2	+1	+2	+3	+2	+3	-1	0	+1
6	-1	-2	0	-1	+1	0	+2	+1	+2	+1	+1	+2	0	+1	+1
7	-2	-1	-1	0	0	+2	+2	+3	+2	-1	+1	0	+2	-1	-1
7	-1	0	-1	-1	+3	0	+2	+1	+3	+2	+1	+3	-1	+1	+2
8	0	+1	+2	+1	+3	+1	+2	+2	+2	+2	+1	+1	0	+1	+1
8	0	0	0	0	+2	0	+2	+2	+2	+2	+1	+1	+1	+2	+1
9	0	0	+1	-1	+2	0	+1	0	+2	+2	0	-1	-1	+1	+2
9	0	0	0	0	0	0	+1	+1	+1	+1	+1	0	+2	+1	+1
10	+1	+3	+3	+4	+4	+1	-1	+2	+1	-1	0	-1	0	+2	-1
10	+1	+2	+1	+2	+2	-1	-2	+1	-1	0	-2	-2	-1	-2	-1
11	0	+1	0	+1	-3	-1	-1	0	-2	-2	-2	-1	-3	-2	+1
11	+3	+1	-1	-2	-1	-2	-2	-3	-4	+1	-3	-2	-2	-2	0
12	+2	+2	+1	-1	+1	-1	-1	-2	-3	0	-3	-3	-2	-2	0
12	+2	+2	-2	-2	-3	-3	0	-4	-6	+1	-3	-5	-3	-5	-1
13	+2	+3	+3	0	+4	+1	+1	+2	+2	+1	-2	+1	-2	+1	+4
13	+3	+3	+3	+2	+4	0	+2	-1	+1	+3	0	+1	-2	-1	+2
14	+3	+1	+4	+2	+5	+2	+1	+1	+1	+4	+2	+3	-1	0	+2
14	+3	+4	0	0	0	+1	+1	-3	-4	+1	-1	-5	-3	-4	-1
15	-1	+4	+3	0	+2	+7	+6	+3	+4	0	-3	-3	-2	-1	+1
15	+3	+3	-2	-1	+1	0	-5	-3	-3	-4	-3	-2	+2	+3	+1
16	+2	+1	0	+2	-2	-1	-2	+1	-1	0	+2	+1	+3	+2	-1
16	+1	0	-1	0	-2	-1	-2	0	-4	0	+1	-2	+2	-1	-3
17	+1	+2	+1	+1	+1	+1	0	+1	0	0	0	-1	+1	0	-1
17	+1	0	-1	-4	-2	-1	-2	-4	-3	0	-3	-2	-2	-1	+1
18	-2	-1	-5	-1	-2	-1	-3	-2	-1	-1	-1	-1	-5	-3	-2
18	-1	-2	-4	-2	+1	-1	-3	0	+2	-2	-1	+3	+1	+5	+2
19	-1	-3	-1	-2	0	-4	+3	+1	+5	+3	+1	-1	-1	-3	-2
19	0	-2	+2	-1	-5	-2	+2	0	-5	+5	+2	-3	-2	-7	-5
19	-1	-3	-2	-3	-5	-2	-1	-1	-4	+2	+1	-2	0	-3	-3

Reise San Francisco—Yokohama.

Datum 1904	Abweichungen der korrigierten Siedethermometerdifferenzen gegen ihr Mittel, ausgedrückt in e:100														
	1-2	1-3	1-4	1-5	1-6	2-3	2-4	2-5	2-6	3-4	3-5	3-6	4-5	4-6	5-6
Aug 23	0	-1	-5	-2	-5	-1	-4	-1	-4	-3	-1	-4	+3	+2	-3
27	-2	-1	-4	-1	-1	+1	-1	+2	+2	-2	0	0	+3	+5	0

Datum		Abweichungen der korrigierten Siedethermometerdifferenzen gegen ihr Mittel, ausgedrückt in 0.001														
1904		1-2	1-3	1-4	1-5	1-6	2-3	2-4	2-5	2-6	3-4	3-5	3-6	4-5	4-6	5-6
Aug.	27	-1	-3	-5	-2	-4	-2	-3	0	-2	-1	+1	-1	+3	+3	-1
	28	+2	-1	0	-1	-1	-5	-1	-2	-2	0	0	0	-1	+1	0
	29	+1	-1	-1	-1	0	-2	-1	-1	0	+1	-1	+1	0	0	+1
	30	+1	+2	+1	+1	0	+1	+1	+1	0	+1	-1	+2	-1	0	-1
	31	-1	-2	0	-2	-2	-1	+2	0	0	+3	0	0	-2	0	0
	31	-2	-2	-1	-2	0	0	+3	+1	+2	+2	0	+2	-1	+3	+2
	31	-1	0	+1	-1	+1	+1	+3	+1	+2	+2	-1	+1	-2	+2	+2
Sept.	1	-1	0	0	0	+2	+1	+2	+1	+3	+1	0	+2	0	+4	+2
	1	-2	-4	-1	-3	0	-2	+2	-1	+2	+4	+1	+4	-2	+2	+3
	2	0	+1	0	-1	+2	0	+1	-1	+3	0	-1	+2	-1	+4	+3
	3	-1	0	0	-1	+4	+2	+1	+2	+6	+1	-1	+5	-2	+6	+6
	3	+2	+2	+1	+3	+2	+2	+3	+1	+6	0	-2	+1	-2	+3	+3
	3	+2	+2	0	0	+2	+1	-1	0	+1	-1	-2	0	0	+4	+2
	3	+1	0	-3	-3	0	0	-3	-1	-1	-2	-3	-1	0	+4	+2
	4	-1	-1	-1	-1	+2	+1	+2	+2	+4	+1	0	+3	0	+5	+3
	4	+3	+1	0	-1	+2	-1	-2	-2	0	-2	0	-1	0	0	-1
	5	+1	0	0	0	0	0	0	0	0	+1	0	0	0	+1	0
	5	+2	+2	+2	+2	+1	+1	+1	+1	0	0	0	-1	0	0	-1
	5	+2	+1	0	+2	+1	0	-1	0	0	0	+1	0	+1	0	-1
	6	+1	0	+1	0	0	0	0	0	0	0	0	0	+1	0	-1
	7	+2	+2	+4	+3	0	0	+2	+2	-1	+2	+1	-2	0	-1	-3
	7	+2	+2	+2	+2	+3	0	0	+1	0	0	0	+1	0	+4	+1
	8	+2	+2	+1	+3	+1	0	-1	+2	0	-1	+1	-1	+2	+3	-1
	8	+3	+1	+3	+2	+2	-2	0	0	0	+2	+1	-1	-1	+2	0
	9	0	0	+1	+1	-1	0	+1	+1	0	+2	+1	+1	0	+2	-1
	9	+1	+3	0	+2	-2	+2	-1	+1	-2	-3	-1	0	+2	0	-4
	10	+1	+3	+3	+3	-2	+4	+6	+4	-1	+2	0	-5	-1	-5	-5
	10	+1	+2	+2	0	0	+3	+1	0	0	-2	-3	-1	0	-1	0
	12	0	0	+2	0	+1	0	+2	+2	+2	+2	0	0	-1	+1	0
	12	+4	+2	+2	+1	-1	0	-2	-1	-4	0	-1	-4	0	-1	-3
	13	0	+1	-3	-2	-5	+1	-3	0	-4	-2	-1	-5	+2	0	-4
	14	+4	+4	+4	+4	+6	+1	0	+2	+4	0	0	+2	+1	+5	+2
	14	+3	+2	+2	+1	+1	0	-1	-1	0	0	-1	-1	-1	+2	0
	15	+1	0	0	+1	+1	0	-1	+1	0	0	+1	+1	+1	+4	0
	15	-1	-1	-2	-2	-1	+1	-1	0	+2	-1	-1	0	0	+3	+1
	16	0	-1	-1	0	-2	0	-1	+1	-2	0	+1	+2	+1	+1	-1
	16	+2	+2	0	-1	-2	+1	-2	-2	-2	-2	-3	-4	-1	-4	-1
	18	+2	-4	-2	-1	-2	-5	-4	-2	-2	+2	+3	+2	+1	+2	-1
	18	-3	-4	-4	-2	-4	0	-1	+2	-2	0	+2	0	+2	-2	-1
	18	-2	-2	0	-4	-4	+1	+2	-1	0	+2	-2	-2	-4	-2	0
	18	-1	-3	-1	-1	-3	-1	0	-1	0	+2	0	0	-2	0	0
	19	-4	-3	0	-1	+1	+2	+4	+4	+7	+3	+2	+4	-1	+3	+2

Wie sich zeigt, tragen diese Veränderungen nicht den Charakter zufälliger Fehler, sondern es treten vielfach Änderungen systematischer Art auf, die längere Zeit andauern. Diese wie auch die rein zufälligen Änderungen liefern einen Beitrag zu dem Gesamtfehler, mit dem jede Schwerkraftbestimmung behaftet ist.

Aus diesen Tabellen ergibt sich zunächst, wie groß der mittlere Fehler einer Differenz ist; sie sind im folgenden, ebenso wie vorher in 0.001 ausgedrückt, für jede der drei Reisen angegeben.

Differenzen der Thermometer														
1—2	1—3	1—4	1—5	1—6	2—3	2—4	2—5	2—6	3—4	3—5	3—6	4—5	4—6	5—6
Bremerhaven—Melbourne														
±2.49	±2.23	±2.62	±2.59	±3.07	±2.22	±2.27	±2.29	±2.57	±1.50	±1.39	±1.23	±1.75	±2.27	±2.33
Sydney—San Francisco														
±1.68	±2.08	±2.11	±1.72	±2.40	±1.49	±1.96	±1.75	±2.38	±1.91	±1.68	±2.03	±1.86	±2.19	±1.72
San Francisco—Yokohama														
±1.88	±2.04	±2.22	±1.81	±2.32	±1.56	±2.11	±1.51	±2.56	±1.65	±1.32	±2.42	±1.56	±2.83	±2.24

Diese Zahlen zeigen, daß der mittlere Fehler der Differenzen, in denen Thermometer 6 vorkommt, im allgemeinen etwas größer ist, als der der anderen Differenzen, daß also Thermometer 6 auch die größten nicht gleichmäßig mit der Zeit fortschreitenden Änderungen aufweist.

Bilden wir aus den obenstehenden Werten den durchschnittlichen mittleren Fehler m , so ist $\frac{m}{\sqrt{2}}$ der mittlere Fehler, der den Einzelwerten, aus denen die Differenz gebildet ist, zukommt und schließlich $\frac{m}{\sqrt{2} \sqrt{6}}$ der mittlere Fehler, den das Mittel aus den Ablesungen an den 6 Thermometern bei jeder Schwerkraftsbestimmung hat. Wir haben dann für

	m	$\frac{m}{\sqrt{2}}$	$\frac{m}{\sqrt{2} \sqrt{6}}$
Bremerhaven—Melbourne	± 2.25	± 1.59	± 0.65 } $\times 10^{-3}$
Sydney—San Francisco	± 1.93	± 1.36	± 0.56 } $\times 10^{-3}$
San Francisco—Yokohama	± 2.00	± 1.41	± 0.58 } $\times 10^{-3}$

Im Durchschnitt beträgt also der Fehler, den die Veränderlichkeit der Thermometer und die Ablesungsfehler zu dem Gesamtfehler einer Schwerkraftsbestimmung beitragen:

0.00060 in Temperaturgraden der Siedethermometer

oder

0.016 mm in Dampfspannung, ausgedrückt in Quecksilberhöhe

oder

0.021 cm in g .

Die Unsicherheit, mit der die Ausmessung der Barometerregistrierungen behaftet ist, liefert ebenfalls einen Beitrag zu dem mittleren Fehler der Schwerkraftsbestimmung.

Die Barometerregistrierungen einer jeden Reise haben eine zweimalige Ausmessung erfahren, die zeitlich mehrere Monate aneinander liegen. Um zu ermitteln, welche systematischen und zufälligen Messungsfehler bei der Ausmessung unter dem Mikroskop eintreten, sind für jede Schwerkraftsbestimmung die Differenzen der beiden Messungen gebildet, die im folgenden aufgeführt sind.

Bremerhaven — Melbourne.

Datum 1904	Messung 1 — Messung 2 Barometer					Datum 1904	Messung 1 — Messung 2 Barometer				
	I	II	III	IV	V		I	II	III	IV	V
April 1	+ 0.01	- 0.01	0.00	- 0.01	+ 0.02	April 21	- 0.01	+ 0.01	0.00	0.00	0.00
2	0.00	0.00	- 0.01	- 0.01	- 0.01	22	0.00	- 0.01	0.00	—	0.00
3	0.00	+ 0.02	- 0.01	- 0.02	—	23	—	+ 0.02	0.00	+ 0.02	0.00
4	0.00	- 0.01	- 0.02	0.00	- 0.01	24	0.00	- 0.01	- 0.01	- 0.02	- 0.01
5	—	+ 0.01	0.00	0.00	0.00	25	- 0.01	+ 0.01	- 0.01	- 0.01	+ 0.02
6	—	0.00	- 0.01	—	0.00	26	- 0.01	- 0.02	0.00	+ 0.02	- 0.01
7	0.00	- 0.01	- 0.01	- 0.02	- 0.01	27	- 0.01	+ 0.01	- 0.02	- 0.02	- 0.01
8	0.00	0.00	- 0.03	- 0.01	- 0.02	28	- 0.01	- 0.03	- 0.03	- 0.02	- 0.01
9	- 0.01	- 0.01	0.00	- 0.01	0.00	29	0.00	- 0.01	- 0.01	+ 0.01	+ 0.01
10	+ 0.01	0.00	- 0.02	- 0.01	0.00	30	+ 0.01	0.00	—	+ 0.01	+ 0.01
11	+ 0.01	- 0.01	- 0.02	- 0.02	+ 0.01	1	+ 0.02	- 0.01	- 0.01	- 0.01	0.00
12	- 0.01	- 0.01	0.00	- 0.01	- 0.01	2	0.00	- 0.01	- 0.02	- 0.02	- 0.01
13	- 0.02	0.00	0.00	- 0.01	- 0.01	3	0.00	0.00	+ 0.02	+ 0.01	0.00
14	0.00	- 0.01	- 0.04	- 0.02	- 0.02	4	0.00	- 0.02	- 0.02	- 0.02	+ 0.01
15	—	- 0.01	- 0.01	- 0.02	—	5	+ 0.02	+ 0.02	+ 0.03	+ 0.05	+ 0.04
16	+ 0.01	+ 0.01	- 0.02	- 0.01	- 0.01	6	- 0.01	0.00	0.00	—	- 0.01
17	0.00	- 0.01	- 0.02	- 0.02	—	7	- 0.01	- 0.01	0.00	+ 0.01	0.00
18	+ 0.01	0.00	—	- 0.02	- 0.01	8	0.00	- 0.01	- 0.01	0.00	0.00
19	+ 0.02	+ 0.02	- 0.01	- 0.01	- 0.02	9	- 0.02	0.00	- 0.02	- 0.02	- 0.01
20	+ 0.01	0.00	—	- 0.01	- 0.01	10	0.00	- 0.01	- 0.01	0.00	- 0.01
21	+ 0.02	+ 0.02	—	+ 0.02	+ 0.02	11	+ 0.02	+ 0.01	+ 0.01	0.00	0.00
22	0.00	+ 0.01	0.00	- 0.01	- 0.01	12	- 0.01	0.00	- 0.01	- 0.01	—
23	+ 0.01	0.00	+ 0.01	0.00	0.00						
24	- 0.01	- 0.01	—	- 0.01	+ 0.01						

Sydney — San Francisco.

Datum 1904	Messung 1 — Messung 2 Barometer				Datum 1904	Messung 1 — Messung 2 Barometer			
	I	II	IV	V		I	II	IV	V
Juni 26	0.00	0.00	- 0.01	- 0.01	Juli 1	0.00	- 0.01	- 0.01	- 0.01
27	0.00	0.00	+ 0.01	0.00	2	0.00	+ 0.02	+ 0.01	+ 0.01
28	0.00	0.00	- 0.01	- 0.01	3	0.00	- 0.01	0.00	+ 0.01
29	+ 0.01	+ 0.01	+ 0.01	+ 0.01	4	- 0.02	- 0.01	- 0.01	0.00
30	0.00	- 0.01	- 0.01	+ 0.01	5	+ 0.01	- 0.01	0.00	0.00
1	0.00	+ 0.01	0.00	0.00	6	0.00	- 0.01	- 0.01	- 0.01
2	- 0.02	0.00	- 0.01	+ 0.01	7	0.00	0.00	0.00	- 0.01
3	- 0.01	0.00	0.00	0.00	8	+ 0.01	0.00	- 0.01	- 0.01
4	0.00	- 0.02	0.00	- 0.01	9	0.00	- 0.01	- 0.01	0.00

U. S. N.

Messung 1 — Messung 2					Messung 1 — Messung 2				
Barometer					Barometer				
Datum 1904	I	II	IV	V	Datum 1904	I	II	IV	V
Juli 6	— 0.01	— 0.01	— 0.01	— 0.01	Juli 13	+ 0.01	— 0.01	— 0.01	— 0.01
" 6	0.00	— 0.01	0.00	— 0.01	" 14	— 0.01	— 0.02	— 0.01	— 0.01
" 7	0.00	0.00	0.00	0.00	" 14	0.00	— 0.02	— 0.01	— 0.01
" 7	0.00	— 0.01	— 0.02	0.00	" 15	0.00	0.00	— 0.01	0.00
" 8	+ 0.01	0.00	— 0.05	— 0.02	" 15	+ 0.01	0.00	0.00	0.00
" 8	— 0.01	— 0.01	— 0.01	0.00	" 16	0.00	— 0.01	—	— 0.03
" 9	— 0.01	+ 0.01	0.00	0.00	" 16	— 0.01	— 0.01	—	— 0.01
" 9	0.00	— 0.02	0.00	0.00	" 17	0.00	0.00	— 0.01	+ 0.01
" 10	— 0.01	— 0.01	— 0.01	+ 0.01	" 17	+ 0.01	0.00	— 0.01	0.00
" 10	— 0.01	0.00	— 0.01	0.00	" 18	0.00	— 0.01	+ 0.01	— 0.01
" 11	0.00	— 0.01	— 0.01	— 0.01	" 18	+ 0.01	0.00	+ 0.01	0.00
" 11	0.00	+ 0.01	— 0.01	0.00	" 19	0.00	0.00	0.00	— 0.01
" 12	0.00	+ 0.02	0.00	— 0.02	" 19	0.00	— 0.01	0.00	— 0.02
" 12	+ 0.02	— 0.01	—	— 0.01	" 19	0.00	— 0.01	+ 0.01	+ 0.01
" 13	+ 0.01	— 0.01	— 0.01	+ 0.01					

San Francisco — Yokohama.

Messung 1 — Messung 2						Messung 1 — Messung 2					
Datum	Barometer					Datum	Barometer				
1904	I	II	III	IV	V	1904	I	II	III	IV	V
Aug. 23	0.00	0.00	0.00	0.00	0.00	Sept. 7	0.00	0.00	0.00	0.00	0.00
" 27	+ 0.01	+ 0.01	0.00	0.00	+ 0.01	" 7	0.00	— 0.01	0.00	+ 0.01	0.00
" 27	0.00	— 0.01	— 0.01	+ 0.01	— 0.01	" 8	0.00	— 0.01	+ 0.01	0.00	+ 0.01
" 28	0.00	— 0.01	— 0.01	+ 0.01	— 0.01	" 8	+ 0.01	+ 0.01	+ 0.01	+ 0.03	+ 0.01
" 28	— 0.01	0.00	— 0.01	0.00	0.00	" 9	0.00	0.00	+ 0.01	0.00	0.00
" 29	+ 0.01	0.00	0.00	0.00	—	" 9	0.00	+ 0.01	0.00	— 0.01	+ 0.01
" 30	+ 0.02	0.00	+ 0.01	+ 0.03	—	" 10	+ 0.01	— 0.02	+ 0.02	+ 0.01	0.00
" 30	+ 0.01	+ 0.01	0.00	— 0.01	—	" 10	0.00	0.00	+ 0.03	— 0.01	— 0.02
" 31	0.00	— 0.01	+ 0.01	0.00	+ 0.01	" 12	0.00	0.00	— 0.02	— 0.01	+ 0.01
" 31	— 0.01	— 0.01	— 0.01	— 0.01	0.00	" 12	— 0.02	— 0.03	0.00	+ 0.01	0.00
Sept. 1	+ 0.01	+ 0.01	+ 0.01	— 0.03	+ 0.03	" 13	— 0.01	— 0.02	+ 0.02	+ 0.03	0.00
" 1	+ 0.01	— 0.01	— 0.01	0.00	0.00	" 14	— 0.01	— 0.01	+ 0.01	0.00	— 0.01
" 2	+ 0.03	0.00	+ 0.01	0.00	+ 0.03	" 14	— 0.01	— 0.01	+ 0.03	— 0.04	— 0.01
" 2	+ 0.02	+ 0.01	—	+ 0.01	+ 0.02	" 15	— 0.04	— 0.02	— 0.01	+ 0.02	0.00
" 3	+ 0.01	+ 0.01	+ 0.03	— 0.02	+ 0.02	" 15	— 0.01	— 0.01	+ 0.03	+ 0.02	— 0.02
" 3	+ 0.03	0.00	+ 0.01	0.00	0.00	" 16	— 0.01	— 0.01	+ 0.01	0.00	+ 0.01
" 4	+ 0.04	+ 0.01	+ 0.01	— 0.01	+ 0.01	" 16	— 0.02	— 0.02	+ 0.01	— 0.02	+ 0.02
" 4	+ 0.01	+ 0.02	0.00	0.00	+ 0.01	" 18	— 0.02	— 0.03	0.00	+ 0.01	— 0.01
" 5	— 0.01	0.00	+ 0.02	— 0.02	+ 0.01	" 18	— 0.01	+ 0.01	+ 0.01	+ 0.01	— 0.01
" 5	0.00	0.00	— 0.01	0.00	+ 0.01	" 18	— 0.02	— 0.01	+ 0.01	0.00	— 0.01
" 5	0.00	0.00	— 0.01	— 0.01	— 0.01	" 18	— 0.02	— 0.02	+ 0.02	+ 0.01	— 0.01
" 6	0.00	0.00	+ 0.02	— 0.01	+ 0.01	" 19	0.00	— 0.02	+ 0.02	+ 0.01	— 0.01

4700

Bildet man zunächst für jedes Barometer das Mittel der Differenzen, so ergibt sich für

	I	II	Barometer III	IV	V
Bremerhaven—Melbourne	0.000 mm	-0.002 mm	-0.007 mm	-0.005 mm	-0.002 mm
Sydney—San Francisco	-0.001 -	-0.004 -	—	-0.006 -	-0.003 -
San Francisco—Yokohama	-0.001 -	-0.004 -	+0.006 -	0.000 -	+0.002 -

Es zeigt sich hier bei der Ausmessung der Registrierungen der ersten und zweiten Reise ein geringer systematischer Unterschied in dem Sinne, daß bei der zweiten Messung fast stets ein größerer Wert der Barometerhöhe sich ergibt, was auf eine systematische Auffassungsdifferenz bei der Einstellung am Mikroskop zurückzuführen ist. Bei den Messungen der Registrierungen der letzten Reise zeigt sich eine solche nicht.

Aus den in den Tabellen aufgeführten Werten ergeben sich für die drei Reisen die folgenden mittleren Fehler einer Differenz:

	I	II	III	IV	V
Bremerhaven—Melbourne	± 0.011 mm	± 0.011 mm	± 0.015 mm	± 0.015 mm	± 0.013 mm
Sydney—San Francisco	± 0.008 -	± 0.010 -	—	± 0.015 -	± 0.010 -
San Francisco—Yokohama	± 0.015 -	± 0.013 -	± 0.014 -	± 0.014 -	± 0.013 -

Durch Division mit $\sqrt{2}$ erhält man hieraus die folgenden mittleren Fehler einer Messung bestehend aus 6 Einzelleistungen:

Bremerhaven—Melbourne	± 0.008 mm	± 0.008 mm	± 0.011 mm	± 0.011 mm	± 0.009 mm
Sydney—San Francisco	± 0.006 -	± 0.007 -	—	± 0.011 -	± 0.007 -
San Francisco—Yokohama	± 0.011 -	± 0.009 -	± 0.010 -	± 0.010 -	± 0.009 -

Der mittlere Fehler einer Einzelleistung am Mikroskop ist somit für

Bremerhaven—Melbourne	± 0.020 mm	± 0.020 mm	± 0.027 mm	± 0.027 mm	± 0.022 mm
Sydney—San Francisco	± 0.015 -	± 0.017 -	—	± 0.027 -	± 0.017 -
San Francisco—Yokohama	± 0.027 -	± 0.022 -	± 0.024 -	± 0.024 -	± 0.022 -

Der mittlere Fehler des Mittels aus allen beobachteten Barometern, wie er in jede Schwerkraftsbestimmung eingeht, ist für die Reise

	in Quecksilberhöhe	in g
Bremerhaven—Melbourne	± 0.004 mm	oder ± 0.005 cm
Sydney—San Francisco	± 0.004 -	- ± 0.005 -
San Francisco—Yokohama	± 0.004 -	- ± 0.005 -

Die Genauigkeit der Ausmessung der Barometerregistrierungen der drei Reisen ist gleich groß. Bei der Ausmessung der Registrierungen gewinnt man den Eindruck, als ob die Genauigkeit der Einstellung der durch das Pumpen entstehenden Wellen bei den drei Beobachtungsreihen verschieden sei. Im allgemeinen sind die Wellen bei den Registrierungen auf der „Weimar“ am gleichmäßigsten und entsprechen am meisten einer sinus-Bewegung; sie sind daher leicht und sicher einzustellen. Auf den beiden anderen Reisen sind dagegen diese Wellen im Durchschnitt viel unregelmäßiger und die Einstellung ist daher nicht so leicht auszuführen. Wie aber die mittleren Fehler zeigen, ist die Genauigkeit der Einstellung dieser unregelmäßigen Wellen trotzdem ebenso groß, als die der regelmäßigen Wellen.

Die aus der Veränderlichkeit der Siedethermometer, sowie aus den Fehlern bei ihrer Ablesung und den Fehlern der Ausmessung der Barometerregistrierungen sich ergebenden Beiträge zum Gesamtfehler einer Schwerkraftsbestimmung sind schließlich

$$\pm 0.021^2 + 0.005^2 = \pm 0.022 \text{ cm in } g.$$

Ableitung der Endwerte der Schwerkraft.

Die Ausgleichungen.

Die wegen der instrumentellen Fehler korrigierten und in der Schlußtablelle für jede Reise aufgeführten Differenzen Siedethermometer — Barometer — Schwerekorrektion stellen noch keine reinen Schwerkraftsdifferenzen dar, sondern es sind noch Korrekturen wegen einiger anderer Fehlerquellen zu ermitteln und anzubringen.

Die Werte sind daher einer Ausgleichung unterzogen.

Es wurde für jede Schwerkraftbestimmung und jedes Barometer eine Fehlergleichung von der folgenden Form aufgestellt:

$$v = (\text{Thermom.} - \text{Barom.} - \text{Schwerekorr.}) + k_n + a \frac{dB}{dt} + b(t - t_0) + cp + dr + es + fA + k_n.$$

Diese Gleichungen enthalten zunächst dasselbe konstante Glied k_n .

Das folgende Glied $a \frac{dB}{dt}$ ist in die Ausgleichung eingeführt zur Berücksichtigung des Einflusses der Änderungen des Luftdrucks während der Beobachtungen. Wie bereits auf Seite 95 gesagt ist, besitzen die Barometer infolge der Einschaltung der die Bewegung des Quecksilbers dämpfenden Kapillare eine gewisse Trägheit, die sich auch darin äußern muß, daß die Barometer den Änderungen des Luftdruckes langsamer folgen. Auch die Siedethermometer folgen den Änderungen des Luftdruckes erst nach einer gewissen Zeit. Ist nun eine Differenz der Trägheit zwischen Siedethermometern und Barometern vorhanden, so müssen die beiden Arten von Instrumenten bei Luftdruckschwankungen verschiedene Angaben liefern und es ist daher, um das eine Instrument auf das andere zu beziehen, eine Korrektur erforderlich.

Die Änderungen des Luftdruckes während der Beobachtungen wurden aus den Siedethermometerangaben nach der Meth. d. kleinst. Qu. berechnet. Die in den späteren Tabellen aufgeführten Werte für $\frac{dB}{dt}$ geben die mittlere Änderung des Luftdruckes in einer Stunde.

Das weitere Glied $b(t - t_0)$ berücksichtigt alle Einflüsse, die der Zeit proportional verlaufen, wie die linear fortschreitenden Änderungen der Thermometer und Barometer.

Die drei weiteren Glieder cp , dr und es sollen den Einfluß der Schiffsbewegung berücksichtigen.

Wie im früheren mitgeteilt ist, wurde die Größe des Pumpens p der Barometer durch Messung aus den Barometerregistrierungen ermittelt, während das Schlingern r und das Stampfen s den Aufzeichnungen des Schwingungsmessers entnommen wurde. Die in den späteren Tabellen aufgeführten Zahlen geben den Betrag des Schlingerns und Stampfens des Barometerapparates, nicht des Schiffes, und zwar die mittlere Schwingungsamplitude des Barometerapparates während der Beobachtung in Graden ausgedrückt. Auf Seite 104 wurde bereits besprochen, daß die an Bord gemessene Schwerkraft vielleicht nicht den richtigen Wert derselben darstellt, wenn die Zeitdauer, in der die Aufwärts- und die Abwärtsbewegung des Schiffes erfolgt, ungleich ist. Es wurde daher die Zeitdauer dieser beiden Arten von Bewegungen für jede einzelne Schwerkraftmessung aus den entsprechenden Perioden des Pumpens der Barometer, das ja durch die Bewegung des Schiffes in der Vertikalen hervorgerufen wird, ermittelt. Durchschnittlich wurden für jede Schwerkraftbestimmung 36 Wellen für diesen Zweck ausgemessen. Die Resultate dieser Messungen sind in den späteren Tabellen aufgeführt und zwar die Wellenperiode selbst sowohl, als auch die Differenz Δ der Zeitdauer der Aufwärtsbewegung minus der der Abwärtsbewegung.

Schließlich findet sich noch in den Fehlergleichungen eine Konstante k_m , die aber nur bei den Beobachtungen auf der Tiefsee hinzugefügt wurde und den Unterschied der Schwere darstellen soll zwischen den durch Pendelbeobachtungen in den Häfen und an den Landstationen, an die angeschlossen werden konnte, ermittelten Werten der Schwerkraft und den aus der Helmholtz'schen Formel für die Beobachtungen auf dem Meere abgeleiteten Werten.

Die Anschlüsse an die Landstationen werden später noch eingehend besprochen werden.

Es wurden jedoch nicht alle Tage, an denen auf der Tiefsee beobachtet wurde, in die Ausgleichung aufgenommen, sondern nur diejenigen, an denen der Meeresboden nach der Tiefenkarte einen gleichmäßigen Verlauf ohne größere Hebungen und Senkungen hatte und somit erhebliche Störungen der Schwerkraft nicht zu erwarten waren.

Die folgenden Tabellen enthalten alles Material, was für die Ausgleichung erforderlich ist. Die mit einem * neben dem Datum bezeichneten Tage sind in die Ausgleichung einbezogen, an den mit ** bezeichneten Tagen ist die Konstante k_m in die Ausgleichung eingeführt. Bemerkt muß werden, daß der bequemeren Rechnung wegen von den in den Schlußtabellen angegebenen Werten der Differenzen Thermometer—Barometer—Schwerkorrektion bei jedem Barometer das Mittel der Werte abgezogen wurde, was erlaubt ist, da es sich um relative Beobachtungen handelt.

Bei der zweiten Reise wurde Barometer III angeschlossen, das infolge einer nicht zu ermittelnden Störungsursache in sich widersprechende Resultate ergab.

Bremerhaven — Melbourne.

Datum 1904	Thermom., — Barom., — Schwerekorr.					Luft- druck- ände- rung	Pumpen			Schlin- gern	Stamp- fen	Zeit- glied
	1	2	3	4	5		Höhe	Pe- riode	f			
April 2	— 0.12	— 0.16	— 0.37	— 0.27	— 0.23	— 0.18	0.03	—	—	0.3	0.5	+ 3.3
	— 0.11	— 0.12	— 0.41	— 0.26	— 0.23	+ 0.11	0.03	—	—	0.4	0.4	+ 3.2
" 3	— 0.26	— 0.33	— 0.41	— 0.50	—	— 0.44	0.03	—	—	0.5	0.4	+ 3.1
	— 0.28	— 0.37	— 0.45	— 0.32	— 0.28	— 0.07	0.03	—	—	0.7	0.3	+ 3.0
" 5	— 0.01	— 0.06	— 0.12	— 0.01	0.00	— 0.12	0.19	7.12	+ 0.43	1.2	0.5	+ 2.9

Datum 1904	Thermom. — Barom. — Schwerekorr.					Luft- druck- anle- gung	Pumpen			Schlin- gem	Stamp- fen	Zeit- glied
	1	2	3	4	5		Höhe	Pe- riode	Δt			
* April 7	—0.29 —0.22	—0.29 —0.24	—0.44 —0.34	— —0.27	—0.24 —0.20	—0.85 +0.07	0.01 0.01	— —	— —	0.2 1.0	0.2 0.3	+2.8 +2.7
" 8	—0.21 —0.31	—0.26 —0.28	—0.28 —0.34	—0.31 —0.35	—0.23 —0.30	0.00 —0.09	0.04 0.10	— —	— —	1.0 2.0	0.3 0.6	+2.6 +2.5
" 9	—0.24	—0.25	—0.28	—0.27	—0.25	+0.27	0.07	—	—	2.0	0.6	+2.4
" 10	—0.25	—0.32	—0.31	—0.31	—0.22	—0.15	0.01	—	—	0.3	0.2	+2.2
" 11	—0.14	—0.14	—0.15	—0.14	—0.10	+0.48	0.00	—	—	0.3	0.2	+2.1
" 12	—0.13 —0.11	—0.16 —0.13	—0.19 —0.17	—0.17 —0.18	—0.11 —0.11	+0.15 —0.04	0.01 0.03	— —	— —	0.8 1.0	0.3 0.3	+2.0 +1.9
" 13	—0.13	—0.10	—0.16	—0.16	—0.11	+0.11	0.01	—	—	2.0	0.3	+1.7
" 14	— —0.09	—0.15 —0.09	—0.20 —0.07	—0.21 —0.15	— —0.10	—0.42 +0.46	0.01 0.01	— —	— —	0.6 0.6	0.4 0.3	+1.6 +1.5
" 15	—0.11 —	—0.11 —0.13	—0.12 —0.02	—0.20 —0.15	—0.12 —0.11	—0.33 +0.33	0.01 0.01	— —	— —	1.0 0.3	1.0 0.2	+1.4 +1.3
" 16	—0.04 —0.02	+0.03 —0.06	—0.04 +0.04	—0.11 —0.08	—0.05 —0.06	—0.32 +0.45	0.03 0.01	— —	— —	0.5 0.5	0.3 0.3	+1.2 +1.1
" 17	+0.04 +0.02	+0.04 +0.04	+0.06 —	—0.01 0.00	— +0.05	—0.02 +0.40	0.07 0.06	— —	— —	1.5 1.5	0.5 0.5	+1.0 +0.9
" 18	+0.01 +0.03	+0.12 +0.04	—0.01 —	—0.02 —	+0.04 +0.03	—0.10 +0.49	0.13 0.13	5.90 6.28	+0.39 +0.32	1.2 0.6	0.5 0.5	+0.8 +0.7
" 19	—0.03 —0.06	—0.04 —0.04	— —	—0.08 —0.08	0.00 —0.03	—0.48 +0.28	0.13 0.13	6.74 7.00	+0.38 +0.37	0.7 0.7	0.5 0.5	+0.6 +0.5
" 20	—0.01 —0.02	—0.03 —0.03	+0.03 —	—0.06 —0.06	+0.02 —0.02	—0.03 +0.42	0.11 0.07	6.22 7.18	+0.19 +1.07	0.8 0.6	0.5 0.3	+0.4 +0.3
" 21	—0.04 —0.01	—0.04 0.00	+0.02 —	—0.09 —0.05	0.00 +0.04	—0.01 +0.14	0.09 0.11	7.71 9.33	+0.55 +0.91	0.8 1.0	0.4 0.4	+0.2 +0.1
" 22	—0.05	—0.03	—	—0.11	—0.02	—0.45	0.16	8.71	+0.46	1.5	0.4	0.0
" 23	+0.11	+0.12	+0.16	—	+0.13	+0.48	0.05	—	—	1.5	0.6	—0.1
** 24	— 0.00	—0.02 0.00	0.00 +0.08	—0.10 —0.02	0.00 0.00	—0.48 +0.37	0.18 0.20	6.51 6.64	+0.02 +0.16	2.5 2.5	1.0 1.0	—0.2 —0.3
** 25	—0.07 0.00	+0.04 +0.09	—0.02 +0.15	—0.04 —0.08	—0.03 0.00	—0.57 +0.35	0.20 0.16	6.51 6.60	+0.44 —0.07	2.5 2.5	1.0 1.0	—0.4 —0.5
** 26	—0.05 +0.01	+0.02 +0.04	—0.01 +0.15	—0.03 +0.07	—0.06 +0.01	—0.58 +0.45	0.21 0.25	5.79 6.10	+0.26 —0.07	1.3 1.3	1.0 0.7	—0.6 —0.7
" 28	+0.02 —0.07	+0.10 +0.03	+0.20 —	+0.19 —0.05	+0.01 —0.05	—0.22 —0.49	0.22 0.27	6.57 6.22	—0.15 +0.21	1.5 1.5	1.0 1.3	—1.0 —1.1
** 29	+0.01 —0.01	+0.09 +0.05	+0.18 +0.15	+0.14 +0.11	+0.01 —0.01	—0.23 +0.06	0.22 0.27	5.33 6.09	—0.38 —0.08	2.5 2.0	1.3 1.3	—1.2 —1.3

Datum 1904	Thermom. — Barom. — Schwerekorr.					Luft- druck- ände- rung	Pumpen			Schlin- gern	Stamp- fen	Zeit- glied
	1	2	3	4	5		Höhe	Pe- riode	f			
April 30	— 0.06	+ 0.11	+ 0.14	+ 0.21	— 0.11	+ 0.10	0.38	5.89	— 0.04	2.5	1.5	— 1.4
May 1	— 0.08	+ 0.05	+ 0.14	+ 0.15	— 0.07	— 0.55	0.34	6.25	— 0.48	2.5	1.5	— 1.5
"	+ 0.03	+ 0.09	+ 0.18	+ 0.27	— 0.00	+ 0.18	0.34	6.48	— 0.03	1.5	1.3	— 1.6
" 2	+ 0.05	— 0.01	+ 0.01	+ 0.09	+ 0.05	— 0.03	0.27	6.30	— 0.11	1.7	1.0	— 1.7
"	+ 0.10	+ 0.06	+ 0.10	—	+ 0.07	+ 0.08	0.25	7.09	+ 0.20	2.0	1.0	— 1.8
" 3	+ 0.06	+ 0.04	+ 0.08	+ 0.19	+ 0.02	— 0.26	0.29	6.68	+ 0.21	2.0	1.0	— 1.9
"	+ 0.10	+ 0.08	+ 0.13	+ 0.24	+ 0.09	+ 0.07	0.38	6.28	+ 0.22	2.5	1.0	— 2.0
" 5	+ 0.16	+ 0.15	+ 0.14	+ 0.24	+ 0.17	— 0.20	0.29	5.85	+ 0.07	2.5	1.3	— 2.2
" 6	+ 0.20	+ 0.21	+ 0.11	—	+ 0.21	+ 0.03	0.27	6.06	— 0.06	2.5	1.0	— 2.3
"	+ 0.13	+ 0.16	+ 0.13	+ 0.18	+ 0.10	0.00	0.27	6.28	— 0.04	2.5	1.0	— 2.4
" 8	+ 0.25	+ 0.25	+ 0.21	+ 0.26	+ 0.27	— 0.39	0.25	7.49	— 0.57	2.0	1.0	— 2.5
"	+ 0.28	+ 0.29	+ 0.33	+ 0.27	+ 0.31	+ 0.01	0.20	7.05	— 0.27	1.0	1.0	— 2.6
" 9	+ 0.05	+ 0.03	— 0.06	+ 0.04	+ 0.06	— 0.19	0.20	6.97	+ 0.23	1.5	0.6	— 2.7
"	+ 0.15	+ 0.08	+ 0.12	+ 0.12	+ 0.16	+ 0.30	0.13	6.70	+ 0.40	1.5	0.7	— 2.8
" 10	+ 0.16	+ 0.07	+ 0.06	+ 0.10	+ 0.16	— 0.14	0.07	—	—	1.0	0.4	— 2.9
" 11	+ 0.14	+ 0.07	+ 0.04	+ 0.12	+ 0.14	— 0.29	0.20	6.56	+ 0.13	2.0	0.8	— 3.0
"	+ 0.12	+ 0.04	+ 0.06	—	+ 0.13	+ 0.28	0.18	9.19	+ 0.35	1.6	0.5	— 3.1
" 12	—	+ 0.05	+ 0.05	+ 0.13	—	— 0.11	0.00	—	—	0.0	0.0	— 3.2

Sydney — San Francisco.

Datum 1904	Thermom. — Barom. — Schwerekorr.					Luft- druck- ände- rung	Pumpen			Schlin- gern	Stamp- fen	Zeit- glied
	1	2	3	4	5		Höhe	Pe- riode	f			
June 26	+ 0.18	+ 0.12	+ 0.10	+ 0.17	— 0.37	0.00	—	—	0.0	0.0	0.0	+ 2.5
"	+ 0.18	+ 0.13	+ 0.13	+ 0.19	+ 0.35	0.00	—	—	—	0.0	0.0	+ 2.4
" 27	+ 0.20	+ 0.14	+ 0.12	+ 0.22	— 0.10	0.00	—	—	0.0	0.0	0.0	+ 2.3
"	+ 0.01	+ 0.14	— 0.01	— 0.16	— 0.16	0.38	6.62	+ 0.93	3.0	0.5	0.5	+ 2.2
" 28	— 0.12	0.00	+ 0.09	— 0.11	— 0.10	0.45	6.73	+ 0.58	3.5	0.8	0.8	+ 2.1
" 29	0.00	+ 0.10	+ 0.14	— 0.04	+ 0.20	0.42	7.35	+ 0.50	3.0	0.8	0.8	+ 2.0
" 30	+ 0.06	+ 0.10	+ 0.08	+ 0.05	— 0.12	0.12	5.84	+ 0.33	2.0	0.6	0.6	+ 1.9
"	+ 0.27	+ 0.26	+ 0.30	+ 0.28	+ 0.28	0.25	6.29	+ 0.49	1.8	0.5	0.5	+ 1.8
"	+ 0.15	+ 0.13	+ 0.09	+ 0.19	+ 0.10	0.14	5.69	+ 0.15	0.5	0.2	0.2	+ 1.7
July 1	+ 0.24	+ 0.18	+ 0.15	+ 0.23	+ 0.89	0.09	5.28	+ 0.10	0.3	0.1	0.1	+ 1.6
"	+ 0.24	+ 0.18	+ 0.14	—	— 0.04	0.04	5.28	+ 0.05	0.2	—	—	+ 1.5

Datum 1904	Thermom. — Barom. — Schwerekorr.				Luft- druck- änder- ung	Pumpen			Schlin- gern	Stamp- fen	Zeit- glied
	1	2	4	5		Höhe	Pe- riode	Δ			
Juli 2 ¹	^{max} + 0.14 ^{min} + 0.42	^{max} + 0.09 ^{min} + 0.48	^{max} + 0.12 ^{min} + 0.40	^{max} + 0.15 ^{min} + 0.41	^{max} - 0.60 ^{min} - 0.03	^{max} 0.21 ^{min} 0.22	6.27 6.60	+ 0.23 - 0.04	2.5 2.5	0.2 0.3	+ 1.4 + 1.3
" 2 ²	+ 0.18 + 0.20	+ 0.16 + 0.15	+ 0.17 + 0.17	+ 0.21 + 0.20	- 0.51 + 0.10	0.21 0.22	7.64 7.13	+ 0.60 + 0.08	2.0 2.0	0.5 0.3	+ 1.2 + 1.1
" 3	- 0.17 - 0.07	- 0.20 - 0.11	- 0.20 - 0.10	- 0.17 - 0.08	- 0.82 + 0.34	0.23 0.19	6.64 7.29	+ 0.38 - 0.02	2.0 2.0	0.5 0.6	+ 1.0 + 0.9
" 4	- 0.10	- 0.09	- 0.09	- 0.11	+ 0.14	0.21	6.43	+ 0.02	2.0	0.6	+ 0.7
" 5	+ 0.01 + 0.15	+ 0.05 + 0.18	+ 0.03 + 0.19	+ 0.02 + 0.18	- 0.06 + 0.56	0.20 0.25	5.78 6.07	+ 0.11 + 0.03	2.0 2.5	0.5 0.7	+ 0.6 + 0.5
" 6	+ 0.07 + 0.08	+ 0.10 + 0.08	+ 0.02 + 0.04	+ 0.07 + 0.09	- 0.39 + 0.19	0.22 0.22	5.85 5.24	+ 0.10 + 0.14	2.0 1.8	0.5 0.5	+ 0.4 + 0.3
" 7	0.00 + 0.09	+ 0.03 + 0.09	0.00 + 0.05	0.00 + 0.11	- 0.44 + 0.04	0.20 0.19	5.59 5.38	+ 0.34 - 0.16	2.0 1.8	0.5 0.5	+ 0.2 + 0.1
" 8	+ 0.08 + 0.13	+ 0.09 + 0.17	+ 0.03 + 0.10	+ 0.05 + 0.15	+ 0.02 + 0.07	0.16 0.14	4.99 5.23	+ 0.26 - 0.03	1.5 1.6	0.6 0.8	0.0 - 0.1
" 9	- 0.03 - 0.03	+ 0.07 + 0.04	+ 0.12 + 0.08	- 0.03 - 0.03	- 0.31 + 0.21	0.27 0.22	4.85 5.38	+ 0.07 - 0.16	2.6 2.5	1.0 1.0	- 0.2 - 0.3
" 10	+ 0.07 + 0.14	+ 0.09 + 0.15	+ 0.09 + 0.12	+ 0.08 + 0.13	- 0.06 0.00	0.23 0.18	5.73 5.35	+ 0.17 + 0.21	2.5 2.3	1.0 0.7	- 0.4 - 0.5
" 11	+ 0.13 + 0.16	+ 0.15 + 0.19	+ 0.14 + 0.16	+ 0.14 + 0.19	+ 0.19 - 0.08	0.17 0.20	5.17 5.46	+ 0.21 + 0.12	1.8 2.5	2.0 1.2	- 0.6 - 0.7
" 12	+ 0.46 + 0.17	+ 0.46 + 0.16	+ 0.42 —	+ 0.50 + 0.17	+ 0.48 + 0.52	0.07 0.23	5.93 5.14	+ 0.25 - 0.05	1.8 0.5	1.0 0.3	- 0.8 - 0.9
" 13	+ 0.04 + 0.06	+ 0.07 + 0.07	+ 0.11 + 0.14	+ 0.06 + 0.05	- 0.12 + 0.10	0.20 0.20	5.24 5.38	- 0.14 + 0.25	2.0 1.8	1.2 1.0	- 1.0 - 1.1
" 14	+ 0.14 + 0.07	+ 0.08 + 0.04	+ 0.13 + 0.06	+ 0.16 + 0.06	+ 0.18 - 0.47	0.16 0.16	5.15 5.41	+ 0.08 + 0.26	2.0 1.8	1.2 1.0	- 1.2 - 1.3
" 15	+ 0.14 + 0.11	+ 0.08 + 0.09	+ 0.13 + 0.10	+ 0.14 + 0.12	- 0.02 - 0.19	0.16 0.14	5.06 5.25	+ 0.08 + 0.16	1.5 1.5	0.6 0.5	- 1.4 - 1.5
" 16	+ 0.04 + 0.02	+ 0.05 0.00	—	+ 0.04 0.00	- 0.13 - 0.02	0.26 0.23	5.75 5.88	+ 0.22 + 0.38	2.5 2.6	1.3 1.0	- 1.6 - 1.7
" 17	+ 0.07 + 0.13	+ 0.05 + 0.11	+ 0.16 + 0.11	+ 0.08 + 0.17	+ 0.05 - 0.11	0.18 0.19	5.79 6.07	- 0.04 - 0.04	2.0 1.7	1.2 0.5	- 1.8 - 1.9
" 18	+ 0.24 + 0.25	+ 0.14 + 0.25	+ 0.19 + 0.18	+ 0.28 + 0.27	+ 0.31 + 0.34	0.09 0.00	5.95 —	- 0.08 —	1.5 0.0	0.5 0.0	- 2.0 - 2.1
" 19	+ 0.22 + 0.19 + 0.19	+ 0.22 + 0.23 + 0.18	+ 0.13 + 0.10 + 0.08	+ 0.25 + 0.25 + 0.20	+ 0.14 + 0.01 - 0.08	0.00 0.00 0.00	— — —	— — —	0.0 0.0 0.0	0.0 0.0 0.0	- 2.2 - 2.3 - 2.4

San Francisco — Yokohama.

Datum 1904	Thermom. — Barom. — Schwerekorr.					Luft- druck- ande- rung	Pumpen			Schlin- gern	Stamp- fen	Zeit- glied
	1	2	3	4	5		Höhe	Pe- riode	<i>st</i>			
* Aug. 23	+0.06	+0.09	+0.09	+0.11	+0.08	-0.24	0.00	—	—	0.0	0.0	+2.2
" 27	+0.03	+0.03	+0.05	+0.05	+0.05	0.00	0.00	—	—	0.0	0.0	+2.1
" 28	+0.01	+0.01	0.00	+0.06	+0.02	-0.08	0.00	—	—	0.0	0.0	+2.0
" 28	+0.03	0.00	+0.02	+0.07	+0.04	-0.38	0.00	—	—	0.0	0.0	+1.9
" 28	+0.01	+0.02	+0.03	+0.07	+0.03	-0.41	0.00	—	—	0.0	0.0	+1.8
" 29	+0.08	+0.02	+0.02	+0.07	—	-0.05	0.00	—	—	0.0	0.0	+1.7
" 30	+0.03	+0.02	+0.03	+0.09	—	-0.17	0.00	—	—	0.0	0.0	+1.6
" 30	+0.15	+0.14	+0.17	+0.21	—	+0.24	0.11	5.83	+0.28	0.5	0.7	+1.5
** 31	+0.14	+0.12	+0.13	+0.20	+0.15	+0.04	0.14	8.49	+0.50	0.4	0.8	+1.4
** 31	+0.17	+0.17	+0.15	+0.24	+0.17	+0.31	0.16	7.98	+0.53	0.4	0.8	+1.3
* Sept. 1	+0.17	+0.11	+0.22	+0.24	+0.19	+0.17	0.20	8.39	+0.48	0.7	0.9	+1.2
" 1	+0.13	+0.10	+0.10	+0.22	+0.13	-0.10	0.22	8.28	+0.18	0.5	0.5	+1.1
** 2	+0.17	+0.14	+0.10	+0.26	+0.18	-0.07	0.13	7.27	+0.31	1.0	1.2	+1.0
** 2	+0.16	+0.11	—	+0.21	+0.16	+0.12	0.16	7.15	+0.31	0.5	0.9	+0.9
" 3	+0.11	+0.09	+0.10	+0.18	+0.13	-0.35	0.19	7.55	+0.31	0.8	0.7	+0.8
" 3	+0.13	+0.14	+0.20	+0.21	+0.12	+0.24	0.22	7.42	-0.13	0.7	0.7	+0.7
** 4	+0.07	+0.06	+0.13	+0.15	+0.11	-0.09	0.17	7.70	+0.39	0.8	0.7	+0.6
" 4	+0.16	+0.12	+0.22	+0.22	+0.15	+0.12	0.20	8.29	+0.12	0.9	1.0	+0.5
" 5	+0.15	+0.16	+0.21	+0.23	+0.16	-0.10	0.17	9.30	+0.11	0.5	0.8	+0.4
" 5	+0.09	+0.09	+0.10	+0.15	+0.09	-0.01	0.14	8.25	+0.54	0.4	0.6	+0.3
" 5	+0.36	+0.35	+0.41	+0.37	+0.36	+0.35	0.12	7.41	+0.67	0.5	0.7	+0.2
" 6	+0.34	+0.33	+0.42	+0.38	+0.34	+0.22	0.11	7.68	+0.38	0.3	0.3	+0.1
" 7	+0.24	+0.14	+0.23	+0.20	+0.16	-0.12	0.10	7.27	+0.60	0.3	0.7	—0.0
" 7	+0.17	+0.17	+0.24	+0.22	+0.16	+0.27	0.10	7.05	+0.49	0.4	0.6	—0.1
" 8	+0.18	+0.20	+0.34	+0.27	+0.17	+0.09	0.21	7.24	+0.08	0.9	1.0	—0.2
" 8	+0.16	+0.19	+0.29	+0.29	+0.14	+0.20	0.23	7.02	+0.11	0.9	0.9	—0.3
" 9	+0.28	+0.20	+0.28	+0.28	+0.16	+0.10	0.18	7.40	+0.41	0.7	0.8	—0.4
" 9	+0.23	+0.26	+0.34	+0.33	+0.22	+0.21	0.22	7.42	+0.22	0.6	0.7	—0.5
** 10	+0.28	+0.13	+0.22	+0.26	+0.21	-0.17	0.12	6.90	+0.28	0.6	0.8	—0.6
** 10	+0.11	+0.12	+0.19	+0.19	+0.14	+0.19	0.11	7.22	+0.16	0.6	0.7	—0.7
** 12	+0.15	+0.14	+0.18	+0.26	+0.15	-0.21	0.20	6.73	+0.05	1.0	1.5	—0.8
" 12	+0.15	+0.15	+0.19	+0.27	+0.14	-0.23	0.14	6.69	-0.06	1.0	1.0	—0.9
" 13	+0.06	+0.03	+0.06	+0.11	+0.05	-0.08	0.08	7.67	+0.09	0.5	0.5	—1.0
" 14	+0.10	+0.05	+0.07	+0.20	+0.09	-0.14	0.14	6.73	-0.04	1.1	1.0	—1.1
" 14	+0.19	+0.17	+0.15	+0.21	+0.20	+0.48	0.19	7.97	-0.46	0.8	1.0	—1.2
** 15	+0.09	+0.12	+0.19	+0.33	+0.09	-0.22	0.16	8.15	+0.29	0.8	1.2	—1.3
** 15	+0.26	+0.26	+0.35	+0.43	+0.20	+0.47	0.28	8.55	+0.36	0.5	0.7	—1.4

Datum 1904	Thermom. — Barom. — Schwerekorr.					Luft- druck- ände- rung	Pumpen			Schlin- gern	Stamp- fen	Zeit- glied
	1	2	3	4	5		Hohe	Pe- riode	Δ			
Sept. 16	+ 0.15 + 0.16	+ 0.16 + 0.23	+ 0.21 + 0.40	+ 0.29 + 0.49	+ 0.11 + 0.11	- 0.29 - 0.36	0.28 0.41	8.37 8.60	+ 0.08 + 0.49	1.0 1.2	0.8 1.2	- 1.5 - 1.6
" - 18	0.00 0.00	+ 0.10 + 0.12	+ 0.15 + 0.20	+ 0.06 + 0.06	0.00 + 0.04	- 0.18 + 0.03	0.14 0.00	7.03 —	- 0.01 —	0.5 0.0	0.5 0.0	- 1.7 - 1.8
"	+ 0.03 + 0.04	+ 0.12 + 0.11	+ 0.20 + 0.19	+ 0.06 + 0.08	+ 0.08 + 0.03	+ 0.10 + 0.12	0.00 0.00	— —	— —	0.0 0.0	0.0 0.0	- 1.9 - 2.0
" - 19	+ 0.08	+ 0.09	+ 0.16	+ 0.12	+ 0.07	0.00	0.00	—	—	0.0	0.0	- 2.1

Ergebnisse der Ausgleichungen.

Bremerhaven — Melbourne.

	Barometer					Mittel
	1	2	3	4	5	
Unbekannte.						
Konstantes Glied k_0	-0.010	$+0.094$	$+0.096$	$+0.091$	-0.016	
Luftdruckänderung a	-0.064	-0.043	-0.144	-0.062	-0.041	
Pumpen b	$+0.373$	$+0.268$	$+0.361$	-0.644	$+0.414$	
Schlingern c	$+0.006$	-0.007	$+0.005$	$+0.018$	-0.012	
Stampfen d	$+0.009$	-0.090	-0.127	-0.030	$+0.060$	
Zeitglied e	$+0.080$	$+0.051$	$+0.058$	$+0.068$	$+0.073$	
Period.-Unt. . . . f	-0.058	-0.011	$+0.107$	$+0.130$	-0.025	
Mittlerer Fehler . .	± 0.050	± 0.079	± 0.084	± 0.075	± 0.045	
k_m	-0.027	-0.047	-0.112	$+0.032$	-0.048	-0.038
Mittlerer Fehler . .	± 0.052	± 0.080	± 0.085	± 0.073	± 0.046	± 0.037

Übrigbleibende Fehler bei der Ausgleichung.

April 7	- 0.01	- 0.03	- 0.08	0.00	- 0.03
" 10	- 0.06	- 0.12	- 0.03	- 0.07	- 0.08
" 11	- 0.01	+ 0.02	- 0.02	+ 0.06	+ 0.01
" 15	+ 0.03	- 0.02	- 0.01	- 0.02	0.00
" 15	—	0.00	+ 0.08	0.00	+ 0.01
" 16	+ 0.08	+ 0.18	+ 0.15	+ 0.05	+ 0.10
" 24	—	- 0.02	- 0.01	- 0.06	- 0.02
" 24	0.00	- 0.04	- 0.03	- 0.03	- 0.02
" 25	- 0.03	+ 0.03	+ 0.03	+ 0.03	+ 0.01

	Barometer					Mittel
	1	2	3	4	5	
April 25	— 0.01	+ 0.03	— 0.01	+ 0.05	— 0.02	+ 0.01
" 26	— 0.01	+ 0.02	+ 0.01	— 0.03	— 0.01	0.00
" 26	0.00	+ 0.03	+ 0.03	— 0.05	+ 0.01	0.00
" 28	+ 0.03	+ 0.06	+ 0.11	+ 0.03	+ 0.02	+ 0.06
" 29	+ 0.02	+ 0.01	+ 0.01	+ 0.01	+ 0.03	+ 0.02
" 29	— 0.02	— 0.03	— 0.02	— 0.05	0.00	— 0.02
" 30	— 0.04	+ 0.03	— 0.02	— 0.02	— 0.06	— 0.02
Mai 1	— 0.02	— 0.01	+ 0.01	+ 0.02	— 0.01	0.00
" 1	0.00	+ 0.01	+ 0.01	+ 0.04	+ 0.01	+ 0.01
" 1	0.00	— 0.08	— 0.13	— 0.09	+ 0.02	— 0.06
" 2	+ 0.02	— 0.03	— 0.04	—	+ 0.01	— 0.01
" 3	0.00	— 0.03	0.00	+ 0.05	— 0.02	0.00
" 3	+ 0.05	+ 0.01	+ 0.03	+ 0.02	+ 0.06	+ 0.03
" 10	— 0.04	0.00	— 0.01	— 0.04	— 0.02	— 0.02
" 12	—	— 0.01	— 0.02	+ 0.01	—	— 0.01
	± 0.041	± 0.065	± 0.069	± 0.059	± 0.037	

Sydney — San Francisco.

	Barometer				Mittel
	1	2	4	5	
Unbekannte.					
Konstantes Glied k_0	— 0.198	— 0.177	— 0.115	— 0.217	
Luftdruckänderung a	— 0.064	— 0.063	— 0.071	— 0.070	
Pumpen b	+ 1.040	+ 0.724	— 0.031	+ 1.073	
Schlingern c	— 0.049	— 0.046	+ 0.043	— 0.038	
Stampfen d	+ 0.008	+ 0.008	— 0.070	+ 0.009	
Zeitglied e	+ 0.003	+ 0.008	+ 0.006	+ 0.007	
Period.-Unt. f	+ 0.073	+ 0.082	— 0.076	+ 0.151	
Mittlerer Fehler . .	± 0.053	± 0.076	± 0.038	± 0.065	
$ k_0 $	— 0.011	+ 0.025	+ 0.013	+ 0.006	+ 0.004
Mittlerer Fehler . .	± 0.049	± 0.070	± 0.071	± 0.061	± 0.038
Übrigbleibende Fehler bei der Ausgleichung.					
Juni 26	+ 0.01	— 0.01	+ 0.03	0.00	+ 0.01
" 26	— 0.03	— 0.05	0.00	— 0.03	— 0.03

		Barometer				Mittel
		1	2	4	5	
Juni 27		+0.01	-0.01	+0.03	+0.03	+0.01
Juli 6		+0.03	+0.05	-0.02	+0.03	+0.02
- 6		+0.01	+0.01	-0.05	+0.02	0.00
- 7		-0.04	-0.01	-0.05	-0.02	-0.03
- 7		-0.02	-0.02	-0.01	-0.02	-0.02
- 8		-0.01	+0.01	-0.08	-0.03	-0.03
- 8		-0.01	+0.04	0.00	-0.01	0.00
- 10		0.00	+0.01	+0.01	+0.01	+0.01
- 10		+0.02	+0.04	+0.04	+0.01	+0.03
- 11		+0.03	+0.05	-0.06	+0.04	+0.01
- 11		+0.06	+0.09	+0.07	+0.08	+0.07
- 13		-0.04	-0.03	+0.02	-0.06	-0.03
- 13		-0.01	0.00	+0.01	-0.02	0.00
- 14		0.00	-0.05	0.00	+0.01	-0.01
- 14		-0.01	-0.03	-0.01	-0.01	-0.01
- 15		+0.03	-0.02	+0.03	+0.02	+0.01
- 15		0.00	-0.01	+0.01	0.00	0.00
- 16		+0.01	-0.01	—	+0.01	0.00
- 16		-0.04	-0.08	—	-0.06	-0.06
- 17		-0.05	-0.07	+0.04	-0.07	-0.04
- 17		+0.04	+0.02	+0.04	+0.06	+0.04
- 18		+0.02	+0.03	+0.03	+0.01	+0.02
- 19		+0.01	+0.02	-0.01	+0.01	+0.01
- 19		-0.02	+0.03	-0.03	+0.02	0.00
- 19		-0.01	-0.01	-0.04	-0.03	-0.02
		± 0.033	± 0.047	± 0.039	± 0.040	

San Francisco — Yokohama.

		Barometer					Mittel
		1	2	3	4	5	
Unbekannte.							
Konstantes Glied . <i>k_a</i>		-0.037	-0.069	-0.107	-0.065	-0.053	
Luftdruckänderung <i>a</i>		-0.085	-0.087	-0.138	0.000	-0.080	
Pumpen <i>b</i>		-0.176	-0.365	-0.518	-0.684	+0.059	
Schlingern <i>c</i>		+0.016	+0.030	-0.051	+0.037	+0.008	
Stampfen <i>d</i>		-0.033	-0.052	-0.013	-0.063	-0.038	

	Barometer					Mittel
	1	2	3	4	5	
Zeitglied <i>e</i>	— 0.004	+ 0.013	+ 0.025	+ 0.008	— 0.005	
Period.-Unt. <i>f</i>	— 0.013	— 0.044	— 0.086	— 0.087	— 0.028	
Mittlerer Fehler . .	± 0.035	± 0.034	± 0.049	± 0.050	± 0.035	
<i>k_B</i>	— 0.053	+ 0.044	+ 0.093	— 0.002	— 0.070	— 0.007
Mittlerer Fehler . .	± 0.056	± 0.035	± 0.053	± 0.054	± 0.038	± 0.018
Übrigbleibende Fehler bei der Ausgleichung.						
Aug. 23	+ 0.03	+ 0.07	+ 0.07	+ 0.06	+ 0.03	+ 0.05
- 27	— 0.01	— 0.01	0.00	0.00	— 0.01	— 0.01
- 27	— 0.03	— 0.03	— 0.05	+ 0.01	— 0.04	— 0.03
- 28	+ 0.02	— 0.01	0.00	+ 0.02	+ 0.01	+ 0.01
- 28	0.00	+ 0.01	+ 0.02	+ 0.02	0.00	+ 0.01
- 29	+ 0.04	— 0.02	— 0.05	+ 0.02	—	0.00
- 31	— 0.01	+ 0.01	0.00	— 0.03	— 0.02	— 0.01
- 31	— 0.01	+ 0.02	— 0.03	— 0.01	— 0.02	— 0.01
Sept. 1	+ 0.01	— 0.01	+ 0.02	0.00	+ 0.03	+ 0.01
- 1	— 0.02	— 0.02	— 0.04	— 0.04	— 0.01	— 0.03
- 2	+ 0.03	+ 0.04	+ 0.06	+ 0.05	+ 0.02	+ 0.04
- 2	0.00	— 0.02	—	— 0.02	— 0.01	— 0.01
- 3	0.00	+ 0.01	— 0.02	— 0.05	+ 0.01	— 0.01
- 3	— 0.03	+ 0.01	+ 0.02	— 0.01	— 0.03	— 0.01
- 4	— 0.06	— 0.04	— 0.03	— 0.08	— 0.03	— 0.05
- 4	— 0.01	— 0.02	+ 0.01	— 0.02	— 0.02	— 0.01
- 10	+ 0.06	+ 0.03	+ 0.09	+ 0.05	+ 0.08	+ 0.06
- 10	— 0.03	— 0.01	— 0.02	— 0.02	— 0.02	— 0.02
- 12	+ 0.01	0.00	0.00	— 0.01	+ 0.01	0.00
- 12	+ 0.04	+ 0.06	+ 0.05	+ 0.08	+ 0.02	+ 0.05
- 13	— 0.04	— 0.04	— 0.05	— 0.04	— 0.07	— 0.05
- 14	— 0.01	— 0.04	— 0.09	+ 0.01	— 0.04	— 0.03
- 14	+ 0.02	+ 0.01	+ 0.03	+ 0.01	+ 0.04	+ 0.02
- 15	— 0.05	— 0.05	— 0.04	0.00	+ 0.04	— 0.02
- 15	+ 0.06	+ 0.03	+ 0.01	+ 0.09	+ 0.01	+ 0.04
- 16	+ 0.03	+ 0.02	— 0.01	0.00	+ 0.01	+ 0.01
- 16	+ 0.01	+ 0.02	+ 0.06	+ 0.05	0.00	+ 0.03
- 18	— 0.05	— 0.04	— 0.08	— 0.11	— 0.04	— 0.06
- 18	— 0.03	+ 0.03	+ 0.04	— 0.02	— 0.01	0.00
- 18	— 0.02	+ 0.02	+ 0.03	— 0.02	+ 0.03	+ 0.01
- 18	— 0.01	0.00	0.00	0.00	— 0.03	— 0.01
- 19	+ 0.05	— 0.01	0.00	+ 0.04	+ 0.03	+ 0.02
	± 0.035	± 0.034	± 0.050	± 0.050	± 0.035	

Tafel IX gibt eine graphische Darstellung der übrigbleibenden Fehler.

Für die Reise Sydney—San Francisco und San Francisco—Yokohama wurden außerdem noch weitere Ausgleichungen vorgenommen; es wurden nämlich dieselben Fehlergleichungen, wie vorher, aber mit Vernachlässigung des Gliedes, welches den Einfluß der Auf- und Abwärtsbewegung berücksichtigt, aufgestellt. Die Ergebnisse sind im folgenden aufgeführt.

Sydney—San Francisco.

	Barometer				Mittel
	1	2	4	5	
Unbekannte.					
Konstantes Glied k_n	^{mm} − 0.197	^{mm} − 0.175	^{mm} − 0.115	^{mm} − 0.214	
Luftdruckänderung a	− 0.076	− 0.069	− 0.070	− 0.081	
Pumpen b	+ 1.047	+ 0.731	+ 0.733	+ 1.075	
Schlingern c	− 0.042	− 0.037	− 0.058	− 0.041	
Stampfen d	+ 0.009	+ 0.009	− 0.045	+ 0.010	
Zeitglied e	+ 0.001	+ 0.002	+ 0.004	+ 0.006	
k_{th}	− 0.020	+ 0.014	+ 0.033	− 0.013	^{mm} 0.000
Mittlerer Fehler . .	± 0.049	± 0.070	± 0.063	± 0.066	± 0.030
Übrigbleibende Fehler.					
Juni 26	^{mm} + 0.01	^{mm} 0.00	^{mm} + 0.03	^{mm} + 0.01	^{mm} + 0.01
" 26	− 0.03	− 0.05	0.00	− 0.04	− 0.03
" 27	+ 0.01	− 0.01	+ 0.02	+ 0.02	+ 0.01
Juli 6	+ 0.03	+ 0.06	− 0.01	+ 0.04	+ 0.03
" 6	+ 0.01	+ 0.01	− 0.02	+ 0.02	+ 0.01
" 7	− 0.05	− 0.02	− 0.04	− 0.05	− 0.04
" 7	0.00	0.00	− 0.02	+ 0.02	0.00
" 8	− 0.03	− 0.01	− 0.05	− 0.06	− 0.04
" 8	0.00	+ 0.05	− 0.01	+ 0.01	+ 0.01
" 10	0.00	+ 0.01	− 0.01	+ 0.01	0.00
" 10	+ 0.02	+ 0.04	0.00	+ 0.01	+ 0.02
" 11	+ 0.02	+ 0.05	− 0.03	+ 0.02	+ 0.01
" 11	+ 0.06	+ 0.09	+ 0.03	+ 0.09	+ 0.07
" 13	− 0.02	− 0.01	+ 0.01	− 0.02	− 0.01
" 13	− 0.02	− 0.02	+ 0.04	− 0.04	− 0.01
" 14	0.00	− 0.05	− 0.02	+ 0.01	− 0.01
" 14	− 0.01	− 0.04	− 0.01	− 0.03	− 0.02
" 15	+ 0.03	− 0.02	+ 0.05	+ 0.02	+ 0.02
" 15	− 0.01	− 0.02	+ 0.02	+ 0.01	0.00
" 16	+ 0.01	0.00	—	0.00	0.00
" 16	− 0.06	− 0.09	—	− 0.09	− 0.08

Barometer					
	1	2	4	5	Mittel
Juli 17	^{Mittel} - 0.04	^{Mittel} - 0.06	^{Mittel} + 0.03	^{Mittel} - 0.04	^{Mittel} - 0.03
- 17	+ 0.05	+ 0.03	+ 0.05	+ 0.08	+ 0.05
- 18 ¹	+ 0.02	+ 0.04	+ 0.02	+ 0.01	+ 0.02
- 19	0.00	+ 0.01	0.00	+ 0.01	0.00
- 19	- 0.01	+ 0.04	- 0.04	+ 0.01	0.00
- 19	- 0.01	- 0.02	- 0.04	- 0.02	- 0.02
	± 0.033	± 0.047	± 0.039	± 0.044	

San Francisco — Yokohama.

Barometer						Mittel
1	2	3	4	5		
Unbekannte.						
Konstantes Glied . k_n	^{Mittel} - 0.034	^{Mittel} - 0.067	^{Mittel} - 0.106	^{Mittel} - 0.016	^{Mittel} - 0.055	
Luftdruckänderung a	- 0.083	- 0.079	- 0.123	+ 0.015	- 0.072	
Pumpen b	- 0.194	- 0.424	- 0.631	- 0.796	- 0.026	
Schlingern c	+ 0.025	+ 0.055	- 0.005	+ 0.086	+ 0.044	
Stampfen d	- 0.034	- 0.051	- 0.009	- 0.059	- 0.037	
Zeitglied e	- 0.002	+ 0.014	+ 0.026	+ 0.009	- 0.003	
k_n	- 0.061	+ 0.023	+ 0.056	- 0.040	- 0.085	
Mittlerer Fehler . .	± 0.036	± 0.034	± 0.050	± 0.050	± 0.035	
Übriggeliebende Fehler.						
Aug. 23	^{Mittel} + 0.03	^{Mittel} + 0.06	^{Mittel} + 0.06	^{Mittel} + 0.05	^{Mittel} + 0.04	
- 27	- 0.02	- 0.02	- 0.01	0.00	- 0.02	
- 27	- 0.03	- 0.03	- 0.04	0.00	- 0.04	
- 28	+ 0.02	- 0.01	0.00	+ 0.01	+ 0.01	
- 28	0.00	0.00	+ 0.01	0.00	- 0.01	
- 29	+ 0.04	- 0.03	- 0.05	+ 0.02	—	
- 31	0.00	+ 0.02	+ 0.01	- 0.02	- 0.01	
- 31	0.00	+ 0.03	- 0.01	+ 0.01	- 0.01	
Sept. 1	+ 0.02	0.00	+ 0.04	+ 0.02	+ 0.04	
- 1	- 0.02	- 0.03	- 0.06	- 0.05	- 0.02	
- 2	+ 0.04	+ 0.06	+ 0.09	+ 0.07	+ 0.04	
- 2	0.00	- 0.02	—	- 0.02	0.00	
- 3	0.00	+ 0.01	- 0.02	- 0.05	+ 0.02	

		Barometer					Mittel
		1	2	3	4	5	
Sept. 3	— 0.04	0.00	— 0.01	— 0.04	— 0.04	— 0.03	
4	— 0.06	— 0.03	— 0.01	— 0.06	— 0.02	— 0.04	
4	0.00	— 0.02	+ 0.02	— 0.02	— 0.01	— 0.01	
10	+ 0.06	+ 0.03	+ 0.09	+ 0.05	+ 0.08	+ 0.06	
10	— 0.03	0.00	— 0.01	0.00	— 0.01	— 0.01	
12	+ 0.01	0.00	— 0.01	+ 0.02	+ 0.01	+ 0.01	
12	+ 0.04	+ 0.06	+ 0.04	+ 0.07	+ 0.02	+ 0.05	
13	— 0.05	— 0.05	— 0.06	— 0.06	— 0.08	— 0.06	
14	— 0.01	— 0.05	— 0.09	+ 0.01	— 0.03	— 0.03	
14	+ 0.01	— 0.02	— 0.02	— 0.04	+ 0.02	— 0.01	
15	— 0.06	— 0.05	— 0.05	0.00	— 0.05	— 0.04	
15	+ 0.06	+ 0.03	— 0.02	+ 0.10	+ 0.02	+ 0.04	
16	+ 0.03	+ 0.01	— 0.03	— 0.02	0.00	0.00	
16	+ 0.01	+ 0.02	+ 0.08	+ 0.07	0.00	+ 0.04	
18	— 0.04	— 0.02	— 0.06	— 0.07	— 0.04	— 0.06	
18	— 0.03	+ 0.03	+ 0.04	— 0.01	0.00	+ 0.01	
18	— 0.01	+ 0.03	+ 0.03	— 0.02	+ 0.02	+ 0.01	
18	— 0.01	0.00	0.00	+ 0.01	— 0.02	0.00	
19	+ 0.05	— 0.01	+ 0.01	+ 0.04	+ 0.03	+ 0.02	
		± 0.036	± 0.035	± 0.051	± 0.051	± 0.036	

In den vorstehenden Ergebnissen der Ausgleichungen sind für zwei der Unbekannten, nämlich für den Einfluß der Periodendifferenz der Schiffsbewegung, wie im folgenden kurz der Unterschied der Auf- und Abwärtsbewegung des Schiffes genannt werden soll, und für k_{on} die mittleren Fehler, wie sie aus den Ausgleichungen folgen, angegeben.

Außerdem sind am Schlusse des Verzeichnisses der übrigbleibenden Fehler bei jedem Barometer die mittleren Fehler einer Beobachtungsgleichung vermerkt.

Es sollen nun zunächst die für die drei Reisen abgeleiteten Konstanten miteinander verglichen werden. Die eingeklammerten Zahlen sind die aus den Ausgleichungen ohne Berücksichtigung der Periodendifferenz der Schiffsbewegung sich ergebenden Werte der Konstanten.

Die Konstanten k_{on} .

Auf allen drei Reisen befanden sich die Thermometer und Barometer bis auf wenige Zentimeter stets in derselben Höhendifferenz. Eine Korrektur wegen der verschiedenen Höhe der Aufstellung der Instrumente ist daher nicht erforderlich.

Aus den Ausgleichungen ergeben sich die folgenden Werte für k_a :

	Barometer				
	I	II	III	IV	V
Bremerhaven — Melbourne	-0.010	$+0.094$	$+0.096$	$+0.091$	-0.016
Sydney — San Francisco	$-0.198 (-0.197)$	$-0.177 (-0.175)$	—	$-0.115 (-0.115)$	$-0.217 (-0.214)$
San Francisco — Yokohama	$-0.037 (-0.034)$	$-0.069 (-0.067)$	$-0.107 (-0.106)$	$-0.065 (-0.016)$	$-0.053 (-0.055)$

Die beiden verschiedenen Ausgleichungen geben dieselben Werte für die Konstanten k_a , die eingeklammerten und nicht eingeklammerten Zahlen stimmen fast durchgängig überein.

Aus diesen und den in den Schlußtabellen aufgeführten Werten erhält man die folgenden Werte für die Differenzen:

	Thermometer—Barometer—Schwerkorrektion Barometer				
	I	II	III	IV	V
Bremerhaven — Melbourne	$+2.64$	$+3.06$	$+3.00$	$+2.78$	$+2.70$
Sydney — San Francisco	$+1.38$	$+1.74$	—	$+2.55$	$+2.37$
San Francisco — Yokohama	$+2.76$	$+3.07$	$+2.91$	$+2.68$	$+2.76$

Die Tabelle enthält zugleich die Differenzen zwischen den verschiedenen Barometern auf jeder Reise, sowie derselben Barometer zwischen den einzelnen Reisen. Wie man sieht, sind die Differenzen zwischen den verschiedenen Barometern auf jeder der drei Reisen im allgemeinen nicht sehr von einander verschieden und bleiben angenähert dieselben. Dagegen sind die Differenzen zwischen denselben Barometern der einzelnen Reisen stark verschieden und zwar ist die mittlere Differenz zwischen der ersten und zweiten Reise für die vier stets beobachteten Barometer $+0.28$ mm und zwischen der zweiten und dritten -0.31 mm. Barometer IV verhält sich, wie sich im folgenden zeigen wird, fast stets etwas abweichend. Diese letzteren Differenzen wird man hauptsächlich der Veränderlichkeit der Siedethermometer zur Last legen müssen, da man sonst annehmen müßte, daß sich zwischen der ersten und zweiten Reise der Stand der Barometer erhöht hat, was nicht gut möglich ist, da dann ja das annähernde Vakuum in den oberen Teilen der Barometerrohre sich noch verstärkt haben müßte.

Die Konstanten der Luftdruckänderung.

Steigt der Luftdruck, so weicht, wenn die Trägheit der Barometer größer ist, als die der Siedethermometer, die Differenz: Thermometer minus Barometer minus Schwerkorrektion nach der positiven Seite hin ab, da das Barometer zurückbleibt; das umgekehrte tritt ein, wenn sich der Luftdruck vermindert.

Aus den Ausgleichungen haben sich nun die folgenden Konstanten ergeben:

	Barometer				
	I	II	III	IV	V
Bremerhaven — Melbourne	-0.064	-0.043	-0.144	-0.062	-0.041
Sydney — San Francisco	$-0.064 (-0.076)$	$-0.063 (-0.069)$	—	$-0.071 (-0.070)$	$-0.070 (-0.081)$
San Francisco — Yokohama	$-0.085 (-0.083)$	$-0.087 (-0.079)$	$-0.138 (-0.123)$	$0.000 (+0.015)$	$-0.080 (-0.072)$
Mittel	$-0.072 (-0.079)$	$-0.064 (-0.074)$	$-0.141 (-0.123)$	$-0.044 (-0.017)$	$-0.064 (-0.076)$

Alle Barometer mit Ausnahme von Barometer IV, das wiederum etwas stärker abweicht, ergeben im Mittel eine ungefähr ihrer Trägheit ϵ entsprechende größere oder geringere Konstante der Luftdruckänderung. Es ist nämlich für

Barometer III:	$\epsilon = 0.092$	$\alpha = -0.141 (-0.123)$
- I:	$\epsilon = 0.125$	$\alpha = -0.071 (-0.079)$
- V:	$\epsilon = 0.136$	$\alpha = -0.064 (-0.076)$
- II:	$\epsilon = 0.159$	$\alpha = -0.064 (-0.074)$
dagegen für IV:	$\epsilon = 0.118$	$\alpha = -0.044 (-0.027)$

Für die Siedethermometer ist im Mittel $\epsilon = 0.68$.

Die Zeitglieder.

Als Konstanten der der Zeit proportionalen Änderungen ergeben die Ausgleichungen die folgenden Zahlen.

	Barometer				
	I	II	III	IV	V
Bremerhaven — Melbourne	$+0.080$	$+0.051$	$+0.058$	$+0.068$	$+0.073$
Sydney — San Francisco	$+0.003 (+0.001)$	$+0.008 (+0.003)$	—	$+0.006 (+0.004)$	$+0.007 (+0.006)$
San Francisco — Yokohama	$-0.004 (-0.002)$	$+0.013 (+0.014)$	$+0.025 (+0.026)$	$+0.008 (+0.009)$	$-0.005 (-0.003)$

Vergleicht man hiermit die Differenzen der Siedethermometerangaben auf Seite 183, so zeigt sich, daß die Standänderungen von rund 0.007, welche die Thermometer 5 und 6 während der ersten Reise gegen das Mittel der anderen erfahren haben, eine der Zeit proportionale Änderung des Mittels aus allen Thermometern um 0.0023 = 0.06 mm in Quecksilberhöhe des Barometers hervorrufen, wenn man annimmt, daß die Thermometer 1, 2, 3 und 4 ihren Stand nicht wesentlich geändert haben.

Hierdurch wird aber die aus der Ausgleichung für die erste Reise sich ergebende mittlere Zeitkonstante von 0.07 mm nicht erklärt. Um die Gesamtveränderung zu erhalten, ist diese Konstante noch mit 6.0, der Differenz der Zeitkoeffizienten der ersten und der letzten in die Ausgleichung aufgenommenen Schwerkraftsbestimmung, zu multiplizieren, was 0.42 mm ergibt.

Diese Änderung ist in dem Sinne vor sich gegangen, daß das Absolutglied: Thermometer—Barometer—Schwerkorrektion größer geworden ist; es muß also entweder der Stand der Thermometer sich erhöht oder der der Barometer sich erniedrigt haben.

Ob beide Einflüsse hier zusammengewirkt haben, oder ob hauptsächlich einem von ihnen diese Änderung zugeschrieben werden muß, läßt sich nicht ohne weiteres sagen. Vergleicht man aber die aus den Konstanten k_n sich ergebenden Staudkorrekturen auf Seite 206 für diese und die folgende Reise, so zeigt sich, daß bei der letzteren die Differenz: Thermom.—Barom.—Schwerkorr. für alle Barometer um den mittleren Betrag von 0.28 mm kleiner ist, als bei der ersten. Da man nun nicht gut annehmen kann, daß der Stand der Barometer sich erhöht hat, so wird man mit einer gewissen Wahrscheinlichkeit annehmen dürfen, daß auf der ersten Reise ein beträchtliches Ansteigen aller Thermometer stattgefunden hat. Bei der Ruhepause in Sydney scheint dann diese Änderung teilweise wieder zurückgegangen zu sein.

Auf den beiden folgenden Reisen zeigen die beiden Thermometer 5 und 6 kein so abweichendes Verhalten. Die aus den Ausgleichungen sich ergebenden Zeitkonstanten sind bei allen Barometern sehr viel kleiner, diese Instrumente haben somit eine erheblich größere Konstanz bewiesen.

Die Konstanten des Pumpens, Schlingerns und Stampfens.

Es war zu erwarten, daß sich der Einfluß der Schiffsbewegung bei den drei Reisen verschieden ergeben würde, da die Aufhängung der Barometer stets verschieden war.

Infolge der beschränkten Raumverhältnisse an Bord konnte ich weder auf der Reise Sydney—San Francisco noch auf der Reise San Francisco—Yokohama von dem Eisestativ des Barometerapparates Gebrauch machen, sondern ich mußte ihn mit Tauen an den Eisenschienen, die unter der Kabinendecke lagen, befestigen. Die Tauten waren hierbei an dem äußeren Rahmen der kardanischen Aufhängung angebracht, sodaß der Apparat innerhalb dieses Rahmens frei nach allen Richtungen schwingen konnte und ebenfalls die Öldämpfung normal wirkte.

Bei der letzten Reise war außerdem der äußere Rahmen noch durch Tauten seitlich befestigt, sodaß er nicht hin- und herschwingen konnte.

Die Aufhängungsarten auf den drei Reisen waren also:

Bremerhaven—Melbourne:	Barometerapparat im Eisestativ.
Sydney—San Francisco:	- an Tauen hängend, keine seitliche Befestigung
San Francisco—Yokohama:	- an Tauen hängend, aber des äußeren Rahmens.

Es ergaben sich nun die folgenden Konstanten aus den Ausgleichungen:

	Barometer				
	I	II	III	IV	V
	Pumpen				
Bremerhaven—Melbourne	$+0.373$	$+0.268$	$+0.361$	-0.644	$+0.414$
Sydney—San Francisco	$+1.040 (+1.047)$	$+0.724 (+0.731)$	—	$-0.631 (-0.733)$	$+1.073 (+1.075)$
San Francisco—Yokohama	$-0.176 (-0.194)$	$-0.363 (-0.424)$	$-0.518 (-0.631)$	$-0.684 (-0.796)$	$+0.059 (-0.026)$

Barometer									
	I		II		III		IV		V
Schlingern									
Bremerhaven—Melbourne	$\frac{mm}{+0.006}$	$\frac{mm}{-}$	$\frac{mm}{-0.007}$	$\frac{mm}{-}$	$\frac{mm}{+0.005}$	$\frac{mm}{-}$	$\frac{mm}{+0.018}$	$\frac{mm}{-}$	$\frac{mm}{-0.012}$
Sydney—San Francisco	$\frac{mm}{-0.049}$	$\frac{mm}{(-0.042)}$	$\frac{mm}{-0.046}$	$\frac{mm}{(-0.037)}$	$\frac{mm}{-}$	$\frac{mm}{-}$	$\frac{mm}{+0.043}$	$\frac{mm}{(-0.058)}$	$\frac{mm}{-0.055}$
San Francisco—Yokohama	$\frac{mm}{+0.016}$	$\frac{mm}{(+0.035)}$	$\frac{mm}{+0.030}$	$\frac{mm}{(+0.055)}$	$\frac{mm}{-0.051}$	$\frac{mm}{(-0.005)}$	$\frac{mm}{+0.037}$	$\frac{mm}{(+0.086)}$	$\frac{mm}{+0.008}$
Stampfen									
Bremerhaven—Melbourne	$\frac{mm}{+0.009}$	$\frac{mm}{-}$	$\frac{mm}{-0.090}$	$\frac{mm}{-}$	$\frac{mm}{-0.127}$	$\frac{mm}{-}$	$\frac{mm}{-0.030}$	$\frac{mm}{-}$	$\frac{mm}{+0.060}$
Sydney—San Francisco	$\frac{mm}{+0.008}$	$\frac{mm}{(+0.009)}$	$\frac{mm}{+0.008}$	$\frac{mm}{(+0.009)}$	$\frac{mm}{-}$	$\frac{mm}{-}$	$\frac{mm}{-0.070}$	$\frac{mm}{(-0.045)}$	$\frac{mm}{+0.009}$
San Francisco—Yokohama	$\frac{mm}{-0.033}$	$\frac{mm}{(-0.034)}$	$\frac{mm}{-0.052}$	$\frac{mm}{(-0.051)}$	$\frac{mm}{-0.013}$	$\frac{mm}{(-0.009)}$	$\frac{mm}{-0.063}$	$\frac{mm}{(-0.059)}$	$\frac{mm}{-0.038}$

Wie sich zeigt, ergeben sich bei den einzelnen Reisen sehr verschiedene Werte für den Einfluß der Schiffsbewegung. Besonders auffällig tritt dieses hervor bei den Konstanten des Pumpens, was nicht recht verständlich ist, da man im allgemeinen annehmen kann, daß das Pumpen durch eine reine Vertikalbewegung der Barometer hervorgebracht wird, wie bereits früher bemerkt wurde.

Der Unterschied der Konstanten des Pumpens auf der ersten und der zweiten Reise ist bei allen Barometern (Barometer III fehlt auf der zweiten Reise) ein ähnlicher; die Konstanten sind im Mittel um 0.60 größer geworden. Bei der dritten Reise nimmt im Vergleich zur zweiten Reise die Konstante bei den Barometern I, II und V um 1.00 ab, bei Barometer IV kommt sie dagegen angenähert wieder auf den Wert, den sie bei der ersten Reise hatte. Ungefähr dasselbe, wiederum mit Ausnahme von Barometer IV, zeigt sich bei den eingeklammerten Werten.

Wie bei den Konstanten des Pumpens, so ist es auch bei denen des Schlingerns und Stampfens. Auch hier zeigen die Konstanten der Barometer I, II und V einen im allgemeinen gleichen Gang.

Die Nichtberücksichtigung der Periodendifferenz bewirkt keine wesentliche Änderung.

Wodurch diese große Verschiedenheit der Konstanten bei den drei Beobachtungsreihen hervorgerufen wird, ist vorläufig nicht aufzuklären. Neben der verschiedenartigen Auflängung sind vielleicht noch die Lage der Beobachtungskabine, vielleicht auch die Erschütterungen des Schiffes infolge des Seeganges und ähnliche Einflüsse Ursachen dieser systematischen Verschiedenheit.

Der Einfluß der Periodendifferenz der Schiffsbewegung in der Vertikalen.

Aus den Ausgleichungen ergeben sich hierfür die folgenden Konstanten, die einem Unterschied von einer Zeitssekunde zwischen der Aufwärts- und der Abwärtsbewegung des Schiffes entsprechen.

	Barometer				
	I	II	III	IV	V
Bremerhaven—Melbourne	-0.058 ± 0.050	-0.011 ± 0.079	$+0.107 \pm 0.084$	$+0.130 \pm 0.075$	-0.035 ± 0.045
Sydney—San Francisco	$+0.073 \pm 0.053$	$+0.082 \pm 0.076$	—	-0.076 ± 0.038	$+0.131 \pm 0.065$
San Francisco—Yokohama	-0.013 ± 0.035	-0.044 ± 0.034	-0.086 ± 0.049	-0.087 ± 0.050	-0.018 ± 0.035

Der Einfluß der unsymmetrischen Bewegung ist also viel kleiner, als er nach Seite 104 theoretisch zu erwarten ist und außerdem auf den verschiedenen Reisen ganz verschieden. Ein Grund hierfür läßt sich nicht angeben, wahrscheinlich werden aber hier ebenso wie beim Pumpen, Schlingern und Stampfen die Verschiedenheit der Aufhängung des Barometerapparates und außerdem die Verschiedenheit der Lage der Beobachtungskabine in dem benutzten Schiff sich geltend machen.

Die Konstanten von Barometer I, II und V zeigen übrigens ein gleiches Verhalten wie die des Pumpens. Auf der zweiten Reise sind die Konstanten des Pumpens sehr viel größer, als auf der ersten Reise, während die dritte Reise wiederum erheblich kleinere Konstanten ergibt. Dasselbe zeigt sich bei den Konstanten der Periodendifferenz. Es scheint hier also ein Zusammenhang vorzuliegen, der vorläufig nicht aufzuklären ist.

Die mittleren Fehler zeigen, daß die von dem Einfluß der Periodendifferenz abhängenden Konstanten recht unsicher bestimmt sind. In den meisten Fällen sind die mittleren Fehler von derselben Ordnung, wie die Konstanten selbst.

Die Frage, welchen Einfluß die Berücksichtigung der Periodendifferenz der Schiffsbewegung auf die Größe der Konstanten hat, ist im Vorhergehen für alle Konstanten bis auf k_m beantwortet. Bevor der Einfluß auf k_m besprochen wird, sollen zunächst die bei beiden Arten von Ausgleichungen übrigbleibenden Fehler (Mittel aus allen Barometern) miteinander verglichen werden. Die folgenden Tabellen enthalten für die beiden in Betracht kommenden Reisen diese Fehler sowie ihre Differenz.

Sydney—San Francisco.

Periodenunterschied				Differenz	Periodenunterschied				Differenz
berück-sichtigt		nicht berück-sichtigt			berück-sichtigt		nicht berück-sichtigt		
Übrigbleibende Fehler									
Juni 26	+ 0.01	+ 0.01	0.00	Juli 13	0.00	- 0.01	+ 0.01		
- 26	- 0.03	- 0.03	0.00	- 14	- 0.01	- 0.01	0.00		
- 27	+ 0.01	+ 0.01	0.00	- 14	- 0.01	- 0.02	+ 0.01		
Juli 6	+ 0.02	+ 0.03	- 0.01	- 15	+ 0.01	+ 0.02	- 0.01		
- 6	0.00	+ 0.01	- 0.01	- 15	0.00	0.00	0.00		
- 7	- 0.03	+ 0.01	0.00	- 16	0.00	0.00	0.00		
- 7	- 0.02	0.00	- 0.02	- 16	- 0.06	- 0.08	+ 0.02		
- 8	- 0.03	- 0.04	+ 0.01	- 17	- 0.04	- 0.03	- 0.01		
- 8	0.00	+ 0.01	- 0.01	- 17	+ 0.04	+ 0.05	- 0.01		
- 10	+ 0.04	0.00	+ 0.04	- 18 ¹	+ 0.02	+ 0.02	0.00		
- 10	+ 0.03	+ 0.02	+ 0.01	- 19	+ 0.01	0.00	+ 0.01		
- 11	+ 0.01	+ 0.01	0.00	- 19	0.00	0.00	0.00		
- 11	+ 0.07	+ 0.07	0.00	- 19	- 0.02	- 0.02	0.00		
- 13	- 0.03	- 0.01	- 0.02						

San Francisco — Yokohama.

Periodenunterschied			Differenz	Periodenunterschied			Differenz
berück- sichtigt	nicht berück- sichtigt			berück- sichtigt	nicht berück- sichtigt		
Übrigbleibende Fehler							
Aug. 23	+ 0.05	+ 0.05	0.00	Sept. 10	+ 0.06	+ 0.06	0.00
" 27	— 0.01	— 0.01	0.00	" 10	— 0.01	— 0.01	— 0.01
" 27	— 0.03	— 0.03	0.00	" 12	0.00	+ 0.01	— 0.01
" 28	+ 0.01	+ 0.01	0.00	" 12	+ 0.05	+ 0.05	0.00
" 28	+ 0.01	0.00	+ 0.01	" 13	— 0.05	— 0.06	+ 0.01
" 29	0.00	0.00	0.00	" 14	— 0.03	— 0.03	0.00
" 31	— 0.01	0.00	— 0.01	" 14	+ 0.02	— 0.01	+ 0.01
" 31	— 0.01	0.00	— 0.01	" 15	— 0.02	— 0.04	+ 0.02
Sept. 1	+ 0.01	+ 0.02	— 0.01	" 15	+ 0.04	+ 0.04	0.00
" 1	— 0.03	— 0.04	+ 0.01	" 16	+ 0.01	0.00	+ 0.01
" 2	+ 0.04	+ 0.06	— 0.02	" 16	+ 0.03	+ 0.03	— 0.01
" 2	— 0.01	— 0.01	0.00	" 18	— 0.06	— 0.06	0.00
" 3	— 0.01	— 0.01	0.00	" 18	0.00	+ 0.01	— 0.01
" 3	— 0.01	— 0.03	+ 0.02	" 18	+ 0.01	+ 0.01	0.00
" 4	— 0.05	— 0.04	— 0.01	" 18	— 0.01	0.00	— 0.01
" 4	— 0.01	— 0.01	0.00	" 19	+ 0.02	+ 0.02	0.00

Wie sich zeigt, ist die Darstellung der Beobachtungen durch die beiden Ausgleichungen fast genau dieselbe; die Differenzen sind durchgängig sehr gering. Die wenigen Male, an denen der Unterschied 0.02 mm erreicht, entsprechen dabei nicht Tagen mit besonders großer Periodendifferenz.

Auch die mittleren Fehler einer Beobachtungsgleichung sind bei beiden Ausgleichungen dieselben.

Man wird hieraus den Schluß ziehen dürfen, daß man im allgemeinen bei Beobachtungen wie den vorliegenden von dem äußerst mühsamen Ausmessen der Periodendifferenz der Schiffsbewegung wird absehen können, wenn nicht eine sehr ungleichmäßige Wellenbewegung vorhanden ist.

Die Konstanten k_s .

Bei den Beobachtungen auf der Tiefsee wurden in die Fehlergleichungen die Konstanten k_n eingeführt, die den Unterschied der Schwere darstellen sollen zwischen den durch Pendelbeobachtungen an den Anschlußstationen an Land ermittelten Werten der Schwerkraft und den aus der HELMERT'schen Formel für die Beobachtungen auf dem Meere abgeleiteten Werten.

Nun ist die Schwerekorrektur $S - B$, wenn man in B einen kleinen konstanten Fehler k annimmt (vergl. „Bestimmung der Schwerkraft auf dem Atlantischen Ozean“, Seite 76)

$$S - B + k = B \frac{g - g_{15}^*}{g_{15}^*},$$

wenn k so klein ist, daß sein Einfluß auf die Größe auf der rechten Seite verschwindet.

Für die Landstationen ist in den Ausgleichungen gesetzt:

$$S - B + k_1 - B \frac{g - g_{45^\circ}}{g_{45^\circ}} = v,$$

also ist $k_1 = k$.

Im Meeresniveau ist nun

$$g = g_{45^\circ} (1 - \beta \cos 2\varphi + \gamma \cos^2 2\varphi) + K,$$

wo K die Schwerestörung bezeichnet.

Für die Tiefsee ist aber, abgesehen von einigen anderen Korrekturen, gesetzt

$$S - B + \beta B \cos 2\varphi - \gamma B \cos^2 2\varphi + k_1 + k_m = v.$$

Hieraus folgt

$$k_1 + k_m = k - K \frac{B}{g_{45^\circ}}.$$

Bei Landstationen war

$$k_1 = k,$$

folglich ist

$$k_m = -K \frac{B}{g_{45^\circ}},$$

k_m negativ genommen gibt also direkt die Schwerestörung.

Aus den Ausgleichungen ergeben sich für k_m die folgenden Werte.

	Barometer									
	I		II		III		IV		V	
Bremerhaven — Melbourne	0.027 ± 0.051	0.047 ± 0.080	0.112 ± 0.085	0.032 ± 0.073	0.048 ± 0.046					
Sydney — San Francisco	0.011 ± 0.049	0.025 ± 0.070	—	0.013 ± 0.071	0.006 ± 0.061					
	(0.020 ± 0.049)	(0.014 ± 0.070)	—	(0.033 ± 0.063)	(0.013 ± 0.066)					
San Francisco — Yokohama	0.053 ± 0.036	0.044 ± 0.035	0.093 ± 0.053	0.001 ± 0.054	0.070 ± 0.038					
	(0.061 ± 0.036)	(0.023 ± 0.034)	(0.056 ± 0.050)	(0.040 ± 0.050)	(0.085 ± 0.055)					

Ein Vergleich zeigt zunächst, daß der Einfluß der Mitnahme der Periodendifferenz bei der zweiten Reise verschwindend ist; auf der dritten Reise ist er etwas größer.

Bildet man für jede Reise das Mittel der k_m mit Berücksichtigung der Gewichte und beschränkt sich hierbei auf die nicht eingeklammerten Werte, so ergibt sich, wenn man durch Multiplikation mit $\frac{980}{76} = 12.9$ die Störung der Schwerkraft in Zentimeter umrechnet (die mittleren Fehler sind aus den mittleren Fehlern der Einzelwerte abgeleitet):

für den Indischen Ozean:	mittlere Schwerestörung	+ 0.048 cm ± 0.035 cm
für den Großen Ozean:		
Reise Sydney — San Francisco:	mittlere Schwerestörung	— 0.005 cm ± 0.039 cm
„ San Francisco — Yokohama:	„	+ 0.009 cm ± 0.023 cm
Mittel beider Reisen:	„	+ 0.005 cm ± 0.020 cm.

Es ergibt sich also das folgende Resultat:

Die Schwerkraft ist sowohl auf dem Indischen, wie auch auf dem Großen Ozean annähernd normal und entspricht der HELMERT'schen Schwereformel von 1901.

Es hat sich also für diese beiden Weltmeere ebenso, wie früher für den Atlantischen Ozean die Pratt'sche Hypothese von der isostatischen Lagerung der Massen der Erdkruste als zutreffend erwiesen, sodaß man sie als ein abgesehen von lokalen Anomalien allgemein gültiges Gesetz ansehen kann. Es kann somit als erwiesen gelten, daß die geringere Dichtigkeit des Wassers der Ozeane durch die größere Dichtigkeit des Meeresbodens kompensiert wird. Umgekehrt sind die über den Meeresspiegel hervorragenden Kontinentalmassen keine wirklichen Massenanhäufungen in der Erdkruste, sondern der scheinbare Massenüberschuß wird durch Massendefekte unterhalb der Kontinente kompensiert.

Die Einzelwerte der Schwereanomalien.

Es sind nun noch die Einzelwerte der Schwereanomalien zu berechnen.

Bei den in die Ausgleichungen einbezogenen Messungen ergeben sich diese aus den übrigen bleibenden Fehlern, an die noch Korrekturen anzubringen sind.

Für den Anschluß wurden die an den Landstationen durch Pendelbeobachtungen ermittelten Werte der Schwerkraft unter Berücksichtigung der Breitendifferenz zwischen Station und Schiffsort zur Berechnung der Schwerekorrektur benutzt.

Es sind also an die Resultate der Ausgleichung bei der Anschlußstation noch die durch die Pendelbeobachtungen ermittelten Schwerestörungen anzubringen. Es sind die folgenden Werte:

Messina	+ 0.106 cm	Sydney	+ 0.055 cm
Port Said	+ 0.022 -	San Francisco	+ 0.023 -
Zarafana	- 0.001 -	Yokohama	+ 0.008 -
Mokka	+ 0.016 -		
Perim	+ 0.039 -		
Aden	+ 0.042 -		
Melbourne	+ 0.018 -		

Im Hafen von Melbourne wurden brauchbare Beobachtungen wegen schlechter Films nicht erhalten, dagegen in der Nähe, im Eingange von Port Philip. Für diese sowie für die Beobachtungen in der Nähe von Adelaide wurden die zugehörigen Schwerkraftswerte aus dem ermittelten Werte der Schwerkraft in Melbourne abgeleitet.

An die Messungen auf der Tiefsee, bei denen k_m in die Fehlergleichungen eingeführt wurde, ist dagegen die Größe $-k_m$ anzubringen.

Die in die Ausgleichungen nicht einbezogenen Messungen schließlich sind mit Hilfe der ermittelten Konstanten zu reduzieren. Es ergeben sich dann die in den folgenden Tabellen aufgeführten Werte.

Bremerhaven — Melbourne.

1904	Barometer					Mittel
	I	II	III	IV	V	
April 1	+0.07	—0.12	—0.09	+0.03	+0.04	—0.01
" 2	+0.03	—0.10	—0.19	+0.02	+0.01	—0.05
" 3	+0.02	—0.09	—0.11	+0.01	—	—0.04
" 4	—0.03	—0.15	—0.20	—0.01	—0.06	—0.09
" 5	+0.28	+0.13	+0.22	+0.23	+0.28	+0.24
" 7 ¹	0.00	—0.04	—0.12	0.00	—0.07	—0.05
" 8	+0.01	—0.06	—0.05	—0.06	—0.03	—0.04
" 8	—0.06	—0.09	—0.12	—0.13	—0.08	—0.10
" 9	—0.03	—0.09	—0.12	—0.06	—0.06	—0.07
" 12	+0.02	0.00	—0.03	+0.04	+0.03	+0.01
" 12	+0.05	+0.04	+0.02	+0.03	+0.03	+0.03
" 13	0.00	+0.04	—0.01	+0.04	0.00	+0.01
" 14	—	+0.03	+0.01	0.00	—	+0.01
" 14	0.00	+0.03	+0.02	+0.01	—0.01	+0.01
" 16 ⁷	+0.04	+0.04	+0.11	+0.04	+0.01	+0.05
" 17	+0.15	+0.15	+0.19	+0.12	—	+0.15
" 17	+0.09	+0.12	—	+0.10	+0.12	+0.11
" 18	+0.11	+0.24	+0.17	+0.10	+0.15	+0.15
" 18	+0.08	+0.15	—	+0.04	+0.11	+0.09
" 19	+0.07	+0.09	—	+0.04	+0.11	+0.08
" 19	—0.01	+0.05	—	—0.01	+0.05	+0.02
" 20	+0.05	+0.06	+0.15	+0.01	+0.09	+0.07
" 20	—0.06	+0.04	—	+0.12	—0.02	+0.02
" 21	—0.02	+0.04	+0.17	+0.03	+0.04	+0.05
" 21	—0.02	+0.07	—	+0.09	+0.06	+0.05
" 22	+0.01	+0.07	—	—0.02	+0.04	+0.02
" 23	+0.09	+0.14	+0.13	—	+0.13	+0.12
" 23 ¹	—0.03	+0.03	—	—0.06	+0.04	0.00
May 5	+0.12	+0.08	+0.10	+0.02	+0.17	+0.10
" 6	+0.13	+0.15	+0.04	—	+0.17	+0.12
" 6	+0.05	+0.10	+0.07	—0.06	+0.05	+0.04
" 8	+0.21	+0.20	+0.14	—0.02	+0.24	+0.15
" 8	+0.17	+0.20	+0.20	+0.02	+0.23	+0.16
" 9	—0.09	—0.02	—0.07	—0.13	—0.05	—0.07
" 9	—0.06	—0.02	+0.02	—0.02	0.00	—0.02
" 11	0.00	—0.01	0.00	—0.07	+0.02	—0.01
" 11	—0.09	—0.05	—0.02	—	—0.05	—0.05

Sydney — San Francisco.

1904	Barometer				Mittel
	I	II	IV	V	
Juni 27 ¹	+0.15	+0.21	+0.08	+0.18	+0.15
" 28	+0.04	+0.06	+0.03	+0.07	+0.05
" 29	+0.13	+0.14	+0.04	+0.10	+0.10
" 30	+0.14	+0.12	—0.01	+0.14	+0.10
" 30	+0.26	+0.21	+0.16	+0.28	+0.23
" 30	+0.09	+0.05	—0.03	+0.12	+0.06
Juli 1	+0.07	+0.01	—0.02	+0.04	+0.02
" 1	+0.09	+0.04	+0.03	+0.09	+0.06
" 1	+0.10	+0.02	+0.12	+0.10	+0.08
" 2	+0.19	+0.14	+0.10	+0.24	+0.17

1904	Barometer					Mittel
	I	II	IV	V		
Juli 2	+ 0.14	+ 0.05	+ 0.11	+ 0.12		+ 0.10
3	— 0.14	— 0.21	— 0.24	— 0.13		— 0.18
4	— 0.18	— 0.25	— 0.19	— 0.22		— 0.21
5	— 0.18	— 0.20	— 0.18	— 0.21		— 0.19
6	— 0.06	— 0.05	— 0.04	— 0.07		— 0.05
7	+ 0.06	+ 0.05	+ 0.09	+ 0.05		+ 0.06
8	— 0.04	0.00	+ 0.06	— 0.07		— 0.01
9	— 0.14	— 0.11	— 0.01	— 0.19		— 0.11
12	+ 0.24	+ 0.24	+ 0.25	+ 0.26		+ 0.25
13	+ 0.15	+ 0.18		+ 0.12		+ 0.15
18 ¹	+ 0.03	+ 0.02	+ 0.07	+ 0.03		+ 0.04

San Francisco — Yokohama.

1904	Barometer					Mittel
	I	II	III	IV	V	
Aug. 30	0.00	— 0.01	— 0.01	+ 0.04	—	0.00
30	+ 0.05	0.00	— 0.05	+ 0.03		+ 0.01
Sept. 5	+ 0.07	+ 0.01	0.00	+ 0.01	+ 0.09	+ 0.04
5	+ 0.01	— 0.07	— 0.15	+ 0.08	+ 0.01	— 0.06
6	+ 0.25	+ 0.16	+ 0.14	+ 0.14	+ 0.24	+ 0.19
6	+ 0.25	+ 0.18	+ 0.18	+ 0.20	+ 0.25	+ 0.21
7	+ 0.07	— 0.01	+ 0.01	— 0.02	+ 0.08	+ 0.03
7	+ 0.07	0.00	— 0.03	+ 0.02	+ 0.06	+ 0.03
8	+ 0.08	+ 0.01	+ 0.01	+ 0.03	+ 0.09	+ 0.04
8	+ 0.05	— 0.01	— 0.04	+ 0.03	+ 0.06	+ 0.01
9	+ 0.08	+ 0.01	— 0.02	+ 0.03	+ 0.08	+ 0.04
9	+ 0.12	+ 0.06	+ 0.02	+ 0.07	+ 0.11	+ 0.08

Die folgenden Tabellen geben die Schwerestörungen für jede der drei Reisen.^{*)} Sie enthalten zunächst die geographische Position des Schiffsortes. Was die Genauigkeit der geographischen Breiten anlangt, so werden die angegebenen Werte, falls eine Mittagsbeobachtung nicht durch Wolken verhindert war, etwa bis auf ein bis zwei Bogenminuten richtig sein, da fast alle Beobachtungssätze nur wenige Stunden von der Breitenbestimmung entfernt liegen, die mittags aus der Beobachtung der Sonnenhöhe abgeleitet wird. Bei mangelnder Mittagsbeobachtung kann sich der Breitenfehler erheblich erhöhen und zwar besonders in denjenigen Gegenden, wo veränderliche Meeresströmungen vorhanden sind. Hier wird man mit Fehlern von 5 bis 10 Bogenminuten zu rechnen haben.

Um eine sichere Ableitung des Schiffsortes für die Zeit meiner Beobachtungen zu ermöglichen, habe ich sie stets auf die Schiffsuhr bezogen. Diese wird auf den Dampfern fast allgemein etwa morgens 7 Uhr so gestellt, daß sie mittags angenähert die wahre, der geographischen Länge der Schiffposition entsprechende Ortszeit zeigt; die Länge wird hierfür gegibt, also aus dem früheren Schiffsorte auf Grund des gesteuerten Kurses abgeleitet.

Die Tiefen wurden hauptsächlich den englischen Admiralitätskarten entnommen.

^{*)} Bei der Bildung der Mittel aus allen Barometern sind für die Berechnung der Schwerestörungen noch die Tausendstel Millimeter berücksichtigt.

Schwererestörungen auf der Reise Bremerhaven — Melbourne.

Datum 1904	Geographische		Tiefe	Örtlichkeit	lg
	Breite	Länge			
April 2	+ 38° 22'	0° 27' E	700 ^m	Nähe der spanischen Küste. } Tiefen sehr	— 0.018
	+ 39 16	1 24	500	Nähe von Ibiza. } ungleichmäßig	— 0.059
- 3	+ 41 46	5 6	2500		— 0.054
	+ 42 37	6 22	2200	Nähe der franz. Küste. Tiefen ungleichmäßig	— 0.121
- 5	+ 43 34	9 30	200	Untiefe	+ 0.307
- 7	+ 38 10	15 36	(300)	Messina. Tiefe sehr ungleichmäßig	+ 0.067
	+ 37 29	16 55	3000		— 0.059
- 8	+ 36 0	20 59	3500		— 0.049
	+ 35 22	22 34	3100	Westlich von Kreta	— 0.124
- 9	+ 33 58	26 13	2500	Südlich von Kreta	— 0.093
- 10	+ 31 34	32 4	50	Nähe von Port Said	— 0.076
- 11	+ 29 13	32 40	20	Nähe von Zarafana	+ 0.018
- 12	+ 26 13	34 58	1000		+ 0.015
	+ 24 58	35 48	900		+ 0.044
- 13	+ 21 4	38 21	1100		+ 0.018
				Rotes Meer	
- 14	+ 17 57	40 18	1000		+ 0.008
	+ 16 22	41 18	1000		+ 0.013
- 15	+ 13 31	43 1	70	Nähe von Mokka	+ 0.021
	+ 12 32	43 48	50	Nähe von Perim	+ 0.054
- 16	+ 12 46	46 16	1100	Nähe von Aden	+ 0.176
	+ 12 49	47 42	800	Golf von Aden	+ 0.062
- 17	+ 13 0	50 44	? 3000	Eingang d. Golfes v. Aden. Tiefe ungleichmäßig.	+ 0.196
	+ 12 58	52 10	? 2100	Eingang des Golfes von Aden	+ 0.138
- 18	+ 12 34	55 45	3400	In der Nähe von Sokotra	+ 0.199
	+ 12 23	57 21	3660	- - - - -	+ 0.116
- 19	+ 11 31	60 57	4200		+ 0.099
	+ 11 16	61 56	4200		+ 0.026
- 20	+ 10 23	65 41	4400		+ 0.093
	+ 10 2	66 50	4400	Indischer Ozean	+ 0.026
- 21	+ 9 1	70 28	3500	Zwischen den Lakadive- u. Maladive-Inseln	+ 0.067
	+ 8 39	71 37	310		+ 0.064

Datum 1904	Geographische		Tiefe	Örtlichkeit	Ag
	Breite	Länge			
April 22	+ 7° 46'	75° 28' E	1550 ^m	Zwischen Vorderindien u. d. Maladive-Inseln. Tiefe ungleichmäßig	+ 0.032
- 23	+ 6 58	79 51	50	Vor Colombo	+ 0.157
- 24	+ 4 23	81 17	4700		+ 0.017
	+ 3 26	82 7	4550		+ 0.026
- 25	+ 0 30	84 46	4450		+ 0.064
	— 0 21	85 30	4500		+ 0.059
- 26	— 3 22	88 6	4500		+ 0.044
	— 4 16	88 53	4550		+ 0.054
- 28	— 10 51	94 34	5000	Indischer Ozean	+ 0.129
	— 12 56	96 35	4700	Nähe der Cocosinseln	— 0.006
- 29	— 14 23	98 2	5300		+ 0.070
	— 15 13	98 47	5100		+ 0.018
- 30	— 17 53	101 28	6100		+ 0.021
Mai 1	— 20 19	103 40	5300	Tiefe ungleichmäßig	+ 0.046
	— 20 57	104 18	4000		+ 0.067
- 2	— 23 47	106 53	5100		— 0.023
	— 24 32	107 39	2900		+ 0.036
- 3	— 27 20	110 36	4900		+ 0.049
	— 28 11	111 25	4900		+ 0.093
- 5	— 33 17	114 51	140	Starker Abfall. Nähe der Küste Australiens	+ 0.126
- 6	— 35 4	116 8	100	- - - - -	+ 0.157
	— 35 12	117 33	100		+ 0.054
- 8	— 35 48	128 26	5400	Auf der südastral. Tiefe. Starker Abfall	+ 0.199
	— 35 49	129 54	5400		+ 0.212
- 9	— 35 51	134 56	2500	Sehr starker Abfall	— 0.093
	— 35 47	136 13	110	Küstennähe	— 0.021
- 10	— 34 50	138 25	15	Adelaide	— 0.010
- 11	— 37 10	139 23	110	Küstennähe	— 0.015
	— 38 1	140 27	90		— 0.067
- 12	— 38 18	144 38	40	Port Philip	+ 0.009

Schwerestörungen auf der Reise Sydney—San Francisco.

Datum 1904	Geographische		Tiefe	Örtlichkeit	Δg
	Breite	Länge			
Juni 26	— 33° 45'	151° 4' E	15 ^m	Hafen von Sydney	+ 0.064
	— 33 45	151 4	15		+ 0.020
- 27	— 33 45	151 4	15	Steiler Absturz der Küste	+ 0.074
	— 33 49	151 54	200		+ 0.193
- 28	— 33 32	156 50	5000	Plateau von Neu-Seeland	+ 0.064
- 29	— 33 31	163 52	1000		+ 0.130
- 30	— 34 11	170 11	2000	Nahe der Nordspitze von Neu-Seeland	+ 0.125
	— 34 17	172 7	150		+ 0.293
	— 34 38	173 33	200		+ 0.074
Juli 1	— 36 20	174 57	60	Hauraki-Golf nahe Auckland	+ 0.032
	— 36 34	174 58	60		+ 0.080
- 2	— 33 8	177 57	3000	Tonga-Plateau	+ 0.110
*)	— 28 20	178 27 W	2700		+ 0.215
	— 27 15	177 40	2700	Tonga-Rinne	+ 0.135
- 3	— 23 12	174 47	8000		— 0.232
	— 22 7	174 13	6500	Tiefsee	— 0.271
- 4	— 17 9	171 42	8500		— 0.248
- 5	— 13 49	170 24	3800		— 0.071
	— 12 10	169 55	5000		+ 0.080
- 6	— 9 37	169 10	5000		+ 0.023
	— 8 28	168 48	5000		— 0.008
- 7	— 4 6	167 32	5500		— 0.044
	— 2 59	167 6	5000		— 0.027
- 8	+ 1 34	165 29	5500		— 0.040
	+ 2 45	165 12	5400		+ 0.001
- 9	+ 7 0	163 22	3500		— 0.015
	+ 8 10	163 0	4200		— 0.144
- 10	+ 12 19	161 38	5400		+ 0.004
	+ 13 33	161 14	5500		+ 0.030
- 11	+ 17 45	159 42	5300		+ 0.014
	+ 18 48	159 18	4200		+ 0.092

*) Datumwechsel.

Datum 1904	Geographische		Tiefe	Örtlichkeit	Δg
	Breite	Länge			
Juli 12	+ 21° 17'	157° 50' W	20 ^m	Auf der Reede von Honolulu Nahe der Küste von Oahu	+ 0.319
	+ 21 18	157 34	200		+ 0.193
- 13	+ 24 7	153 52	5000		- 0.040
	+ 24 53	152 44	5500		- 0.012
- 14	+ 27 26	148 23	5400		- 0.018
	+ 28 7	147 15	5300		- 0.025
- 15	+ 30 29	142 28	5100	Tiefsee	+ 0.014
	+ 31 15	141 10	5000		- 0.005
- 16	+ 33 38	136 8	5000		- 0.001
	+ 33 57	134 54	5100		- 0.083
- 17	+ 36 5	129 19	4800		- 0.053
	+ 36 36	127 36	4700		+ 0.046
- 18	+ 37 44	122 44	80	Nahe der Küste von Kalifornien	+ 0.048
	+ 37 48	122 24	10		+ 0.051
- 19	+ 37 48	122 24	10	Hafen von San Francisco	+ 0.032
	+ 37 48	122 24	10		+ 0.023
	+ 37 48	122 24	10		- 0.005

Schwerestörungen auf der Reise San Francisco — Yokohama.

Datum 1904	Geographische		Tiefe	Örtlichkeit	Δg
	Breite	Länge			
Aug. 23	+ 37° 47'	122° 23' W	10 ^m		+ 0.090
- 27	+ 37 47	122 23	10		+ 0.015
	+ 37 47	122 23	10	Hafen von San Francisco	- 0.013
- 28	+ 37 47	122 23	10		+ 0.033
	+ 37 47	122 23	10		+ 0.036
- 29	+ 37 47	122 23	10		+ 0.020
- 30	+ 37 47	122 23	10	Nahe der Küste von Kalifornien	+ 0.006
	+ 37 45	122 42	80		+ 0.009
- 31	+ 36 11	127 33	4800	Tiefsee	- 0.004
	+ 35 48	128 26	4800		- 0.004

Datum 1904	Geographische		Tiefe	Örtlichkeit	Δg
	Breite	Länge			
Sept. 1	+ 34° 8'	133° 42' W	5100 ^m	Tiefsee	+ 0.022 ^{mm}
	+ 33 40	135 8	5100		— 0.025
- 2	+ 31 49	139 40	5000		+ 0.061
	+ 31 12	140 56	4900		— 0.006
- 3	+ 28 53	145 24	5000		— 0.004
	+ 28 10	146 35	5100		— 0.001
- 4	+ 25 42	150 24	5300		— 0.053
	+ 24 53	151 38	5500		— 0.006
- 5	+ 22 26	155 16	4500	Nahe Oahu	+ 0.046
	+ 21 49	156 24	5100		— 0.072
	+ 21 18	157 37	70		+ 0.240
- 6	+ 21 17	158 17	1700		+ 0.273
	+ 22 50	160 23	4000		+ 0.034
- 7	+ 23 32	161 44	1500		+ 0.031
- 8	+ 25 28	165 40	5000		+ 0.054
	+ 26 4	167 12	4900		+ 0.023
- 9	+ 27 31	171 28	5000		+ 0.046
	+ 27 57	172 40	5100		+ 0.106
- 10	+ 29 30	177 14	5500	Tiefsee	+ 0.089
	+ 29 56	178 36	5300		— 0.017
- 11	+ 31 12	176 18 E	5000		+ 0.012
	+ 31 33	174 48	5000		+ 0.074
- 13	+ 32 36	169 48	5200		— 0.053
- 14	+ 33 43	163 34	5000		— 0.035
	+ 33 53	162 0	5000		+ 0.037
- 15	+ 34 21	156 30	4500		— 0.017
	+ 34 30	155 0	5000		+ 0.061
- 16	+ 34 57	149 55	6100	Bai von Yokohama	+ 0.022
	+ 34 56	148 27	6400		+ 0.045
- 18	+ 35 10	139 45	100	Hafen von Yokohama	— 0.074
	+ 35 27	139 38	15		+ 0.012
	+ 35 27	139 38	15		+ 0.019
	+ 35 27	139 38	15		— 0.001
- 19	+ 35 27	139 38	15		+ 0.037

^{a)} Datumwechsel.

Die Beobachtungen im Mittelmeer von April 2 bis inkl. April 5 sind mit den späteren Beobachtungen nicht streng vergleichbar. Wie auf Seite 1 mitgeteilt ist, wurde mir von Neapel (April 6) ab eine zweite Beobachtungskabine zur Verfügung gestellt. Infolgedessen wurde eine durchgreifende Veränderung in der Aufstellung des Barometerapparates vorgenommen, was besonders für die Sicherheit der Aufstellung bei schwerer See nach den im Meerbusen von Biskaya gemachten Erfahrungen von Wichtigkeit war. Die durch die Ausgleichungen ermittelten Konstanten, die auch zur Reduktion der Beobachtungen von April 2, 3 und 4 verwendet wurden, gelten also eigentlich nicht für die alte, sondern erst für die neue Aufstellung.

Jedoch dürfte die positive Störung, welche sich für April 5 ergibt, reell sein, wenn sie vielleicht auch nicht die angegebene Größe erreicht.

Es sind hier zunächst noch einige Bemerkungen über die Anschlußstationen zu machen.

Betrachtet man in den Ergebnissen der Ausgleichungen auf Seite 199 bis 202 die übrigbleibenden Fehler an den Anschlußstationen zunächst auf der ersten Reise, wo die Stationen zum Teil weit auseinander liegen, so zeigt sich, daß die Beobachtungen sich den durch Pendelbeobachtungen ermittelten Werten der Schwerkraft im allgemeinen gut anschmiegen.

Im Anfange der Reise sind die nach der Ausgleichung übrig bleibenden Fehler ausgedrückt in Quecksilberhöhe des Barometers bei dem Anschluß in

Messina	— 0.03 mm	Mokka	0.00 mm
Port Said	— 0.08 -	Perim	+ 0.01 -
Zarafana	+ 0.01 -	Aden	+ 0.10 -

Die Mehrzahl dieser Fehler ist sehr klein. Relativ groß ist der übrigbleibende Fehler zunächst bei Port Said. Hier mußte die durch Pendelbeobachtungen in Port Said ermittelte Schwerkraft auf den ca. 79 km entfernten Schiffsort übertragen werden. Wenn auch der Meeresboden hier ziemlich gleichförmig ist, so wird immerhin ein kleiner Betrag des übrigbleibenden Fehlers aus dem Unterschiede herrühren, den die am Schiffsorte wirklich vorhandene gegenüber der übertragenen Schwerkraft aufweist. Den größten Teil der Abweichung wird man aber auf Beobachtungsfehler zurückführen müssen.

Eine zweite größere Abweichung zeigt der übrigbleibende Fehler bei Aden. Hier mußte die Übertragung der Schwerkraft auf 140 km erfolgen. Da die Meerestiefe am Schiffsorte bereits sehr erheblich ist (1100 m), so ist ein größerer Fehler bei der Übertragung ohne weiteres anzunehmen, allerdings nicht in dieser Größe. Es würde vielleicht besser gewesen sein, diese Messung überhaupt nicht in die Ausgleichung einzubeziehen.

Von dem Anschluß an Colombo, der zunächst beabsichtigt war (vergl. Seite 129), wurde abgesehen, da die dort ausgeführten Schwerkraftbestimmungen einen ziemlich großen mittleren Fehler haben.

Am Schluß der Reise sind die Anschlußstationen Adelaide und Port Philip. Obwohl die Übertragung der Schwerkraft auf den Schiffsort bei Adelaide auf eine Entfernung von rund 690 km zu erfolgen hatte, beträgt der übrigbleibende Fehler nur 0.02 mm. Da das Relief des Bodens ziemlich gleichmäßig ist, so sind erhebliche Unterschiede trotz der Entfernung allerdings auch nicht zu erwarten.

Die Übertragung auf die Schiffposition bis Port Philip findet auf eine Entfernung von 54 km statt. Der übrigbleibende Fehler ist 0.00 mm.

Bei den beiden folgenden Reisen liegen die Verhältnisse anders. Hier sind die Anschlußbeobachtungen am Anfange und am Ende jeder Fahrt im Hafen gemacht, sie verteilen sich also

nicht über eine größere Strecke des Reiseweges. Die größere oder geringere Übereinstimmung, welche die Einzelmessungen in den Häfen aufweisen, gibt hier nur ein Mittel in die Hand, zu vergleichen, mit welcher Genauigkeit nach der benutzten Methode an Bord eines Schiffes im Hafen die Schwerkraft bestimmt werden kann.

Was die in den vorstehenden Tabellen aufgeführten Schwereanomalien anlangt, so ist der mittlere Fehler der Bestimmung der einzelnen Störungen nicht als gleich zu betrachten, sondern steht in einer gewissen Abhängigkeit von dem Zustande des Meeres. So waren auf der ersten Reise die Beobachtungstage bis etwa zum 24. April verhältnismäßig mehr vom Wetter begünstigt. Von diesem Tage ab wurde das Meer sehr unruhig. An verschiedenen der Beobachtungstage während dieser Zeit kamen Schlingerbewegungen des Schiffes vor, deren ganze Amplitude $60''$ überstieg. Naturgemäß ist den Beobachtungen, die unter so ungünstigen Verhältnissen angestellt sind, geringeres Gewicht zu geben.

Ebenso traten schwere Seen auf der Fahrt von Sydney nach Neu-Seeland und ferner bei der letzten Reise etwa 2 Tage vor Ankunft in Yokohama auf; die „*Manchuria*“ geriet an diesen Tagen in das Randgebiet eines Teifuns.

Was nun die beobachteten Schwerestörungen angeht, so herrschen auf dem Mittelmeere auf dem durchfahrenen Kurse negative Störungen vor. Eine positive lokale Störung findet sich über einer starken Erhebung des Meeresbodens zwischen Corsika und der nach NO hin gegenüberliegenden Küste Italiens.

Bei dem komplizierten Relief des Meeresbodens des Mittelmeeres und den großen Schwerestörungen, welche auf den angrenzenden Teilen der Küste zum Teil beobachtet sind, würde eine eingehende Untersuchung der Schwerkraftsverhältnisse dieses Meeres jedenfalls sehr interessante Resultate ergeben.

Das Rote Meer zeigt dagegen eine geringe positive Störung, wie sie auch die Pendelbeobachtungen von TRAVELZ's an den Küsten desselben ergeben.

Starke positive Störungen finden sich im Golf von Aden und ebenfalls am Ausgange des Golfes in der Nähe der Insel Sokotra.

Eine große positive Störung von 0.157 cm ergeben auch die Messungen in der Nähe von Colombo. Die an Land ausgeführten Pendelbeobachtungen, die aber nicht sehr sicher sind, geben eine positive Störung von 0.059 cm.

Eine starke positive Störung zeigt sich auch in der Nähe der Südwestspitze von Australien. Auch auf der Südaustralischen Tiefe in der Nähe des starken Abfalles der Küste ergibt sich ein Schwerkraftüberschuß.

Die zweite Reise führt durch eine an Gebieten mit lokalen Störungen reiche Gegend. Für den größten Teil der Reise geben die Karten XI und XII die Tiefenverhältnisse der durchfahrenen Gebiete. Gleich beim Beginn der Reise zeigt sich in der Nähe der schroff abfallenden Küste Australiens eine starke positive Störung, ebenso wie auf dem Plateau und der Nordspitze von Neu-Seeland.

In Auckland sind früher von PRITCHETT und MÜLLER VON ELBLEIN Pendelbeobachtungen ausgeführt; sie ergeben eine Störung von im Mittel $+0.083$ cm. Die beiden von mir im Hauraki-Golf nahe Auckland ausgeführten Messungen geben einen ähnlichen Betrag, nämlich im Mittel $+0.056$ cm.

Über dem Tongaplateau findet sich dann wiederum eine starke positive Störung, während die angrenzende Tonga-Küste einen starken Defekt aufweist.

In Honolulu auf den Sandwichsinseln wurden von einer Reihe von Beobachtern, nämlich von PRESTON, WALL, dann von diesen gemeinsam und schließlich noch von METTUS und STOCKERT Pendelbeobachtungen angestellt. Im Mittel ergibt sich aus diesen eine Störung von $+0.254$ cm.

Meine beiden Beobachtungen, die nicht weit davon entfernt ausgeführt wurden, ergeben im Mittel $+0.156$ cm. Die gute Übereinstimmung ist jedoch mehr zufällig, da meine beiden Werte von einander stark abweichen.

Auf der dritten Reise war das einzige Gebiet mit großen Schwerestörungen, das berührt wurde, wiederum das der Sandwichinseln. Die Schwerkraft in der Nähe von Honolulu ergab sich zu $+0.140$ cm, was gut mit dem durch Pendelbeobachtungen ermittelten Werte $+0.153$ cm übereinstimmt. Eine zweite Beobachtung in der Nähe, wo aber die Wassertiefe bereits 1700 m betrug, ergab eine Störung von $+0.173$ cm.

An der Hand theoretischer Erwägungen gelangte SCHMIDT*) zu dem Resultat, daß die Schwerkraft auf der Tiefsee etwas außerhalb des Fußes der Kontinente geringer, daß sie dagegen an den Küsten der Kontinente größer, als normal sein muß. Die letzte Tatsache wurde bereits früher durch HELMERT festgestellt, der aus etwa 1400 Schwerkraftsbestimmungen für die Differenz Küstenstationen und Stationen im Inneren der Kontinente den Betrag von $+0.036$ cm erhielt. Einen Betrag von angenähert derselben Größe ergaben meine Bestimmungen der Schwerkraft auf dem Atlantischen Ozean für die Differenz Flachsee minus Tiefsee, nämlich $+0.028$ cm.

Daß die Schwerkraft etwas außerhalb des Fußes der Kontinente unter den normalen Wert sinkt, ergeben ebenfalls die von mir ausgeführten Schwerkraftsbestimmungen auf dem Atlantischen Ozean, wie SCHMIDT durch eine eingehende Diskussion desselben gezeigt hat. Er kommt zu dem Resultat, daß der Wert der Schwerkraft auf dem tiefen Wasser längs dem Küstenrande durchschnittlich ebenso viel unter dem normalen liegt, als er auf der Flachsee und auf den Küstenstationen über demselben liegt.

Die vorliegenden Messungsreihen können zur genaueren Festlegung dieser Differenz nur wenig beitragen. Denn in der Nähe des Australischen Kontinentes wurden die Messungen, wie früher erwähnt, durch den schweren Seegang beeinflußt, der Große Ozean dagegen scheint besonders im südwestlichen Teile viele Gebiete mit lokalen Schwerestörungen zu haben, sodaß man die dort ausgeführten Messungen nicht für die Ableitung einer solchen Differenz wird heranziehen dürfen. An dem normal gestörten Küstenrande in der Nähe von San Francisco sind nur zwei Messungen angestellt und schließlich wurde die Ausführung von Beobachtungen in der Nähe der Japanischen Küste durch den Seegang verhindert.

Den Versuch, das Gesetz der Breitenänderung aus den Beobachtungen abzuleiten, wie dies von SCHMIDT geschehen ist, habe ich nicht gemacht. Es scheint mir dies nicht zugänglich zu sein. Da nämlich mit abnehmender Breite die Temperatur im allgemeinen zunimmt, so muß die Unsicherheit der an das Barometer anzubringenden Korrektur bei der Reduktion auf 0° Temperatur sich mit dem Betrage der Schwerkraftsänderung vermischen. Man kann also leicht zu einem Trugschluß kommen und eine Abweichung von der HELMERT'schen Formel annehmen, wenn die Korrektur des Barometers der Temperatur proportional um einen geringen Betrag fehlerhaft ist; umgekehrt wird aber auch eine etwa vorhandene geringe Abweichung nicht in Erscheinung treten brauchen, da sie durch eine systematisch fehlerhafte Temperaturkorrektur aufgehoben werden kann.

Möglich wird jedoch eine solche Ableitung, wenn die Messungen in dem Kühlraum eines Schiffes angestellt werden, dessen Temperatur konstant gehalten wird. Solche Messungen müssen der Zukunft vorbehalten bleiben.

Die Tafeln XI und XII im Anhange, die Meerestiefen in einigen Teilen des Großen Ozeans darstellend, sind nach der auf Veranlassung des Fürsten von Monaco bearbeiteten „*Carte générale bathymétrique des Océans*“ gezeichnet worden.

*) O. E. SCHMIDT, „Über die Schwerkraft auf Meere längs dem Abfall der Kontinente gegen die Tiefe. Videnskabs-Selskabs Skrifter. 1. Math.-naturv. Klasse 1907, No. 6, Christiania.“

Die Genauigkeit der Schwerkraftsbestimmungen auf dem Meere.

Der mittlere Fehler, der einer Schwerkraftsbestimmung zukommt, ergibt sich zunächst aus den Ausgleichungen. Aus den auf Seite 200 ff. am Fuße jeder Tabelle für jedes Barometer angegebenen mittleren Fehlern einer Beobachtungsgleichung folgt als mittlerer Fehler einer Bestimmung mit allen Barometern, in Zentimeter der Schwerkraft umgerechnet, für die Reise

Bremerhaven — Melbourne	± 0.032 cm
Sydney — San Francisco	± 0.023 cm
San Francisco — Yokohama	± 0.024 cm.

Es läßt sich der mittlere Fehler auch noch in anderer Weise ableiten. Er setzt sich nämlich zunächst zusammen aus den durch die Veränderlichkeit der Siedethermometer sowie der Ungenauigkeit bei ihrer Ablesung entstehenden Fehler. Dieser beeinflußt die Angaben eines jeden Barometers bei einer Schwerkraftsbestimmung in gleicher Weise. Zu diesem Fehler kommen noch hinzu die Fehler, welche durch die Barometer allein entstehen.

Ihre Größe läßt sich ermitteln aus den Differenzen der einzelnen Barometer gegen ihr Mittel bei jeder Schwerkraftsbestimmung. Der mittlere Fehler, der sich so im Mittel für eine jede Reise ergibt, gilt zusammen mit den durch die Siedethermometer entstehenden Fehlern einen mittleren Fehler, der von Tag zu Tag variable Fehler, wie Fehler in der Bestimmung der Temperatur des Quecksilbers in den Barometern u. dergl., nicht umfaßt.

Man erhält so, wenn man nur die in den Ausgleichungen vorkommende Beobachtung an den Barometern berücksichtigt, für die Reise

	Barometerfehler	Siedethermometerfehler	Gesamtfehler
Bremerhaven — Melbourne	± 0.018 cm	± 0.021 cm	± 0.028 cm
Sydney — San Francisco	± 0.016 cm	± 0.021 cm	± 0.026 cm
San Francisco — Yokohama	± 0.013 cm	± 0.021 cm	± 0.025 cm.

Der so ermittelte Gesamtfehler stimmt mit dem oben berechneten gut überein. Es geht hieraus zugleich hervor, daß größere Barometer und Thermometer verschieden beeinflussende Fehler nicht anzunehmen sind.

Leitet man den Barometerfehler aus allen Beobachtungen, also sowohl den ausgeglichenen als auch den nicht ausgeglichenen ab, so wird der mittlere Fehler etwas größer. Man erhält dann für die Reise

	Barometerfehler	Siedethermometerfehler	Gesamtfehler
Bremerhaven — Melbourne*)	± 0.022 cm	± 0.021 cm	± 0.030 cm
Sydney — San Francisco	± 0.025 cm	± 0.021 cm	± 0.033 cm
San Francisco — Yokohama	± 0.020 cm	± 0.021 cm	± 0.029 cm.

Im Mittel ergibt sich hieraus der mittlere Fehler zu

$$\pm 0.031 \text{ cm.}$$

Ein Maß für die Genauigkeit der Beobachtungen auf dem Meere läßt sich schließlich noch durch den Vergleich der Messungen gewinnen, die auf den beiden letzten Reisen an angenähert denselben Orten ausgeführt sind. Es kommen hierbei die folgenden Messungen in betracht.

Reise Sydney — San Francisco				Reise San Francisco — Yokohama				Differenz
Datum	Breite	Länge	Schwere- störung	Datum	Breite	Länge	Schwere- störung	
Juli 12 ²	+ 21° 18'	157° 34'	+ 0.193	Sept. 5 ³	+ 21° 18'	157° 37'	+ 0.240	— 0.047
- 14 ²	+ 28 7	147 15	— 0.025	- 3 ³	+ 28 10	146 35	— 0.001	— 0.024
- 15 ²	+ 31 15	141 10	— 0.005	- 2 ³	+ 31 12	140 56	— 0.006	+ 0.001
- 16 ²	+ 33 57	134 54	— 0.083	- 1 ³	+ 33 40	135 8	— 0.015	— 0.058
- 17 ²	+ 36 5	129 19	— 0.053	Aug. 31 ²	+ 35 48	128 26	— 0.004	— 0.049
- 17 ²	+ 36 36	127 36	+ 0.046	- 31 ¹	+ 36 11	127 33	— 0.004	+ 0.050
- 18 ¹	+ 37 44	122 44	+ 0.048	- 30 ³	+ 37 45	122 42	+ 0.009	+ 0.039

Aus der Summe der Quadrate dieser Abweichungen, dividiert durch 7×2 , ergibt sich für den mittleren Fehler einer Messung im Mittel

$$\pm 0.030 \text{ cm.}$$

Dieser mittlere Fehler stimmt mit dem vorher ermittelten überein. Man kann daher annehmen, daß der mittlere Fehler einer Bestimmung der Schwerkraft auf dem Meere mit allen Barometern beträgt

$$\pm 0.030 \text{ cm.}$$

Die mittleren Fehler der Mittel der k_m sind aus den mittleren Fehlern der Einzelwerte abgeleitet. Berechnet man sie aus den Abweichungen der Einzelwerte gegen das Mittel mit Berücksichtigung der Gewichte, so ergeben sich für die beiden ersten Reisen kleinere mittlere Fehler, für die letzte ergibt sich dagegen ein größerer mittlerer Fehler. Man erhält nämlich für die Reise

Bremerhaven — Melbourne	± 0.018 cm
Sydney — San Francisco	± 0.008 cm
San Francisco — Yokohama	± 0.033 cm.

Die folgende Tabelle enthält die an das Quecksilberbarometer in den verschiedenen Breiten anzubringenden Schwerekorrekturen, berechnet auf Grund der HELMERT'schen Formel von 1901.

*) April 1 bis 5 sind hierbei ausgeschlossen, vergl. Seite 227.

Schwerekorrektur des Quecksilberbarometers
auf Grund der HELMHOLTZ'schen Formel von 1901 berechnet.

$$s = (-0.00244 \cos 1\psi + 0.000007 \cos^3 1\psi) B.$$

Geogr. Breite	Barometerstand B					Geogr. Breite	Barometerstand B				
	740 ^{mm}	750 ^{mm}	760 ^{mm}	770 ^{mm}	780 ^{mm}		740 ^{mm}	750 ^{mm}	760 ^{mm}	770 ^{mm}	780 ^{mm}
0°	— 1.951	— 1.977	— 2.004	— 2.030	— 2.057	45°	0.000	0.000	0.000	0.000	0.000
1	— 1.950	— 1.976	— 2.003	— 2.029	— 2.055	46	+ 0.068	+ 0.069	+ 0.070	+ 0.071	+ 0.072
2	— 1.947	— 1.973	— 2.000	— 2.026	— 2.052	47	+ 0.136	+ 0.138	+ 0.140	+ 0.142	+ 0.144
3	— 1.941	— 1.967	— 1.993	— 2.020	— 2.046	48	+ 0.204	+ 0.207	+ 0.210	+ 0.213	+ 0.215
4	— 1.932	— 1.958	— 1.984	— 2.010	— 2.037	49	+ 0.272	+ 0.276	+ 0.280	+ 0.283	+ 0.287
5	— 1.921	— 1.948	— 1.974	— 2.000	— 2.026	50	+ 0.340	+ 0.344	+ 0.349	+ 0.353	+ 0.358
6	— 1.909	— 1.935	— 1.961	— 1.987	— 2.013	51	+ 0.407	+ 0.413	+ 0.418	+ 0.424	+ 0.429
7	— 1.894	— 1.919	— 1.945	— 1.970	— 1.996	52	+ 0.474	+ 0.480	+ 0.486	+ 0.493	+ 0.499
8	— 1.876	— 1.901	— 1.927	— 1.952	— 1.977	53	+ 0.540	+ 0.547	+ 0.554	+ 0.561	+ 0.569
9	— 1.856	— 1.881	— 1.906	— 1.931	— 1.956	54	+ 0.605	+ 0.614	+ 0.621	+ 0.630	+ 0.638
10	— 1.834	— 1.859	— 1.885	— 1.908	— 1.933	55	+ 0.670	+ 0.679	+ 0.688	+ 0.697	+ 0.706
11	— 1.810	— 1.835	— 1.859	— 1.883	— 1.908	56	+ 0.734	+ 0.744	+ 0.754	+ 0.764	+ 0.774
12	— 1.783	— 1.808	— 1.831	— 1.856	— 1.880	57	+ 0.797	+ 0.808	+ 0.819	+ 0.829	+ 0.840
13	— 1.755	— 1.778	— 1.802	— 1.826	— 1.849	58	+ 0.859	+ 0.871	+ 0.882	+ 0.894	+ 0.906
14	— 1.723	— 1.747	— 1.770	— 1.793	— 1.817	59	+ 0.920	+ 0.932	+ 0.945	+ 0.957	+ 0.970
15	— 1.690	— 1.713	— 1.736	— 1.759	— 1.782	60	+ 0.980	+ 0.993	+ 1.006	+ 1.019	+ 1.033
16	— 1.655	— 1.678	— 1.700	— 1.722	— 1.745	61	+ 1.038	+ 1.052	+ 1.066	+ 1.080	+ 1.094
17	— 1.618	— 1.640	— 1.662	— 1.684	— 1.706	62	+ 1.096	+ 1.111	+ 1.126	+ 1.140	+ 1.155
18	— 1.579	— 1.601	— 1.622	— 1.643	— 1.665	63	+ 1.152	+ 1.168	+ 1.183	+ 1.199	+ 1.214
19	— 1.538	— 1.559	— 1.580	— 1.601	— 1.622	64	+ 1.207	+ 1.223	+ 1.240	+ 1.256	+ 1.272
20	— 1.496	— 1.516	— 1.536	— 1.556	— 1.576	65	+ 1.259	+ 1.277	+ 1.294	+ 1.311	+ 1.328
21	— 1.451	— 1.471	— 1.490	— 1.510	— 1.530	66	+ 1.311	+ 1.329	+ 1.347	+ 1.364	+ 1.382
22	— 1.405	— 1.424	— 1.441	— 1.461	— 1.480	67	+ 1.362	+ 1.380	+ 1.398	+ 1.417	+ 1.435
23	— 1.356	— 1.375	— 1.393	— 1.411	— 1.430	68	+ 1.410	+ 1.430	+ 1.449	+ 1.468	+ 1.487
24	— 1.307	— 1.325	— 1.341	— 1.360	— 1.377	69	+ 1.457	+ 1.477	+ 1.496	+ 1.516	+ 1.536
25	— 1.256	— 1.273	— 1.290	— 1.307	— 1.324	70	+ 1.501	+ 1.522	+ 1.542	+ 1.562	+ 1.583
26	— 1.203	— 1.219	— 1.235	— 1.251	— 1.267	71	+ 1.545	+ 1.566	+ 1.587	+ 1.608	+ 1.629
27	— 1.148	— 1.163	— 1.179	— 1.194	— 1.210	72	+ 1.587	+ 1.608	+ 1.629	+ 1.651	+ 1.672
28	— 1.092	— 1.107	— 1.122	— 1.136	— 1.151	73	+ 1.626	+ 1.648	+ 1.670	+ 1.692	+ 1.714
29	— 1.035	— 1.049	— 1.063	— 1.077	— 1.091	74	+ 1.663	+ 1.685	+ 1.708	+ 1.730	+ 1.753
30	— 0.977	— 0.990	— 1.003	— 1.016	— 1.030	75	+ 1.698	+ 1.721	+ 1.744	+ 1.767	+ 1.790
31	— 0.918	— 0.930	— 0.943	— 0.955	— 0.967	76	+ 1.732	+ 1.755	+ 1.778	+ 1.801	+ 1.825
32	— 0.857	— 0.869	— 0.880	— 0.892	— 0.903	77	+ 1.763	+ 1.786	+ 1.810	+ 1.834	+ 1.858
33	— 0.795	— 0.806	— 0.816	— 0.827	— 0.838	78	+ 1.792	+ 1.816	+ 1.840	+ 1.864	+ 1.888
34	— 0.732	— 0.742	— 0.753	— 0.762	— 0.771	79	+ 1.819	+ 1.843	+ 1.868	+ 1.893	+ 1.917
35	— 0.668	— 0.677	— 0.686	— 0.695	— 0.704	80	+ 1.843	+ 1.868	+ 1.893	+ 1.918	+ 1.941
36	— 0.604	— 0.612	— 0.620	— 0.628	— 0.636	81	+ 1.866	+ 1.891	+ 1.916	+ 1.941	+ 1.966
37	— 0.539	— 0.546	— 0.553	— 0.561	— 0.568	82	+ 1.886	+ 1.911	+ 1.936	+ 1.962	+ 1.987
38	— 0.473	— 0.479	— 0.486	— 0.492	— 0.498	83	+ 1.903	+ 1.929	+ 1.955	+ 1.980	+ 2.006
39	— 0.406	— 0.412	— 0.417	— 0.423	— 0.428	84	+ 1.919	+ 1.945	+ 1.971	+ 1.997	+ 2.023
40	— 0.340	— 0.344	— 0.349	— 0.353	— 0.358	85	+ 1.932	+ 1.958	+ 1.984	+ 2.010	+ 2.037
41	— 0.272	— 0.276	— 0.280	— 0.283	— 0.287	86	+ 1.943	+ 1.969	+ 1.995	+ 2.021	+ 2.048
42	— 0.204	— 0.207	— 0.210	— 0.213	— 0.215	87	+ 1.951	+ 1.977	+ 2.003	+ 2.030	+ 2.056
43	— 0.136	— 0.138	— 0.140	— 0.142	— 0.144	88	+ 1.957	+ 1.983	+ 2.009	+ 2.036	+ 2.062
44	— 0.068	— 0.069	— 0.070	— 0.073	— 0.074	89	+ 1.960	+ 1.987	+ 2.013	+ 2.040	+ 2.066
45	0.000	0.000	0.000	0.000	0.000	90	+ 1.962	+ 1.988	+ 2.015	+ 2.041	+ 2.068

ANHANG.

Erdmagnetische Messungen.

Von den erdmagnetischen Messungen, die ich an einer Reihe von Stationen ausgeführt habe, sind im folgenden nur die Messungen der Inklination gegeben. Die Messungen der Horizontalintensität und der Deklination sind nicht mit aufgenommen, da beim Abschluß der vorliegenden Veröffentlichung noch einige Daten für die Reduktion der Beobachtungen fehlten, die bei der großen Entfernung einiger Stationen nicht so rasch zu beschaffen waren.

Für die Ausführung der magnetischen Messungen wurde vom Reichsamt des Innern aus den Beständen der Südpolarexpedition ein Erdinduktor, von SCHULTZE in Potsdam gebaut, zur Verfügung gestellt, der sich nach jeder Richtung hin als sehr zuverlässig bewährte und ein sehr exaktes Arbeiten gestattete. Nur wäre bei dem Galvanometer eine etwas stärkere Dämpfung erwünscht gewesen; die Messungen würden dann noch rascher auszuführen gewesen sein.

Es ist dasselbe Instrument, was Herr Dr. LUTKEN auf den Kerguelen benutzt hat. Es ist von ihm beschrieben in den „*Ergebnissen der Deutschen Südpolarexpedition. Band VI. Erdmagnetismus II*“, außerdem findet sich auch eine Beschreibung in dem „*Jahresbericht des Potsdamer Magnetischen Observatoriums für 1901*“.

Die folgenden Tabellen geben die Beobachtungen wieder.

Die Beobachtungen erfolgten nach der Nullmethode.

Die unter *A* und *B* aufgeführten Kreisablesungen entsprechen der Nullstellung des an der Induktorrolle angebrachten Niveaus in der Lage *A* und *B* der Induktorrolle. Das Mittel dieser beiden Ablesungen gibt die der Vertikalstellung der Rotationsachse der Induktorrolle entsprechende Kreisablesung.

Der Drehungssinn $+$ entspricht einer Drehung der Induktorrolle in der Richtung der Bewegung des Uhrzeigers, das Zeichen $-$ dagegen einer entgegengesetzten Drehung.

Die Variationen der Inklination sind an die Beobachtungen nicht angebracht.

Die unter den einzelnen Beobachtungssätzen angegebene: „Mittlere Inklination“ soll die mittlere Inklination während der Beobachtungen bezeichnen.

Die Beobachtungen in Melbourne konnte ich wegen Mangels an Zeit nicht selbst anstellen. Der Direktor des Observatoriums, Herr BARACCHI, übernahm jedoch freundlichst ihre Ausführung.

Zenitpunkt	Zeit	Drehungs-sinn	Kreisablesung	Zenitpunkt	Zeit	Drehungs-sinn	Kreisablesung
------------	------	---------------	---------------	------------	------	---------------	---------------

Melbourne. Magnetisches Haus.

1904 Juni 3.

Kreis West				Kreis Ost			
A			359° 43.3	A			359° 42.8
B			43.4	B			42.8
	9 ^h 36 ^m	+	337 15.3		10 ^h 13 ^m	+	22 10.3
	34	—	13.1		17	—	14.1
	9 39	+	337 15.3		10 34	+	22 9.5
	42	—	12.7		37	—	14.1
	9 47	+	337 15.3		10 43	+	22 9.4
	50	—	12.6		47	—	13.6
B			359 43.2	B			359 42.7
A			43.3	A			42.7

Inklination: Kreis West: 67° 30.8 Kreis Ost: 67° 30.9

1904 Juni 3, 10^h 11 a. m. Lok.-Z.: Mittlere Inklination: 67° 30.9.

1904 Juni 7.

Kreis Ost				Kreis West			
A			359° 42.9	A			359° 43.2
B			42.9	B			43.2
	9 ^h 35 ^m	+	22 10.8		10 ^h 13 ^m	+	337 16.4
	39	—	13.1		18	—	12.4
	9 44	+	22 11.2		10 22	+	337 16.4
	48	—	13.7		26	—	12.2
	9 51	+	22 10.7		10 29	+	337 16.1
	52	—	13.5		30	—	12.1
B			359 43.0	B			359 43.2
A			43.0	A			43.2

Inklination: Kreis Ost: 67° 30.8 Kreis West: 67° 31.1

1904 Juni 7, 10^h 11 a. m. Lok.-Z.: Mittlere Inklination: 67° 31.0.

Zenitpunkt	Zeit	Drehungs- sinn	Kreisablesung	Zenitpunkt	Zeit	Drehungs- sinn	Kreisablesung
------------	------	-------------------	---------------	------------	------	-------------------	---------------

Sydney, Red Hill Observatory. Neues magnetisches Haus.

1904 Juni 13.

Kreis Ost				Kreis West			
A			0° 31'3	A			0° 39'8
B			33.4	B			39.6
	4 ^h 1 ^m	+	27 36.6		4 ^h 21 ^m	+	333 41.8
	3	—	37.2			—	40.0
	4 6	—	27 36.7		4 26	+	333 41.3
	8	+	36.5			—	40.5
	4 10	—	27 36.5		4 31	+	333 40.9
	12	+	37.3			—	40.5
B			0 37.5	B			0 40.5
A			37.6	A			40.4

Inklination: Kreis Ost: 63° 1'2 Kreis West: 63° 0'7

1904 Juni 13, 4^h3 p. m. Lok.-Z.: Mittlere Inklination: 63° 1'0.

Berkeley. 80 m NW vom Students Observatory.

1904 August 9.

Kreis Ost				Kreis West			
A			359° 50'4	A			359° 50'5
B			50.4	B			50.5
	4 ^h 10 ^m	+	332 10.6		5 ^h 43 ^m	+	70 29.9
		—	10.6			—	30.0
	4 12	+	332 11.1		5 52	+	27 30.0
		—	10.8			—	30.2
	4 22	+	332 10.9		6 0	+	27 30.1
		—	10.8			—	29.9
B			359 50.5	B			359 50.5
A			50.4	A			50.5

Inklination: Kreis Ost: 62° 20'4 Kreis West: 62° 20'5

1904 August 9, 5^h1 p. m. Lok.-Z.: Mittlere Inklination: 62° 20'4.

Zenitpunkt	Zeit	Drehungs- sinn	Kreisablesung	Zenitpunkt	Zeit	Drehungs- sinn	Kreisablesung
------------	------	-------------------	---------------	------------	------	-------------------	---------------

Tokyo. Magnetisches Haus.

1904 Oktober 11.

Kreis Ost				Kreis West			
<i>A</i>			179° 53.8	<i>A</i>			179° 53.6
<i>B</i>			53.2	<i>B</i>			52.8
	10 ^h 48 ^m	+	138 44.8		12 ^h 55 ^m	+	121 6.2
		—	44.9			—	2.2
	11 0	+	138 45.4		1 5	+	121 5.5
		—	44.4			—	1.8
	11 10	+	138 45.8		1 10	+	121 6.6
		—	44.6			—	2.3
<i>B</i>			179 53.2	<i>B</i>			179 52.6
<i>A</i>			54.2	<i>A</i>			53.3

Inklination: Kreis Ost: 48° 51.4 Kreis West: 48° 49.0

1904 Oktober 11, 12^h 0 a. m. Lok.-Z.: Mittlere Inklination: 48° 50.2.

Zi-ka-wei. Absolutes Haus.

1904 Oktober 28.

Kreis Ost				Kreis West			
<i>A</i>			179° 51.8	<i>A</i>			179° 51.1
<i>B</i>			50.9	<i>B</i>			50.2
	3 ^h 21 ^m	+	135 27.9		3 ^h 57 ^m	+	124 13.6
		—	27.0			—	13.7
	3 26	+	135 27.3		4 3	+	124 13.0
		—	27.4			—	13.7
	3 32	+	135 27.5		4 14	+	124 12.9
		—	27.3			—	13.7
<i>B</i>			179 50.8	<i>B</i>			179 50.2
<i>A</i>			52.0	<i>A</i>			51.3

Inklination: Kreis Ost: 45° 36.0 Kreis West: 45° 37.3

1904 Oktober 28, 3^h 28 p. m. Lok.-Z.: Mittlere Inklination: 45° 36.7.

Zenitpunkt	Zeit	Drehungsinn	Kreisablesung	Zenitpunkt	Zeit	Drehungsinn	Kreisablesung
------------	------	-------------	---------------	------------	------	-------------	---------------

1904 Oktober 29.

Kreis Ost				Kreis West			
A			179° 51.9	A			179° 51.3
B			50.7	B			50.1
	8 ^h 58 ^m	+	135 28.8		9 ^h 54 ^m	+	224 14.0
		—	27.2			—	14.7
	9 10	+	135 28.6		10 5	+	224 14.5
		—	27.4		9	—	14.8
	9 18	+	135 28.1		10 11	+	224 14.0
		—	27.4		13	—	14.8
B			179 50.8	B			179 50.1
A			52.0	A			51.1

Inklination: Kreis Ost: 45° 36.5 Kreis West: 45° 36.2

1904 Oktober 29, 9^h 26 a. m. Lok.-Z.: Mittlere Inklination: 45° 36.4.

Hongkong. Nordpfeiler des magnetischen Hauses.

1904 November 24.

Kreis West				Kreis Ost			
A			180° 32.4	A			180° 32.8
B			31.5	B			31.7
	3 ^h 55 ^m	+	239 20.1		4 ^h 20 ^m	+	121 44.3
		—	22.3			—	43.0
	4 2	+	239 19.7		4 28	+	121 44.4
		—	22.0			—	42.6
	4 10	+	239 19.9		4 35	+	121 44.4
		—	21.9			—	42.2
B			180 31.3	B			180 31.5
A			32.3	A			32.7

Inklination: Kreis West: 31° 10.9 Kreis Ost: 31° 11.3

1904 November 24, 4^h 3 p. m. Lok.-Z.: Mittlere Inklination: 31° 11.1.

Zenit- punkt	Zeit	Drehungs- sinn	Kreisablesung	Zenit- punkt	Zeit	Drehungs- sinn	Kreisablesung
Rangun. Duneslin House. 80 m von der S-Ecke entfernt.							
1905 Januar 12.							
Kreis Ost				Kreis West			
A			179° 41.3	A			179° 42.5
B			41.0	B			41.1
	12 ^h 30 ^m	+	108 2.5		1 ^h 5 ^m	+	251 19.8
		—	0.6			—	21.9
	12 40	+	108 2.4		1 11	+	251 19.9
		—	1.7			—	22.0
	12 55	+	108 2.3		1 20	+	251 20.1
		—	1.7			—	21.7
B			179 41.3	B			179 40.9
A			42.6	A			42.2
Inklination: Kreis Ost: 18° 20.1				Kreis West: 18° 20.8			
1905 Januar 12, 1 ^h 0 p. m. Lok.-Z.				Mittlere Inklination: 18° 20.5.			

Barrackpore. Magnetisches Haus							
1905 Januar 20.							
Kreis Ost				Kreis West			
A			179° 41.8	A			179° 41.6
B			41.9	B			42.8
	12 ^h 37 ^m	+	120 5.4		1 ^h 3 ^m	+	239 18.3
	43	—	2.9		5	—	21.4
	12 45	+	120 4.8		1 11	+	239 17.9
	47	—	2.6			—	21.2
	12 49	+	120 4.8		1 14	+	239 18.1
	51	—	3.0			—	21.2
B			179 41.1	B			179 41.5
A			41.9	A			41.4
Inklination: Kreis Ost: 30° 21.5				Kreis West: 30° 21.4			
1905 Januar 20, 12 ^h 9 p. m. Lok.-Z.				Mittlere Inklination: 30° 21.0.			

Zenit- punkt	Zeit	Drehungs- sinn	Kreisablesung	Zenit- punkt	Zeit	Drehungs- sinn	Kreisablesung
-----------------	------	-------------------	---------------	-----------------	------	-------------------	---------------

Dehra Dun. Sdlt. Absol. Haus.

1905 Februar 16.

Kreis Ost				Kreis West			
<i>A</i>			180° 5'6	<i>A</i>			180° 4'5
<i>B</i>			5'4	<i>B</i>			3'5
	12 ^h 52 ^m	+	133 29.6		1 ^h 23 ^m	+	226 39.6
		—	29.3			—	40.5
	1 4	+	133 29.6		1 28	+	226 40.3
		—	29.5			—	40.4
	1 7	+	133 29.6		1 34	+	226 40.3
		—	29.6			—	40.3
<i>B</i>			180 5'4	<i>B</i>			180 3'5
<i>A</i>			5'6	<i>A</i>			4'5

Inklination: Kreis Ost: 43° 24'0 Kreis West: 43° 23'8

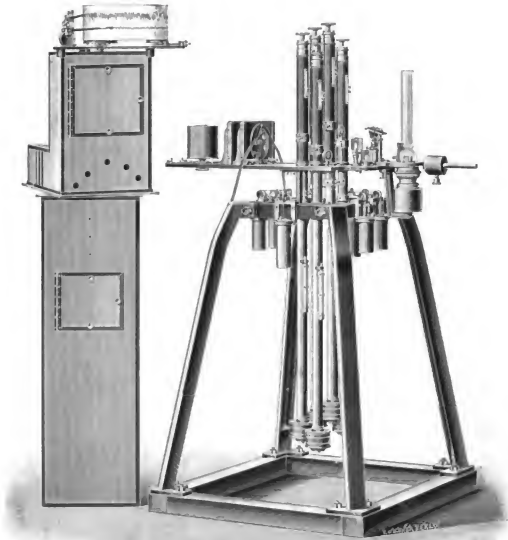
1905 Februar 16, 12^h 12 p. m. Lok.-Z.: Mittlere Inklination: 43° 23'9.

1905 Februar 16.

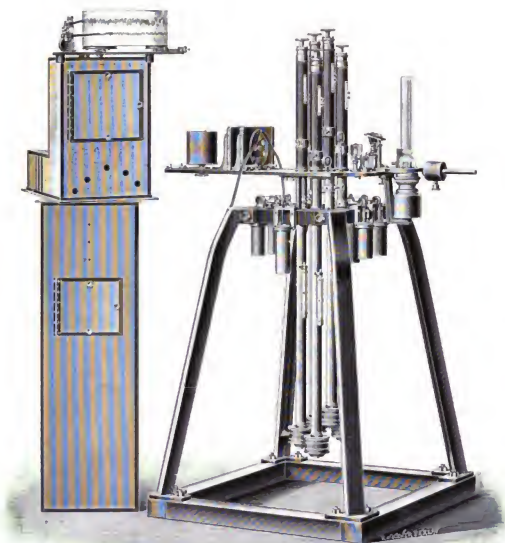
Kreis West				Kreis Ost			
<i>A</i>			180° 4'5	<i>A</i>			180° 4'0
<i>B</i>			3'5	<i>B</i>			2'8
	2 ^h 37 ^m	+	226 40.1		3 ^h 0 ^m	+	133 27.2
		—	40.5			—	27.2
	2 43	+	226 40.3		3 4	+	133 27.0
		—	40.4			—	27.1
	2 50	+	226 40.2		3 9	+	133 27.0
		—	40.4			—	27.0
<i>B</i>			180 3'5	<i>B</i>			180 2'8
<i>A</i>			4'6	<i>A</i>			4'0

Inklination: Kreis West: 43° 23'7 Kreis Ost: 43° 23'7

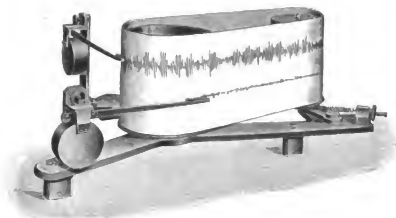
1905 Februar 16, 2^h 9 p. m. Lok.-Z.: Mittlere Inklination: 43° 23'7.



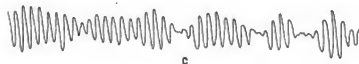
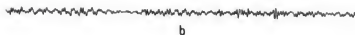
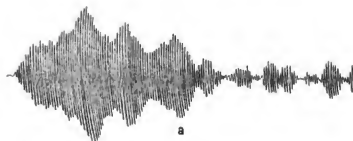
Der Barometerapparat.



Der Barometerapparat.



Schwingungsmesser.

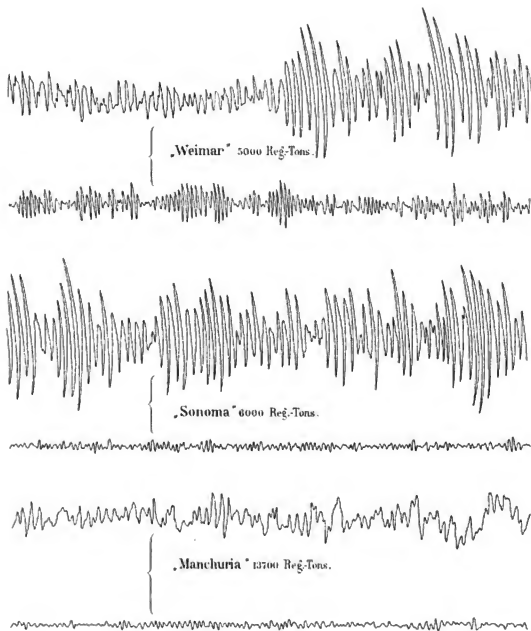


Bewegung des Barometerapparates

a ohne Dämpfung

b mit Dämpfung

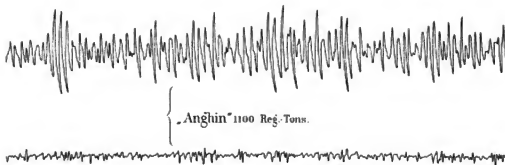
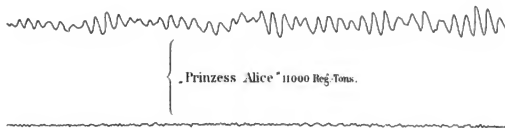
Bewegung des Schiffes c



Zeitskala

 0 1 2 Min

Schlinger- (obere) und Stampfbewegungen (untere Kurve)
 (1 mm Ordinatenänderung gleich 0,5 Neigungsänderung des Schiffes)



Zeitskala
0 1 2 3 4 5 6 7 8 9 10 Min

Schlinger-(obere) und Stampfbewegungen (untere Kurve)
(1 mm Ordinatenänderung gleich 0,1°s Neigungsänderung des Schiffes)



1904. September 2.



September 7.



September 13.



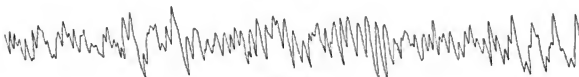
September 12.



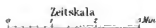
September 5.



September 8.



September 16.



Schlingerbewegungen der „Manchuria“

an verschiedenen Tagen.

(1mm Ordinatenänderung gleich 0's Neigungsänderung des Schiffes)

Barom. I
= 0,12



Barom. II
= 0,16



Barom. III
= 0,09



Barom. IV
= 0,12



Barom. V
= 0,14



Registrierungen der 5 Barometer an Bord der „Sonoma“.
1904 Juli 3¹. Nahe des Tongaplateaus.

Barom. IV



1904 April 28. Nahe der Kokosinseln („Weimar“).

Barom. IV

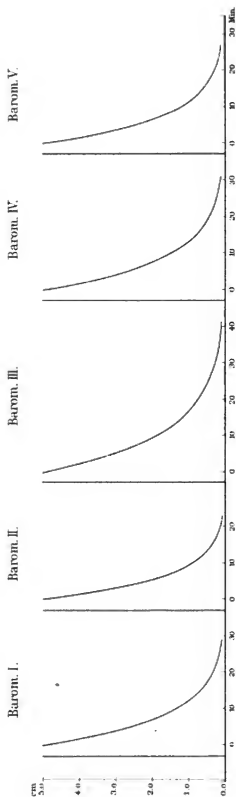


1904 September 16. 900 km östlich von Yokohama („Manchuria“).

Barom. IV

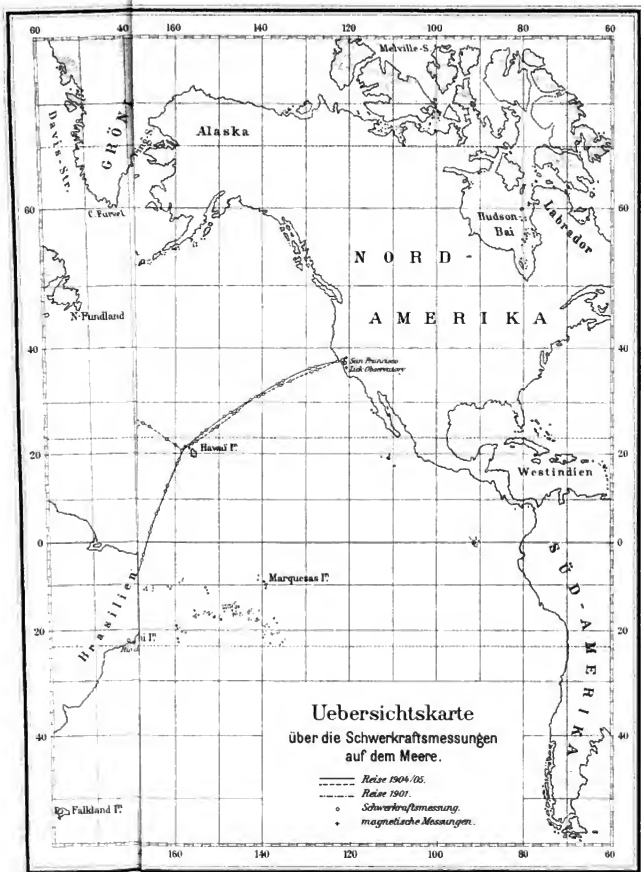


1904 Juli 4². Zwischen den Tonga- und Samoainseln („Sonoma“).



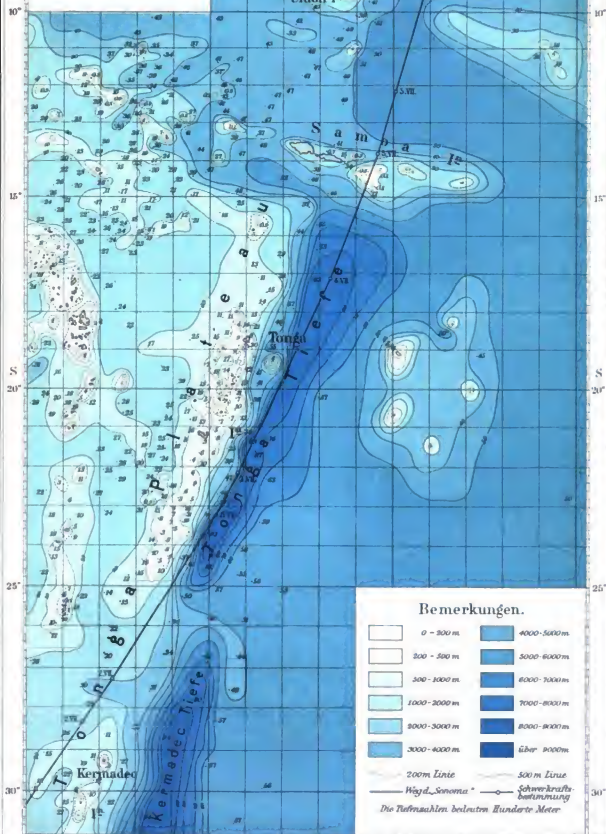
Trägheit der Barometer

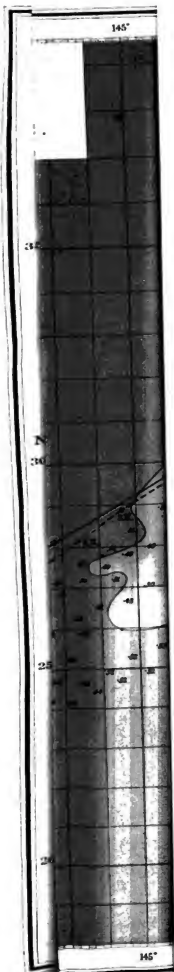




Geogr.-Anst. u. Sternw. v. L. Kötter, Berlin S.

Die Tonga-Tiefe und ihre Umgebung





1871

1872

UNIVERSITY OF MICHIGAN



3 9015 08672 7578

